

Algorithmen II

Peter Sanders

Übungen:

Moritz Laupichler, Nikolai Maas

Institut für Theoretische Informatik

Web:

`algo2.itl.kit.edu/AlgorithmenII_WS23.php`

Organisatorisches

Vorlesungen:

Mo 09:45–11:15 HS Neue Chemie

Di 15:45–16:30 HS Neue Chemie

Saalübung:

Di 16:30–17:15 HS Neue Chemie

Übungsblätter:

14-tägig, jeweils Dienstags, Musterlösung und Besprechung beim
Veröffentlichen des nächsten Blatts

1. Blatt: 31.10.2023

Organisatorisches

Sprechstunden:

- Peter Sanders, Di. 13:45–14:45 Uhr, nach vorheriger E-Mail
- Moritz Laupichler, nach Absprache
- Nikolai Maas, nach Absprache

Ilias-Forum: Link auf

`algo2.itl.kit.edu/AlgorithmenII_WS23.php`

Letzte Vorlesung: 13. Februar 2024

Klausur: Donnerstag, 14.03.2024, 08:00 Uhr

Materialien

- Folien
- Übungsblätter
- Vorlesungsaufzeichnungen im Ilias
- Buch: Dementiev, Dietzfelbinger, Mehlhorn, Sanders
Sequential and Parallel
Algorithms and Data Structures — The Basic Toolbox
Springer 2019. Ca. 45 % der Vorlesung.
- Skript: Minimalistischer Aufschrieb der Sachen, die nicht im Buch stehen, mit Verweisen auf Originalliteratur
Sprache: **Deutsch**.
Aber Literatur und ein Teil der Folien auf **Englisch**

Zum Weiterlesen

- [Dementiev, Dietzfelbinger, Mehlhorn, Sanders]
Sequential and **Parallel** Algorithm and Data Structures — The Basic Toolbox
- [Mehlhorn, Näher] **Algorithm Engineering, Flows, Geometrie**
The LEDA Platform of Combinatorial and Geometric Computing.
- [Ahuja, Magnanti, Orlin] Network Flows
- [de Berg, Cheong, van Kreveld, Overmars] **Geometrie**
Computational Geometry: Algorithms and Applications
- [Gonzalo Navarro] **Succinct Data Structures**
Compact Data Structures: A Practical Approach
- [R. Niedermeier] Invitation to Fixed-Parameter Algorithms

Inhaltsübersicht I

- Algorithm Engineering
- Fortgeschrittene Datenstrukturen am Beispiel von Prioritätslisten
 - adressierbar
 - ganzzahlige Schlüssel
 - (Externspeicher)
- Fortgeschrittene Graphenalgorithmen
 - Kürzeste Wege II: negative Kreise, Potentialmethode
 - Starke Zusammenhangskomponenten
 - Maximale Flüsse und Matchings

Inhaltsübersicht II

- “Bindestrichalgorithmen”
 - Randomisierte Algorithmen
 - Externe Algorithmen
 - Parallele Algorithmen
 - Stringalgorithmen: sorting, indexing, . . .
 - Geometrische Algorithmen
 - Approximationsalgorithmen
 - Fixed-Parameter-Algorithmen
 - Onlinealgorithmen

Zusammenfassung – Rolle der Algorithmik

- Kerndisziplin der Informatik
- Das Herz jeder nichttrivialen Computeranwendung
- Algorithm Engineering führt zu wohlverstandenen Lösungen für eine Vielzahl von Problemen

“Machine Learning macht das von selbst?”

- Machine Learning Algorithmen sind auch Algorithmen
- Spezialisiertere Algorithmen finden bei wohlverstandenen Problemen bessere, schnellere und **robustere** Lösungen
- Teile Problem in wohlverstandenen Teil und den Rest
- Machine Learning für Parameter-Tuning?
- Spezialisierte Algorithmen für wohlverstandene Teile, z.B. Feature-Extraktion oder Indexdatenstrukturen?



1 Algorithm Engineering

A detailed definition

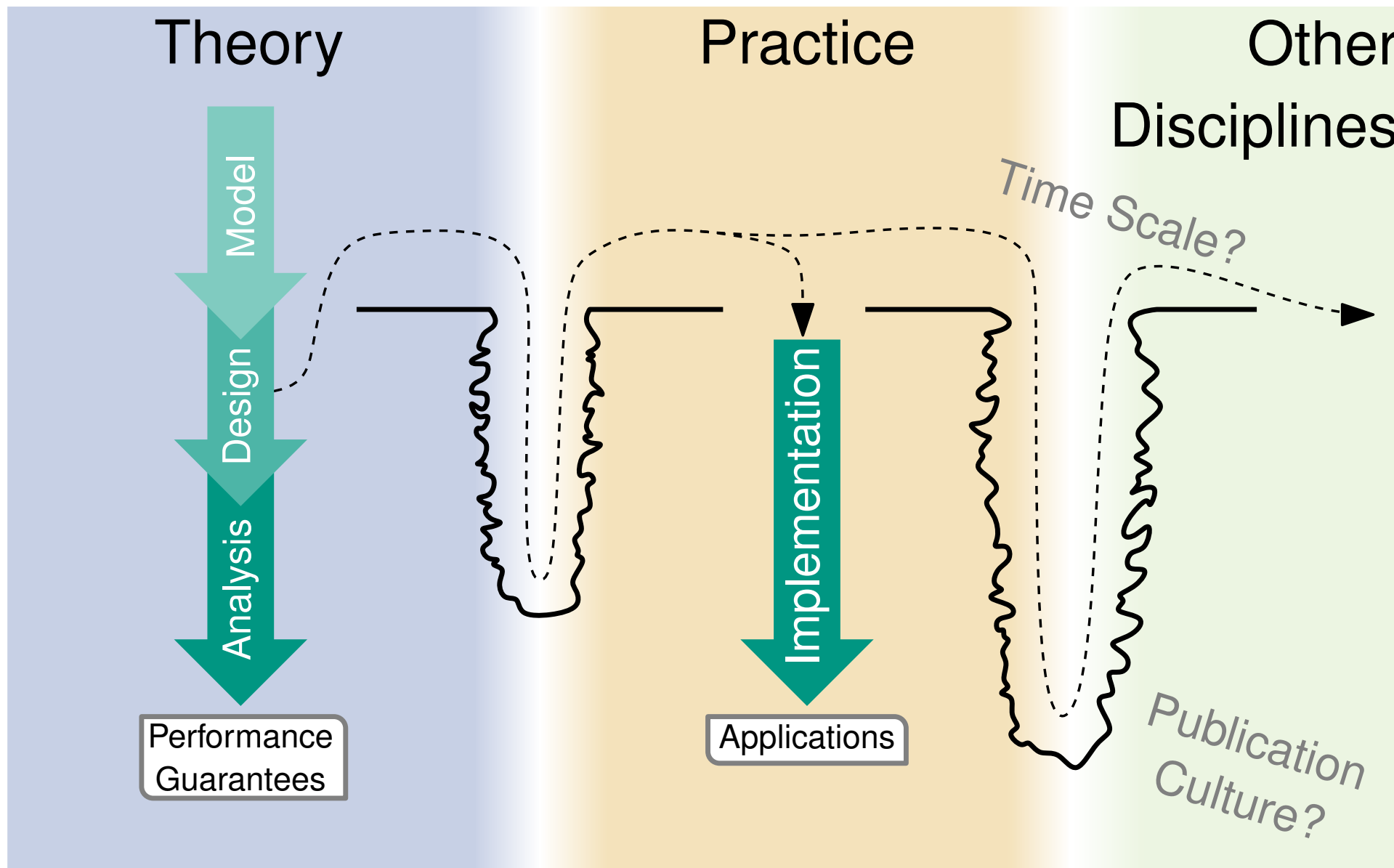
- In general

[with Kurt Mehlhorn, Rolf Möhring, Petra Mutzel, Dorothea Wagner]



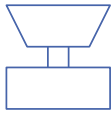

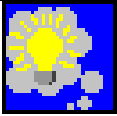
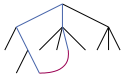


- A few examples, usually sorting

- A little bit on experimental methodology

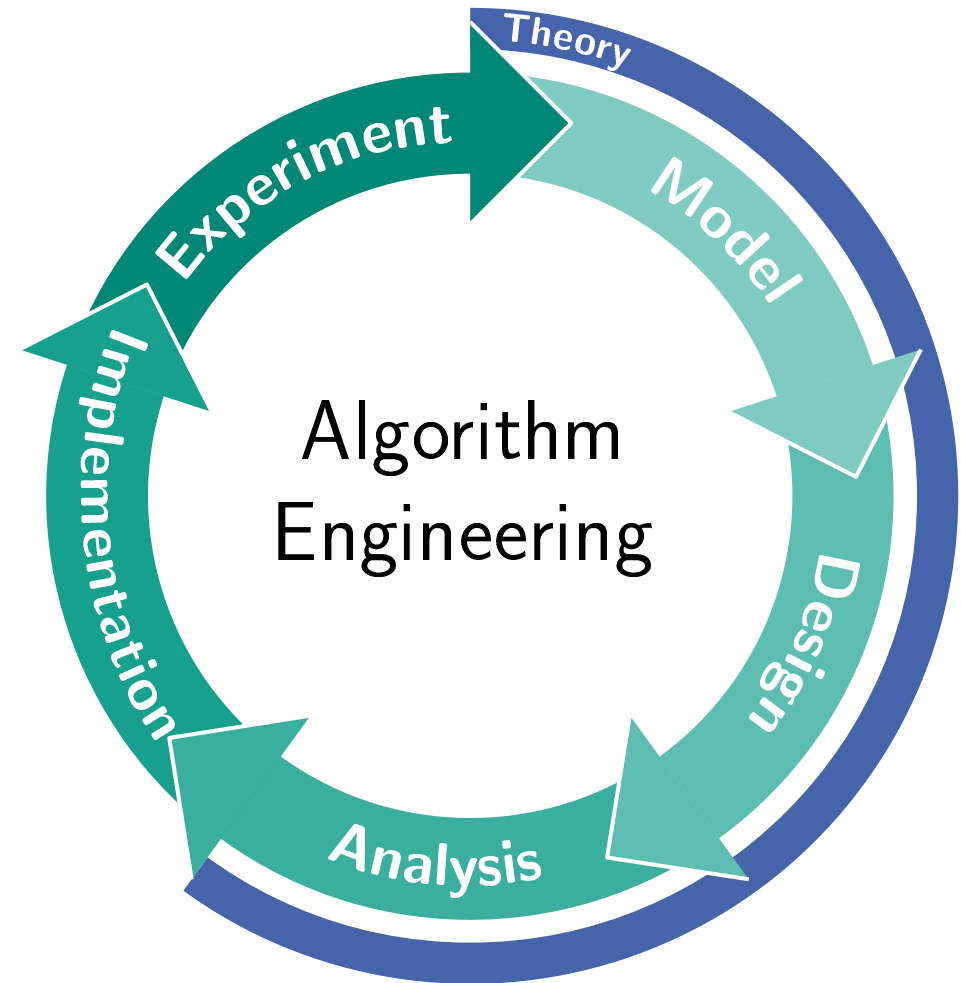
(Caricatured) Traditional View: Algorithm Theory



Gaps Between Theory & Practice

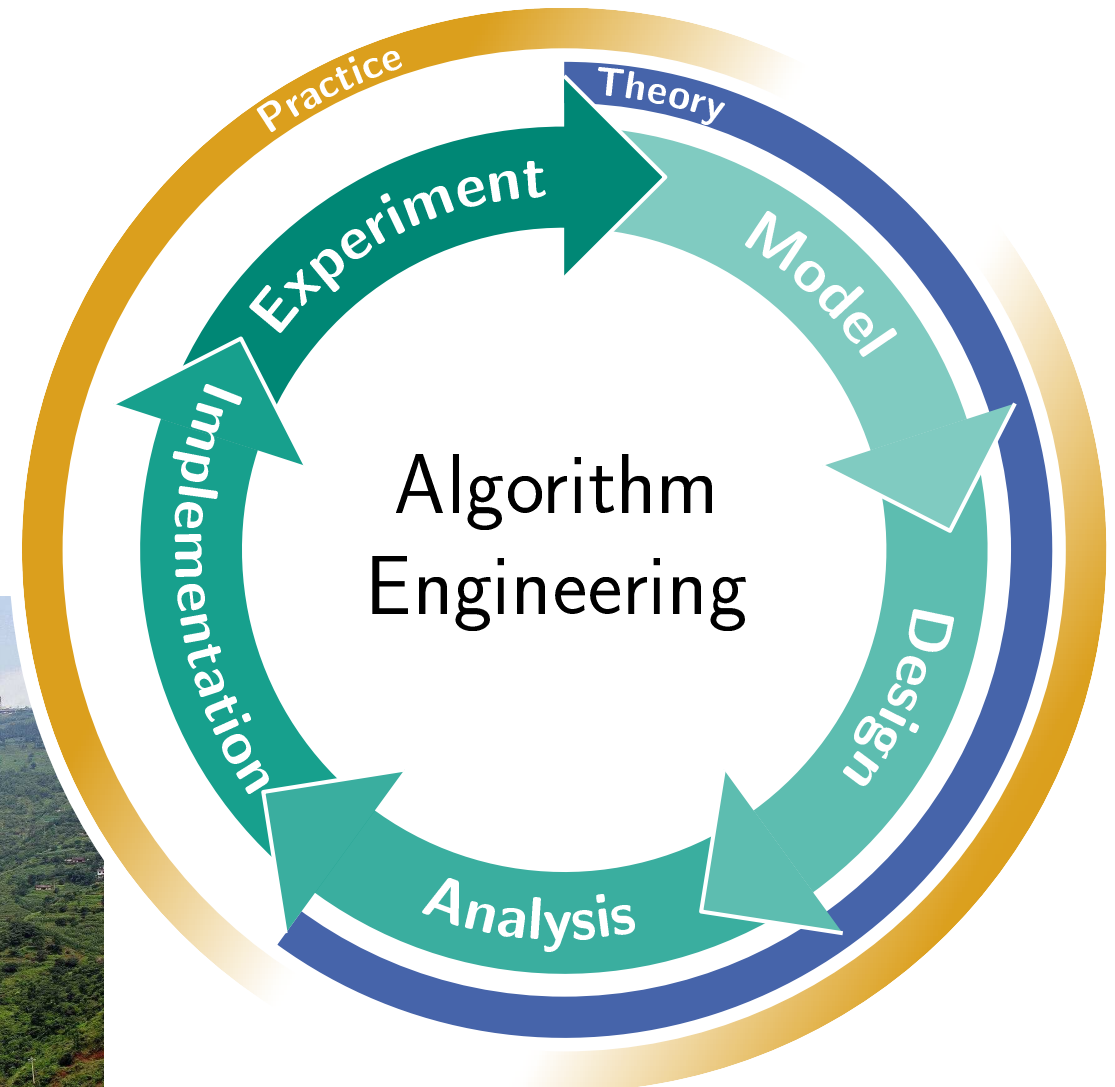
Theory		\longleftrightarrow	Practice	
simple		appl. model		complex
simple		machine model		real
complex		algorithms	<code>FOR</code>	simple
advanced		data structures		arrays,...
worst case	<code>max</code>	complexity measure		inputs
asympt.	<code>O(·)</code>	efficiency	<code>42%</code>	constant factors

Algorithmics as Algorithm Engineering



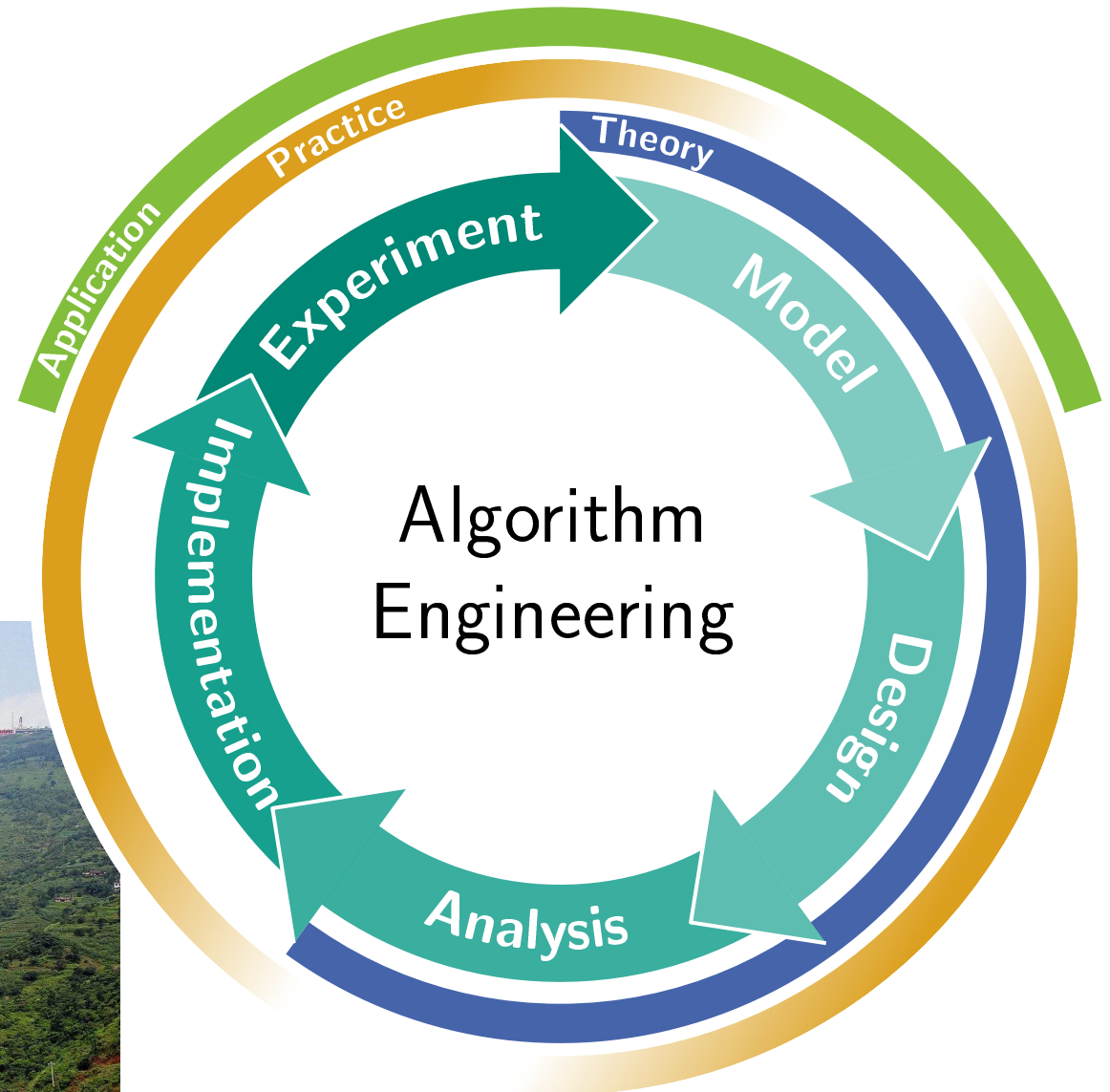
Algorithmics as Algorithm Engineering

- **Bridge gaps** between theory and practice

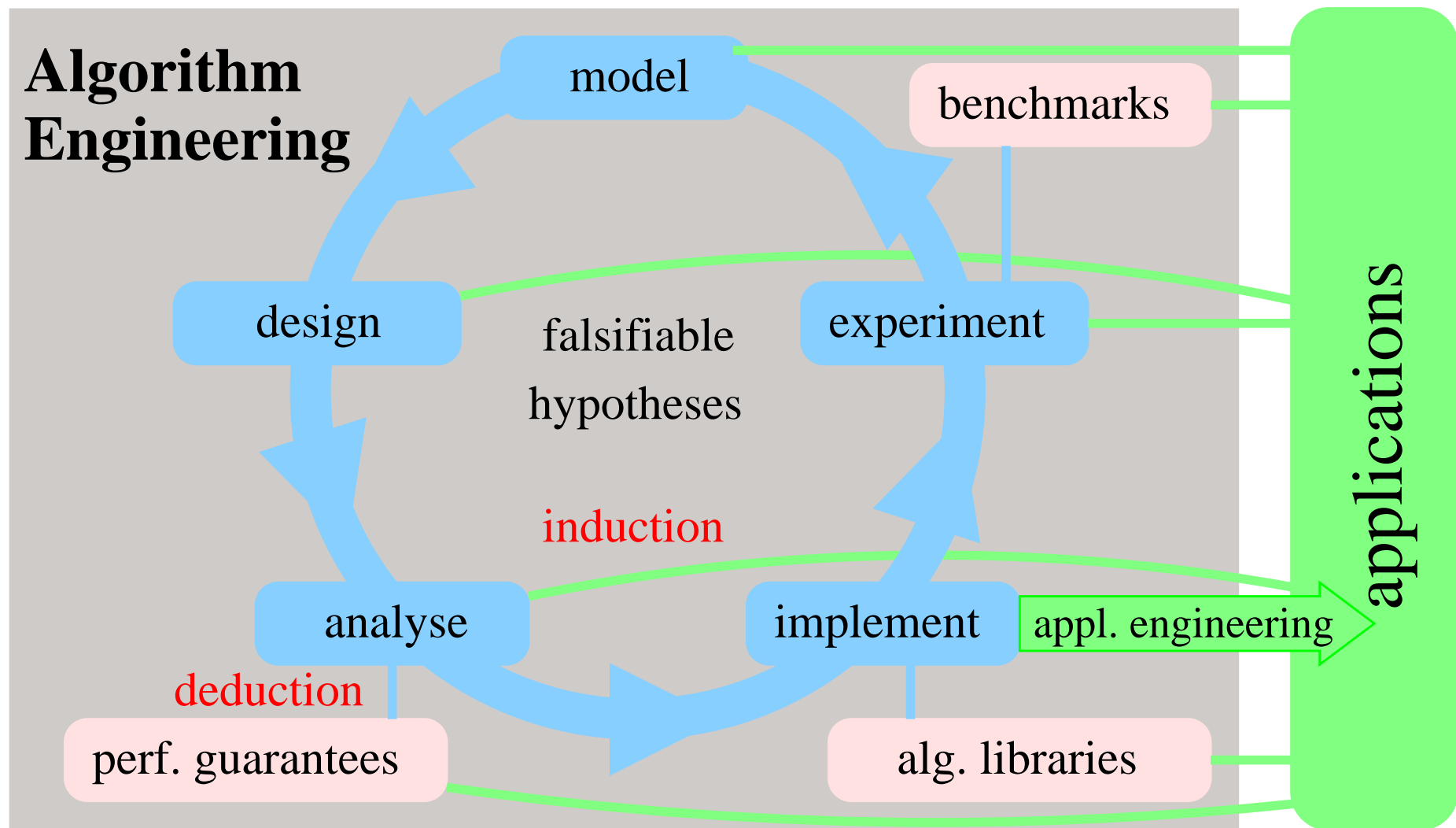


Algorithmics as Algorithm Engineering

- Bridge gaps between theory and practice
- Integrated interdisciplinary research



Algorithmics as Algorithm Engineering



Bits of History

1843– Algorithms in theory and practice

1950s, 1960s Still infancy

1970s, 1980s Paper and pencil algorithm theory.

Exceptions exist, e.g., [D. Johnson], [J. Bentley]

1986 Term used by [T. Beth],

lecture “**Algorithmentechnik**” in Karlsruhe.

1988– Library of Efficient Data Types and Algorithms
(LEDA) [K. Mehlhorn]

1997– **Workshop on Algorithm Engineering**

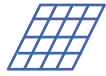

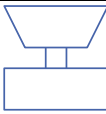

↪ ESA applied track [G. Italiano]

1997 Term used in US policy paper [Aho, Johnson, Karp, et. al]

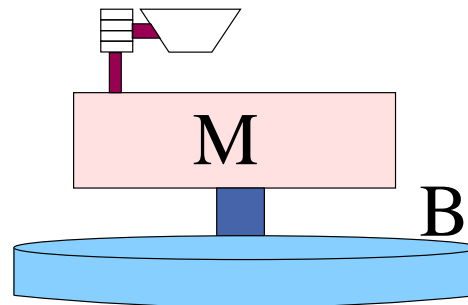
1998 **Alex** workshop in Italy ↪ **ALENEX**



Realistic Models

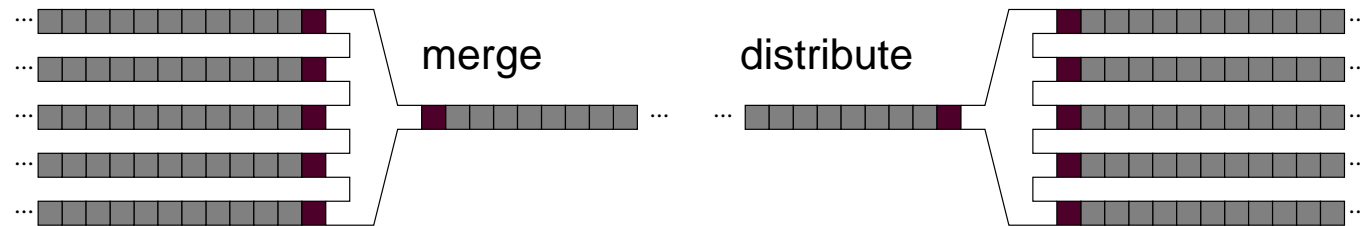
Theory	\longleftrightarrow	Practice
simple 	appl. model	 complex
simple 	machine model	 real

- Careful refinements
- Try to preserve (partial) analyzability / simple results



Design

of algorithms that work well in **practice**



- simplicity**
- reuse**
- constant** factors
- exploit **easy** instances

Analysis

- Constant factors** matter
Example: quicksort
- Beyond worst case** analysis
- Practical algorithms** might be difficult to analyze
(randomization, meta heuristics, . . .)

Implementation

sanity check for algorithms !

Challenges

Semantic gaps:

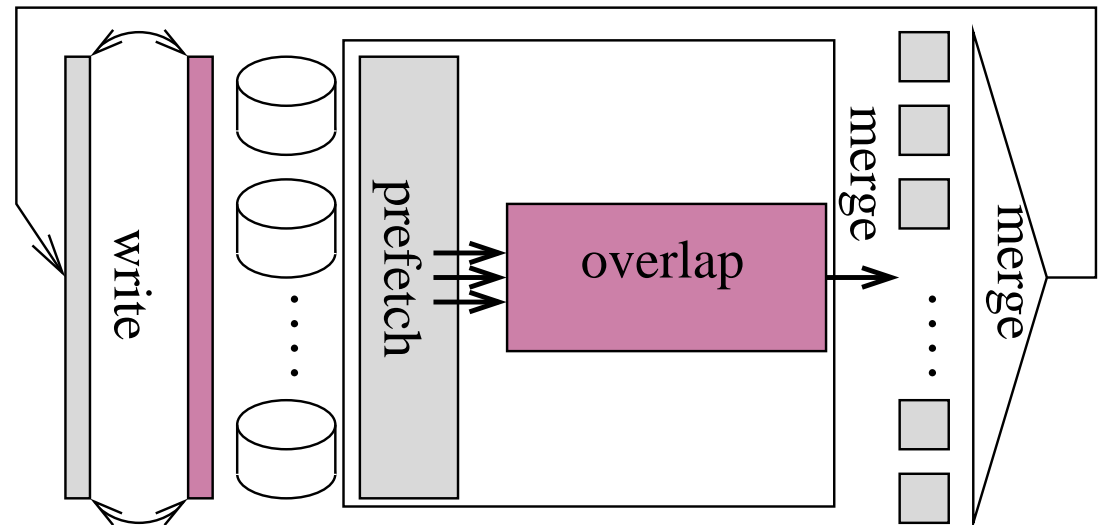
Abstract algorithm

↔

C++...

↔

hardware



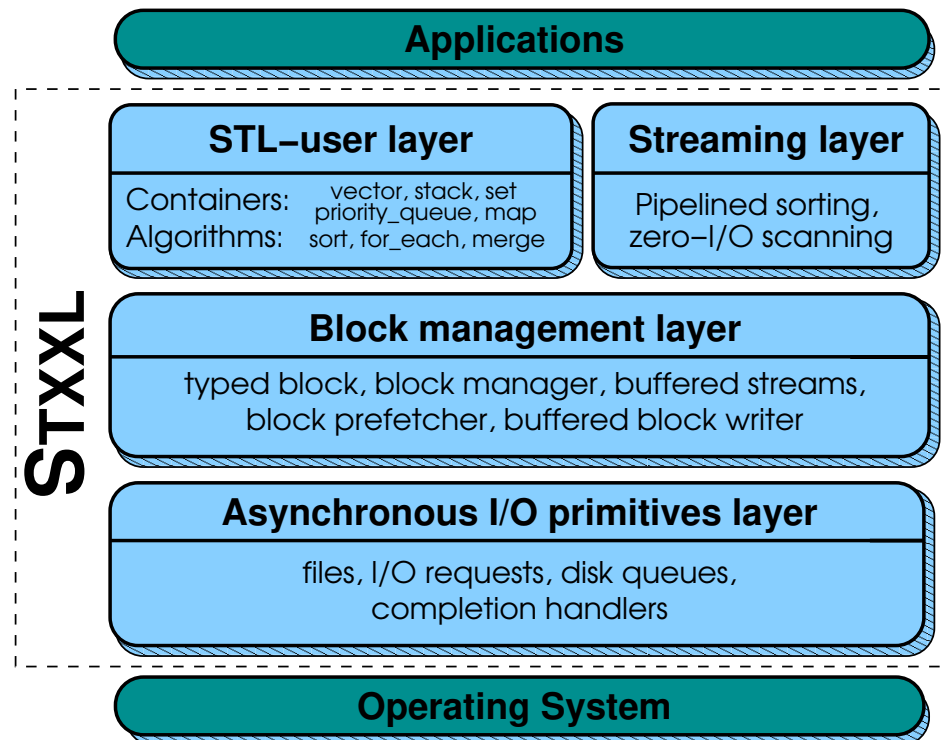
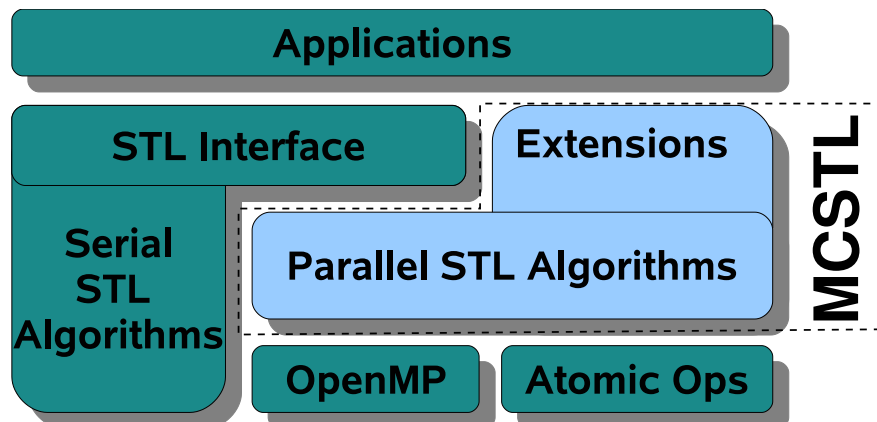
Experiments

- Sometimes a good **surrogate for analysis**
- Too much** rather than too little **output data**
- Reproducibility** (10 years!)
- Software engineering**

Stay tuned.

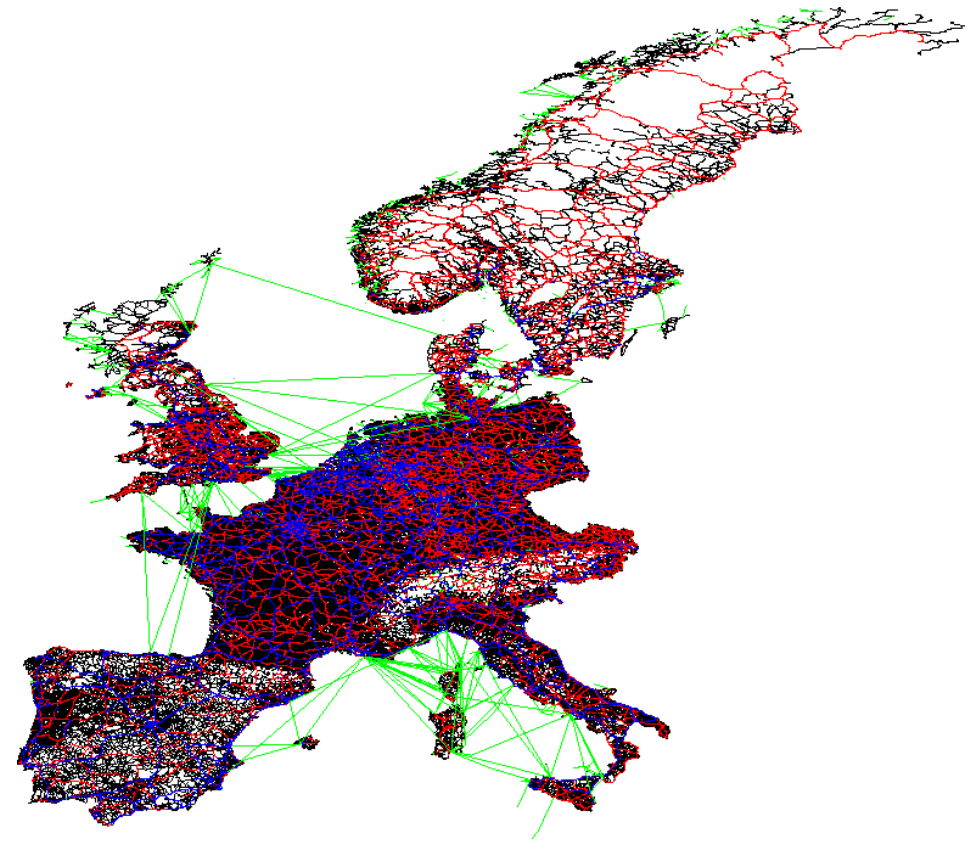
Algorithm Libraries — Challenges

- Software engineering
- Standardization, e.g. java.util, C++ STL and BOOST
- Performance ↔ generality ↔ simplicity
- Applications are a priori unknown
- Result checking, verification



Problem Instances

Benchmark instances are essential for development of practical algorithms



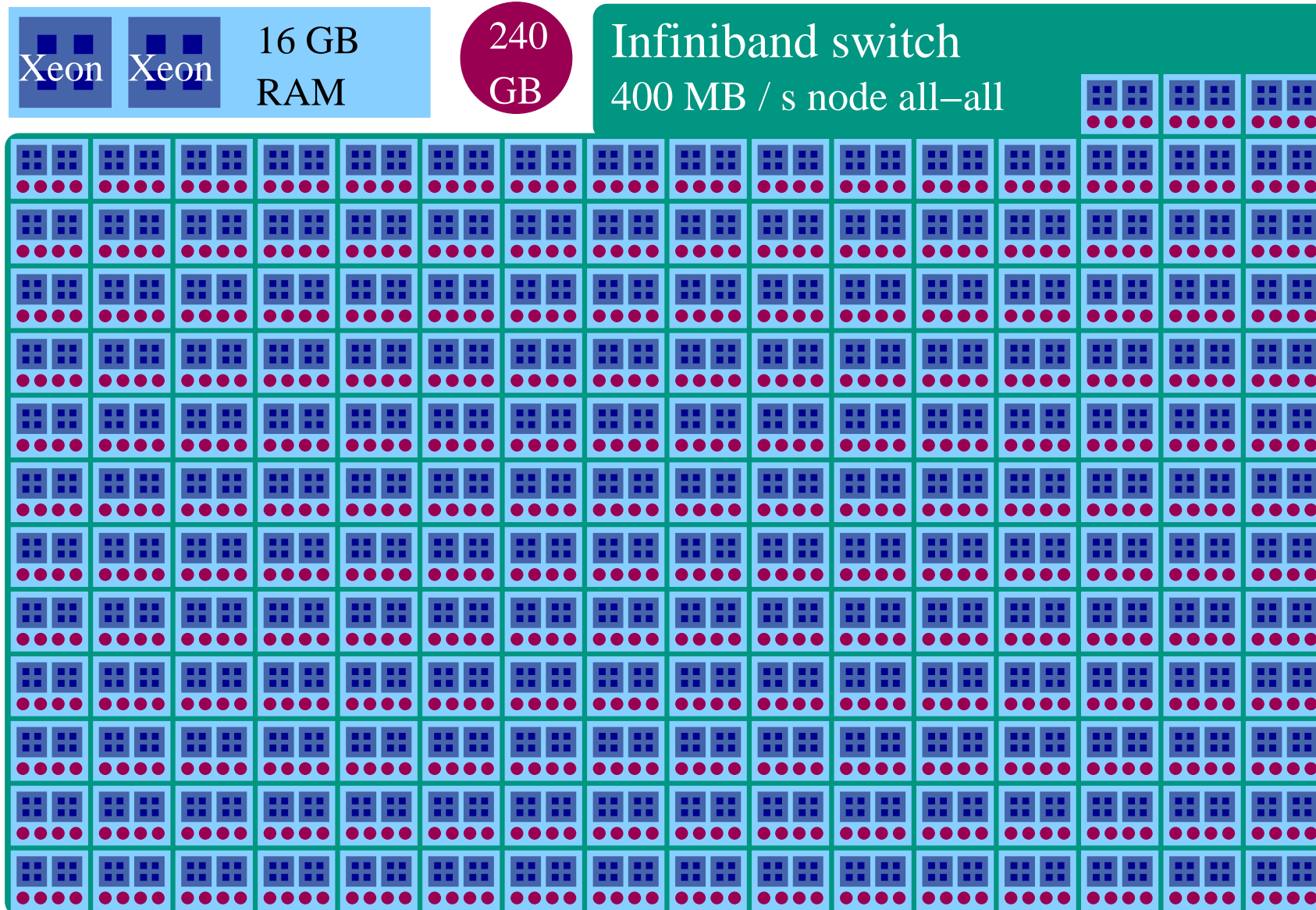
Example: Sorting Benchmark (Indy)

100 byte records, 10 byte random keys, with file I/O

Category	data volume	performance	improvement
GraySort	100 000 GB	564 GB / min	17×
MinuteSort	955 GB	955 GB / min	> 10×
JouleSort	100 000 GB	3 400 Recs/Joule	???
JouleSort	1 000 GB	17 500 Recs/Joule	5.1×
JouleSort	100 GB	39 800 Recs/Joule	3.4×
JouleSort	10 GB	43 500 Recs/Joule	5.7×

Also: PennySort

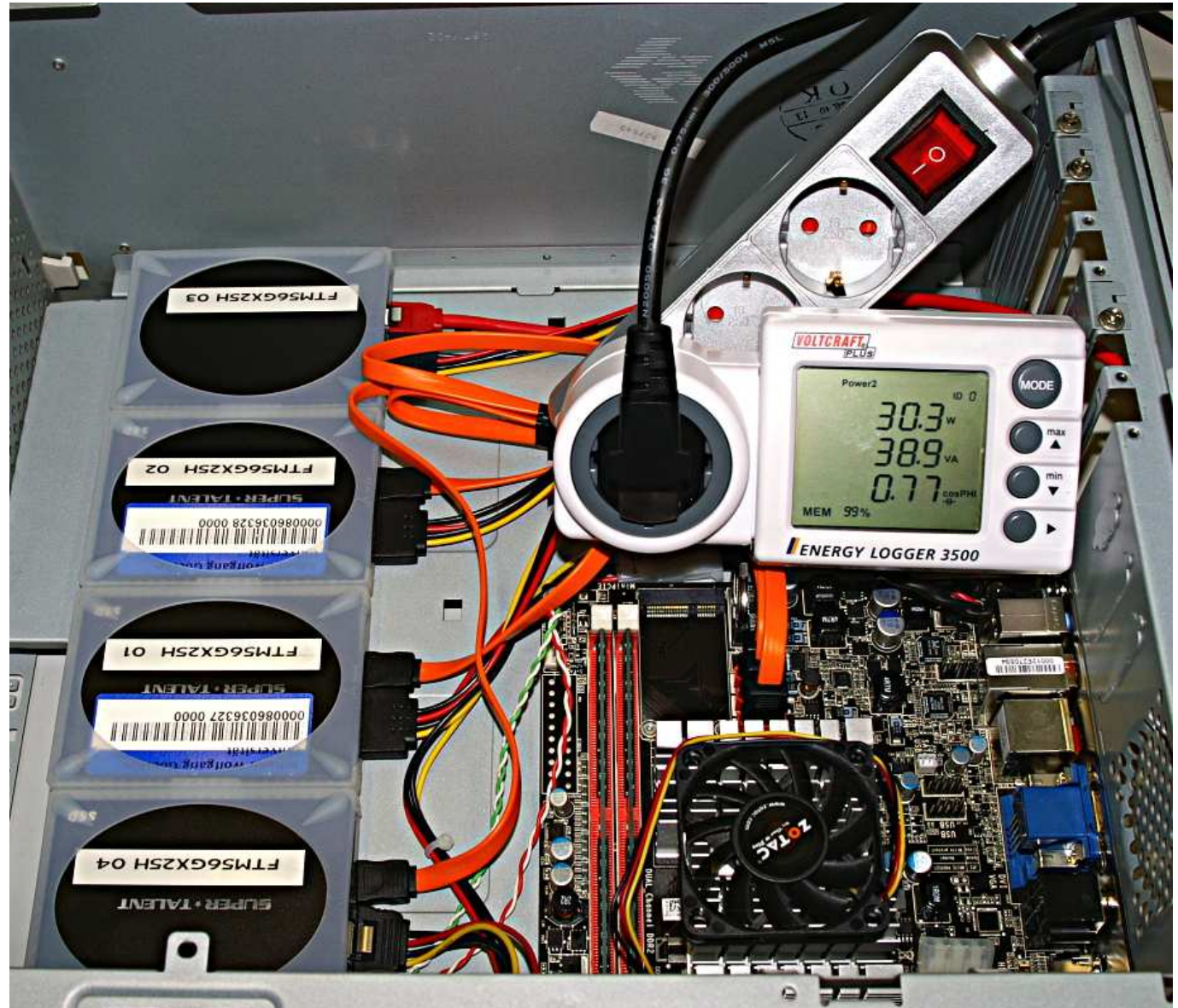
GraySort: **inplace** multiway mergesort, **exact splitting**



JouleSort

- Intel Atom N330
- 4 GB RAM
- 4 × 256 GB
SSD (SuperTalent)

Algorithm similar to
GraySort



Applications that “Change the World”

Algorithms has the potential to SHAPE applications
(not just the other way round)

[G. Myers]

Bioinformatics: sequencing, proteomics, phylogenetic trees,...



Information Retrieval: Searching, ranking,...

Traffic Planning: navigation, flow optimization,
adaptive toll, disruption management

Geographic Information Systems: agriculture, environmental
protection, disaster management, tourism,...

Machine Learning/AI: translation, chatbots,...

Conclusion:

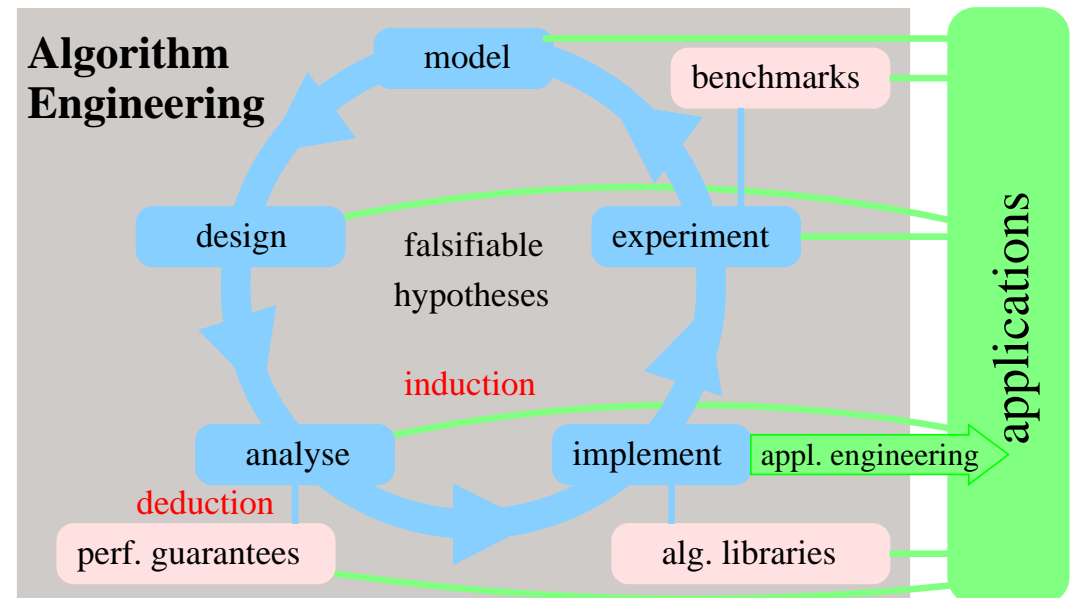
Algorithm Engineering \leftrightarrow Algorithm Theory

- Algorithm engineering** is a wider view on **algorithmics**
(but no revolution. None of the ingredients is really new)
- Rich **methodology**
- Better coupling to **applications**
- Experimental algorithmics** \ll algorithm engineering
- Algorithm theory** \subset algorithm engineering
- Sometimes **different theoretical questions**
- Algorithm theory may still yield the **strongest, deepest** and **most persistent** results **within algorithm engineering**

More On Experimental Methodology

Scientific Method:

- Experiment need a possible outcome that **falsifies** a hypothesis
- Reproducible
 - Keep data/code for at least 10 years
 - + documentation (aka laboratory journal (Laborbuch))
 - Clear and detailed description in papers / TRs
 - Share instances and code



Quality Criteria

- Beat the state of the art, globally – (not your own toy codes or the toy codes used in your community!)
- Clearly** demonstrate this !
 - Both codes use same data ideally from accepted benchmarks (not just your favorite data!)
 - Comparable machines or fair (conservative) scaling
 - Avoid uncomparabilities like:
 - “Yeah we have worse quality but are twice as fast”
 - Real world data wherever possible
 - As much **different, fresh** inputs as possible
 - **its fine if you are better just on some (important) inputs**

Not Here but Important

- Describing the setup (machine, compiler, OS, instances, repetitions, . . .)
- Finding sources of measurement errors
- Reducing measurement errors (averaging, median, unloaded machine. . .)
- Measurements in the **creative** phase of experimental algorithmics.

The Starting Point

- (Several) Algorithm(s)
- A few quantities to be measured: time, space, solution quality, comparisons, cache faults, . . . There may also be **measurement errors**.
- An unlimited number of potential inputs. \rightsquigarrow condense to a few characteristic ones (size, $|V|$, $|E|$, . . . or problem instances from applications)

Usually there is not a lack but an **abundance** of data

The Process

Waterfall model?

1. Design
2. Measurement
3. Interpretation

Perhaps the paper should at least look like that.

The Process

- Eventually stop asking questions (Advisors/Referees listen !)
- Build measurement tools
- Automate (re)measurements
- Choice of Experiments driven by risk and opportunity
- Distinguish mode

Explorative: many different parameter settings, interactive, short turnaround times

Consolidating: many large instances, standardized measurement conditions, batch mode, many machines

Of Risks and Opportunities

Example: Hypothesis = my algorithm is the best

Big risk: untried main competitor

Small risk: tuning of a subroutine that takes 20 % of the time.

Big opportunity: use algorithm for a new application

~> new input instances

2 Fortgeschrittene Datenstrukturen

Hier am Beispiel von Prioritätslisten.

Weitere Beispiele:

- Monotone ganzzahlige Prioritätslisten Kapitel kürzeste Wege
- perfektes **Hashing** Kapitel rand. Alg.
- Suchbäume** mit fortgeschrittenen Operationen siehe Buch
- Externe Prioritätslisten Kapitel externe Algorithmen
- Geometrische** Datenstrukturen Kapitel geom. Algorithmen

2.1 Adressierbare Prioritätslisten

Procedure build($\{e_1, \dots, e_n\}$) $M := \{e_1, \dots, e_n\}$

Function size **return** $|M|$

Procedure insert(e) $M := M \cup \{e\}$

Function min **return** $\min M$

Function deleteMin $e := \min M$; $M := M \setminus \{e\}$; **return** e

Function remove($h : \text{Handle}$) $e := h$; $M := M \setminus \{e\}$; **return** e

Procedure decreaseKey($h : \text{Handle}, k : \text{Key}$) **assert** $\text{key}(h) \geq k$; $\text{key}(h) := k$

Procedure merge(M') $M := M \cup M'$

Adressierbare Prioritätslisten: Anwendungen

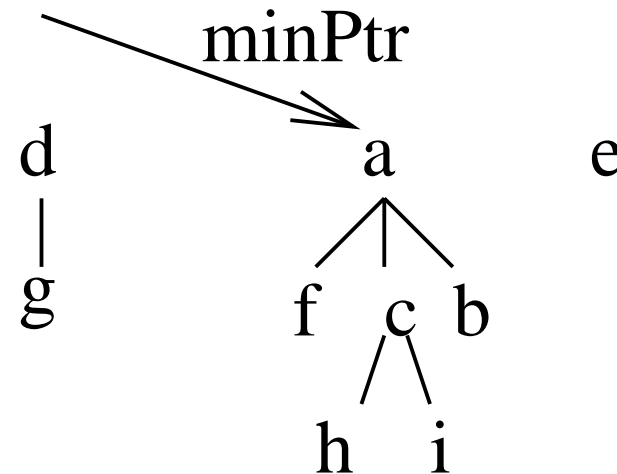
- Dijkstras Algorithmus für **kürzeste Wege**
- Jarník-Prim-Algorithmus für **minimale Spannbäume**
- Bei uns: Hierarchiekonstruktion für **Routenplanung**
- Bei uns: Graphpartitionierung
- Bei uns: disk scheduling

Allgemein:

Greedy-Algorithmen, bei denen sich Prioritäten (begrenzt) ändern.

Grundlegende Datenstruktur

Ein **Wald heap-geordneter** Bäume

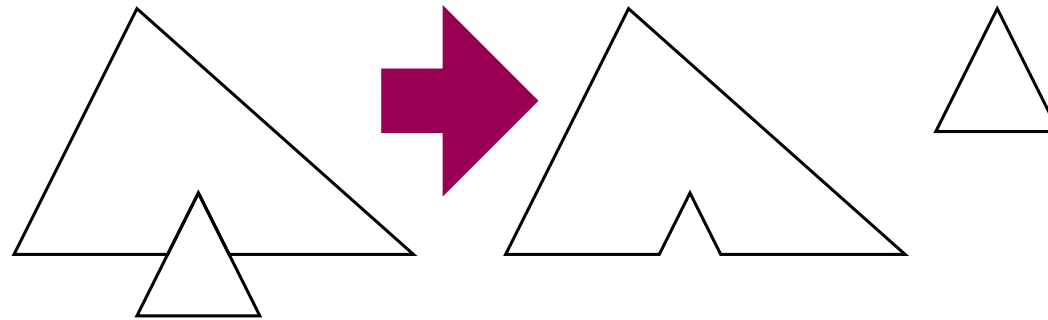


Verallgemeinerung gegenüber binary heap:

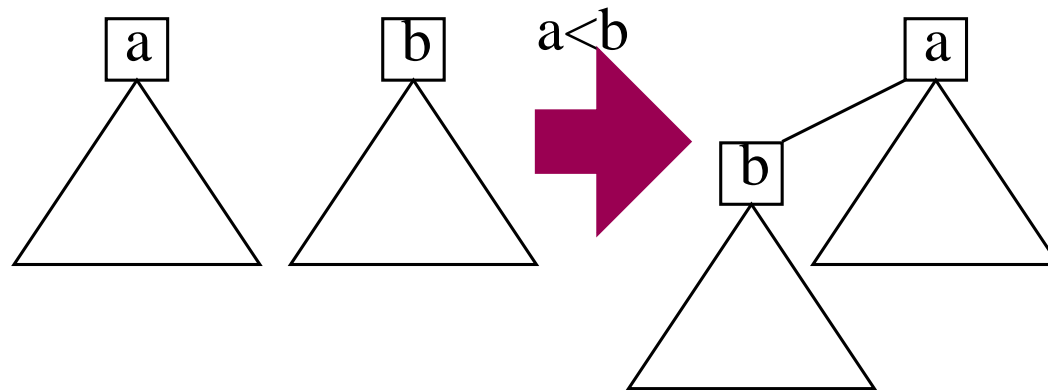
- Baum \rightarrow Wald
- binär \rightarrow beliebige Knotengrade

Wälder Bearbeiten

Cut:



Link:



$$\text{union}(a, b): \text{link}(\min(a, b), \max(a, b))$$

Pairing Heaps (Paarungs-Haufen??)

[Fredman Sedgewick Sleator Tarjan 1986]

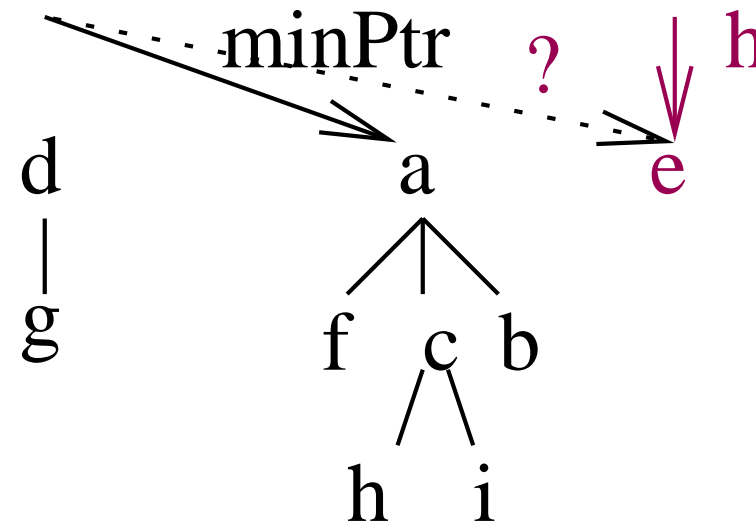
Procedure insertItem(h : Handle)

newTree(h)

Procedure newTree(h : Handle)

forest := forest \cup { h }

if $*h < \min$ **then** minPtr := h



Vorsicht: sehr einfache Variante aus 1. engl. Auflage.

dt. Ausgabe, 2. Auflage weichen ab

Pairing Heaps

Procedure decreaseKey(h : Handle, k : Key)

key(h) := k

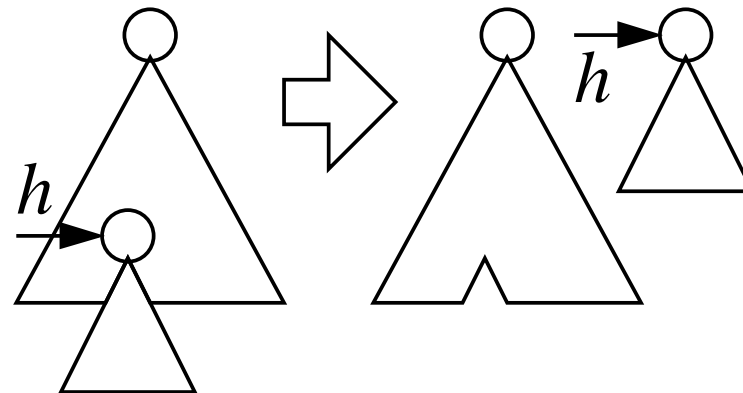
if h is not a root **then** cut(h)

else update minPtr

Procedure cut(h : Handle)

remove the subtree rooted at h

newTree(h)



Pairing Heaps

Function deleteMin : Handle

$m := \text{minPtr}$

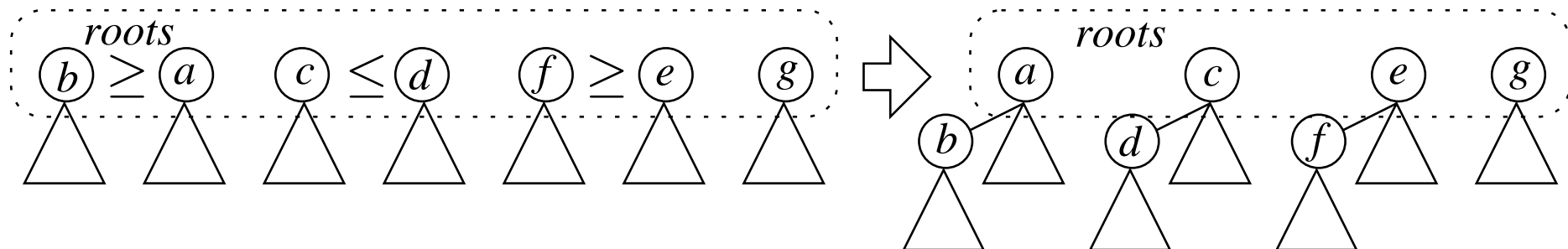
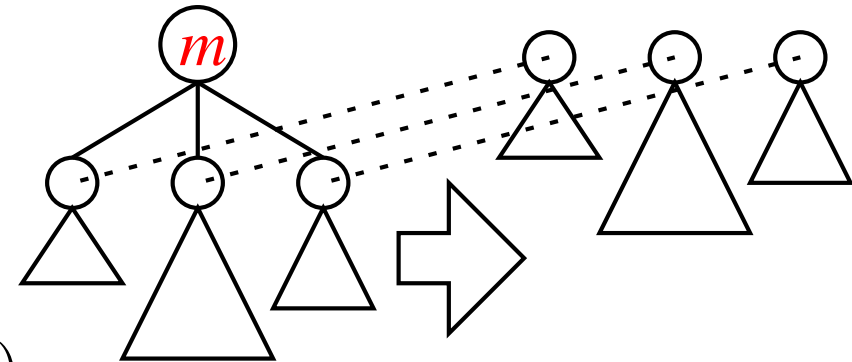
forest := forest $\setminus \{m\}$

foreach child h of m **do** newTree(h)

perform **pair-wise union** operations on the roots in forest

update minPtr

return m



Pairing Heaps

Procedure merge(o : AdressablePQ)

if $*\text{minPtr} > *(o.\text{minPtr})$ **then** $\text{minPtr} := o.\text{minPtr}$

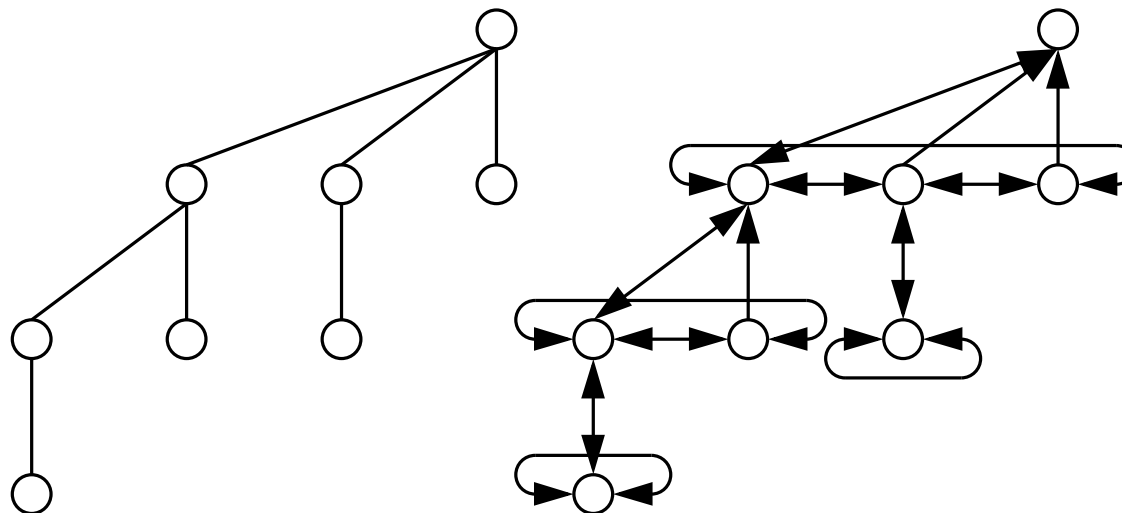
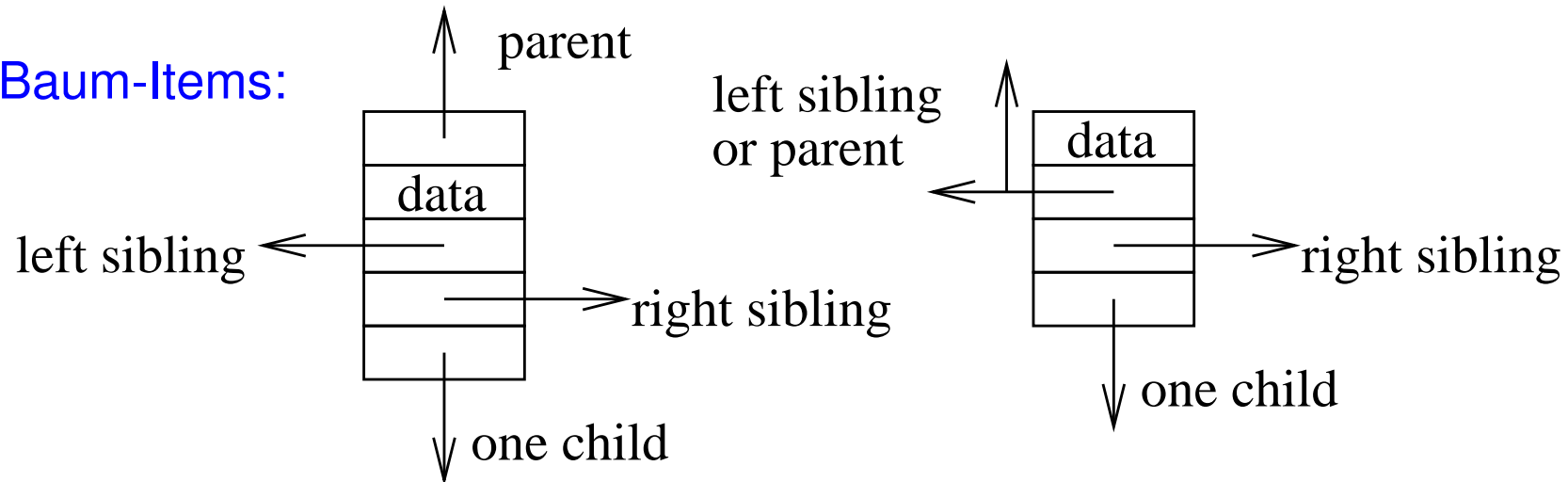
$\text{forest} := \text{forest} \cup o.\text{forest}$

$o.\text{forest} := \emptyset$

Pairing Heaps – Repräsentation

Wurzeln: Doppelt verkettete Liste

Baum-Items:



Pairing Heaps – Analyse

insert, merge: $O(1)$

deleteMin, remove: $O(\log n)$ amortisiert

decreaseKey: amortisiert (in Verbindung mit deleteMin) **unklar!**

$$O(\log \log n) \leq T \leq O(\log n)$$

In der Praxis sehr schnell.

Beweise: nicht hier.

Fibonacci Heaps [Fredman Tarjan 1987]

Rang: Anzahl (direkter) Kinder speichern

Vereinigung nach Rang: Union nur für gleichrangige Wurzeln

Markiere Knoten, die ein Kind verloren haben

Kaskadierende Schnitte: Schneide markierte Knoten
(die also 2 Kinder verloren haben)

Satz: Amortisierte Komplexität $O(\log n)$ für deleteMin, remove und

$O(1)$ für alle anderen Operationen

(d.h. $Gesamtzeit = O(o + d \log n)$ falls

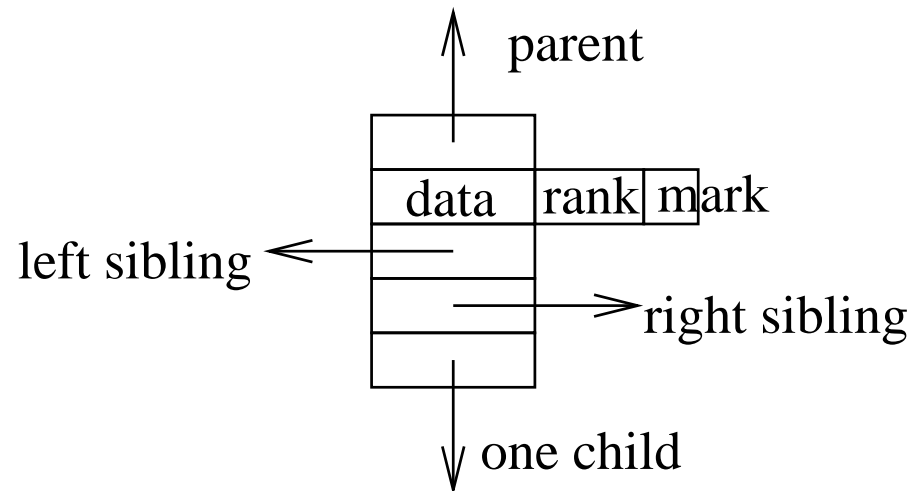
$d = \#deleteMin$, $o = \#otherOps$, $n = \max |M|$)

Repräsentation

Wurzeln: Doppelt verkettete Liste

(und ein temporäres Feld für deleteMin)

Baum-Items:



insert, merge: wie gehabt. Zeit $O(1)$

deleteMin mit Union-by-Rank

Function deleteMin : Handle

$m := \text{minPtr}$

$\text{forest} := \text{forest} \setminus \{m\}$

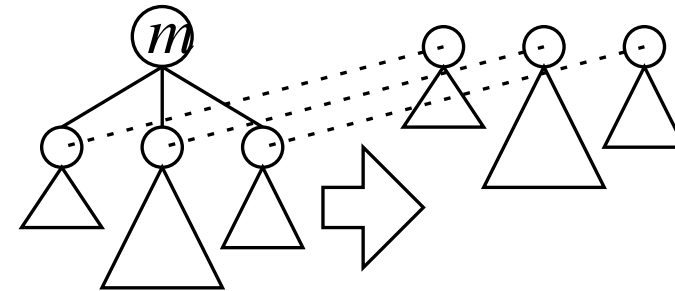
foreach child h of m **do** newTree(h)

while $\exists a, b \in \text{forest} : \text{rank}(a) = \text{rank}(b)$ **do**

 union(a, b) // increments rank of surviving root

update minPtr

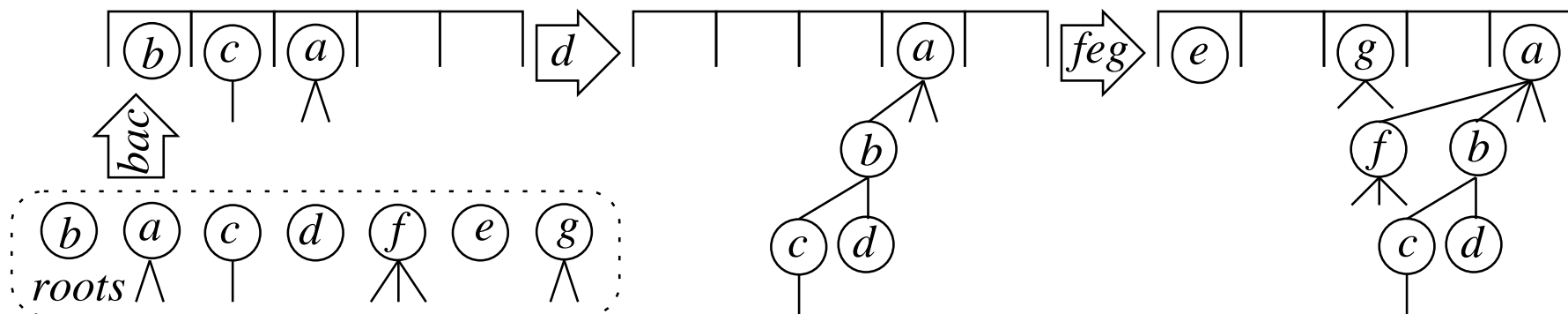
return m



Schnelles Union-by-Rank

Durch rank adressiertes Feld.

Solange link durchführen bis freier Eintrag gefunden.



Analyse: Zeit $O(\#\text{unions} + |\text{forest}|)$

Amortisierte Analyse von deleteMin

$$\text{maxRank} := \max_{a \in \text{forest}} \text{rank}(a) \text{ (nachher)}$$

Lemma: $T_{\text{deleteMin}} = O(\text{maxRank})$

Beweis: Kontomethode. Ein **Token** pro Wurzel

$$\text{rank}(\text{minPtr}) \leq \text{maxRank}$$

\rightsquigarrow Kosten $O(\text{maxRank})$ für newTrees und neue **Token**.

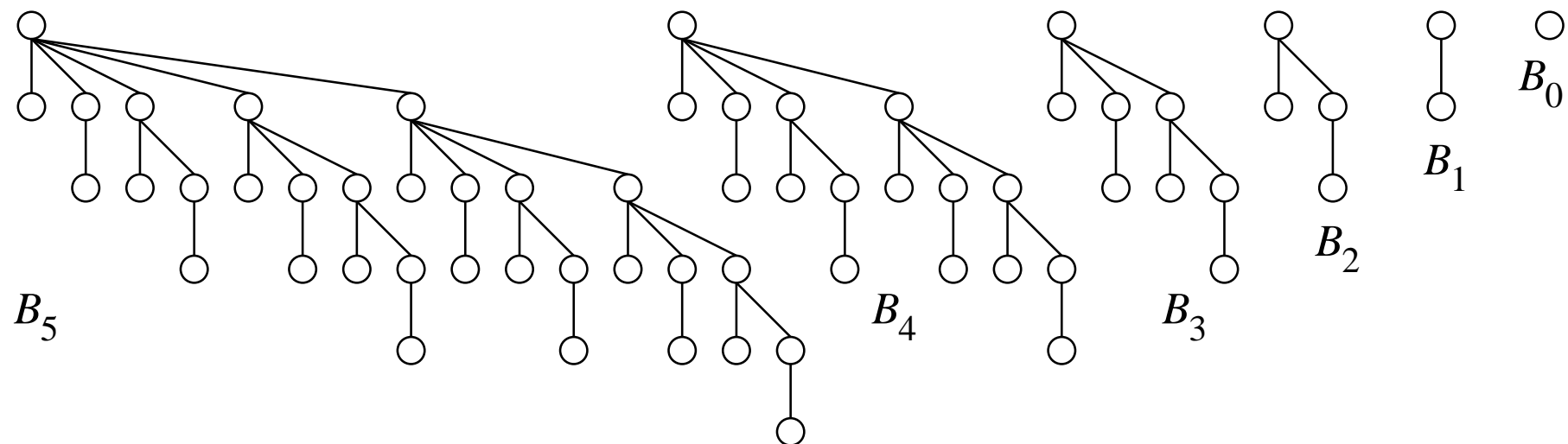
Union-by-rank: **Token** zahlen für

- union Operationen (ein **Token** wird frei) und
- durchlaufen alter und neuer Wurzeln.

Am Ende gibt es $\leq \text{maxRank}$ Wurzeln.

Warum ist maxRank logarithmisch? – Binomialbäume

$2^k + 1 \times \text{insert}, 1 \times \text{deleteMin} \rightsquigarrow \text{rank } k$



[Vuillemin 1978] PQ nur mit Binomialbäumen, $T_{\text{decreaseKey}} = O(\log n)$.

Problem: Schnitte können zu kleinen hochrangigen Bäumen führen

Kaskadierende Schnitte

Procedure decreaseKey(h : Handle, k : Key)

key(h) := k

cascadingCut(h)

Procedure cascadingCut(h)

if h is not a root **then**

p := parent(h)

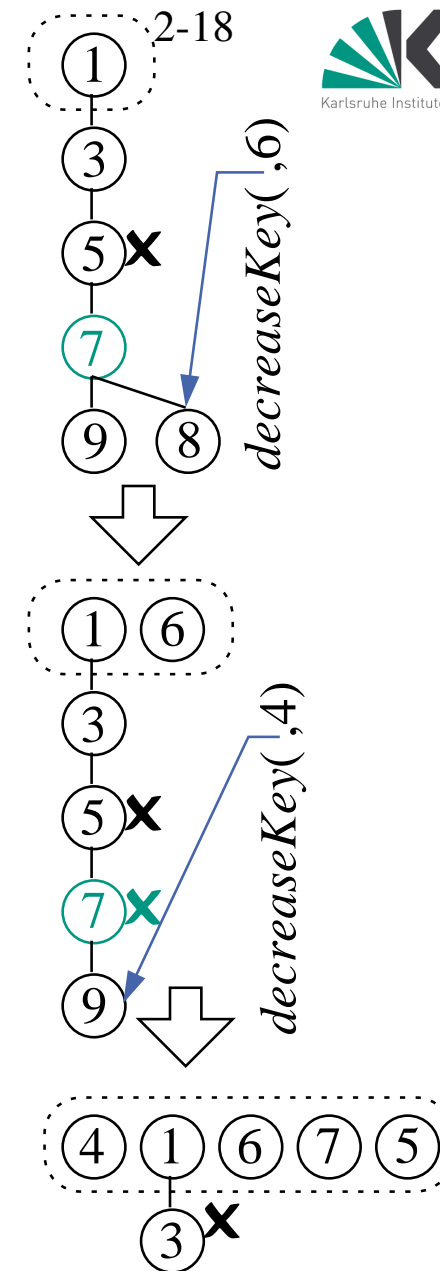
unmark h

cut(h)

if p is marked **then**

cascadingCut(p)

else mark p



Wir werden zeigen: kaskadierende Schnitte halten maxRank logarithmisch

Lemma: decreaseKey hat amortisierte Komplexität $O(1)$

Kontomethode: (≈ 1 Token pro cut oder union)

1 Token für jede Wurzel

2 Token für jeden markierten Knoten

betrachte decreaseKey mit k konsekutiven markierten Vorgängern:

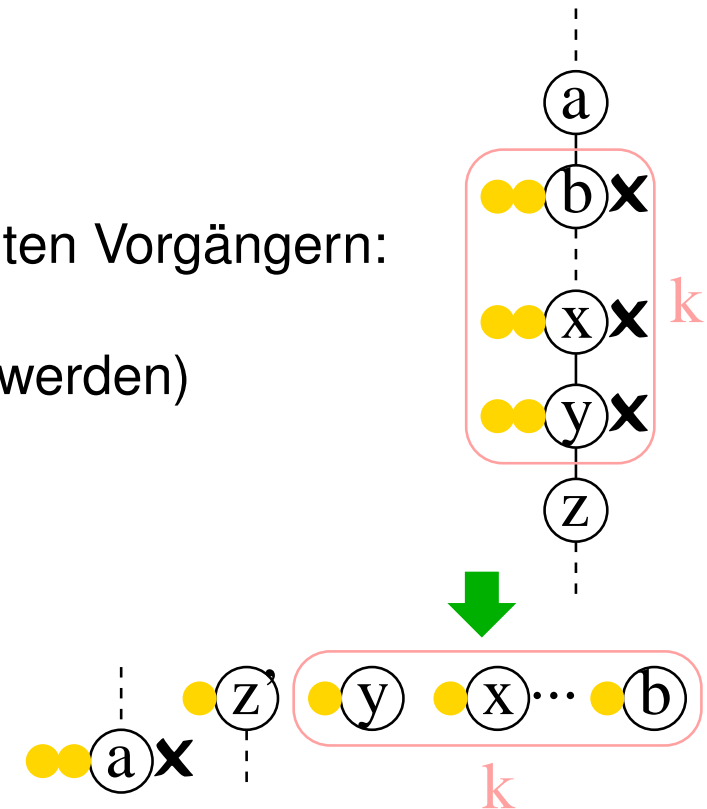
$2k$ Token werden frei (von Knoten die entmarkiert werden)

2 Token für neue Markierung

$k+1$ Token für Ausstattung der neuen Wurzeln

$k+1$ Token für Schnitte

Bleiben 4 Token $+O(1)$ Kosten für decreaseKey



Auftritt Herr Fibonacci

$$F_i := \begin{cases} 0 & \text{für } i=0 \\ 1 & \text{für } i=1 \\ F_{i-2} + F_{i-1} & \text{sonst} \end{cases}$$

Bekannt: $F_{i+1} \geq ((1 + \sqrt{5})/2)^i \geq 1.618^i$ für alle $i \geq 0$.

Wir zeigen:

Ein Teilbaum T mit Wurzel v mit $\text{rank}(v) = i$ enthält $\geq F_{i+2}$ Elemente.

$$1.618^i \leq F_{i+1} \leq F_{i+2} \leq |T| \leq n$$

\Rightarrow

$$i \leq \log_{1.618} n$$

also logarithmische Zeit für deleteMin.

Beweis:

Betrachte Zeitpunkt als das j -te Kind w_j von v hinzugelinkt wurde:

w_j und v hatten gleichen Rang $\geq j - 1$ (v hatte schon $j - 1$ Kinder)

$\text{rank}(w_j)$ hat **höchstens um eins abgenommen** (cascading cuts)

$\Rightarrow \text{rank}(w_j) \geq j - 2$ und $\text{rank}(v) \geq j - 1$

$S_i :=$ untere Schranke für # Knoten mit Wurzel vom Rang i :

$$S_0 = 1$$

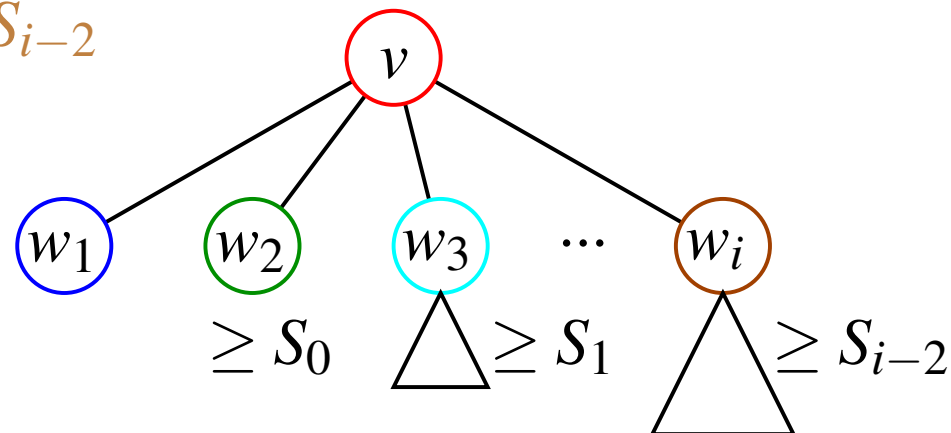
$$S_1 = 2$$

$$S_i \geq 1 + 1 + S_0 + S_1 + \dots + S_{i-2}$$

für $i \geq 2$

Diese Rekurrenz

hat die Lösung $S_i \geq F_{i+2}$



Addressable Priority Queues: Mehr

- Untere Schranke $\Omega(\log n)$ für deleteMin, vergleichsbasiert.
Beweis: Übung
- Worst case Schranken: nicht hier
- Monotone** PQs mit **ganzzahligen** Schlüsseln (stay tuned)

Offene Probleme:

Analyse Pairing Heap

Zusammenfassung Datenstrukturen

- In dieser Vorlesung Fokus auf Beispiel **Prioritätslisten**
(siehe auch kürzeste Wege, externe Algorithmen)
- Heapkonzept** trägt weit
- Geschwisterzeiger erlauben **Repräsentation beliebiger Bäume** mit konstanter Zahl Zeiger pro Item.
- Fibonacci heaps** als nichttriviales Beispiel für **amortisierte Analyse**
- Binomialbäume** treten in der Algorithmik immer wieder mal auf
(z.B. Broadcast und Reduktion in Parallelrechnern)

Fortgeschrittene Graphenalgorithmen

3 Kürzeste Wege

Folien teilweise von Rob van Stee

Eingabe: Graph $G = (V, E)$

Kostenfunktion/Kantengewicht $c : E \rightarrow \mathbb{R}$

Anfangsknoten s .

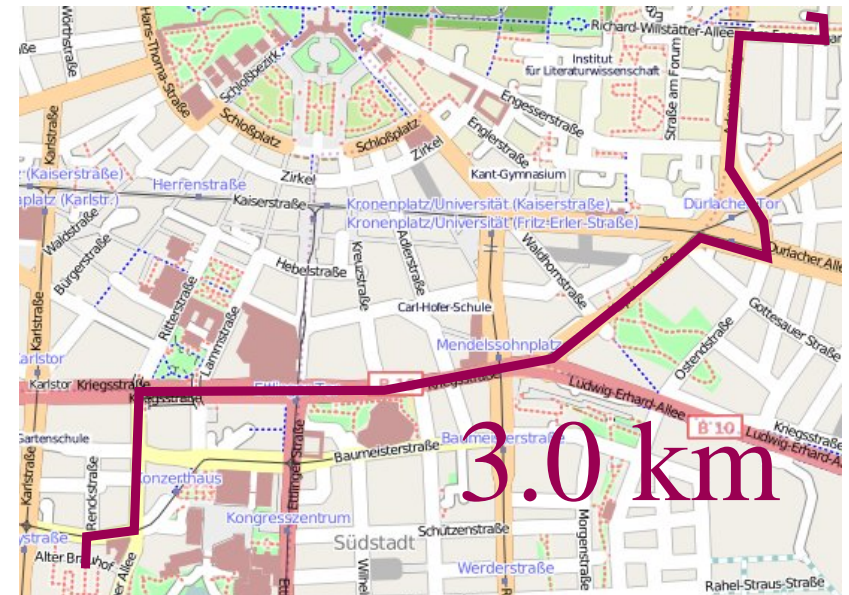
Ausgabe: für alle $v \in V$

Länge $\mu(v)$ des kürzesten Pfades von s nach v ,

$$\mu(v) := \min \{c(p) : p \text{ ist Pfad von } s \text{ nach } v\}$$

mit $c(\langle e_1, \dots, e_k \rangle) := \sum_{i=1}^k c(e_i)$.

Oft wollen wir auch “geeignete” **Repräsentation der kürzesten Pfade**.



Allgemeine Definitionen

Wir benutzen zwei Knotenarrays:

□ $d[v]$ = aktuelle (vorläufige) Distanz von s nach v

Invariante: $d[v] \geq \mu(v)$

□ $\text{parent}[v]$ = Vorgänger von v

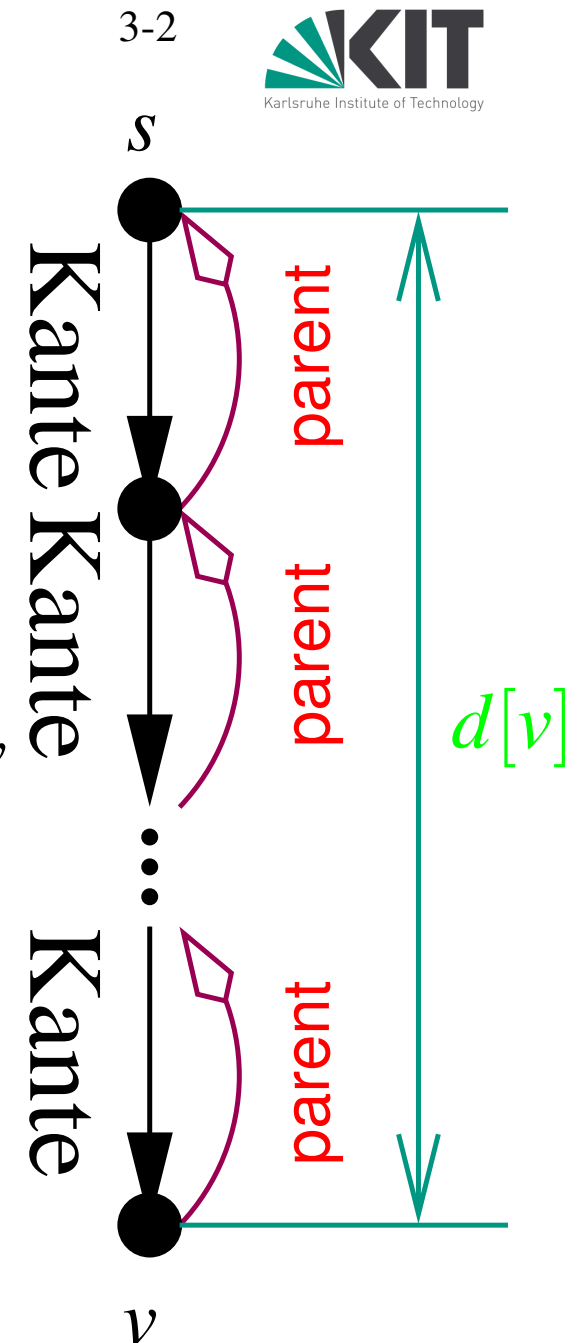
auf dem (vorläufigen) kürzesten Pfad von s nach v

Invariante: dieser Pfad bezeugt $d[v]$

Initialisierung:

$d[s] = 0$, $\text{parent}[s] = s$

$d[v] = \infty$, $\text{parent}[v] = \perp$



Kante (u, v) relaxieren

falls $d[u] + c(u, v) < d[v]$

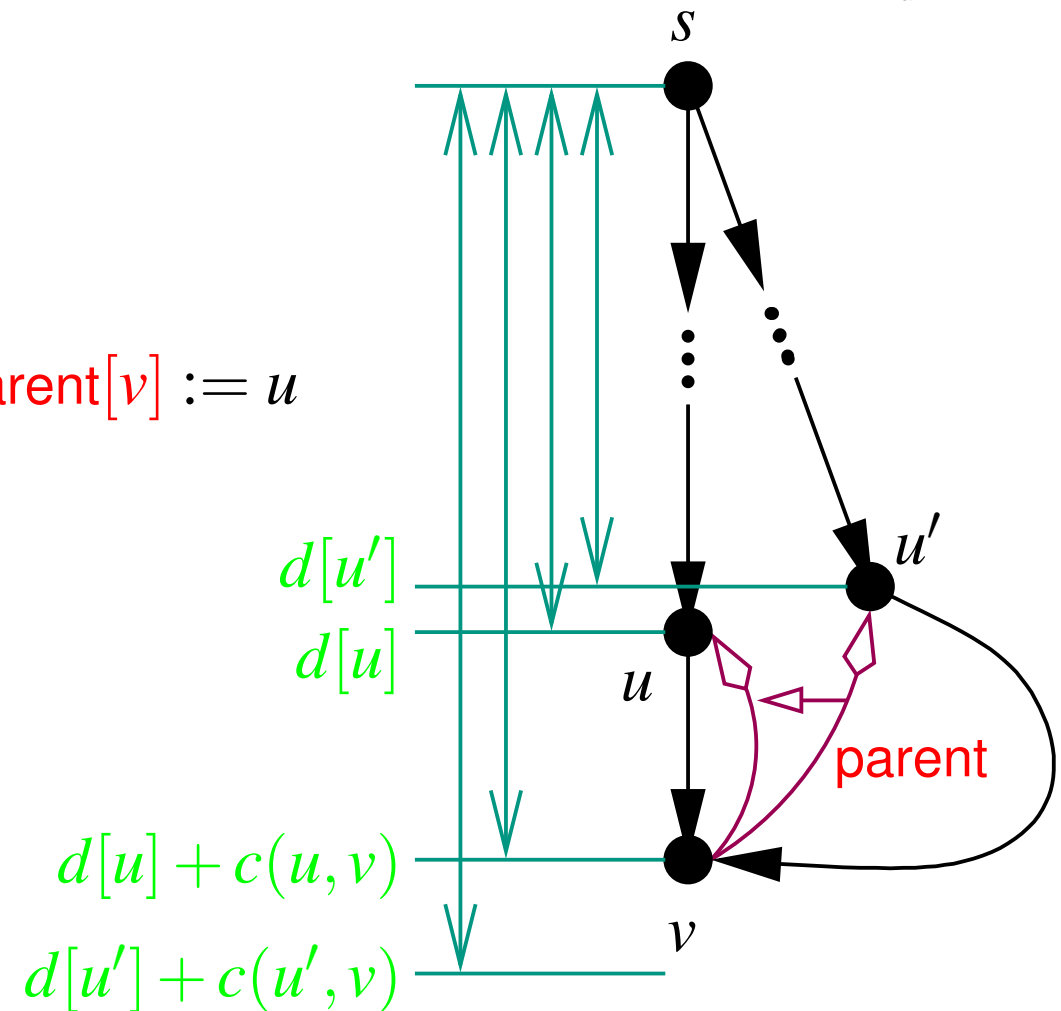
vielleicht $d[v] = \infty$

setze $d[v] := d[u] + c(u, v)$ und $\text{parent}[v] := u$

Invarianten bleiben erhalten!

Beobachtung:

$d[v]$ Kann sich mehrmals ändern!



Dijkstra's Algorithmus: Pseudocode

initialize d , parent, $Q := \{s\}$

while $Q \neq \emptyset$ **do**

$u := Q.\text{deleteMin}$ // **non-scanned** node v with minimal $d[v]$

foreach $(u, v) \in E$ **do** // relax (u, v)

if $d[u] + c(u, v) < d[v]$ **then**

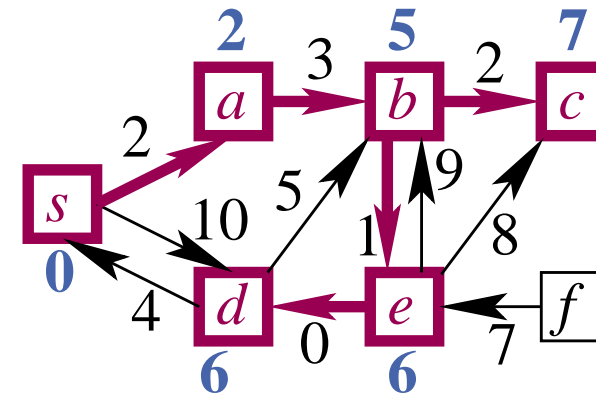
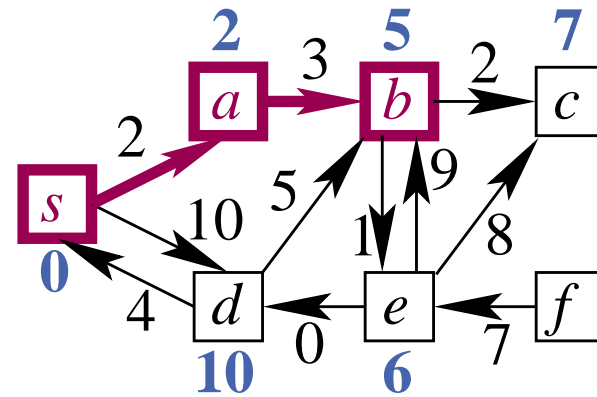
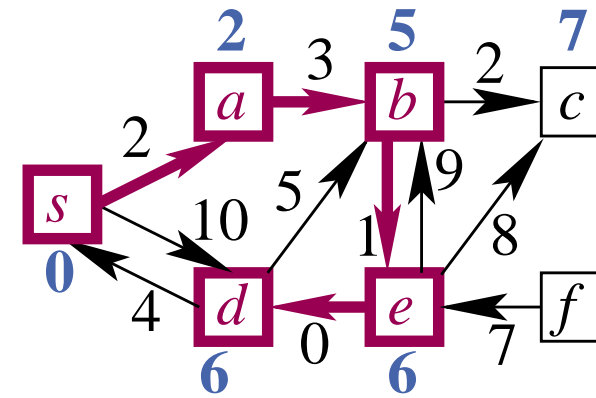
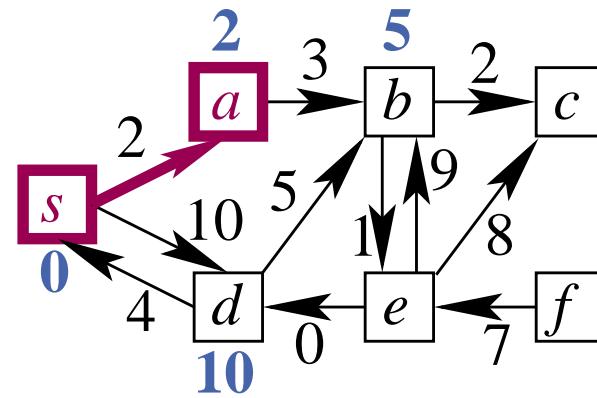
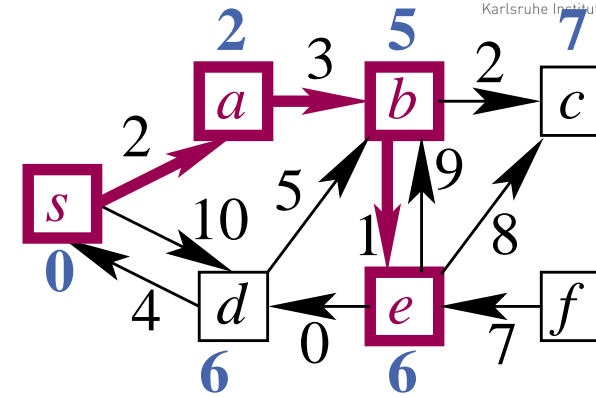
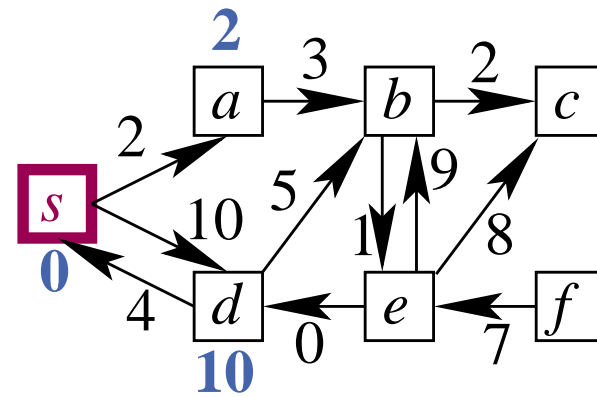
$d[v] := d[u] + c(u, v);$ parent $[v] := u$

if $v \notin Q$ **then** $Q.\text{insert}(v)$ **else** $Q.\text{decreaseKey}(v, d[v])$

Behauptung: Am Ende definiert d die optimalen Entfernungen
und **parent** die zugehörigen Wege (siehe Algo I:)

- v erreichbar $\implies v$ wird **irgendwann gescannt**
- v gescannt $\implies \mu(v) = d[v]$

Beispiel



Laufzeit

$$T_{\text{Dijkstra}} = O(m \cdot T_{\text{decreaseKey}}(n) + n \cdot (T_{\text{deleteMin}}(n) + T_{\text{insert}}(n)))$$

Mit **Fibonacci-Heapprioritätslisten**:

- insert $O(1)$
- decreaseKey $O(1)$
- deleteMin $O(\log n)$ (amortisiert)

$$\begin{aligned} T_{\text{DijkstraFib}} &= O(m \cdot 1 + n \cdot (\log n + 1)) \\ &= O(m + n \log n) \end{aligned}$$

Aber: konstante Faktoren in $O(\cdot)$ sind hier größer als bei binären Heaps!

Laufzeit im Durchschnitt

Bis jetzt: $\leq m$ decreaseKeys ($\leq 1 \times$ pro Kante)

Wieviel decreaseKeys **im Durchschnitt**?

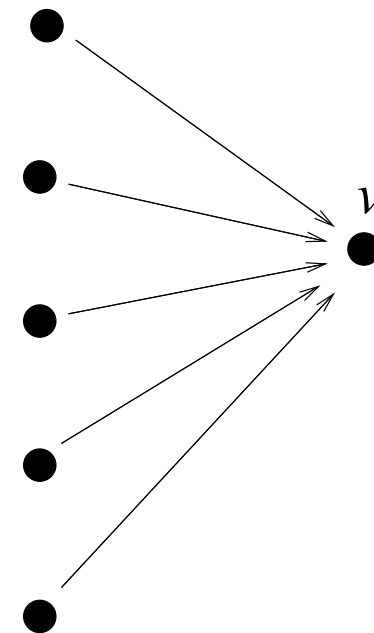
Modell:

- Beliebiger Graph G
- Beliebiger Anfangsknoten s
- Beliebige Mengen $C(v)$
von Kantengewichten für
eingehende Kanten von Knoten v

Gemittelt wird über alle Zuteilungen

$C(v) \rightarrow$ eingehende Kanten von v

Beispiel: alle Kosten unabhängig identisch verteilt

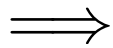


$\text{indegree}(v)=5$

$C(v)=\{c_1, \dots, c_5\}$

Laufzeit im Durchschnitt

Probabilistische Sichtweise: Zufällige gleichverteilte Auswahl der zu mittelnden Eingaben.



wir suchen den **Erwartungswert** der Laufzeit

Frage: Unterschied zu erwarteter Laufzeit bei randomisierten Algorithmen ?

Laufzeit im Durchschnitt

Theorem 1. $\mathbb{E}[\#decreaseKey\text{-Operationen}] = O\left(n \log \frac{m}{n}\right)$

Dann

$$\begin{aligned}\mathbb{E}(T_{\text{DijkstraBHeap}}) &= O\left(m + n \log \frac{m}{n} \cdot T_{\text{decreaseKey}}(n) \right. \\ &\quad \left. + n \cdot (T_{\text{deleteMin}}(n) + T_{\text{insert}}(n))\right) \\ &= O\left(m + n \log \frac{m}{n} \log n + n \log n\right) \\ &= O\left(m + n \log \frac{m}{n} \log n\right)\end{aligned}$$

(wir hatten vorher $T_{\text{DijkstraBHeap}} = O((m + n) \log n)$)

($T_{\text{DijkstraFib}} = O(m + n \log n)$ schlechtester Fall)

Lineare Laufzeit für dichte Graphen

$m = \Omega(n \log n \log \log n) \Rightarrow$ lineare Laufzeit.

(nachrechnen)

Also hier u. U. besser als Fibonacci heaps

Theorem 1. $\mathbb{E}[\#decreaseKey\text{-}Operationen] = O\left(n \log \frac{m}{n}\right)$

Theorem 1. $\mathbb{E}[\#decreaseKey\text{-Operationen}] = O\left(n \log \frac{m}{n}\right)$

decreaseKey bei Bearbeitung von e_i nur wenn

$$\mu(u_i) + c(e_i) < \min_{j < i} (\mu(u_j) + c(e_j)).$$

Aber $\mu(u_i) \geq \mu(u_j)$ für $j < i$,

(Dijkstra scanned Knoten nach aufsteigendem μ)

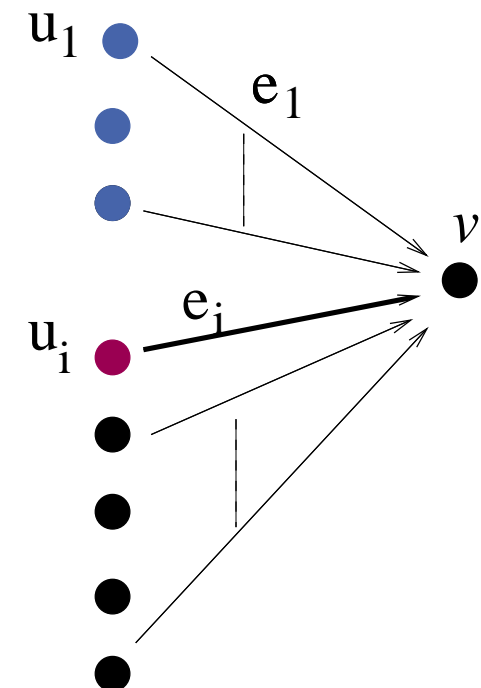
also muss gelten:

$$\mu(u_i) + c(e_i) < \min_{j < i} (\mu(u_i) + c(e_j)).$$

$$\Leftrightarrow (-\mu(u_i))$$

$$c(e_i) < \min_{j < i} c(e_j).$$

Präfixminimum



Theorem 1. $\mathbb{E}[\#decreaseKey\text{-}Operationen] = O\left(n \log \frac{m}{n}\right)$

Kosten in $C(v)$ erscheinen in **zufälliger Reihenfolge**

Wie oft findet man ein neues Minimum bei zufälliger Reihenfolge?

Harmonische Zahl H_k (Sect. 2.8, s.u.)

Erstes Minimum: führt zu $\text{insert}(v)$.

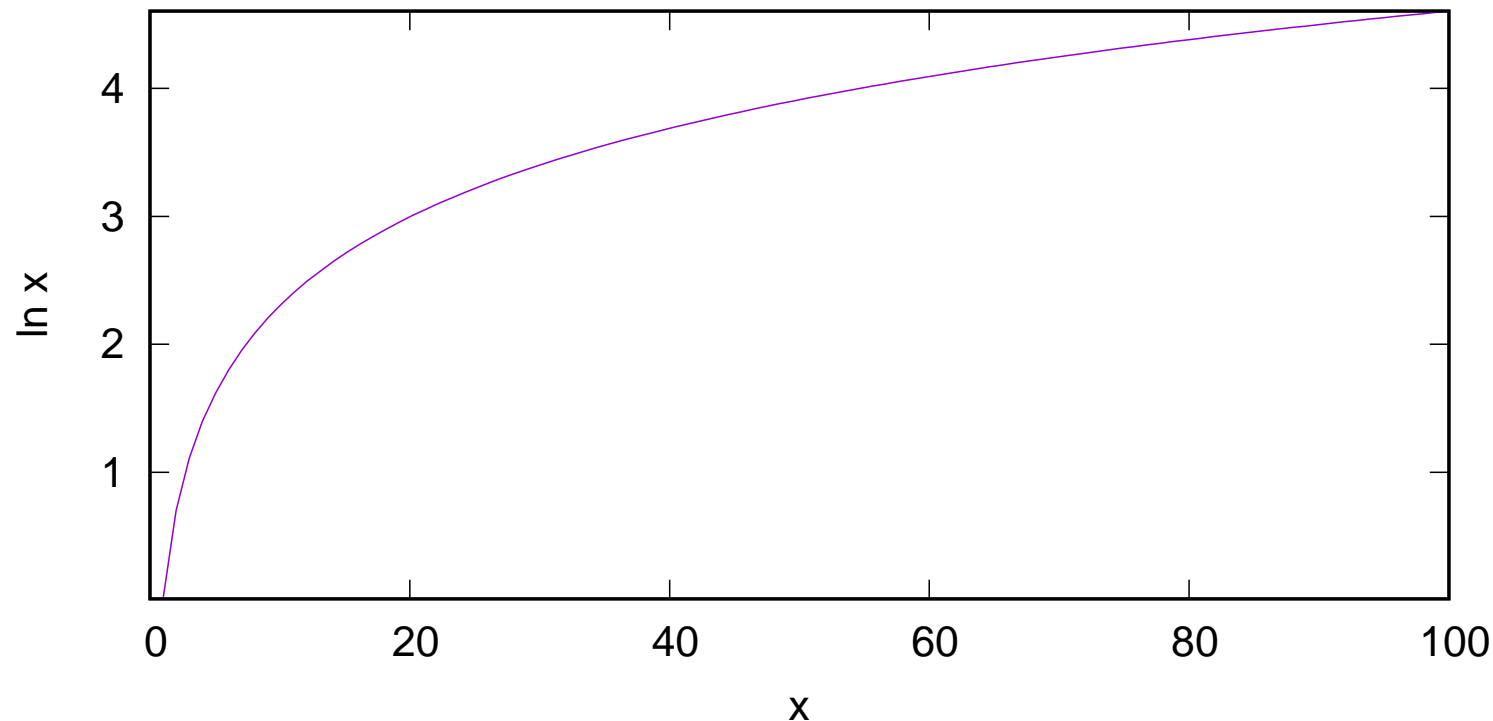
Also $\leq H_k - 1 \leq (\ln k + 1) - 1 = \ln k$ erwartete decreaseKeys

Theorem 1. $\mathbb{E}[\#decreaseKey\text{-}Operationen] = O\left(n \log \frac{m}{n}\right)$

Für Knoten $v \leq H_k - 1 \leq \ln k$ decreaseKeys (erwartet) mit $k = \text{indegree}(v)$.

Insgesamt
$$\sum_{v \in V} \ln \text{indegree}(v) \leq n \ln \frac{m}{n}$$

(wegen Konkavität von $\ln x$)



Präfixminima einer Zufallsfolge

Definiere Zufallsvariable M_n als Anzahl Präfixminima einer Folge von n verschiedenen Zahlen (in Abhängigkeit von einer Zufallspermutation)

Definiere Indikatorzufallsvariable $I_i := 1$ gdw. die i -te Zahl ein Präfixminimum ist.

$$\begin{aligned}
 \mathbb{E}[M_n] &= \mathbb{E}\left[\sum_{i=1}^n I_i\right] \stackrel{\text{Lin. E}[\cdot]}{=} \sum_{i=1}^n \mathbb{E}[I_i] \\
 &= \sum_{i=1}^n \frac{1}{i} = H_n \text{ wegen } \mathbb{P}[I_i = 1] = \frac{1}{i}
 \end{aligned}$$

$$\underbrace{x_1, \dots, x_{i-1}}_{<x_i?}, x_i, x_{i+1}, \dots, x_n$$

Monotone ganzzahlige Prioritätslisten

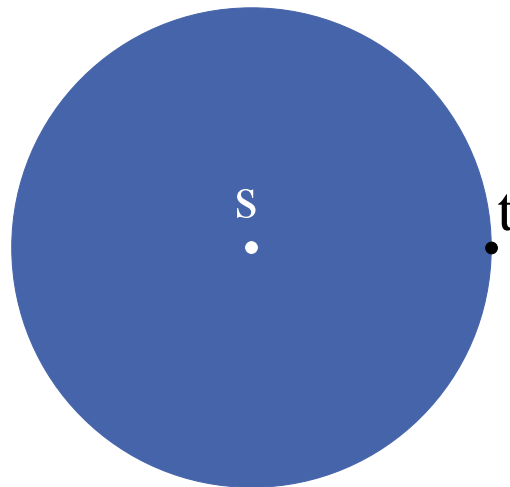
Grundidee: Datenstruktur auf Anwendung **zuschneiden**

Dijkstra's Algorithmus benutzt die **Prioritätsliste monoton**:

Operationen insert und decreaseKey benutzen Distanzen der Form

$$d[u] + c(e)$$

⇒ Prioritäten **entfernter Knoten** steigen monoton



Monotone ganzzahlige Prioritätslisten

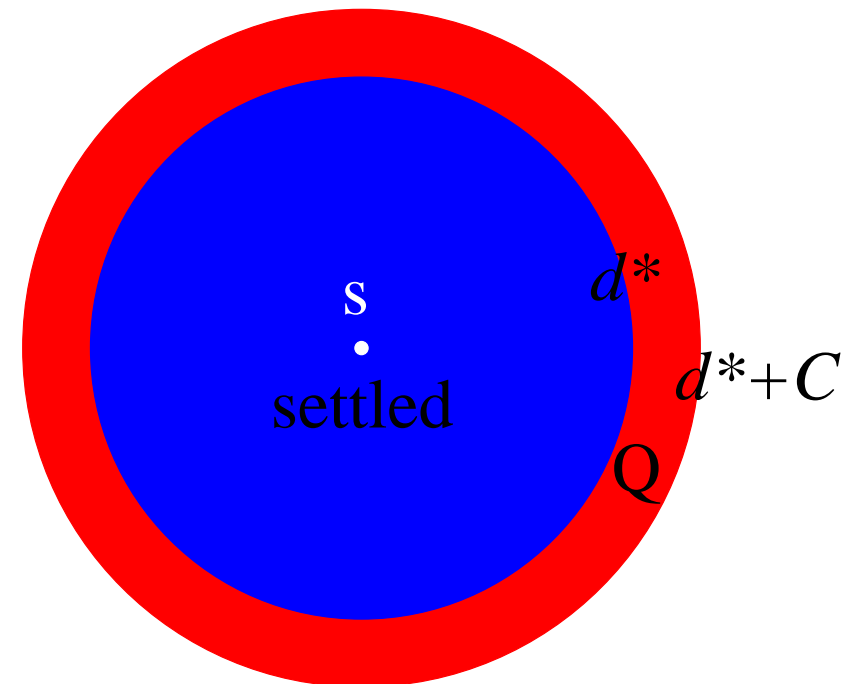
Annahme: Alle Kantengewichte sind ganzzahlig und im Intervall $[0, C]$

$$\implies \forall v \in V : d[v] \leq (n - 1)C$$

Es gilt sogar:

Sei d^* der letzte Wert,
der aus Q entfernt wurde.

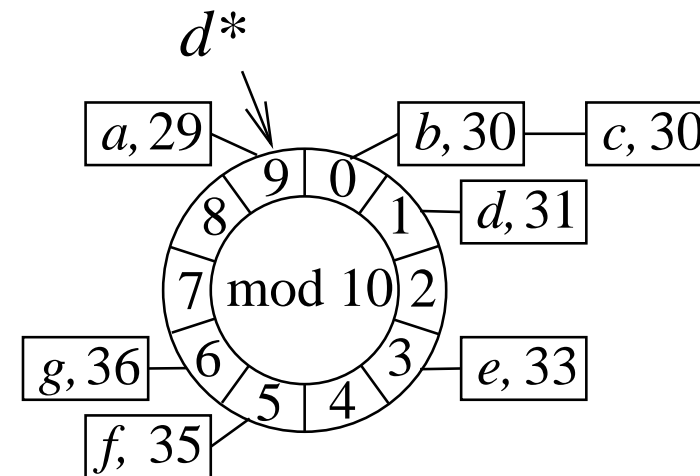
In Q sind immer
nur Knoten mit Distanzen im
Intervall $[d^*, d^* + C]$.



Bucket-Queue

Zyklisches Array B von
 $C + 1$ doppelt verketteten Listen
 Knoten mit Distanz $d[v]$
 wird in $B[d[v] \bmod (C + 1)]$
 gespeichert.

Bucket queue with $C = 9$



Content=

$\langle (a, 29), (b, 30), (c, 30), (d, 31) \rangle$
 $\langle (e, 33), (f, 35), (g, 36) \rangle$

Operationen

Initialisierung: $C + 1$ leere Listen, $d^* = 0$

insert(v): fügt v in $B[d[v] \bmod (C + 1)]$ ein

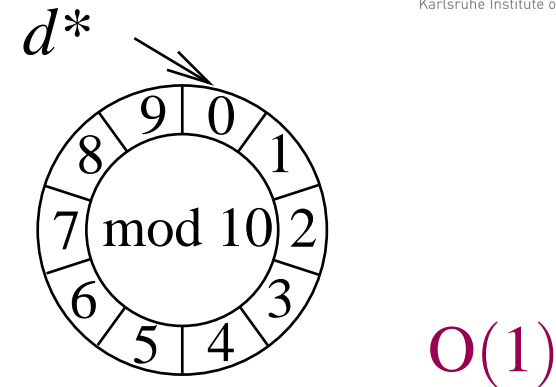
decreaseKey(v): entfernt v aus seiner Liste und fügt es ein in $B[d[v] \bmod (C + 1)]$

deleteMin: fängt an bei Bucket $B[d^* \bmod (C + 1)]$. Falls der leer ist, $d^* := d^* + 1$, wiederhole. **erfordert Monotonizität!**

d^* nimmt höchstens nC mal zu, höchstens n Elemente werden insgesamt aus Q entfernt \Rightarrow

Gesamtkosten deleteMin-Operationen = $O(n + nC) = O(nC)$.

Genauer: $O(n + \text{maxPathLength})$



Laufzeit Dijkstra mit Bucket-Queues

$$\begin{aligned} T_{\text{Dijkstra}} &= O(m \cdot T_{\text{decreaseKey}}(n) \\ &\quad + \text{Kosten deleteMin-Operationen} \\ &\quad + n \cdot T_{\text{insert}}(n)) \end{aligned}$$

$$\begin{aligned} T_{\text{DijkstraBQ}} &= O(m \cdot 1 + nC + n \cdot 1) \\ &= O(m + nC) \text{ oder auch} \\ &= O(m + \text{maxPathLength}) \end{aligned}$$

Mit **Radix-Heaps** finden wir sogar $T_{\text{DijkstraRadix}} = O(m + n \cdot \log C)$

Idee: nicht alle Buckets gleich groß machen

Radix-Heaps

Wir verwenden die Buckets -1 bis K , für $K = 1 + \lfloor \log C \rfloor$

d^* = die zuletzt aus Q entfernte Distanz

Für jeden Knoten $v \in Q$ gilt $d[v] \in [d^*, \dots, d^* + C]$.

Betrachte **binäre Repräsentation** der möglichen Distanzen in Q .

Nehme zum Beispiel $C = 9$, binär 1001. Dann $K = 4$.

Beispiel 1: $d^* = 10000$, dann $\forall v \in Q : d[v] \in [10000, 11001]$

Beispiel 2: $d^* = 11101$, dann $\forall v \in Q : d[v] \in [11101, 100110]$

Speichere v in Bucket $B[i]$ falls $d[v]$ und d^* sich **zuerst an der i ten Stelle unterscheiden**, (in $B[K]$ falls $i > K$, in $B[-1]$ falls sie sich nicht unterscheiden)

Definition $msd(a, b)$

Die **Position** der **höchstwertigen Binärziffer** wo a und b sich unterscheiden

a	1100 1 010	10101 0 0	1110110
b	1100 0 101	10101 1 0	1110110
$msd(a, b)$	3	1	-1

$msd(a, b)$ können wir mit Maschinenbefehlen sehr schnell berechnen

Radix-Heap-Invariante

v ist gespeichert in Bucket $B[i]$ wo $i = \min(\text{msd}(d^*, d[v]), K)$.

Beispiel 1: $d^* = 10000$, $C = 9$, $K = 4$

Bucket	$d[v]$ binär	$d[v]$
-1	10000	16
0	10001	17
1	1001*	18,19
2	101**	20–23
3	11***	24–25
4	-	-

(In Bucket 4 wird nichts gespeichert)

Radix-Heap-Invariante

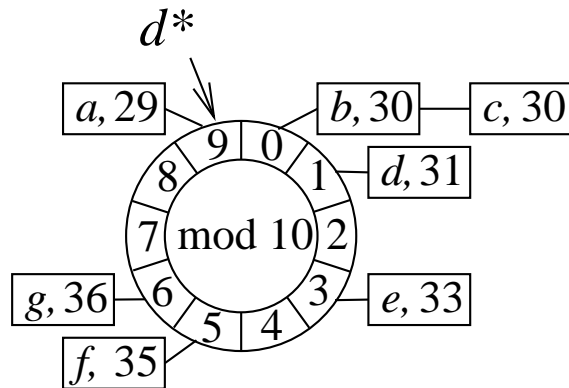
v ist gespeichert in Bucket $B[i]$ wo $i = \min(\text{msd}(d^*, d[v]), K)$.

Beispiel 2: $d^* = 11101$, $C = 9$, dann $K = 4$

Bucket	$d[v]$ binär	$d[v]$
-1	11101	29
0	-	-
1	1111*	30,31
2	-	-
3	-	-
4	100000 und höher	32 und höher

Falls $d[v] \geq 32$, dann $\text{msd}(d^*, d[v]) > 4!$

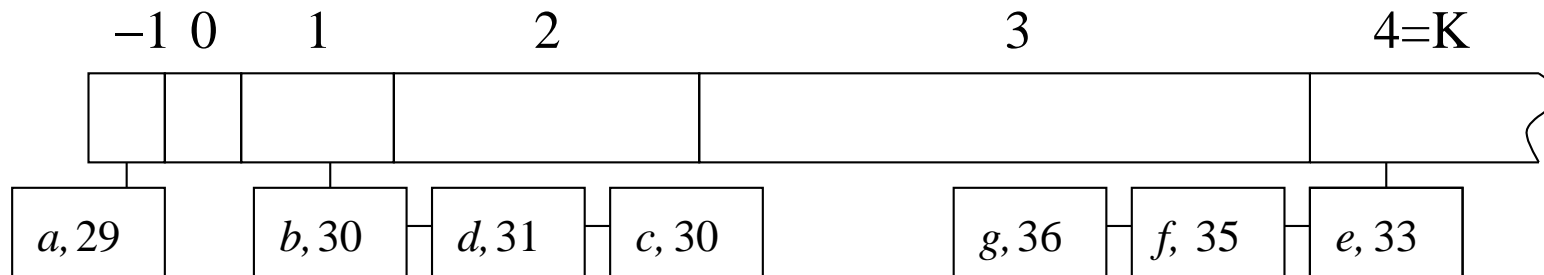
Bucket-Queues und Radix-Heaps



Bucket queue with $C = 9$

Content=

$\langle (a,29), (b,30), (c,30), (d,31), (e,33), (f,35), (g,36) \rangle$



Binary Radix Heap

Radix Heap: deleteMin

Function deleteMin: Element

if $B[-1] = \emptyset$

$i := \min \{ j \in 0..K : B[j] \neq \emptyset \}$

move $\min B[i]$ to $B[-1]$ and to d^*

foreach $e \in B[i]$ **do** // exactly here invariant is violated !

 move e to $B[\min(\text{msd}(d^*, d[e]), K)]$

result := $B[-1].\text{popFront}$

return result

$B[0], \dots, B[i-1]$: leer, also nichts zu tun.

$B[i+1], \dots, B[K]$: msd bleibt erhalten, weil altes und neues d^*

gleich für alle Bits $j > i$

Buckets $j > i$ bei Änderung von d^*

Beispiel: $d^* = 10000$, $C = 9$, $K = 4$.

Neues $d^* = 10010$, war in Bucket 1

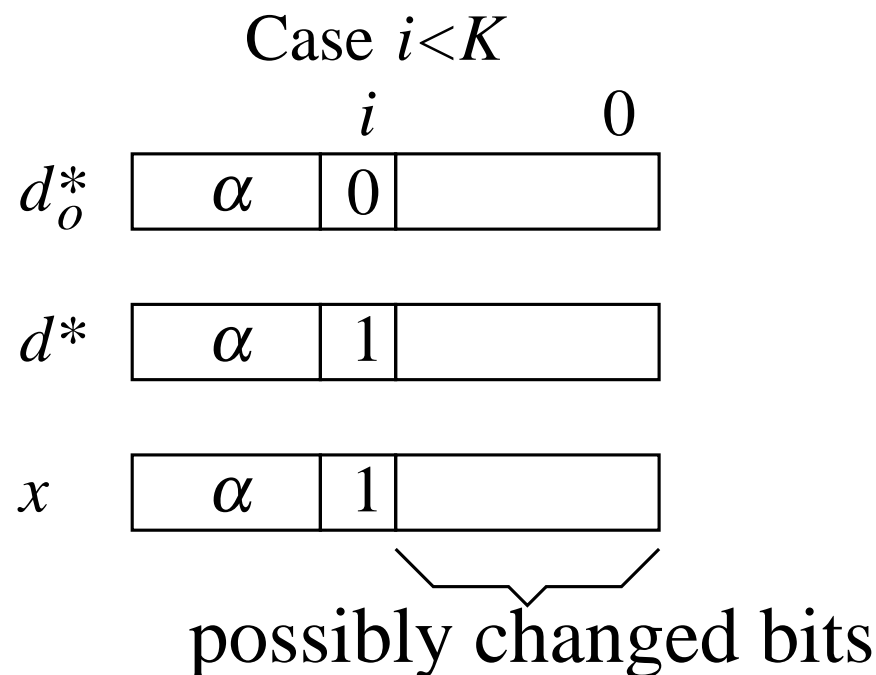
Bucket	$d^* = 10000$		$d^* = 10010$	
	$d[v]$ binär	$d[v]$	$d[v]$ binär	$d[v]$
-1	10000	16	10010	18
0	10001	17	10011	19
1	1001*	18,19	-	-
2	101**	20–23	101**	20-23
3	11***	24–25	11***	24-27
4	-	-	-	-

Bucket $B[i]$ bei Änderung von d^*

Lemma: Elemente x aus $B[i]$ gehen zu Buckets mit **kleineren** Indices

Wir zeigen nur den Fall $i < K$.

Sei d_o^* der alte Wert von d^* .



Kosten der deleteMin-Operationen

Bucket $B[i]$ finden: $O(i)$

Elemente aus $B[i]$ verschieben: $O(|B[i]|)$

Insgesamt $O(K + |B[i]|)$ falls $i \geq 0$, $O(1)$ falls $i = -1$

Verschiebung erfolgt immer nach **kleineren** Indices

Wir zahlen dafür **schon beim insert** (amortisierte Analyse):

es gibt höchstens K Verschiebungen eines Elements

Laufzeit Dijkstra mit Radix-Heaps

Insgesamt finden wir amortisiert

$$\square T_{\text{insert}}(n) = O(K)$$

$$\square T_{\text{deleteMin}}(n) = O(K)$$

$$\square T_{\text{decreaseKey}}(n) = O(1)$$

$$T_{\text{Dijkstra}} = O(m \cdot T_{\text{decreaseKey}}(n) + n \cdot (T_{\text{deleteMin}}(n) + T_{\text{insert}}(n)))$$

$$T_{\text{DijkstraRadix}} = O(m + n \cdot (K + K)) = O(m + n \cdot \log C)$$

Lineare Laufzeit für zufällige Kantengewichte

Vorher gesehen: Dijkstra mit binary heaps hat lineare Laufzeit für dichte Graphen ($m > n \log n \log \log n$)

Letzte Folie: $T_{\text{DijkstraRadix}} = O(m + n \cdot \log C)$

Jetzt: Dijkstra mit Radix-Heaps hat lineare Laufzeit ($O(m + n)$) falls Kantenkosten identisch uniform verteilt in $0..C$

– wir brauchen nur eine kleine Änderung im Algorithmus

Änderung im Algorithmus für zufällige Kantengewichte

Vorberechnung von $c_{\min}^{\text{in}}(v) := \min \{c((u, v) : (u, v) \in E\}$ leichtestes eingehendes Kantengewicht.

Beobachtung: $d[v] \leq d^* + c_{\min}^{\text{in}}(v)$

$\implies d[v] = \mu(v)$.

\implies schiebe v in Menge F ungescannter Knoten mit korrekter Distanz

Knoten in F werden bei nächster Gelegenheit gescannt.

($\approx F$ als Erweiterung von $B[-1]$.)

Analyse

Ein Knoten v kommt **nie** in einem Bucket i mit $i < \log c_{\min}^{\text{in}}(v)$

Also wird v höchstens $K + 1 - \log c_{\min}^{\text{in}}(v)$ mal verschoben

Kosten von Verschiebungen sind dann insgesamt höchstens

$$\sum_v (K - \log c_{\min}^{\text{in}}(v) + 1) = n + \sum_v (K - \log c_{\min}^{\text{in}}(v)) \leq n + \sum_e (K - \log c(e)).$$

$K - \log c(e)$ = Anzahl Nullen am Anfang der binären Repräsentation von $c(e)$ als K -Bit-Zahl.

$$\mathbb{P}(K - \log c(e) = i) = 2^{-i} \quad \Rightarrow \quad \mathbb{E}(K - \log c(e)) = \sum_{i \geq 0} i 2^{-i} \leq 2$$

$$\text{Laufzeit} = O(m + n)$$

All-Pairs Shortest Paths

Bis jetzt gab es immer einen bestimmten Anfangsknoten s

Wie können wir kürzeste Pfade für **alle** Paare (u, v) in G bestimmen?

Annahme: negative Kosten erlaubt, aber keine negativen **Kreise**

Lösung 1: n mal Bellman-Ford ausführen

... Laufzeit $O(n^2m)$

Lösung 2: **Knotenpotentiale**

... Laufzeit $O(nm + n^2 \log n)$, deutlich schneller

Knotenpotentiale

Jeder Knoten bekommt ein Potential $\text{pot}(v)$

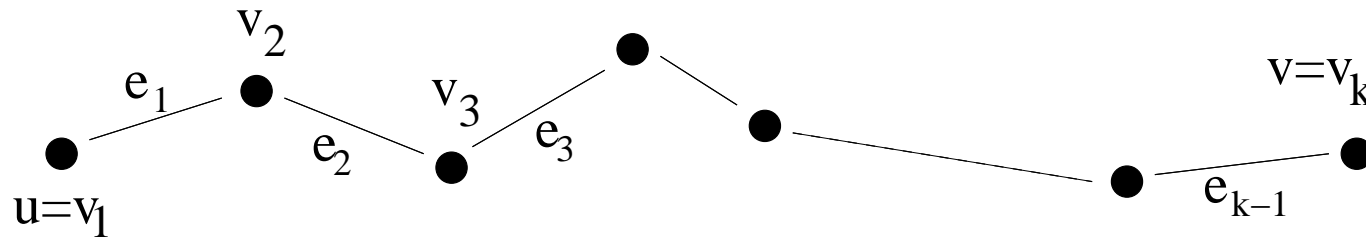
Mit Hilfe der Potentiale definieren wir **reduzierte Kosten** $\bar{c}(e)$ für Kante $e = (u, v)$ als

$$\bar{c}(e) = \text{pot}(u) + c(e) - \text{pot}(v).$$

Mit diesen Kosten finden wir die **gleichen** kürzesten Pfade wie vorher!

Gilt für **alle** möglichen Potentiale – wir können sie also frei definieren

Knotenpotentiale



Sei p ein Pfad von u nach v mit Kosten $c(p)$. Dann

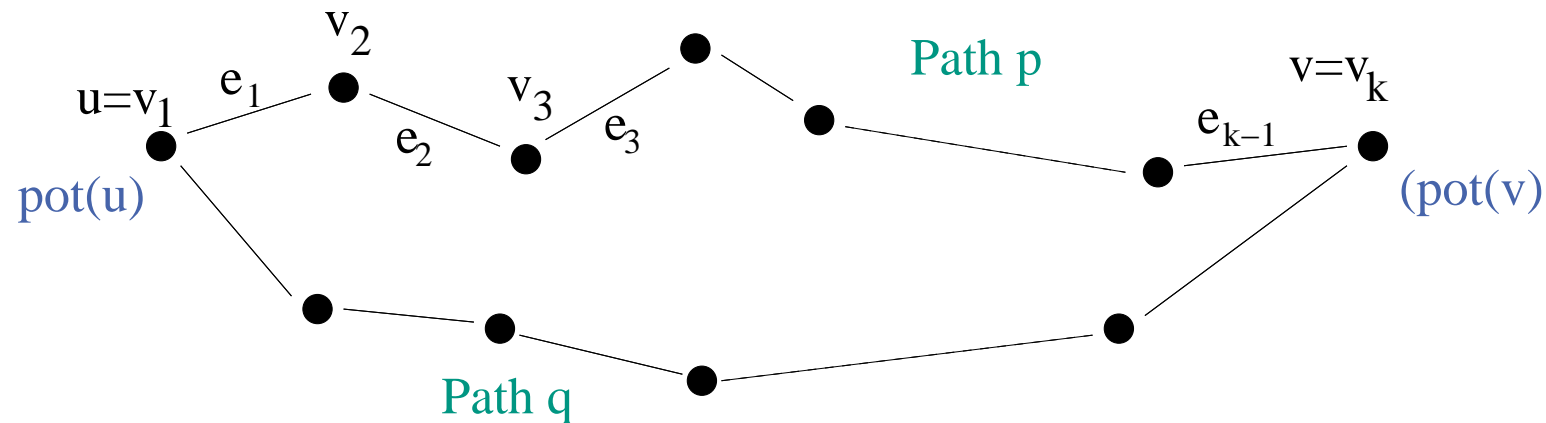
$$\begin{aligned}
 \bar{c}(p) &= \sum_{i=1}^{k-1} \bar{c}(e_i) = \sum_{i=1}^{k-1} (\text{pot}(v_i) + c(e_i) - \text{pot}(v_{i+1})) \\
 &= \text{pot}(v_1) + \sum_{i=1}^{k-1} c(e_i) - \text{pot}(v_k) \\
 &= \text{pot}(v_1) + c(p) - \text{pot}(v_k).
 \end{aligned}$$

Knotenpotentiale

Sei p ein Pfad von u nach v mit Kosten $c(p)$. Dann

$$\bar{c}(p) = \text{pot}(v_1) + c(p) - \text{pot}(v_k).$$

Sei q ein anderer u - v -Pfad, dann $c(p) \leq c(q) \Leftrightarrow \bar{c}(p) \leq \bar{c}(q)$.



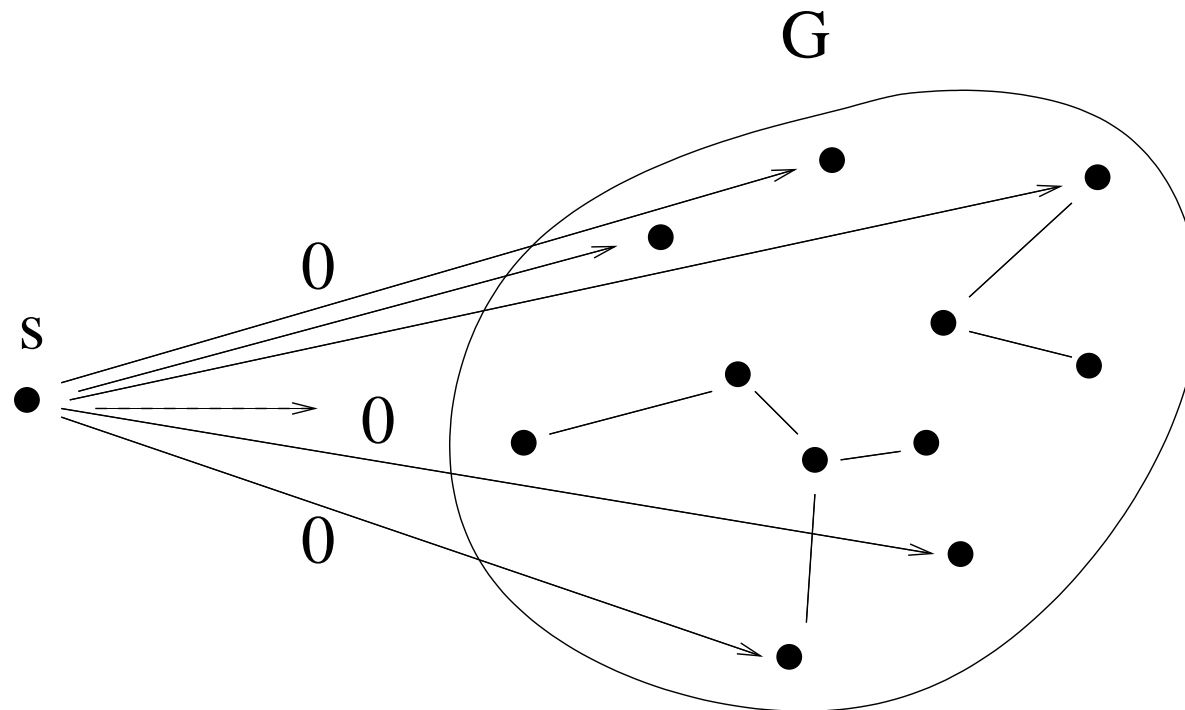
Definition: $\mu(u, v)$ = kürzeste Distanz von u nach v

Hilfsknoten

Wir fügen einen **Hilfsknoten s** zu G hinzu.

Für alle $v \in V$ fügen wir eine Kante (s, v) hinzu mit Kosten 0.

Berechne kürzeste Pfade **von s aus** mit Bellman-Ford.



Definition der Potentiale

Definiere $\text{pot}(v) := \mu(v)$ für alle $v \in V$

Jetzt sind die reduzierten Kosten alle **nicht negativ**: also können wir Dijkstra benutzen! (Evtl. s wieder entfernen...)

- Keine negativen Kreise, also $\text{pot}(v)$ wohldefiniert
- Für beliebige Kante $e = (u, v)$ gilt

$$\mu(u) + c(e) \geq \mu(v)$$

deshalb

$$\bar{c}(e) = \underbrace{\mu(u) + c(e)}_{\geq \mu(v)} - \mu(v) \geq 0$$

Algorithmus

All-Pairs Shortest Paths in the Absence of Negative Cycles

neuer Knoten s

foreach $v \in V$ **do** füge Kante (s, v) ein (Kosten 0) // $O(n)$

pot := $\mu := \text{BellmanFordSSSP}(s, c)$ // $O(nm)$

foreach Knoten $x \in V$ **do** // $O(n(m + n \log n))$

$\bar{\mu}(x, \cdot) := \text{DijkstraSSSP}(x, \bar{c})$

// zurück zur ursprünglichen Kostenfunktion

foreach $e = (v, w) \in V \times V$ **do** // $O(n^2)$

$\mu(v, w) := \bar{\mu}(v, w) + \text{pot}(w) - \text{pot}(v)$

Laufzeit

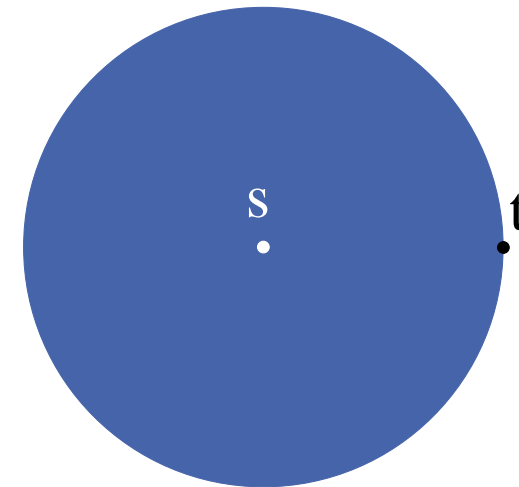
- s hinzufügen: $O(n)$
- Postprocessing: $O(n^2)$ (zurück zu den ursprünglichen Kosten)
- n mal Dijkstra (das dominiert)

$$\text{Laufzeit } O(n(m + n \log n)) = O(nm + n^2 \log n)$$

Auch parallelisierbar: par. Bellman–Ford + unabhängige SSSP-Suchen. Speicherplatz?

Distanz zu einem Zielknoten t

Was machen wir, wenn wir nur die Distanz von s zu einem **bestimmten Knoten t** wissen wollen?



Trick 0:

Dijkstra hört auf, wenn t aus Q entfernt wird

Spart "im Durchschnitt" Hälfte der Scans

Frage: Wieviel spart es (meist) beim Europa-Navi?



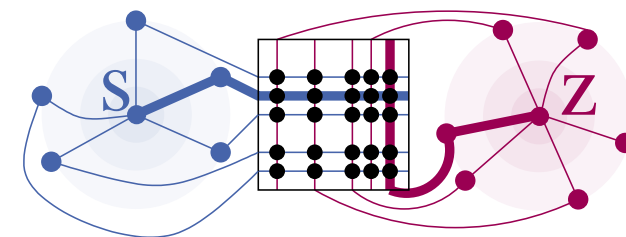
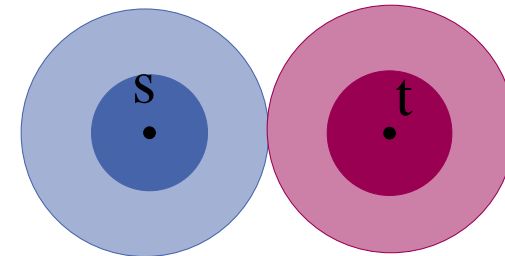
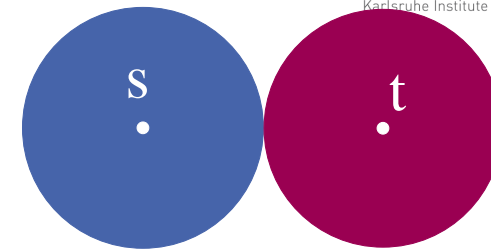
Ideen für Routenplanung

Vorwärts + Rückwärtsuche

Zielgerichtete Suche

Hierarchien ausnutzen 

Teilabschnitte **tabellieren** 

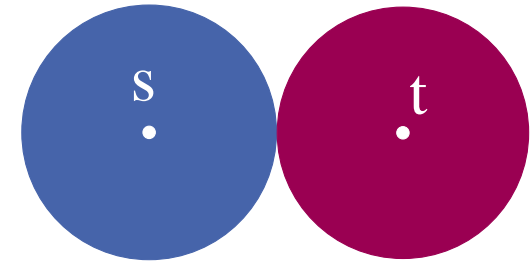


Bidirektionale Suche

Idee: Abwechselnd Knotenscans von s und von t

Vorwärtssuche auf normalem Graph $G = (V, E)$

Rückwärtssuche auf Rückwärtsgraph $G^r = (V, E^r)$



Vorläufige kürzeste Distanz wird in jedem Schritt gespeichert:

$$d[s, t] = \min(d[s, t], d_{\text{forward}}[u] + d_{\text{backward}}[u])$$

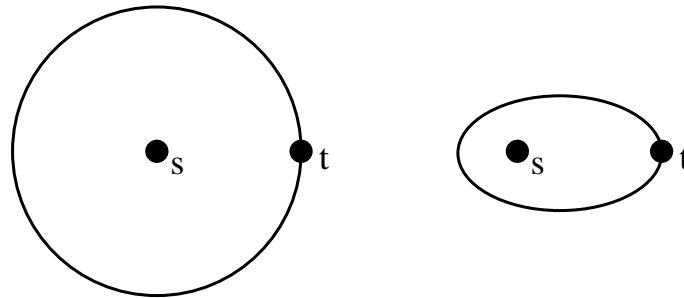
Abbruchkriterium:

Suche scannt Knoten, der in anderer Richtung bereits gescannt wurde.

$$\Rightarrow d[s, t] = \mu(s, t)$$

A^* -Suche

Idee: suche “in die Richtung von t ”

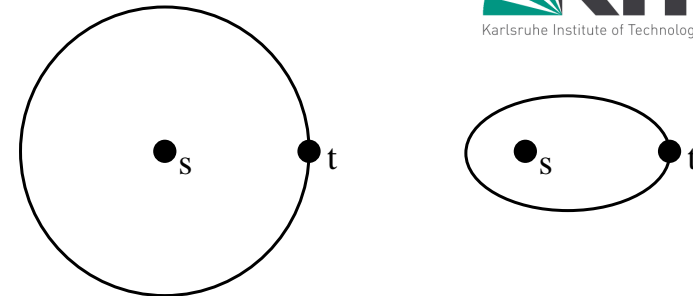


Annahme: Wir kennen eine Funktion $f(v)$ die $\mu(v, t)$ schätzt $\forall v$

Definiere $\text{pot}(v) = f(v)$ und $\bar{c}(u, v) = c(u, v) + f(v) - f(u)$

[Oder: in Dijkstra's Algorithmus, entferne nicht v mit minimalem $d[v]$ aus Q , sondern v mit minimalem $d[v] + f[v]$]

A*-Suche



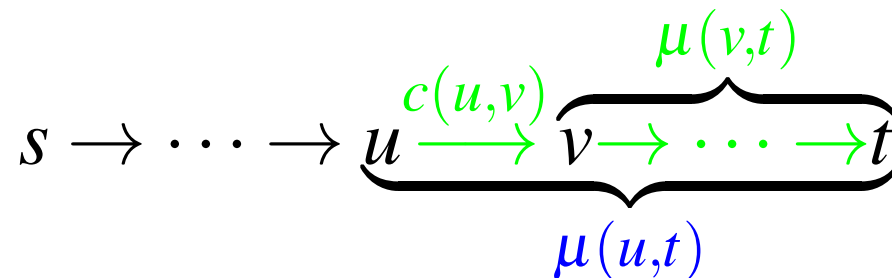
Idee: suche “in die Richtung von t ”

Annahme: wir kennen eine Funktion $f(v)$ die $\mu(v, t)$ schätzt $\forall v$

Definiere $\text{pot}(v) = f(v)$ und $\bar{c}(u, v) = c(u, v) + f(v) - f(u)$

Beispiel: $f(v) = \mu(v, t)$.

Dann gilt: $\bar{c}(u, v) = c(u, v) + \mu(v, t) - \mu(u, t) = 0$ falls (u, v) auf einem kürzesten Pfad von s nach t liegt.



Also scannt Dijkstra nur die Knoten auf kürzesten Pfaden!

Benötigte Eigenschaften von $f(v)$

□ Konsistenz (reduzierte Kosten nicht negativ):

$$c(e) + f(v) \geq f(u) \quad \forall e = (u, v)$$

□ $f(v) \leq \mu(v, t) \quad \forall v \in V$

□ $f(t) = 0$ dann können wir aufhören, wenn t aus Q entfernt wird

Sei p irgendein Pfad von s nach t .

Alle Kanten auf p sind relaxiert? $\Rightarrow d[t] \leq c(p)$.

Sonst: $\exists v \in p \cap Q$, und $d[t] + f(t) \leq d[v] + f(v)$ weil t schon entfernt wurde. Deshalb

$$d[t] = d[t] + f(t) \leq d[v] + f(v) \leq d[v] + \mu(v, t) \leq c(p)$$

Wie finden wir $f(v)$?

Wir brauchen Heuristiken für $f(v)$.

Strecke im Straßennetzwerk: $f(v) = \text{geometrischer Abstand } ||v - t||_2$

bringt deutliche aber nicht überragende Beschleunigung

Fahrzeit: $\frac{||v - t||_2}{\text{Höchstgeschwindigkeit}}$

praktisch nutzlos

Noch besser aber mit Vorberechnung: **Landmarks**

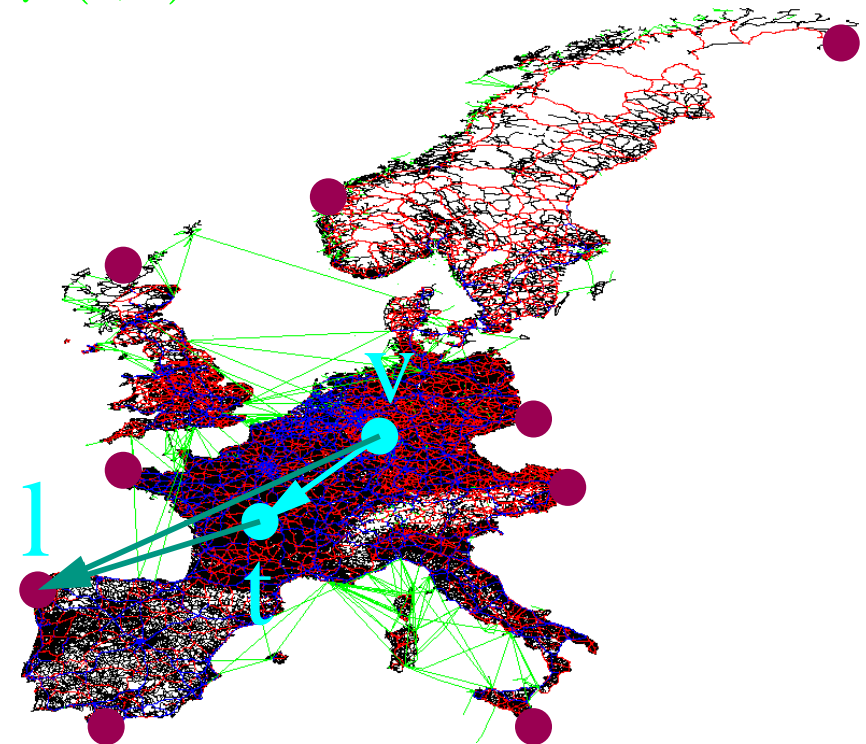
Landmarks [Goldberg Harrelson 2003]

Vorbereitung: Wähle **Landmarkmenge** L . $\forall \ell \in L, v \in V$
berechne/speichere $\mu(v, \ell)$.

Query: Suche Landmark $\ell \in L$ "hinter" dem Ziel.

Benutze untere Schranke $f_\ell(v) = \mu(v, \ell) - \mu(t, \ell)$

- + Konzeptuell einfach
- + Erhebliche Beschleunigungen
(\approx Faktor 20 im Mittel)
- + Kombinierbar mit anderen Techniken
- Landmarkauswahl kompliziert
- hoher Platzverbrauch



Zusammenfassung Kürzeste Wege

- Nichttriviale Beispiele für Analyse im Mittel. Ähnlich für MST
- Monotone, ganzzahlige Prioritätslisten als Beispiel wie Datenstrukturen auf Algorithmus angepasst werden
- Knotenpotentiale allgemein nützlich in Graphenalgorithmien
- Aktuelle Forschung trifft klassische Algorithmik

4 Anwendungen von DFS

Tiefensuchschema für $G = (V, E)$

unmark all nodes; **init**

foreach $s \in V$ **do**

if s is not marked **then**

mark s

// make s a root and grow

root(s)

// a new DFS-tree rooted at it.

DFS(s, s)

Procedure **DFS**($u, v : \text{NodeId}$)

// Explore v coming from u .

foreach $(v, w) \in E$ **do**

if w is marked **then** **traverseNonTreeEdge**(v, w)

else **traverseTreeEdge**(v, w)

mark w

DFS(v, w)

backtrack(u, v) // return from v along the incoming edge

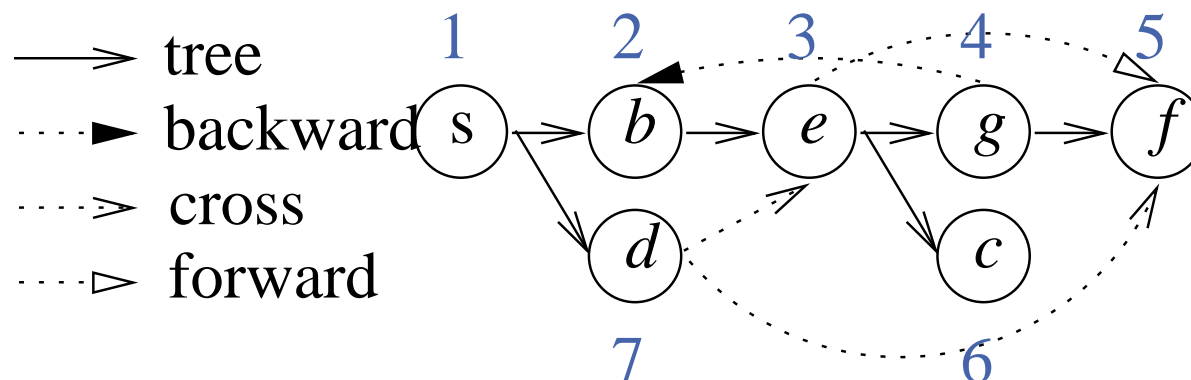
DFS Nummerierung

init: $\text{dfsPos} = 1 : 1..n$
 root(s): $\text{dfsNum}[s] := \text{dfsPos}++$
 traverseTreeEdge(v, w): $\text{dfsNum}[w] := \text{dfsPos}++$

$$u \prec v \Leftrightarrow \text{dfsNum}[u] < \text{dfsNum}[v] .$$

Beobachtung:

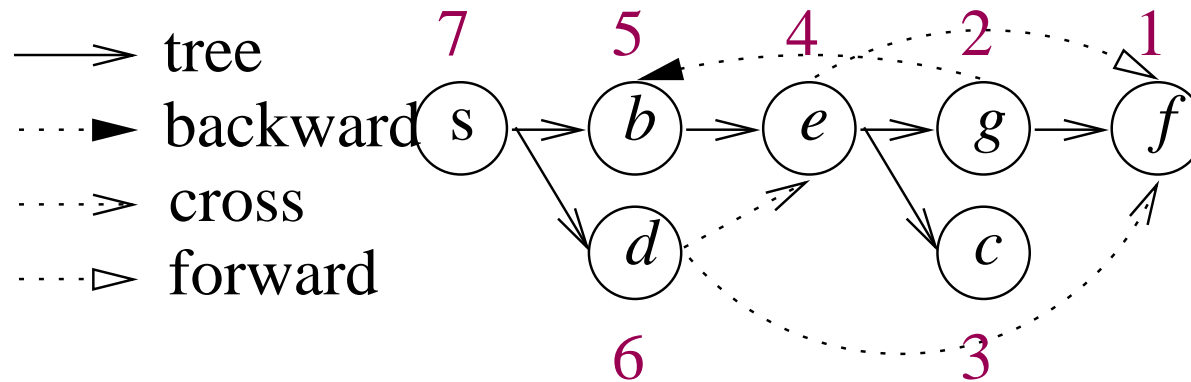
Knoten auf dem Rekursionsstapel sind bzgl., \prec sortiert



Fertigstellungszeit

init: finishingTime = 1 : 1..n

backtrack(u, v): finishTime[v] := finishingTime++



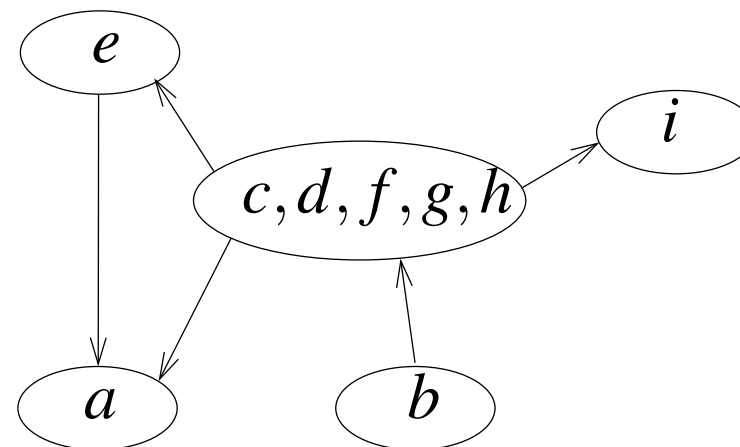
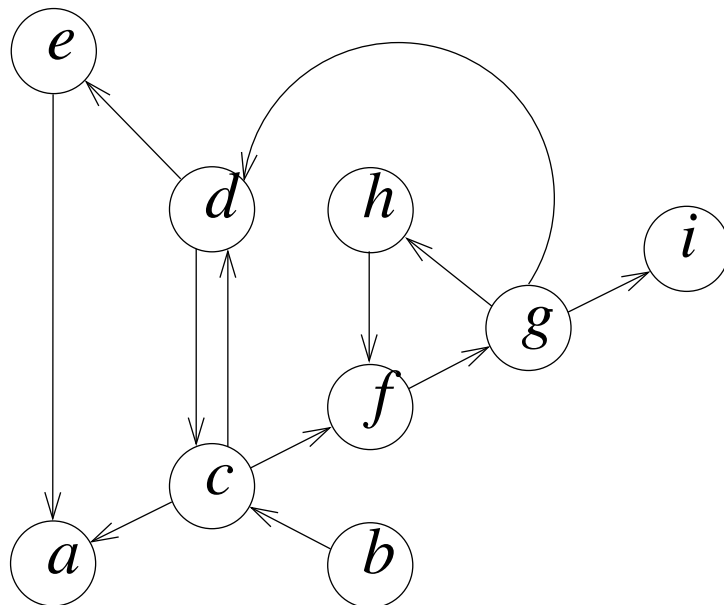
Starke Zusammenhangskomponenten

Betrachte die Relation $\overset{*}{\leftrightarrow}$ mit
 $u \overset{*}{\leftrightarrow} v$ falls \exists Pfad $\langle u, \dots, v \rangle$ und \exists Pfad $\langle v, \dots, u \rangle$.

Beobachtung: $\overset{*}{\leftrightarrow}$ ist Äquivalenzrelation

Übung

Die **Äquivalenzklassen** von $\overset{*}{\leftrightarrow}$ bezeichnet man als **starke Zusammenhangskomponenten**.



Starke Zusammenhangskomponenten – Abstrakter Algorithmus

$G_c := (V, \emptyset = E_c)$

foreach edge $e \in E$ **do**

invariant SCCs of G_c are known

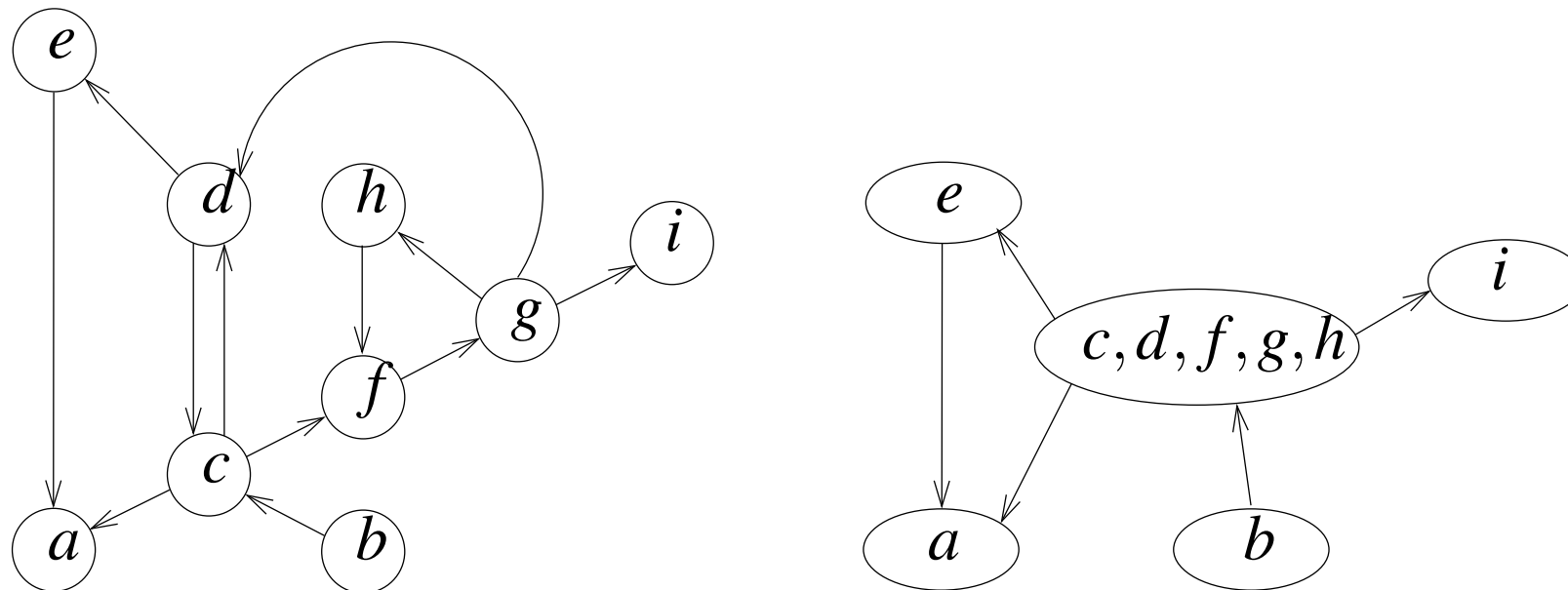
$E_c := E_c \cup \{e\}$

Schrumpfgraph

$$G_c^s = (V^s, E_c^s)$$

Knoten: SCCs von G_c .

Kanten: $(C, D) \in E_c^s \Leftrightarrow \exists (c, d) \in E_c : c \in C \wedge d \in D$



Beobachtung: Der Schrumpfgraph ist azyklisch

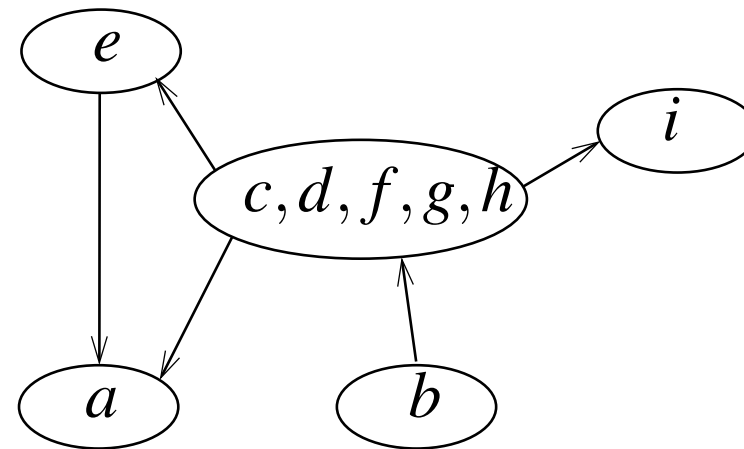
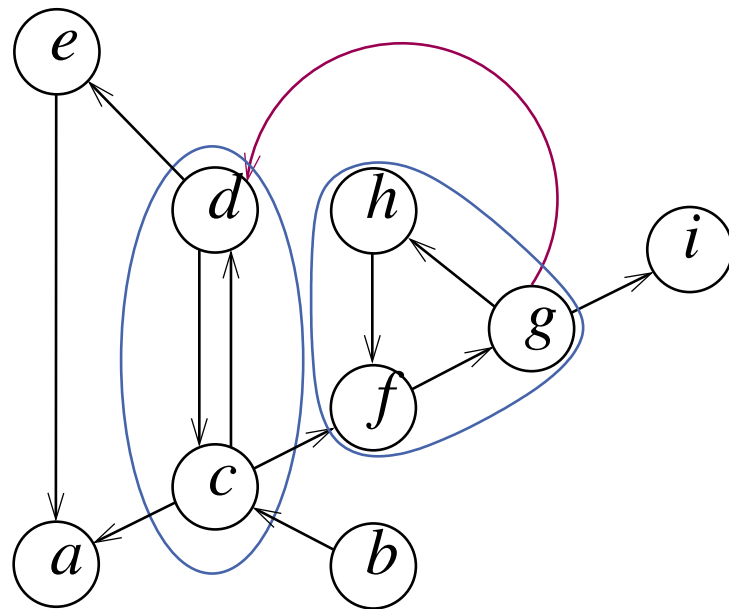
Auswirkungen einer neuen Kante e auf G_c, G_c^s

SCC-intern: Nichts ändert sich

zwischen zwei SCCs:

Kein Kreis: Neue Kante in G_c^s

Kreisschluss: SCCs auf Kreis kollabieren.



Konkreter: SCCs mittels DFS

[Cheriyān/Mehlhorn 96, Gabow 2000]

E_c = bisher explorierte Kanten

Aktive Knoten: markiert aber nicht finished.

SCCs von G_c :

nicht erreicht: Unmarkierte Knoten

offen: enthält aktive Knoten

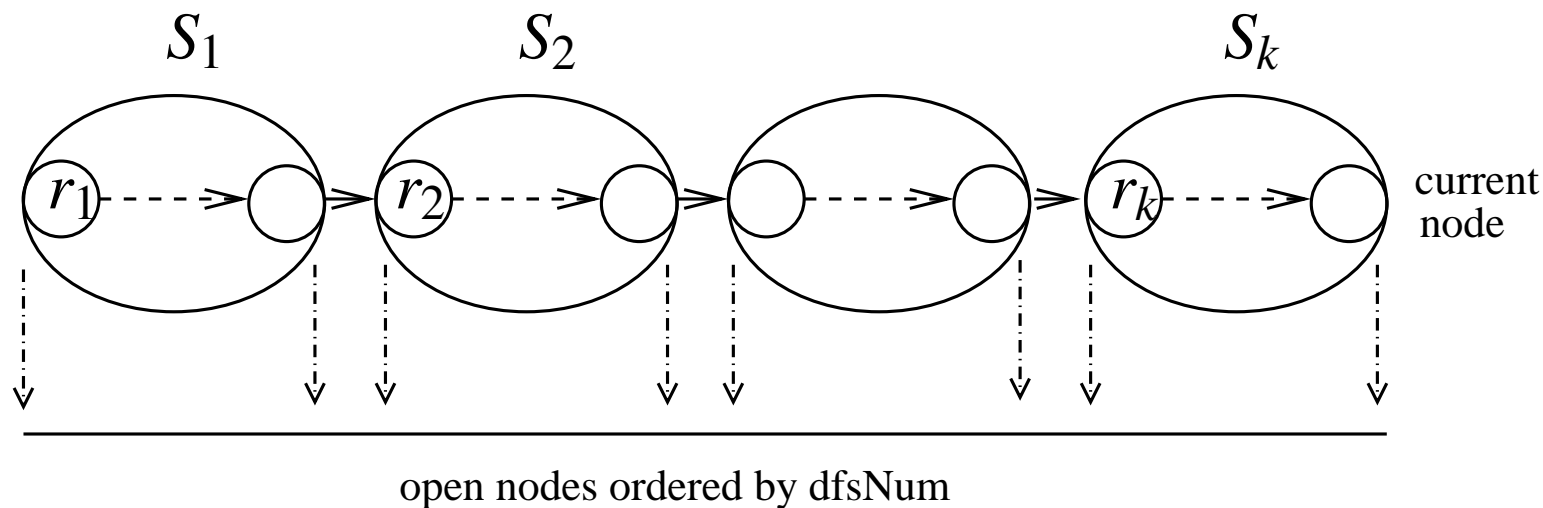
abgeschlossen: alle Knoten finished

component[w] gibt Repräsentanten einer SCC an.

Knoten von offenen (abgeschl.) Komponenten heißen offen (abgeschl.)

Invarianten von G_C

1. Kanten von abgeschlossenen Knoten gehen zu abgeschlossenen Knoten
2. Offene Komponenten S_1, \dots, S_k bilden Pfad in G_C^S .
3. Repräsentanten partitionieren die offenen Komponenten bzgl. ihrer dfsNum.



Lemma*: Abgeschlossene SCCs von G_c sind SCCs von G

Betrachte abgeschlossenen Knoten v

und beliebigen Knoten w

in der SCC von v bzgl. G .

z.Z.: w ist abgeschlossen und

in der gleichen SCC von G_c wie v .

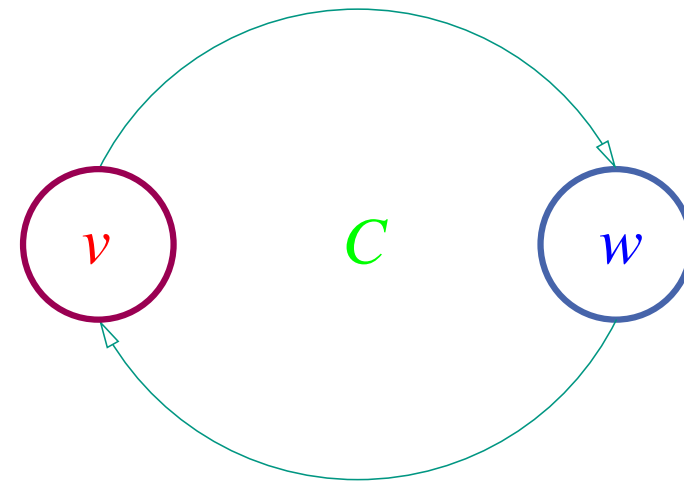
Betrachte Kreis C durch v, w .

Inv. 1: **Knoten** von C sind abgeschlossen.

Abgeschl. Knoten sind finished.

Kanten aus finished Knoten wurden exploriert.

Also sind alle **Kanten** von C in G_c .



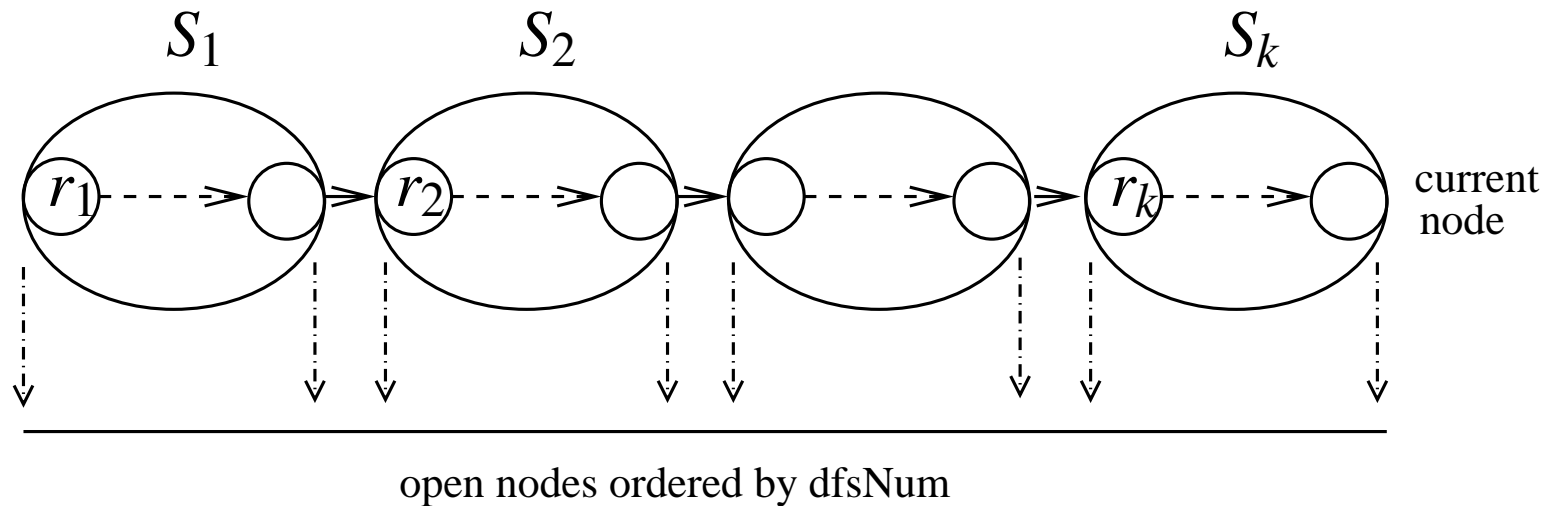
□

Repräsentation offener Komponenten

Zwei Stapel aufsteigend sortiert nach dfsNum

oReps: Repräsentanten offener Komponenten

oNodes: Alle offenen Knoten



init

component : NodeArray **of** NodeId // SCC representatives

oReps= $\langle \rangle$: Stack **of** NodeId // representatives of open SCCs

oNodes= $\langle \rangle$: Stack **of** NodeId // all nodes in open SCCs

Alle Invarianten erfüllt.

(Weder offene noch geschlossene Knoten)

$\text{root}(s)$

$\text{oReps.push}(s)$

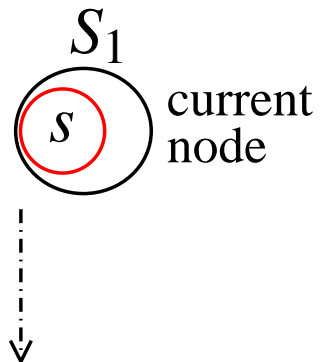
$\text{oNodes.push}(s)$

// new open

// component

$\{s\}$ ist die einzige offene Komponente.

Alle Invarianten bleiben gültig



open nodes ordered by dfsNum

traverseTreeEdge(v, w)

oReps.push(w)

oNodes.push(w)

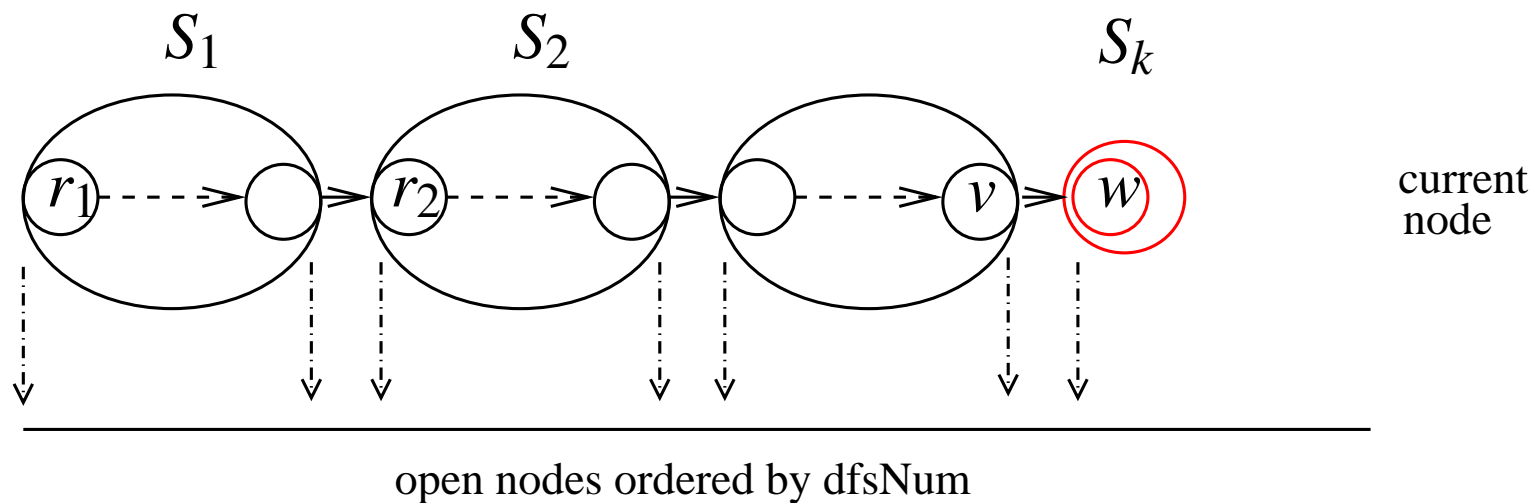
// new open

// component

$\{w\}$ ist neue offene Komponente.

$\text{dfsNum}(w) >$ alle anderen.

\rightsquigarrow Alle Invarianten bleiben gültig



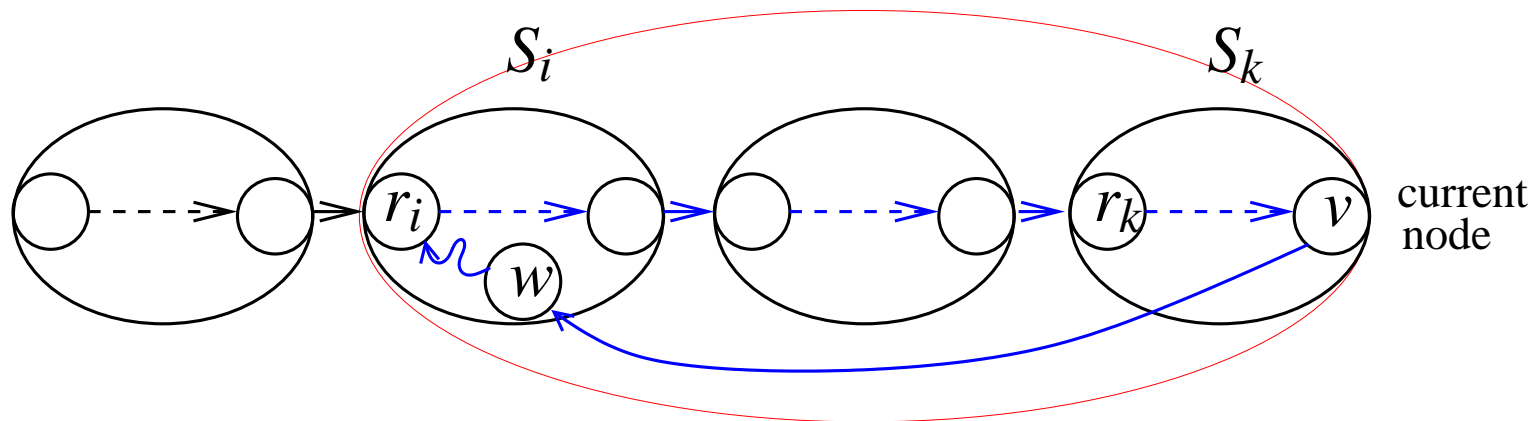
traverseNonTreeEdge(v, w)

if $w \in \text{oNodes}$ **then**

while $w \prec \text{oReps.top}$ **do** oReps.pop

$w \notin \text{oNodes} \rightsquigarrow w$ is abgeschlossen $\overset{\text{Lemma}(*)}{\rightsquigarrow}$ Kante uninteressant

$w \in \text{oNodes}$: kollabiere offene SCCs auf **Kreis**



backtrack(u, v)

if $v = \text{oReps.top}$ **then**

oReps.pop

// close

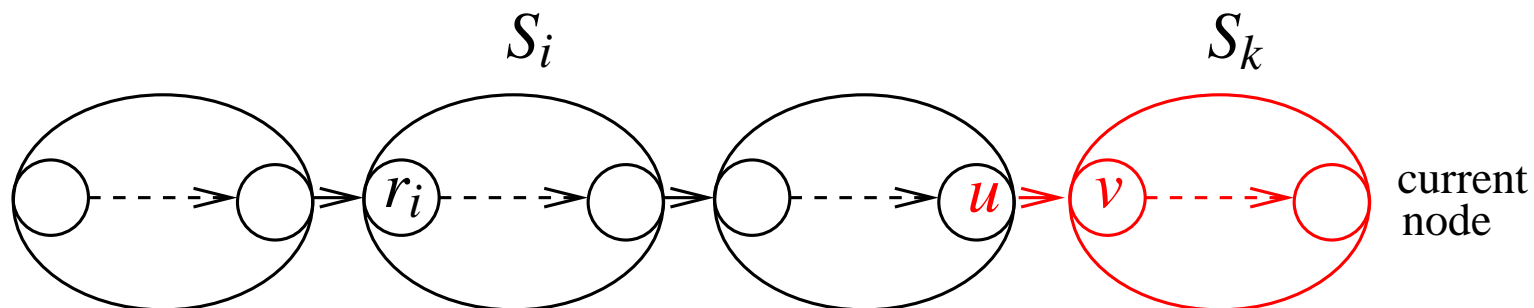
repeat

// component

$w := \text{oNodes.pop}$

component[w] := v

until $w = v$



z.Z. Invarianten bleiben erhalten...

backtrack(u, v)

if $v = \text{oReps.top}$ **then**

oReps.pop

repeat

$w := \text{oNodes.pop}$

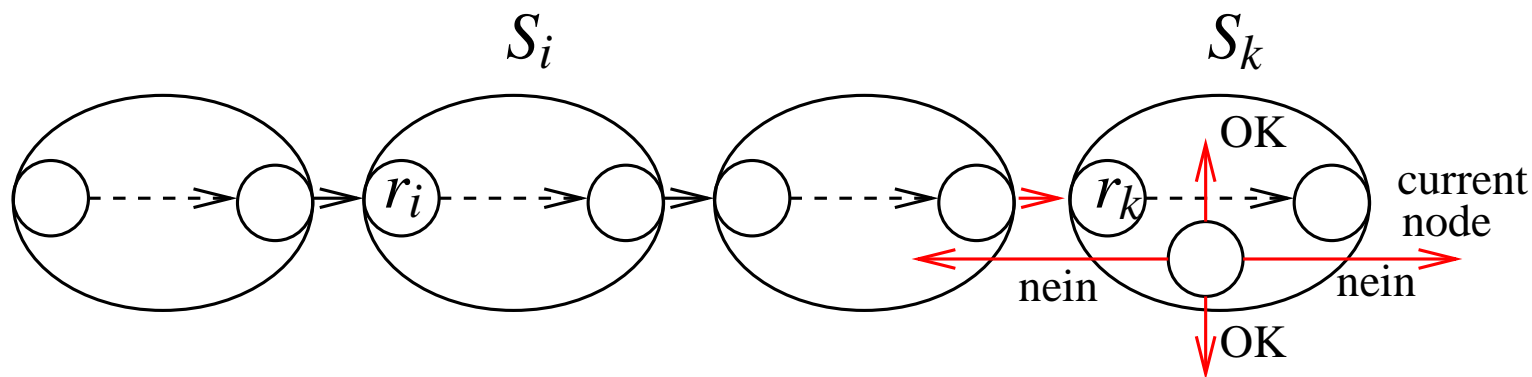
component[w] := v

until $w = v$

// close

// component

Inv. 1: Kanten von abgeschlossenen Knoten gehen zu abgeschlossenen Knoten.

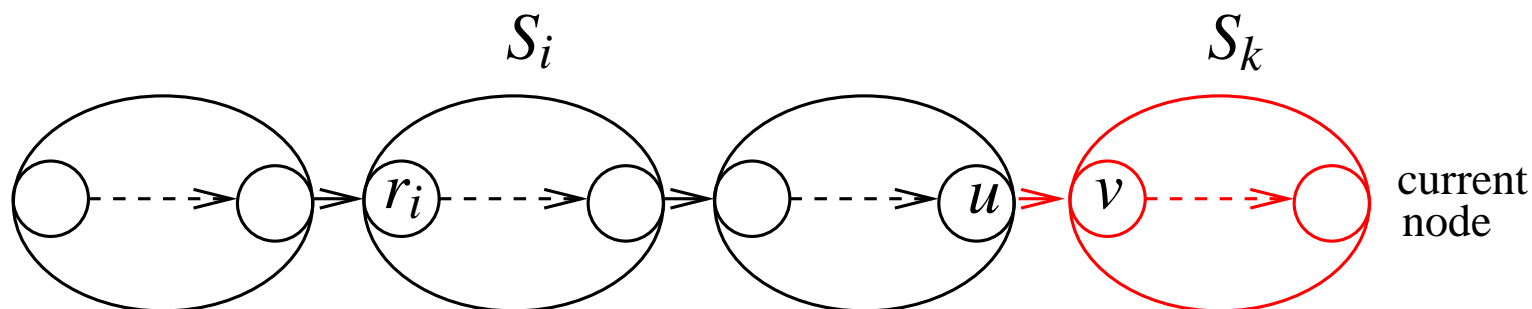


```

backtrack( $u, v$ )
  if  $v = \text{oReps.top}$  then
    oReps.pop // close
  repeat // component
     $w := \text{oNodes.pop}$ 
    component[ $w$ ] :=  $v$ 
  until  $w = v$ 
    
```

Inv. 2: Offene Komponenten S_1, \dots, S_k bilden Pfad in G_c^s

OK. (S_k wird ggf. entfernt)

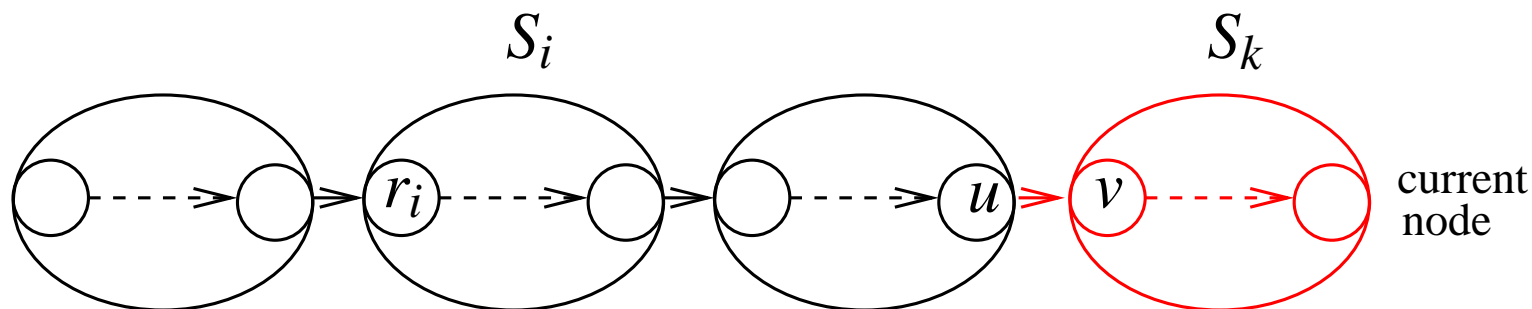



```

backtrack( $u, v$ )
  if  $v = \text{oReps.top}$  then
    oReps.pop // close
  repeat // component
     $w := \text{oNodes.pop}$ 
    component[ $w$ ] :=  $v$ 
  until  $w = v$ 
    
```

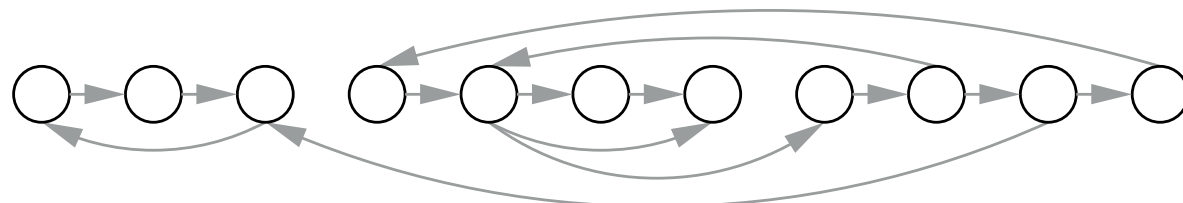
Inv. 3: Repräsentanten partitionieren die offenen Komponenten bzgl. ihrer dfsNum.

OK. (S_k wird ggf. entfernt)

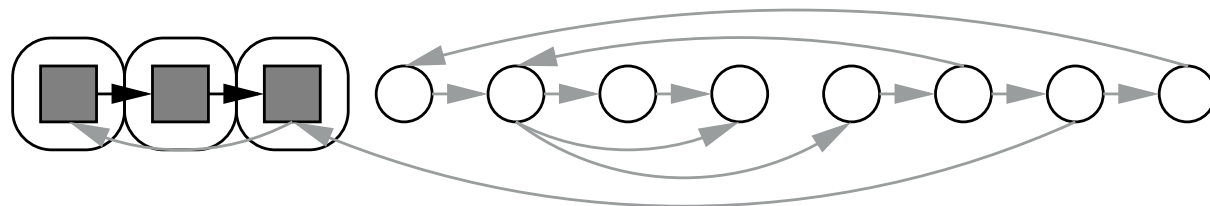


Beispiel

a b c d e f g h i j k



root(a) traverse(a,b) traverse(b,c)



unmarked marked finished



nonrepresentative node



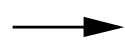
representative node



nontraversed edge



closed SCC

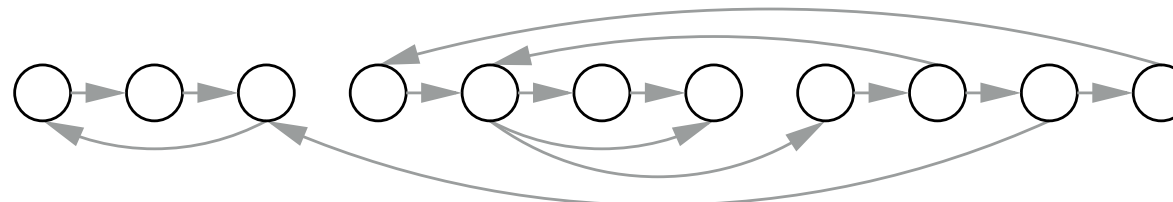


traversed edge

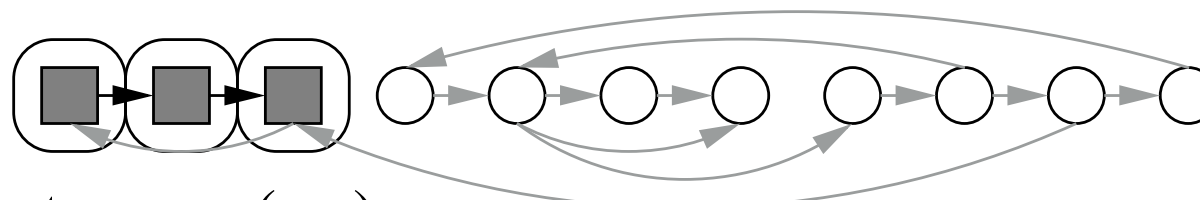


open SCC

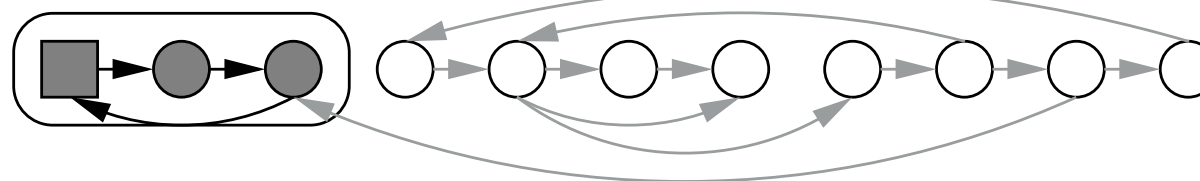
a b c d e f g h i j k



root(a) traverse(a,b) traverse(b,c)



traverse(c,a)



unmarked marked finished



nonrepresentative node



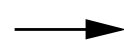
representative node



nontraversed edge



closed SCC

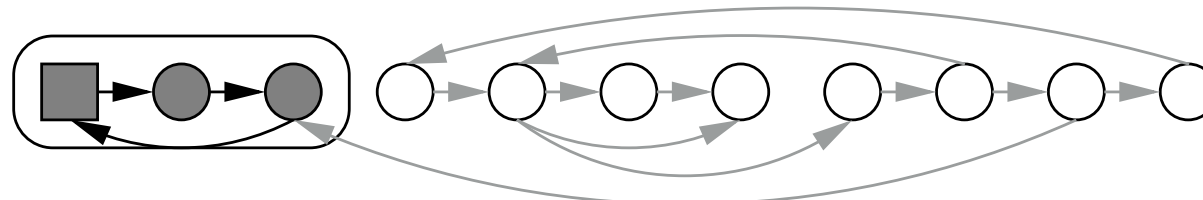


traversed edge

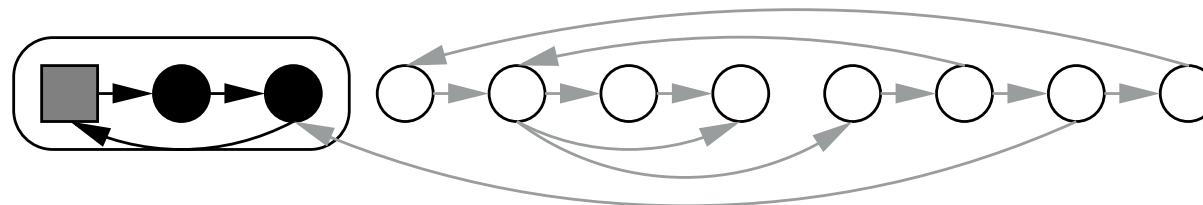


open SCC

a b c d e f g h i j k



backtrack(b,c) backtrack(a,b)



unmarked marked finished



nonrepresentative node



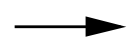
representative node



nontraversed edge



closed SCC

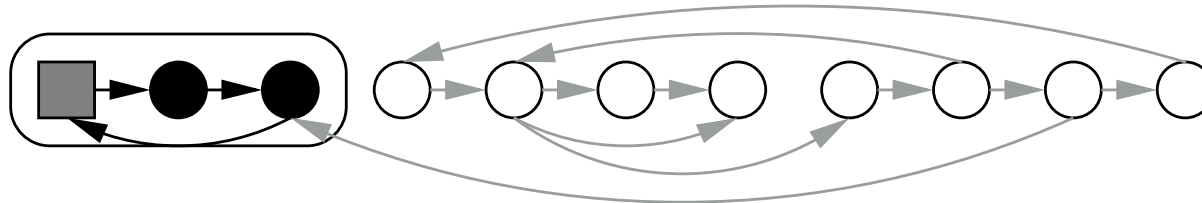


traversed edge

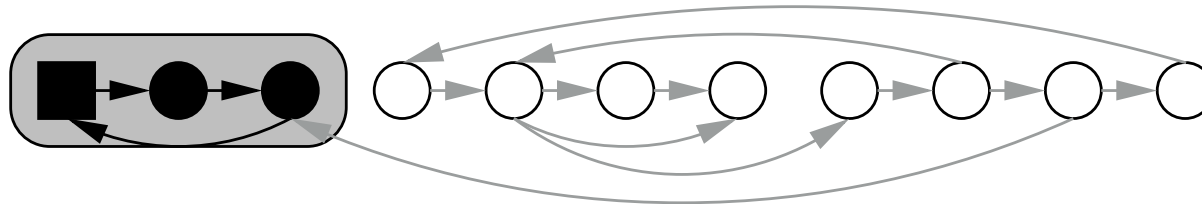


open SCC

a b c d e f g h i j k



backtrack(a,a)



unmarked marked finished



nonrepresentative node



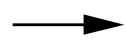
representative node



nontraversed edge



closed SCC

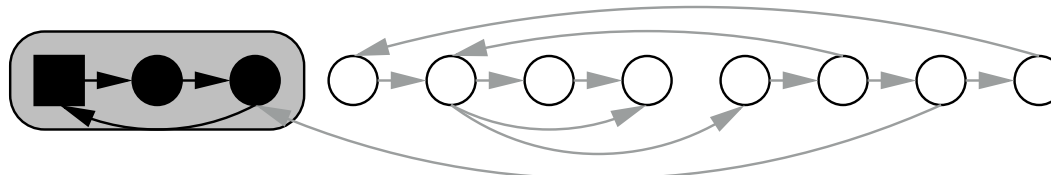


traversed edge

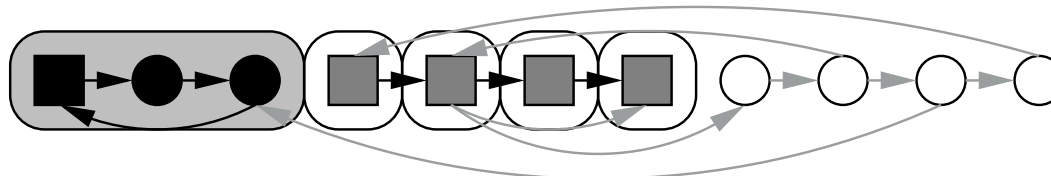


open SCC

a b c d e f g h i j k



root(d) traverse(d,e) traverse(e,f) traverse(f,g)



unmarked marked finished



nonrepresentative node



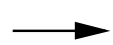
representative node



nontraversed edge



closed SCC

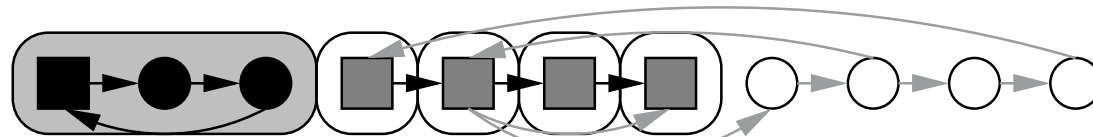


traversed edge

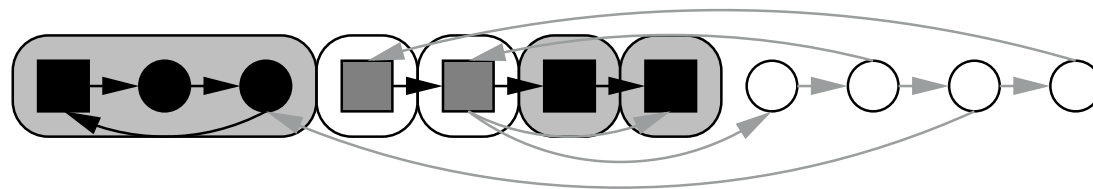


open SCC

a b c d e f g h i j k



backtrack(f,g) backtrack(e,f)



unmarked marked finished



nonrepresentative node

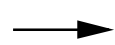


representative node



nontraversed edge

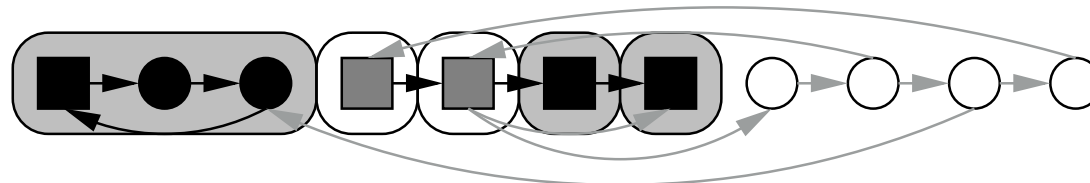
closed SCC



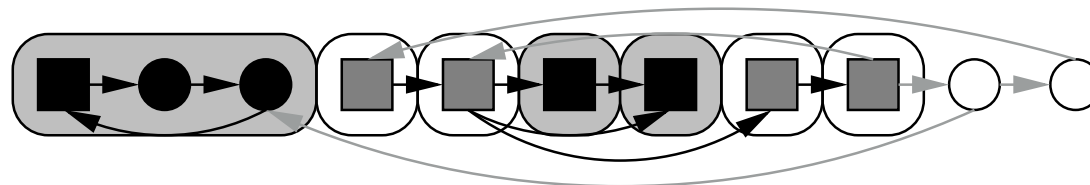
traversed edge

open SCC

a b c d e f g h i j k



traverse(e,g) traverse(e,h) traverse(h,i)



unmarked marked finished



nonrepresentative node



representative node



nontraversed edge

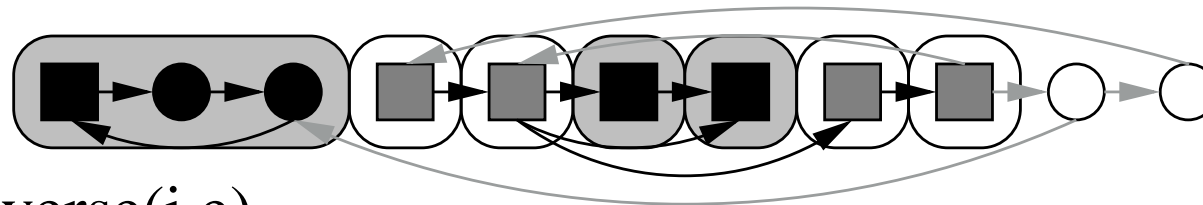
closed SCC



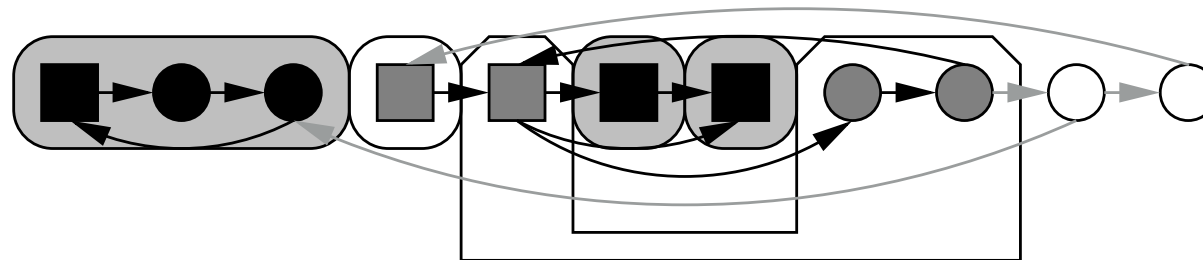
traversed edge

open SCC

a b c d e f g h i j k



traverse(i,e)



unmarked marked finished



nonrepresentative node



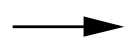
representative node



nontraversed edge



closed SCC

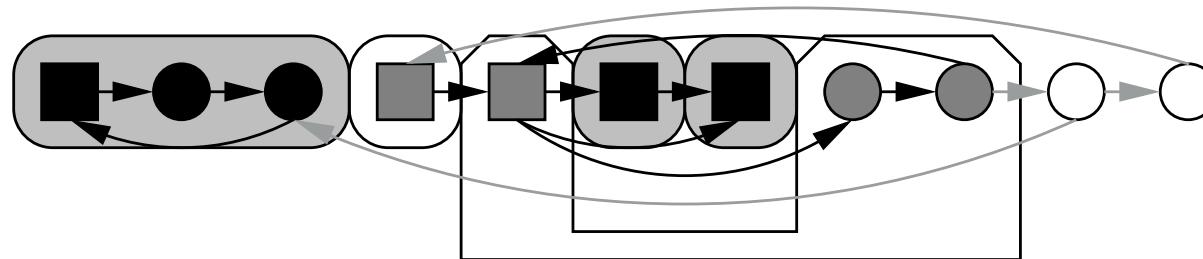


traversed edge

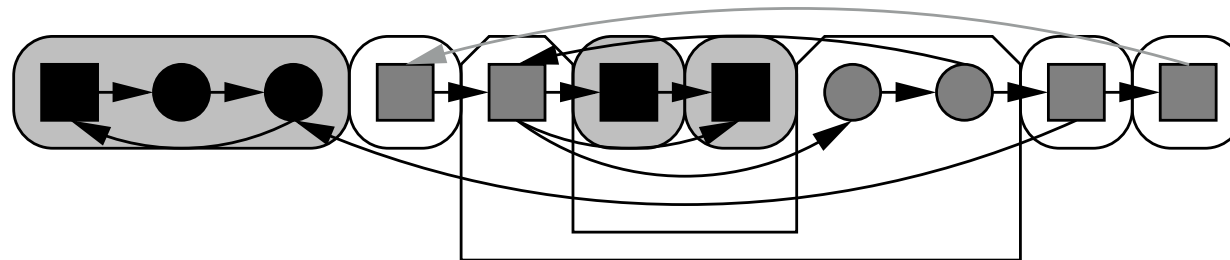


open SCC

a b c d e f g h i j k



traverse(i,j) traverse(j,c) traverse(j,k)



unmarked marked finished



nonrepresentative node



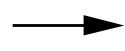
representative node



nontraversed edge



closed SCC

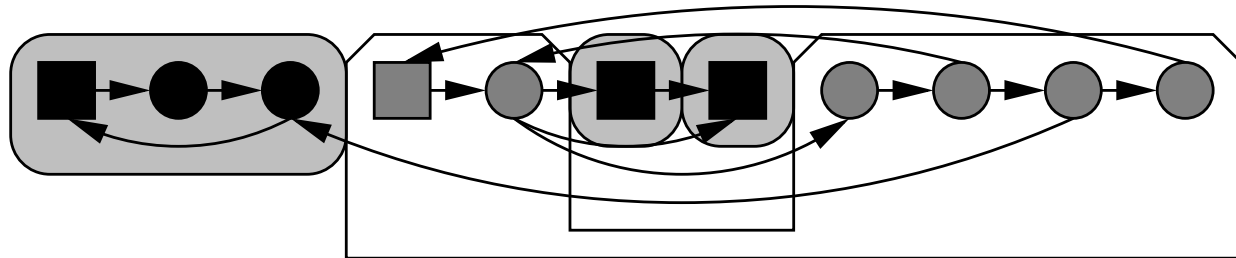
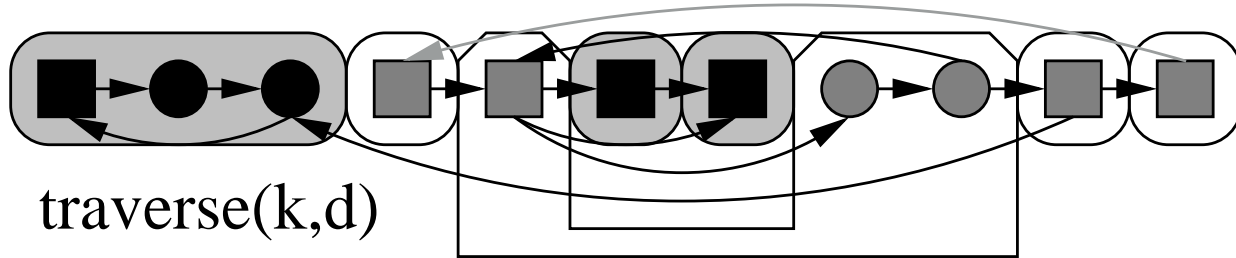


traversed edge



open SCC

a b c d e f g h i j k



unmarked marked finished



nonrepresentative node



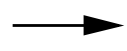
representative node



nontraversed edge



closed SCC

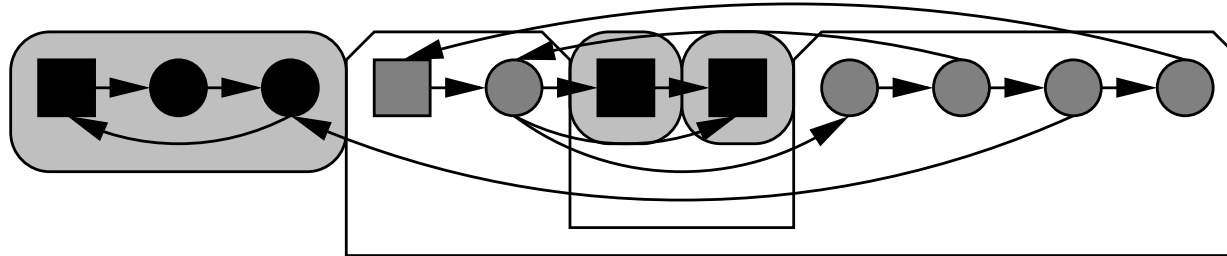


traversed edge

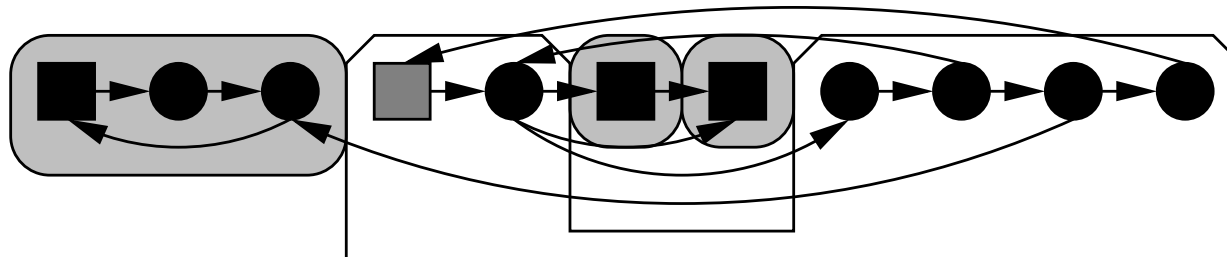


open SCC

a b c d e f g h i j k



backtrack(j,k) backtrack(i,j) backtrack(h,i)
backtrack(e,h) backtrack(d,e)



unmarked marked finished



nonrepresentative node



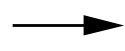
representative node



nontraversed edge



closed SCC

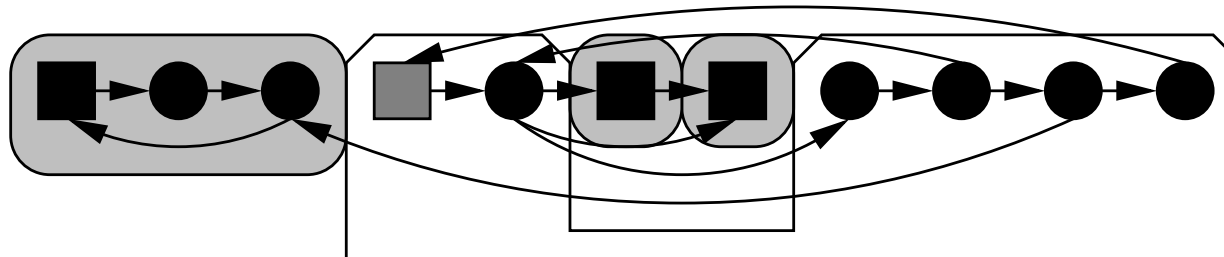


traversed edge

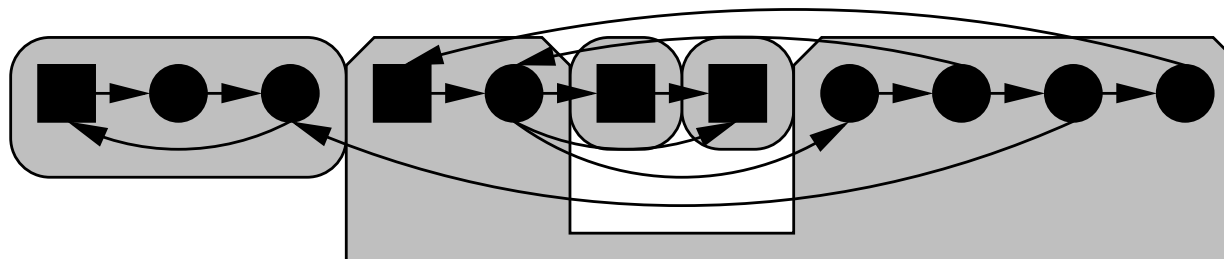


open SCC

a b c d e f g h i j k



backtrack(d,d)



unmarked marked finished



nonrepresentative node



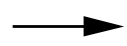
representative node



nontraversed edge



closed SCC



traversed edge



open SCC

Zusammenfassung: SCC Berechnung

- Beispiel für Anwendung des **Algorithmenentwurfsmusters** “**Schema**” hier “**DFS-Schema**”
- Einfache Instantiierung des DFS-Schemas für SCCs
- Nichttrivialer Korrektheitsbeweis
- Laufzeit $O(m + n)$: (Jeweils max. n push/pop Operationen)
- Ein einziger Durchlauf

Implementierungsdetails:

[Mehlhorn, Näher, Sanders](#)

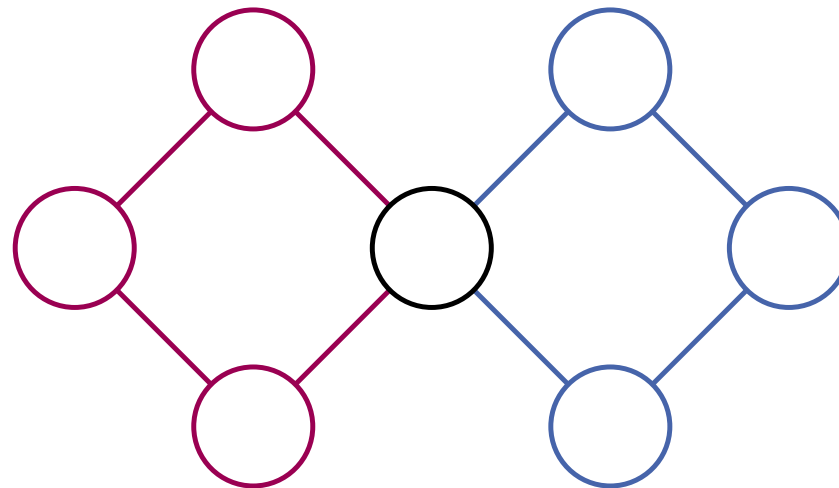
[Engineering DFS-Based Graph Algorithms](#)

arxiv.org/abs/1703.10023

2-zusammenhängende Komponenten (ungerichtet)

Bei entfernen eines Knotens bleibt die Komponente
zusammenhängend.

(Partitionierung der **Kanten**)



Geht in Zeit $O(m + n)$ mit Algorithmus ähnlich zu SCC-Algorithmus

Mehr DFS-basierte Linearzeitalgorithmen

- 3-zusammenhängende Komponenten
- Planaritätstest
- Einbettung planarer Graphen

5 Maximum Flows and Matchings

[mit Kurt Mehlhorn, Rob van Stee]

Folien auf Englisch

Literatur:

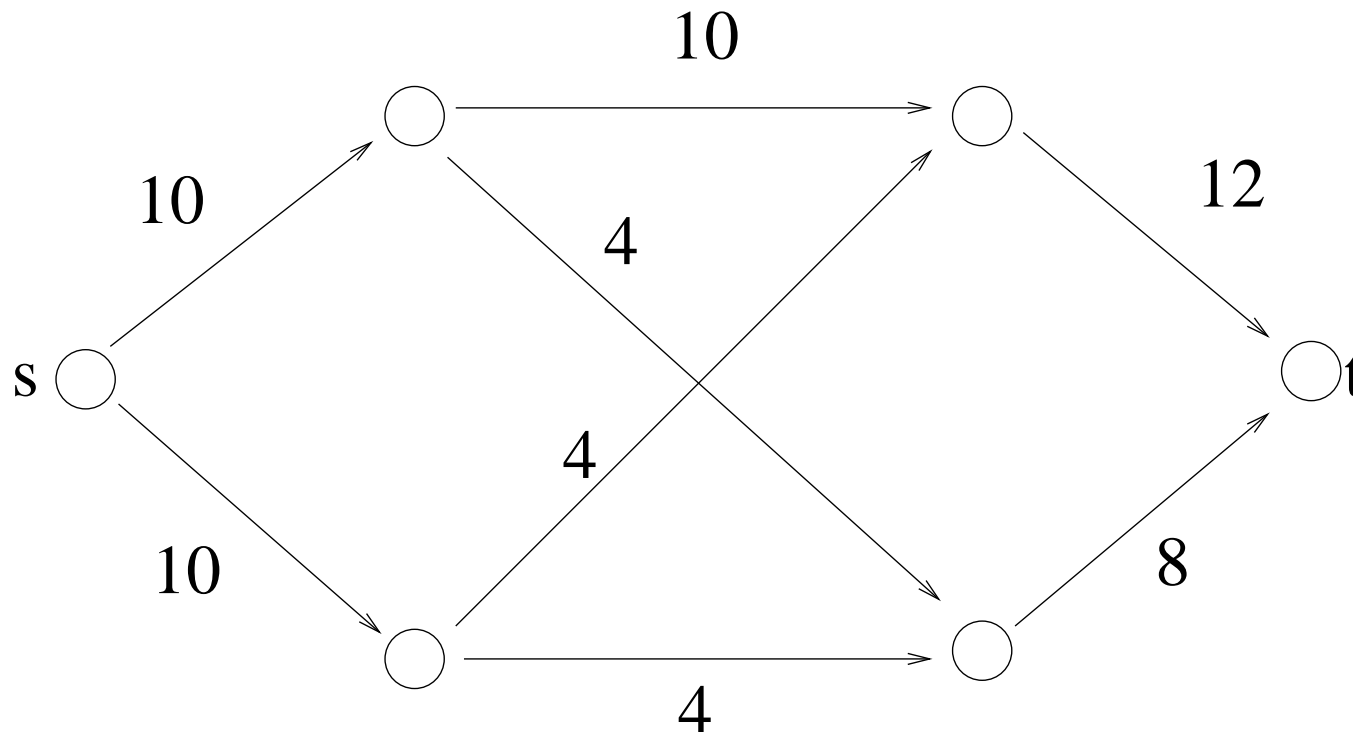
[Mehlhorn / Näher, The LEDA Platform of Combinatorial and Geometric Computing, Cambridge University Press, 1999]

http://www.mpi-inf.mpg.de/~mehlhorn/ftp/LEDABook/Graph_alg.ps

[Ahuja, Magnanti, Orlin, Network Flows, Prentice Hall, 1993]

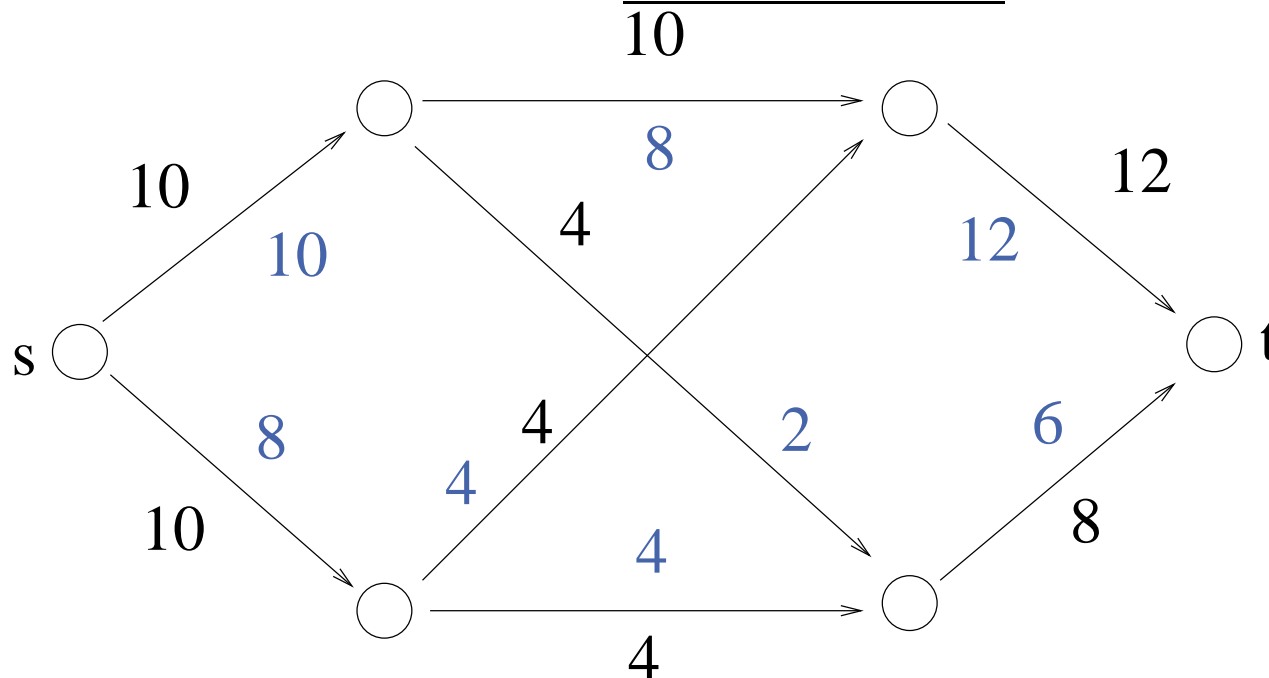
Definitions: Network

- Network = directed weighted graph with
source node s and sink node t
- s has no incoming edges, t has no outgoing edges
- Weight c_e of an edge e = capacity of e (nonnegative!)



Definitions: Flows

- Flow = function f_e on the edges, $\forall e : 0 \leq f_e \leq c_e$
 $\forall v \in V \setminus \{s, t\}$: total incoming flow = total outgoing flow
- Value of a flow $\mathbf{val}(f) =$
total outgoing flow from $s =$ total flow going into t
- Goal: find a flow with maximum value

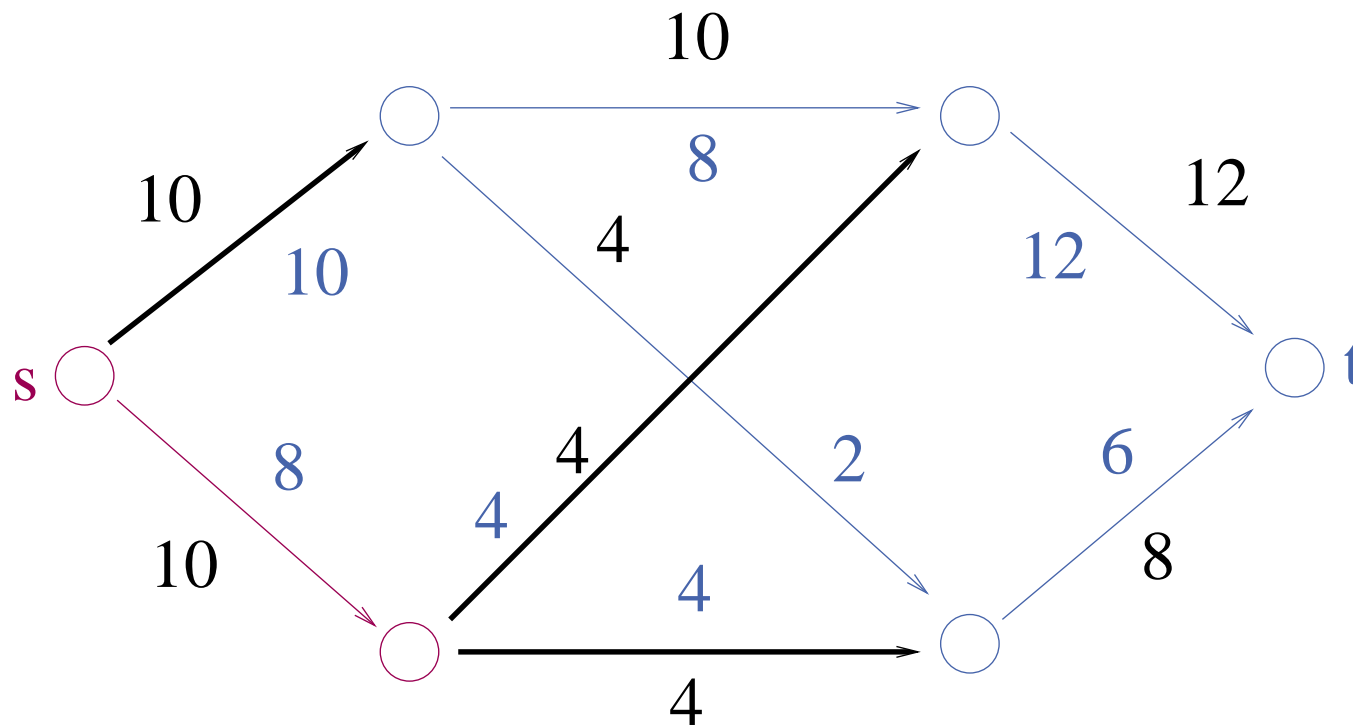


Definitions: (Minimum) s - t Cuts

An s - t cut is partition of V into S and T with $s \in S$ and $t \in T$.

The **capacity** of this cut is:

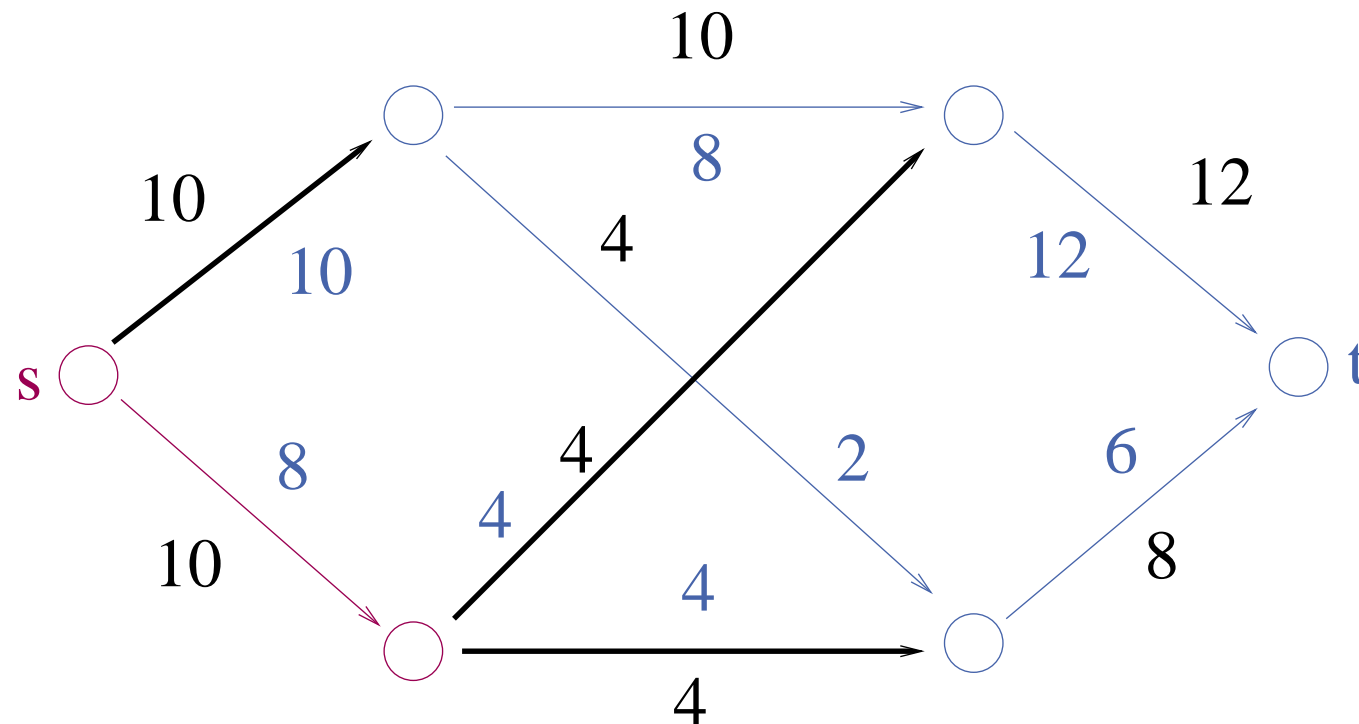
$$\sum \{c_{(u,v)} : u \in S, v \in T\}$$



Duality Between Flows and Cuts

Theorem:[Elias/Feinstein/Shannon, Ford/Fulkerson 1956]

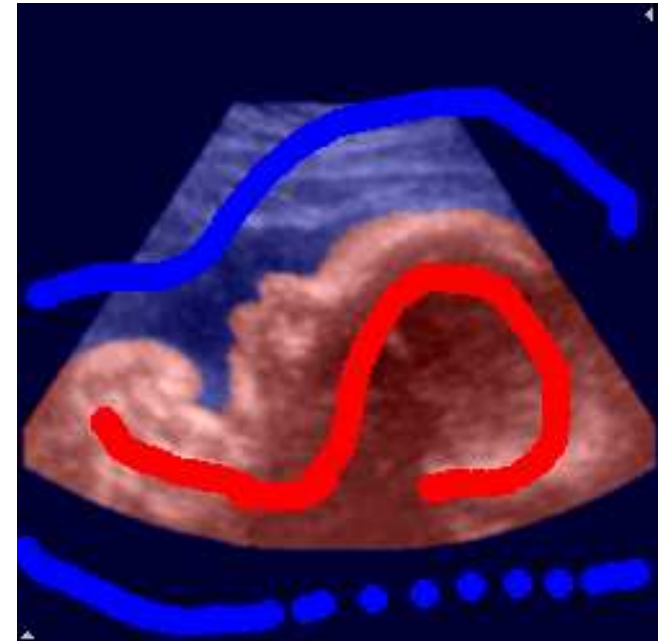
Value of an s - t max-flow = minimum capacity of an s - t cut.



Proof: later

Applications

- Oil pipes
- Traffic flows on highways
- Image Processing** <http://vision.csd.uwo.ca/maxflow-data>
 - segmentation
 - stereo processing
 - multiview reconstruction
 - surface fitting
- disk/machine/tanker **scheduling**
- matrix **rounding**
- ...



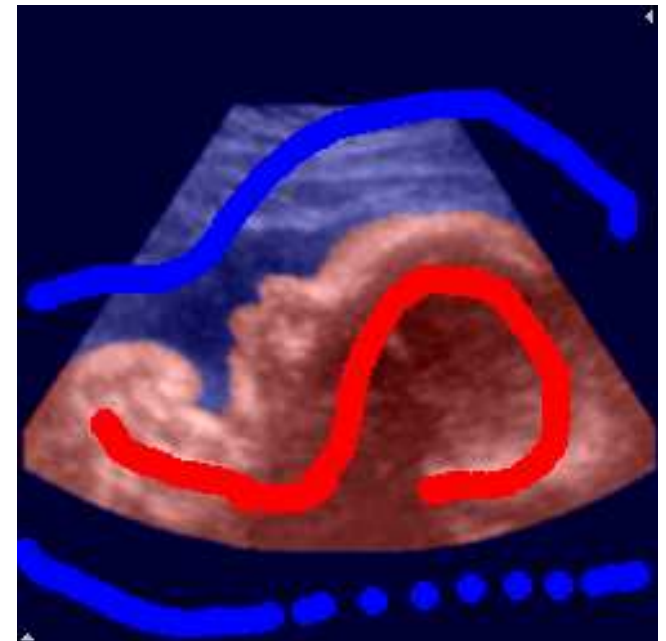
Current Research Challenge: AI versus Optimal Algorithms

Many image processing applications are currently taken over by **deep convolutional neural networks**.

- + Often better results
- + No ad-hoc definitions of s , t , c
- “Optimality” is thrown over board
- Lots of **training examples** needed

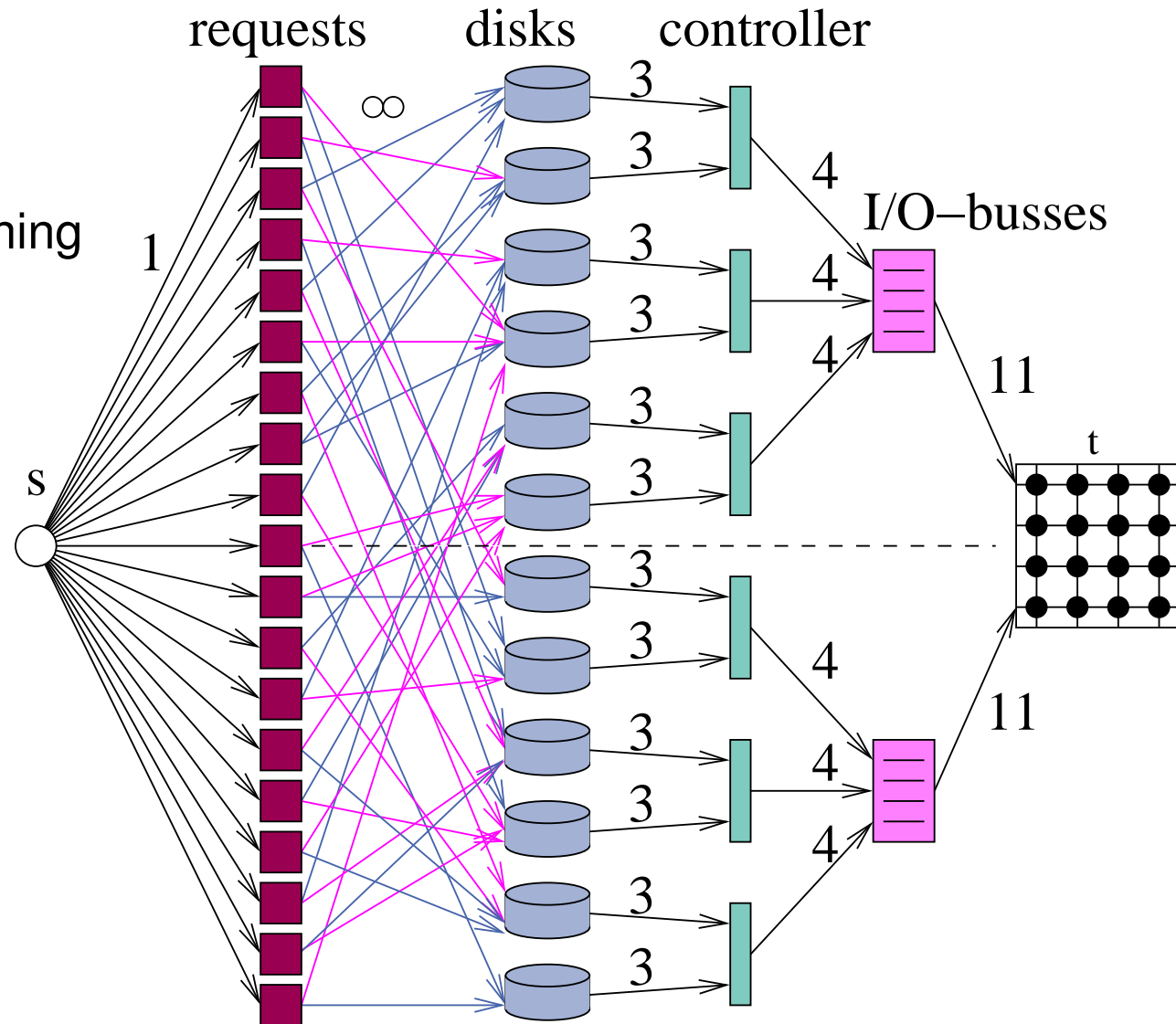
Is there a **middle way**?

Learn s , t , c then optimize?



Applications in our Group

- multicasting using **network coding**
- balanced k partitioning
- disk scheduling



Option 1: linear programming

- Flow variables x_e for each edge e
- Flow on each edge is at most its capacity
- Incoming flow at each vertex = outgoing flow from this vertex
- Maximize outgoing flow from starting vertex

We can do better!

Algorithms 1956–now

Year	Author	Running time	
1956	Ford-Fulkerson	$O(mnU)$	
1969	Edmonds-Karp	$O(m^2n)$	
1970	Dinic	$O(mn^2)$	
1973	Dinic-Gabow	$O(mn \log U)$	
1974	Karzanov	$O(n^3)$	$n =$ number of nodes
1977	Cherkassky	$O(n^2 \sqrt{m})$	$m =$ number of arcs
1980	Galil-Naamad	$O(mn \log^2 n)$	$U =$ largest capacity
1983	Sleator-Tarjan	$O(mn \log n)$	
1986	Goldberg-Tarjan	$O(mn \log(n^2/m))$	
1987	Ahuja-Orlin	$O(mn + n^2 \log U)$	

Year	Author	Running time
1987	Ahuja-Orlin-Tarjan	$O(mn \log(2 + n\sqrt{\log U}/m))$
1990	Cheriyān-Hagerup-Mehlhorn	$O(n^3 / \log n)$
1990	Alon	$O(mn + n^{8/3} \log n)$
1992	King-Rao-Tarjan	$O(mn + n^{2+\epsilon})$
1993	Philipps-Westbrook	$O(mn \log n / \log \frac{m}{n} + n^2 \log^{2+\epsilon} n)$
1994	King-Rao-Tarjan	$O(mn \log n / \log \frac{m}{n \log n})$ if $m \geq 2n \log n$
1997	Goldberg-Rao	$O(\min\{m^{1/2}, n^{2/3}\} m \log(n^2/m) \log U)$
2014	Lee-Sidford	$O(m\sqrt{n} \log^2 U)$
2020	v. d. Brand et al.	$O(m + n^{\frac{3}{2}} \log U \log^? m)$
2021	Gao-Liu-Peng	$O(m^{\frac{3}{2} - \frac{1}{328}} \log U \log^? m)$
2022	v.d. Brand et al.	$O(m^{\frac{3}{2} - \frac{1}{58}} \log U \log^? m)$
2022	Chen, Kyng et al.	$O(m^{1+o(1)} \log U)$

Augmenting Paths (Rough Idea)

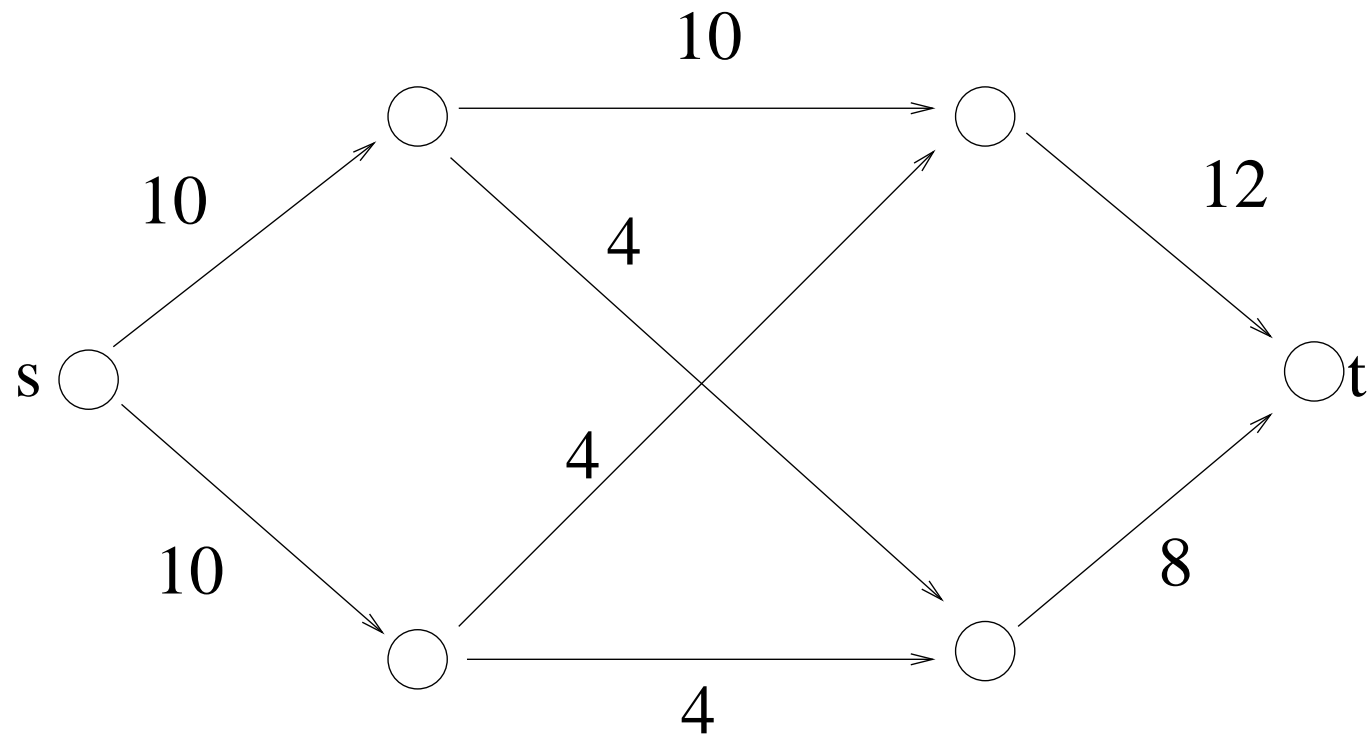
Find a path from s to t such that each edge has some **spare capacity**

On this path, **saturate** the edge with the smallest spare capacity

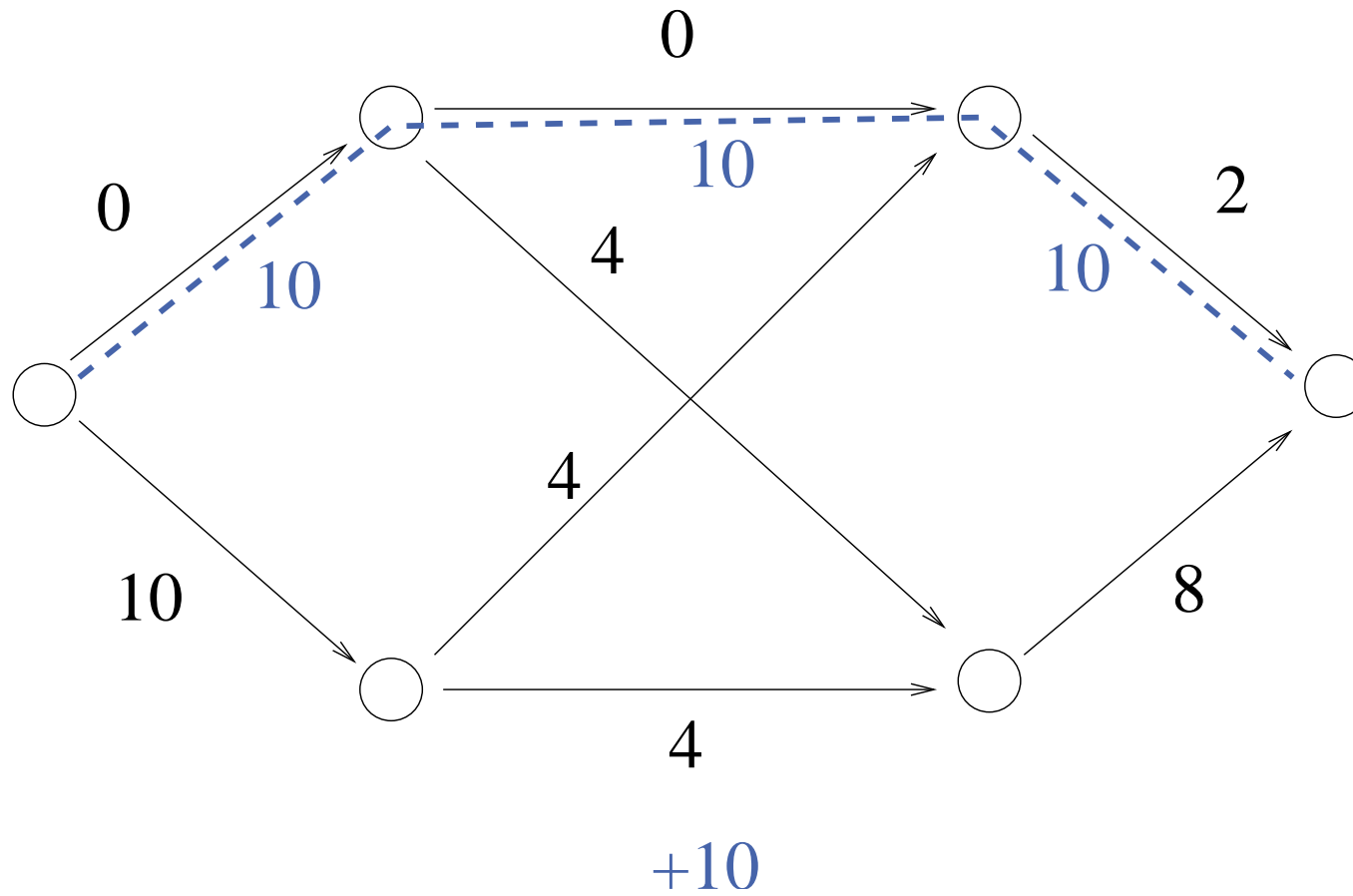
Adjust capacities for all edges (create **residual graph**) and repeat

A typical **greedy algorithm**

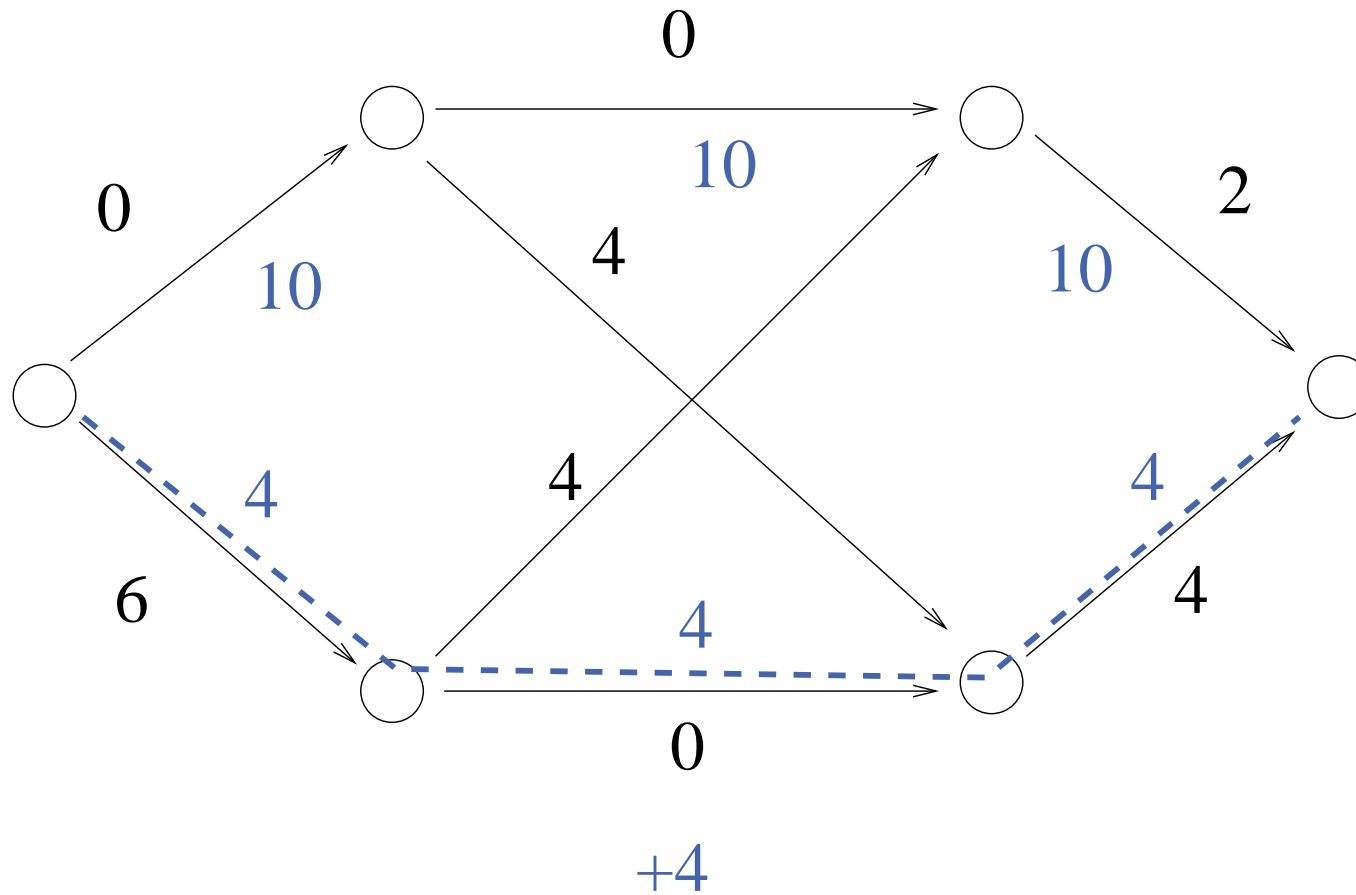
Example



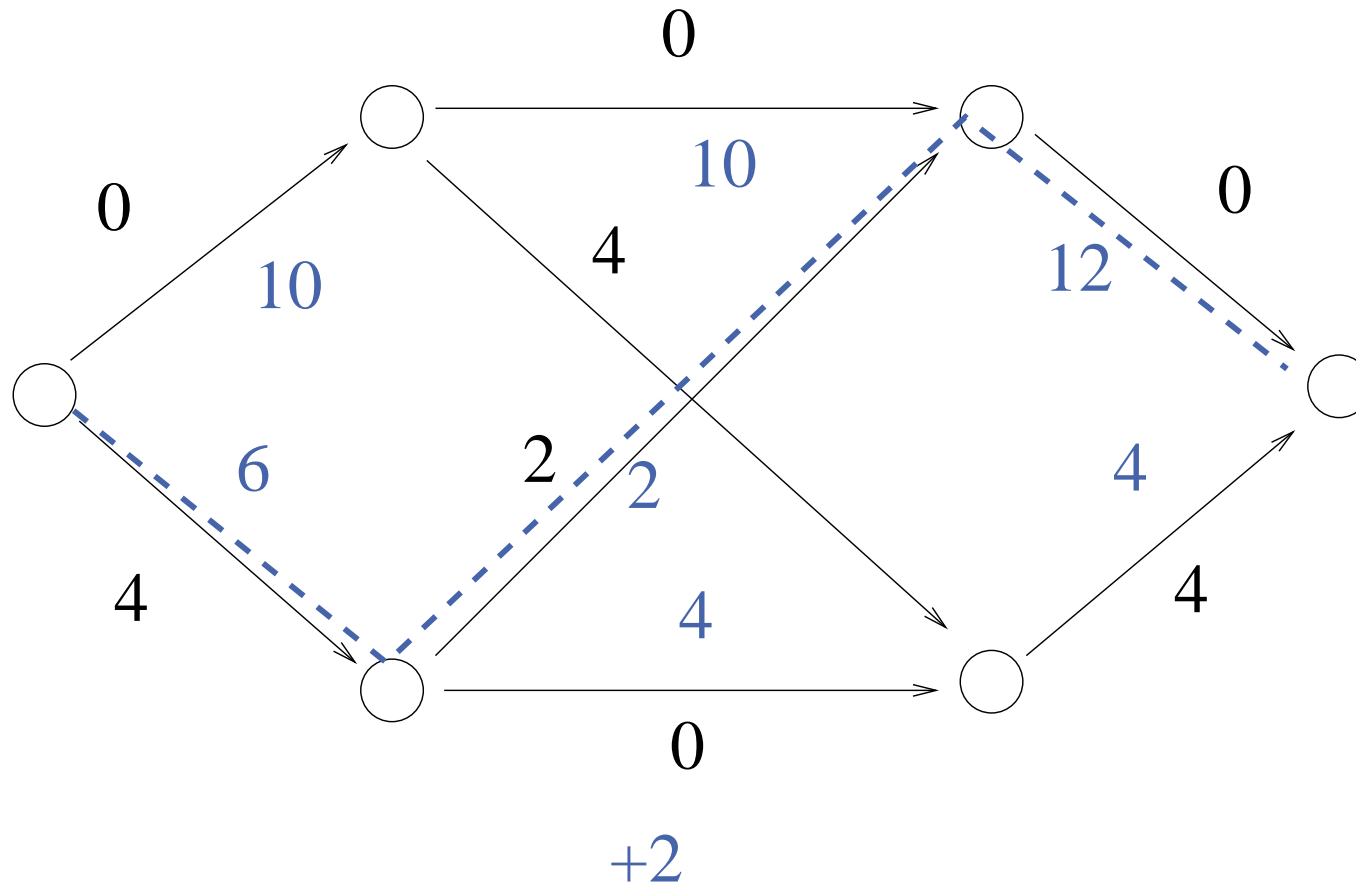
Example



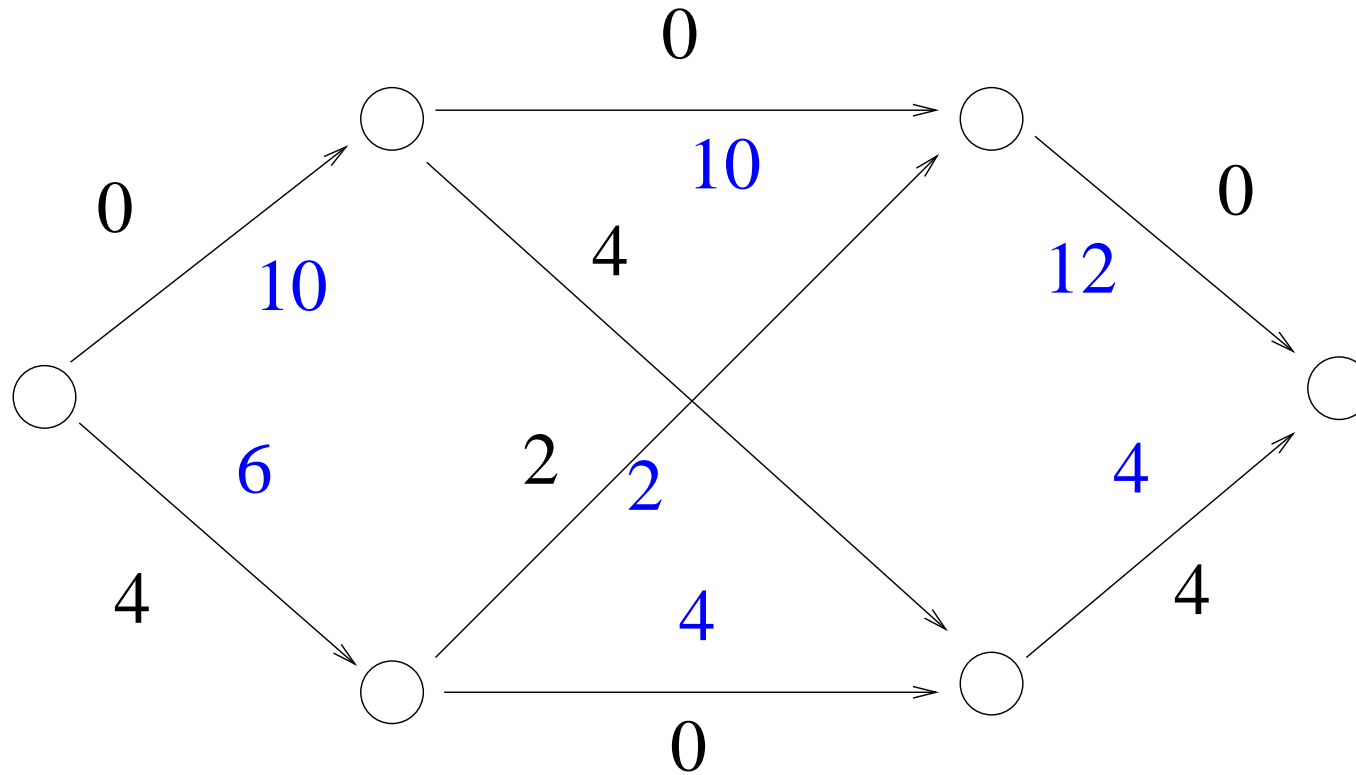
Example



Example

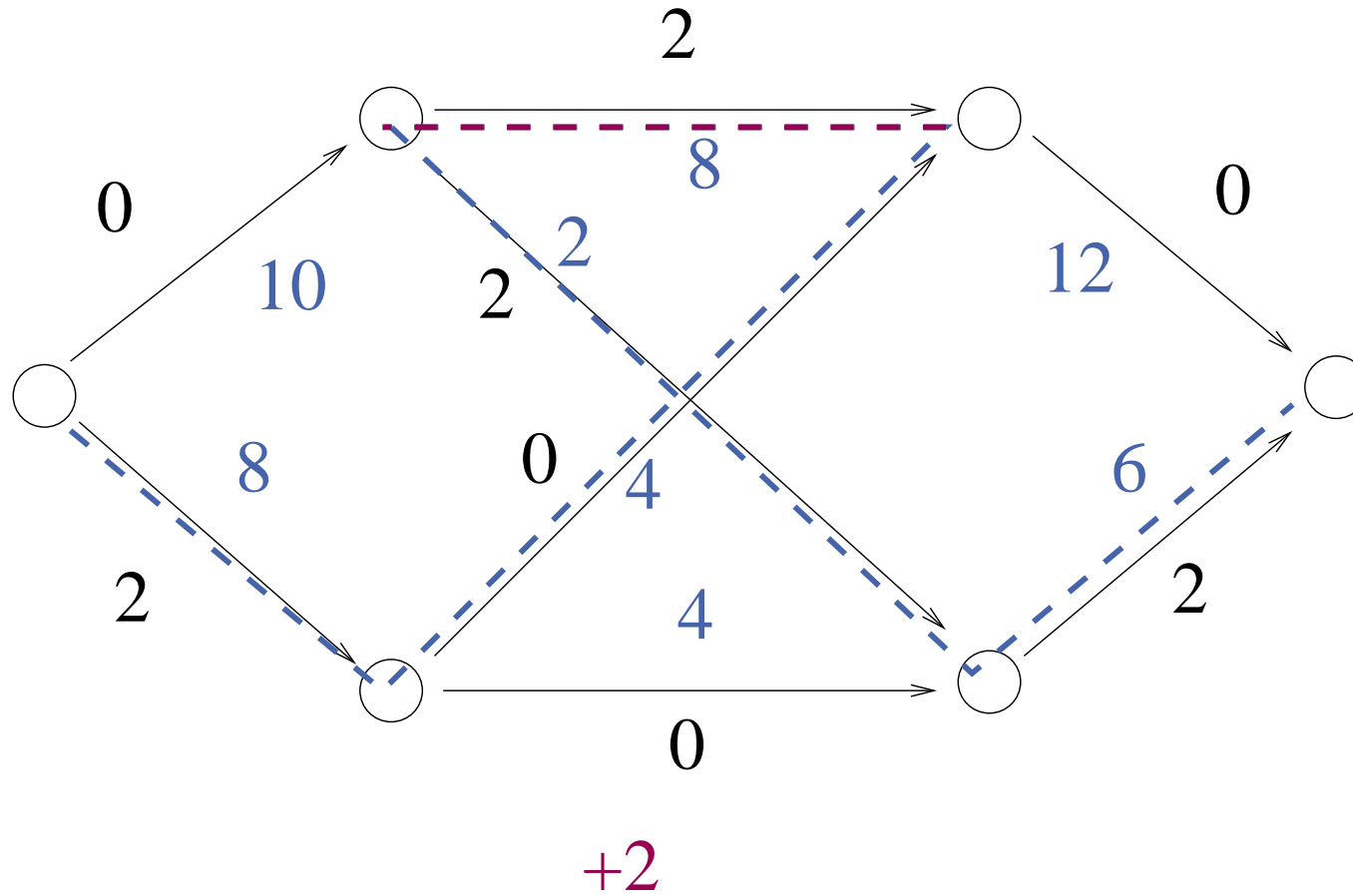


Example



are we done?

Example

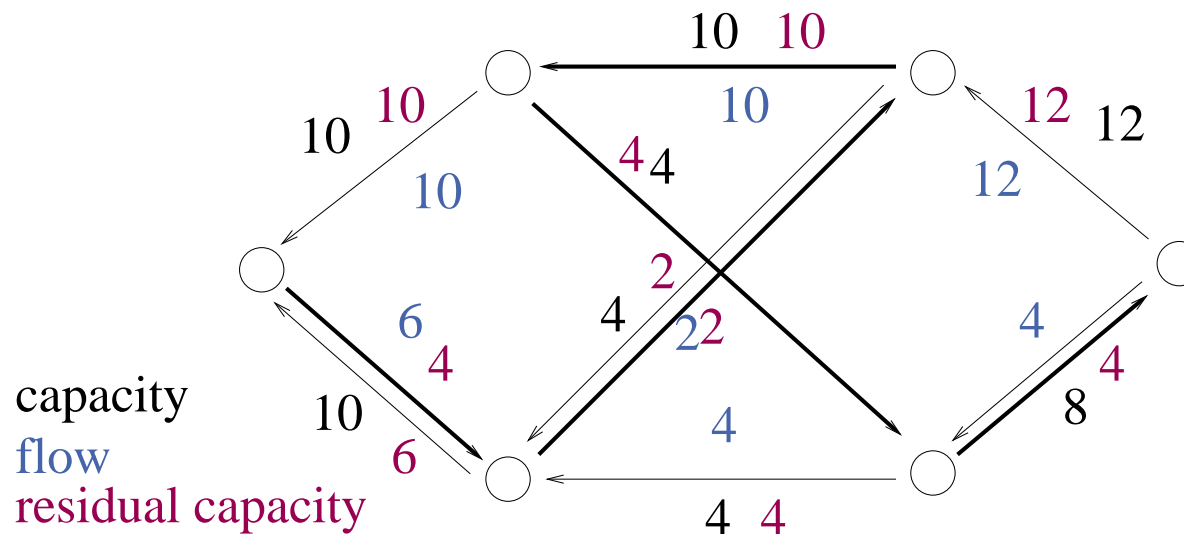


Residual Graph

Given, network $G = (V, E, c)$, flow f

Residual graph $G_f = (V, E_f, c^f)$. For each $e \in E$ we have

$$\begin{cases} e \in E_f \text{ with } c_e^f = c_e - f(e) & \text{if } f(e) < c(e) \\ e^{\text{rev}} \in E_f \text{ with } c_{e^{\text{rev}}}^f = f(e) & \text{if } f(e) > 0 \end{cases}$$



Augmenting Paths

Find a path p from s to t such that each edge e has nonzero **residual capacity** c_e^f

$$\Delta f := \min_{e \in p} c_e^f$$

foreach $(u, v) \in p$ **do**

if $(u, v) \in E$ **then** $f_{(u,v)} + = \Delta f$

else $f_{(v,u)} - = \Delta f$

Ford Fulkerson Algorithm

Function $\text{FFMaxFlow}(G = (V, E), s, t, c : E \rightarrow \mathbb{N}) : E \rightarrow \mathbb{N}$

$f := 0$

while \exists path $p = (s, \dots, t)$ in G_f **do**

 augment f along p

return f

time $O(m \cdot \text{val}(f))$

Ford Fulkerson – Correctness

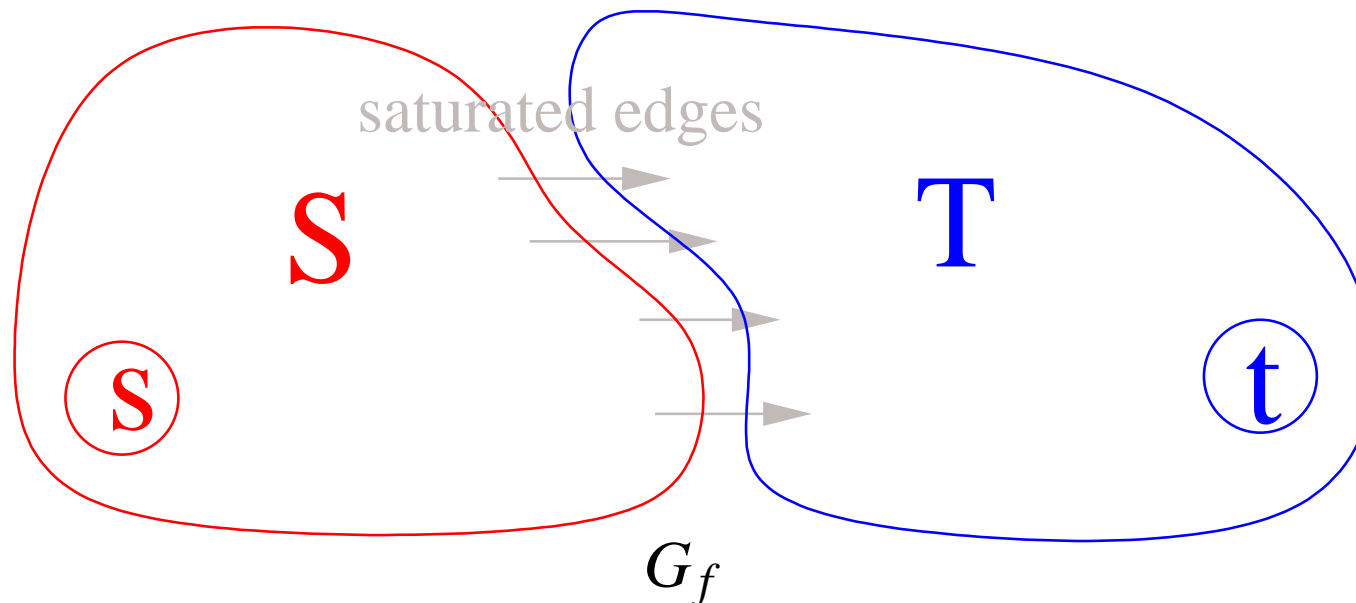
“Clearly” FF computes a feasible flow f . (Invariant)

Todo: flow value is **maximal**

At termination: no augmenting paths in G_f left.

Consider cut $(S, T := V \setminus S)$ with

$S := \{v \in V : v \text{ reachable from } s \text{ in } G_f\}$



A Basic Observations

Lemma 1: For any cut (S, T) :

$$\mathbf{val}(f) = \overbrace{\sum_{e \in E \cap S \times T} f_e}^{S \rightarrow T \text{ edges}} - \overbrace{\sum_{e \in E \cap T \times S} f_e}^{T \rightarrow S \text{ edges}} .$$

Ford Fulkerson – Correctness

Todo: $\text{val}(f)$ is **maximal** when no augmenting paths in G_f left.

Consider cut $(S, T := V \setminus S)$ with

$S := \{v \in V : v \text{ reachable from } s \text{ in } G_f\}$.

Observation: $\forall (u, v) \in E \cap T \times S : f(u, v) = 0$

otherwise $c^f(v, u) > 0$ contradicting the definition of S .

$$\text{val}(f) = \sum_{e \in E \cap S \times T} f_e - \sum_{e \in E \cap T \times S} f_e \quad \text{Lemma 1}$$

$$= \sum_{e \in E \cap S \times T} f_e \quad \text{Observation above}$$

$$= \sum_{e \in E \cap S \times T} c_{(u,v)} = (S, T) \text{ cut capacity}$$

see next slide

Max-Flow-Min-Cut theorem

Theorem: Max-flow = min-cut

Proof:

obvious: any-flow \leq max-flow \leq min-cut \leq any-cut

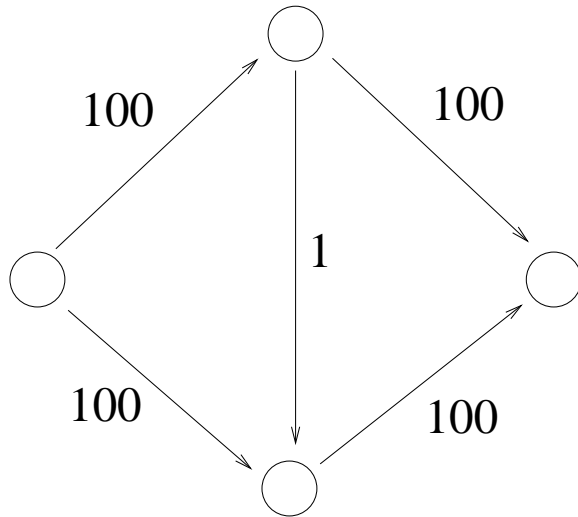
previous slide:

(S, T) flow = (S, T) cut capacity

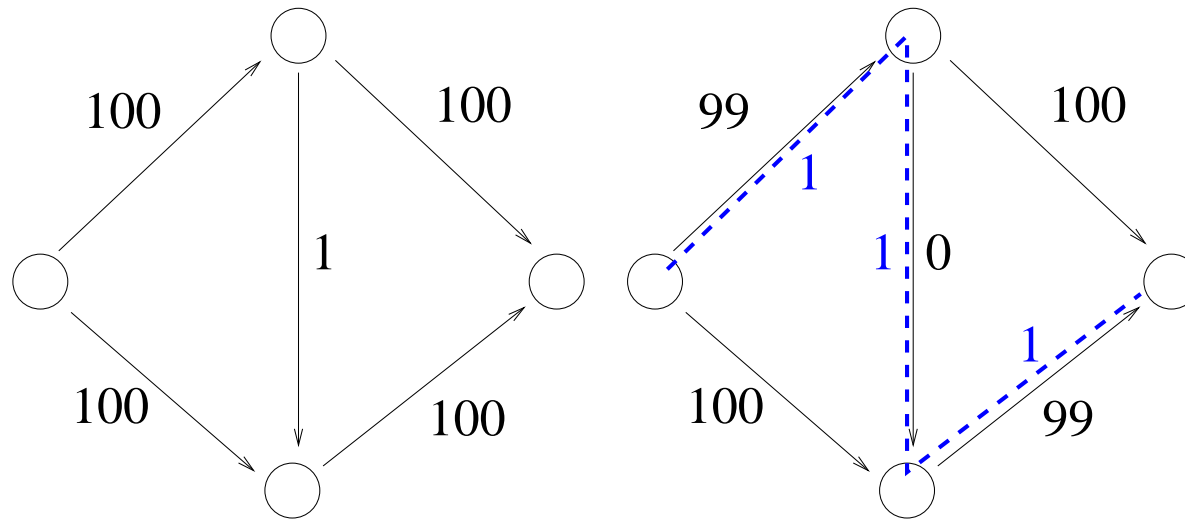
\Rightarrow

(S, T) flow = max-flow = min-cut

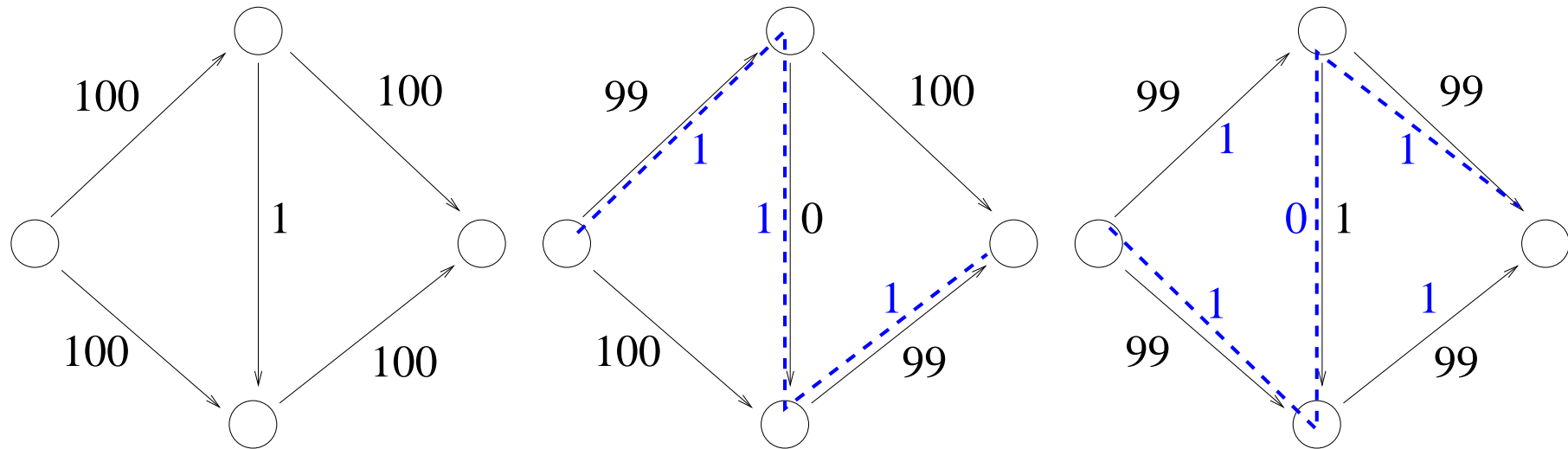
A Bad Example for Ford Fulkerson



A Bad Example for Ford Fulkerson



A Bad Example for Ford Fulkerson

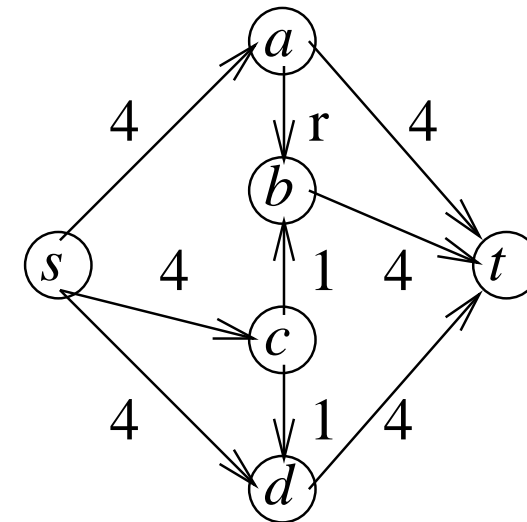


An Even Worse Example for Ford Fulkerson

[U. Zwick, TCS 148, p. 165–170, 1995]

Let $r = \frac{\sqrt{5} - 1}{2}$.

Consider the graph



And the augmenting paths

$$p_0 = \langle s, c, b, t \rangle$$

$$p_1 = \langle s, a, b, c, d, t \rangle$$

$$p_2 = \langle s, c, b, a, t \rangle$$

$$p_3 = \langle s, d, c, b, t \rangle$$

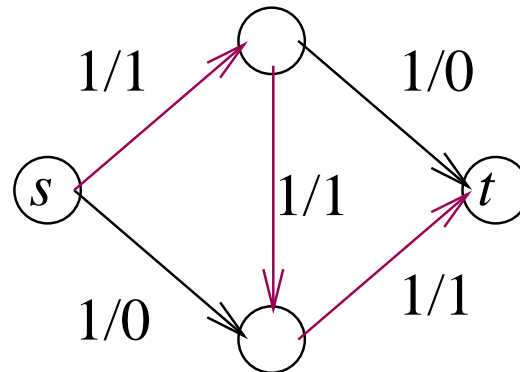
The sequence of augmenting paths $p_0(p_1, p_2, p_1, p_3)^*$ is an infinite sequence of positive flow augmentations.

The flow value does **not** converge to the maximum value 9.

Blocking Flows

f_b is a **blocking flow** in H if

$$\forall \text{paths } p = \langle s, \dots, t \rangle : \exists e \in p : f_b(e) = c(e)$$



Dinitz Algorithm

Function DinitzMaxFlow($G = (V, E), s, t, c : E \rightarrow \mathbb{N}$) : $E \rightarrow \mathbb{N}$

$f := 0$

while \exists path $p = (s, \dots, t)$ in G_f **do**

$d = G_f.\text{reverseBFS}(t) : V \rightarrow \mathbb{N}$

$L_f = (V, \{(u, v) \in E_f : d(v) = d(u) - 1\})$ // layer graph

find a **blocking flow** f_b in L_f

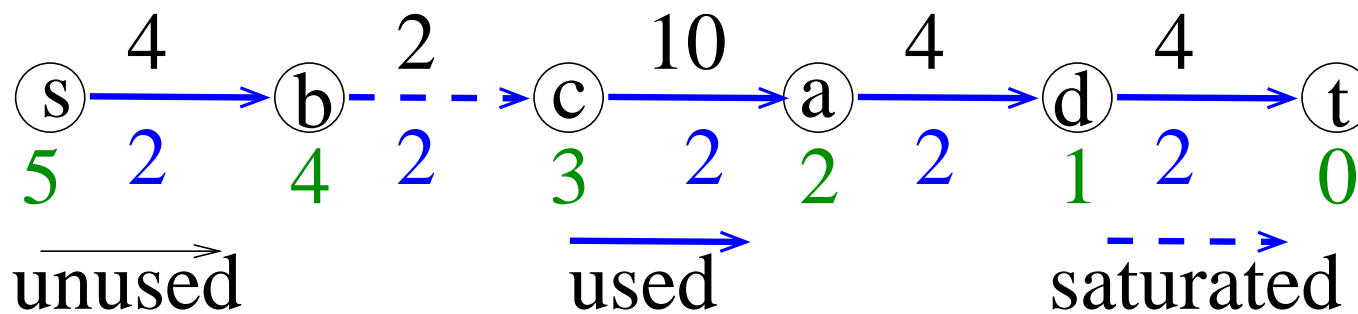
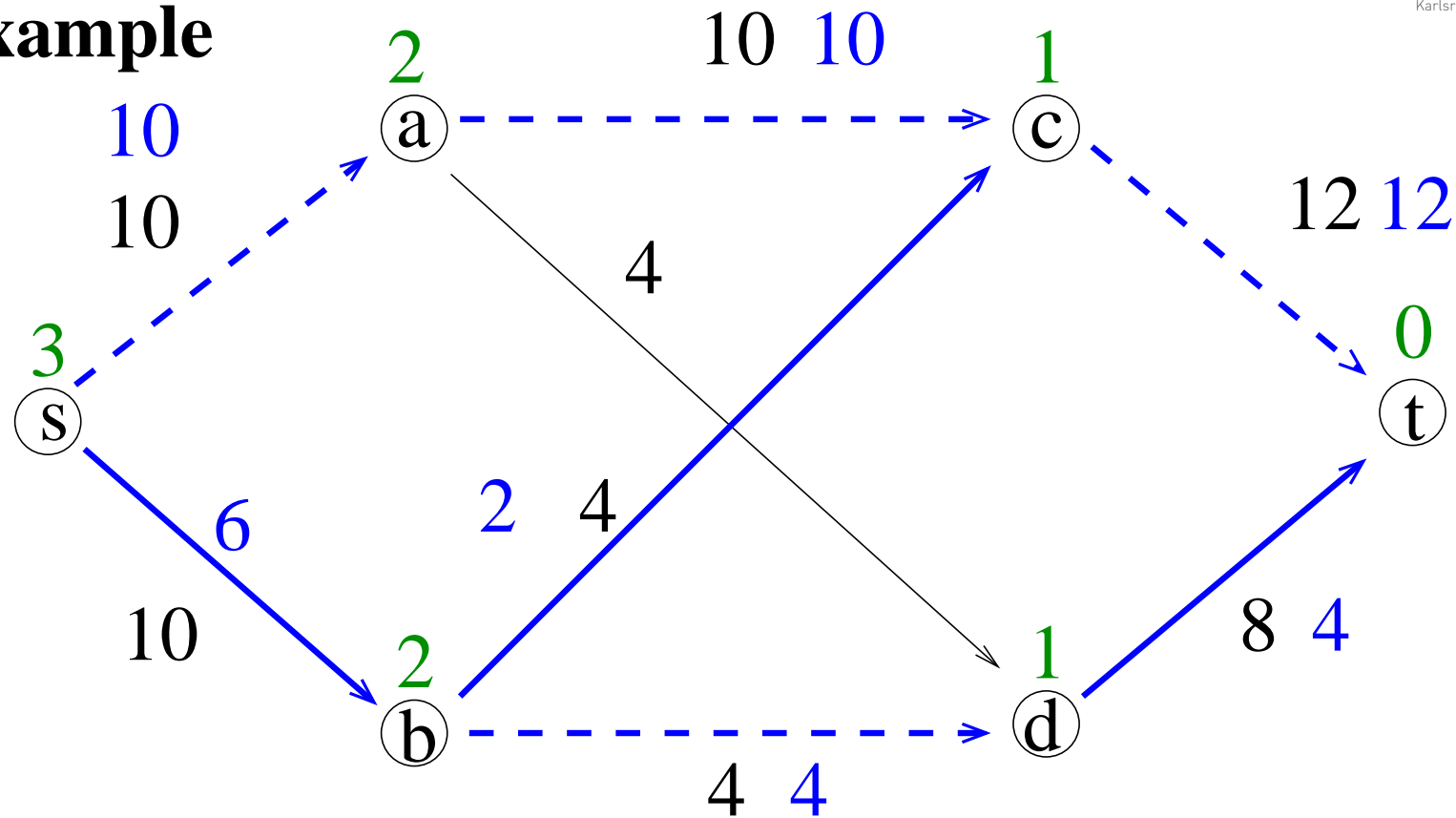
augment $f += f_b$

return f

Dinitz – Correctness

analogous to Ford-Fulkerson

Example



Computing Blocking Flows

Idee: wiederholte DFS nach augmentierenden Pfaden

Function blockingFlow($L_f = (V, E)$) : $E \rightarrow \mathbb{N}$

$p = \langle s \rangle$: Path; $f_b = 0$: Flow

loop

// Round

$v := p.\text{last}()$

if $v = t$ **then**

// breakthrough

$\delta := \min \{c(e) - f_b(e) : e \in p\}$

foreach $e \in p$ **do**

$f_b(e) += \delta$

if $f_b(e) = c(e)$ **then** **remove** e from E

$p := \langle s \rangle$

else if $\exists e = (v, w) \in E$ **then** $p.\text{pushBack}(w)$

// extend

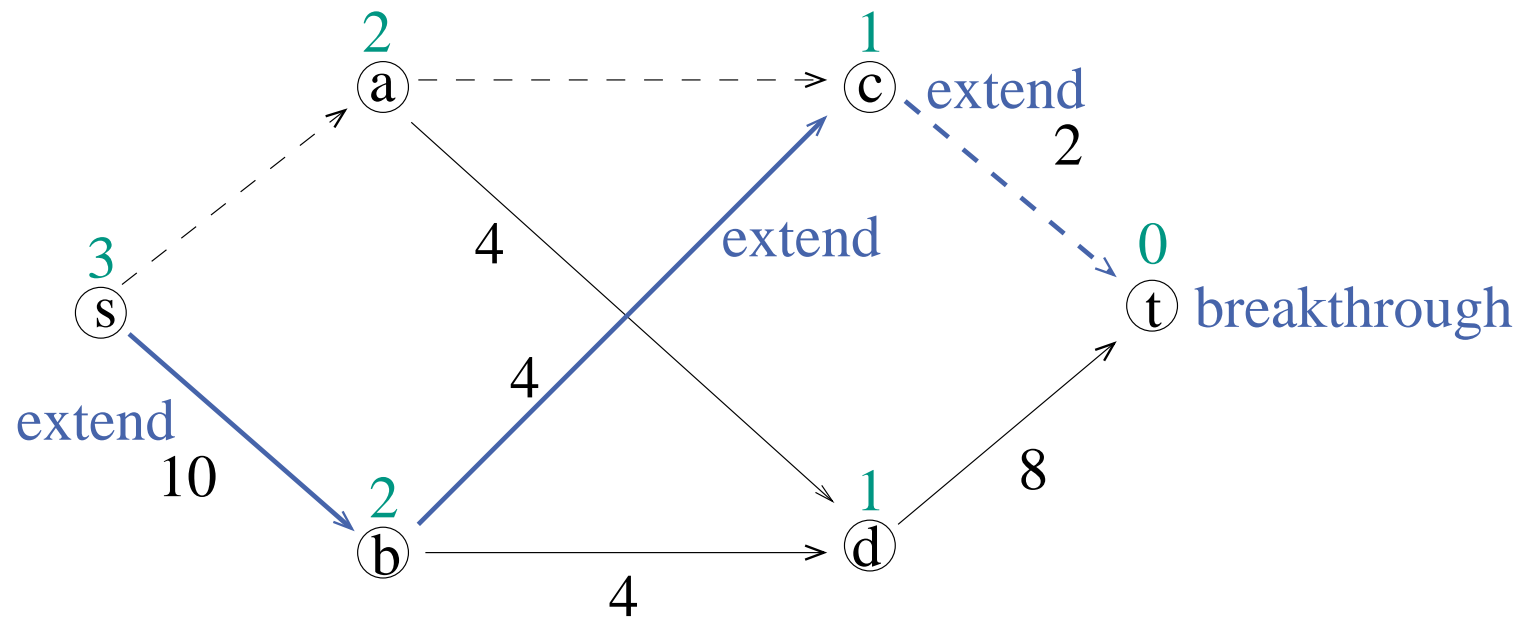
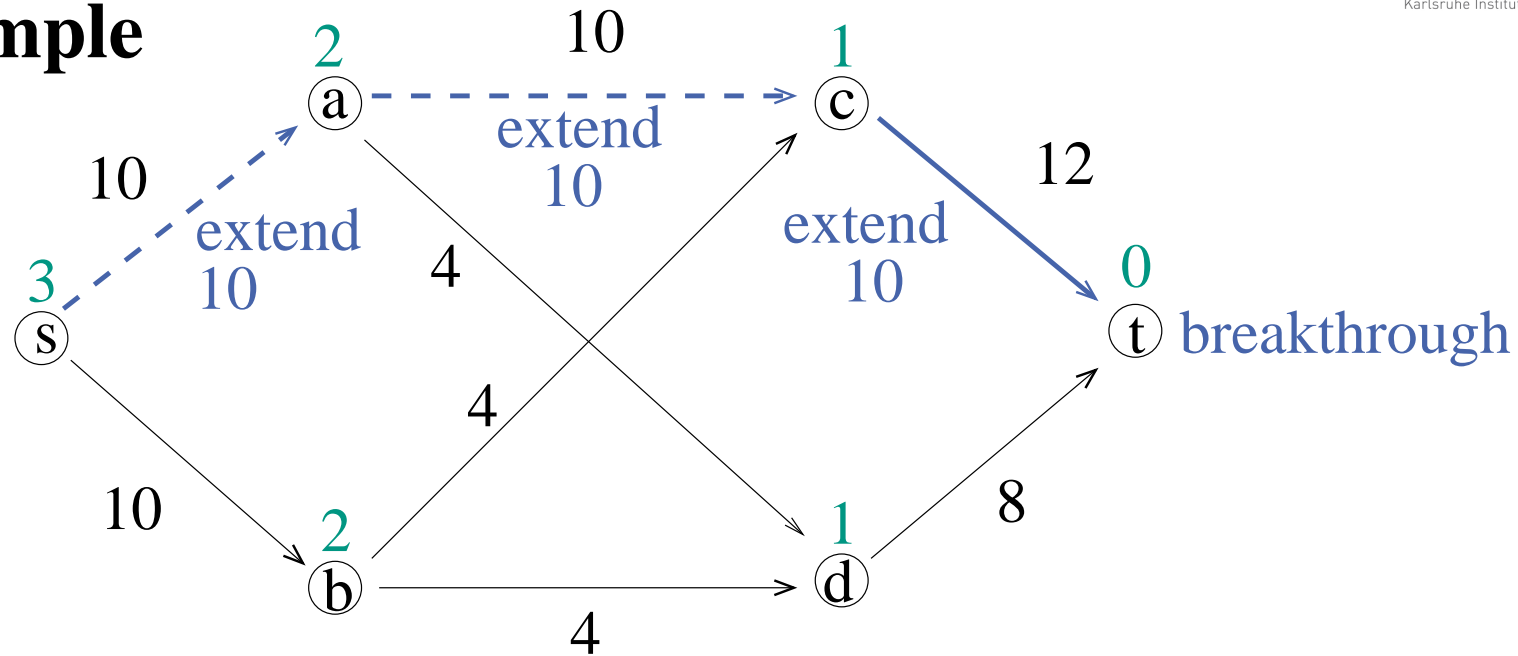
else if $v = s$ **then return** f_b

// done

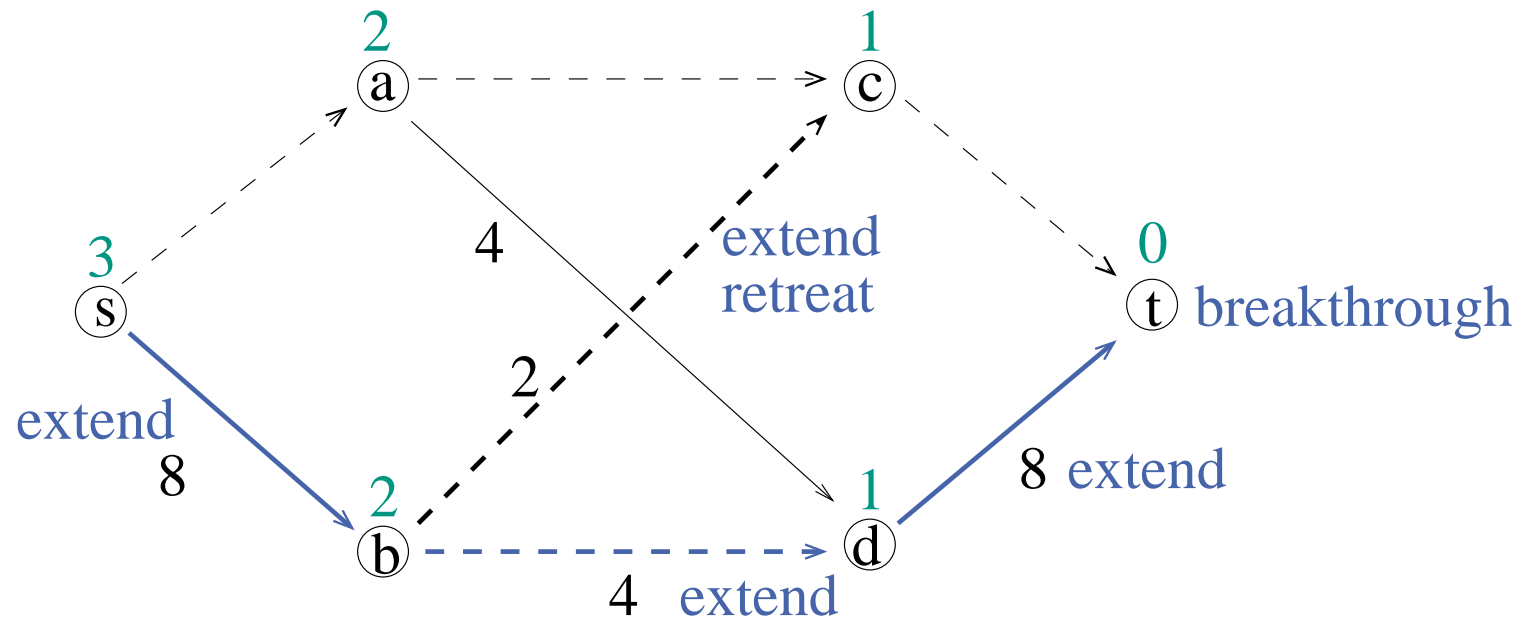
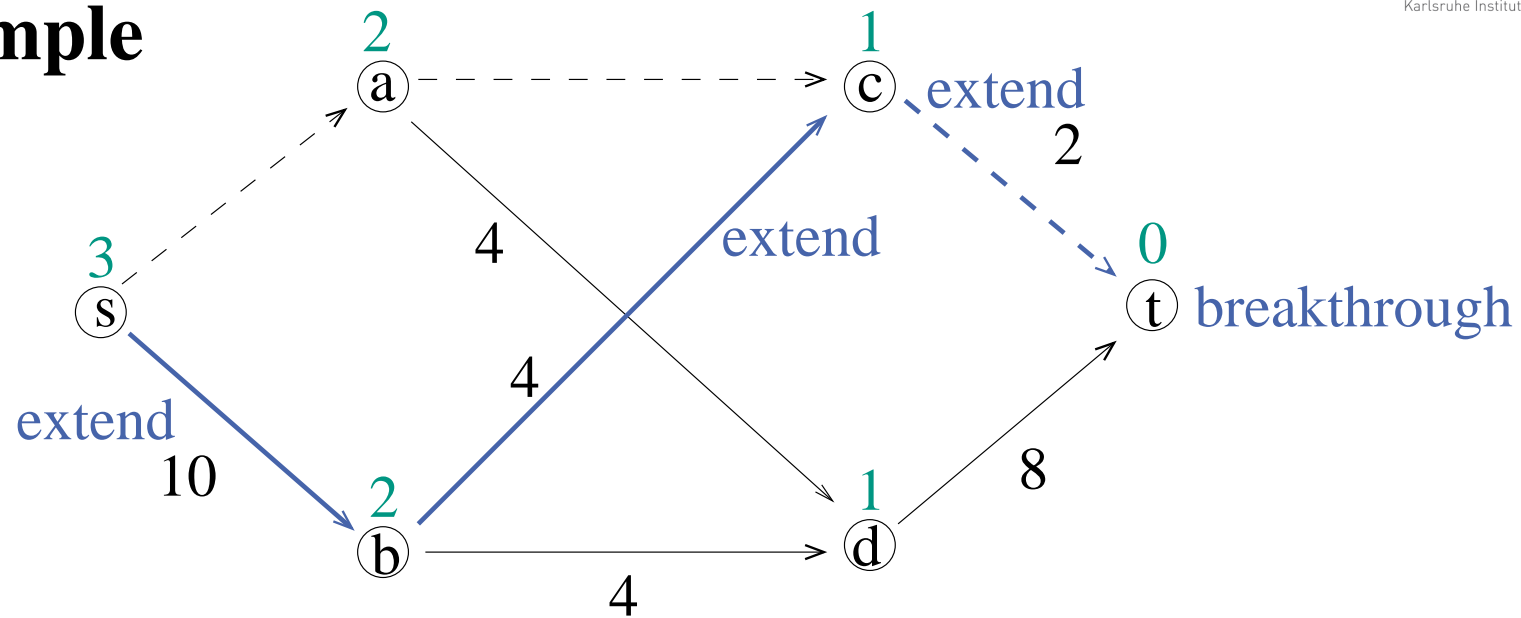
else delete the last edge from p in p and E

// retreat

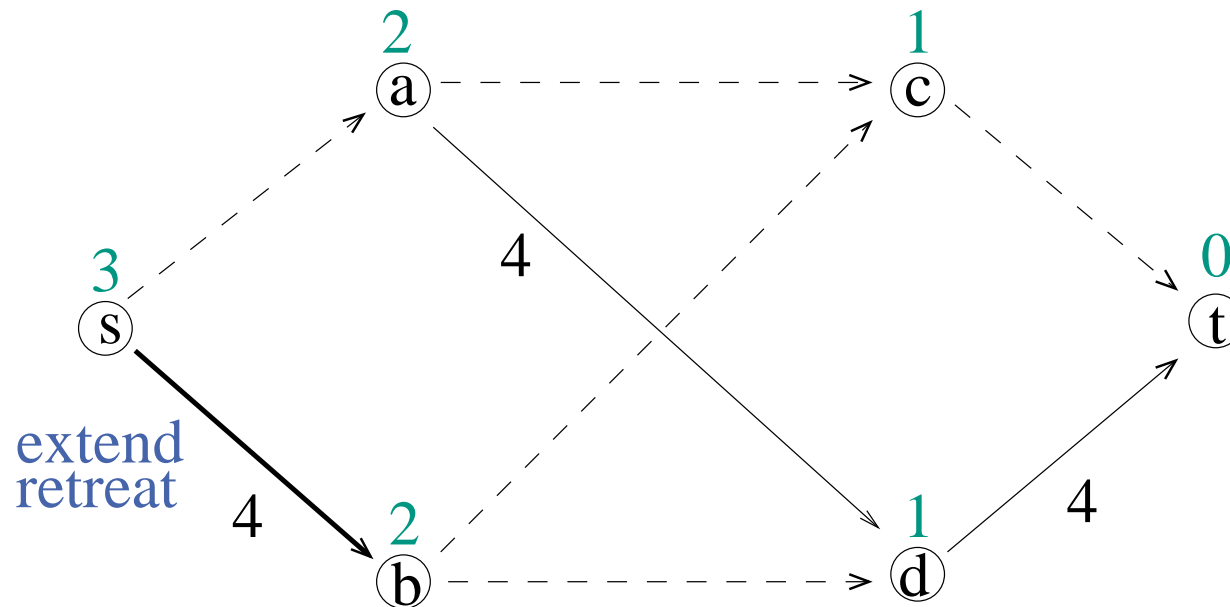
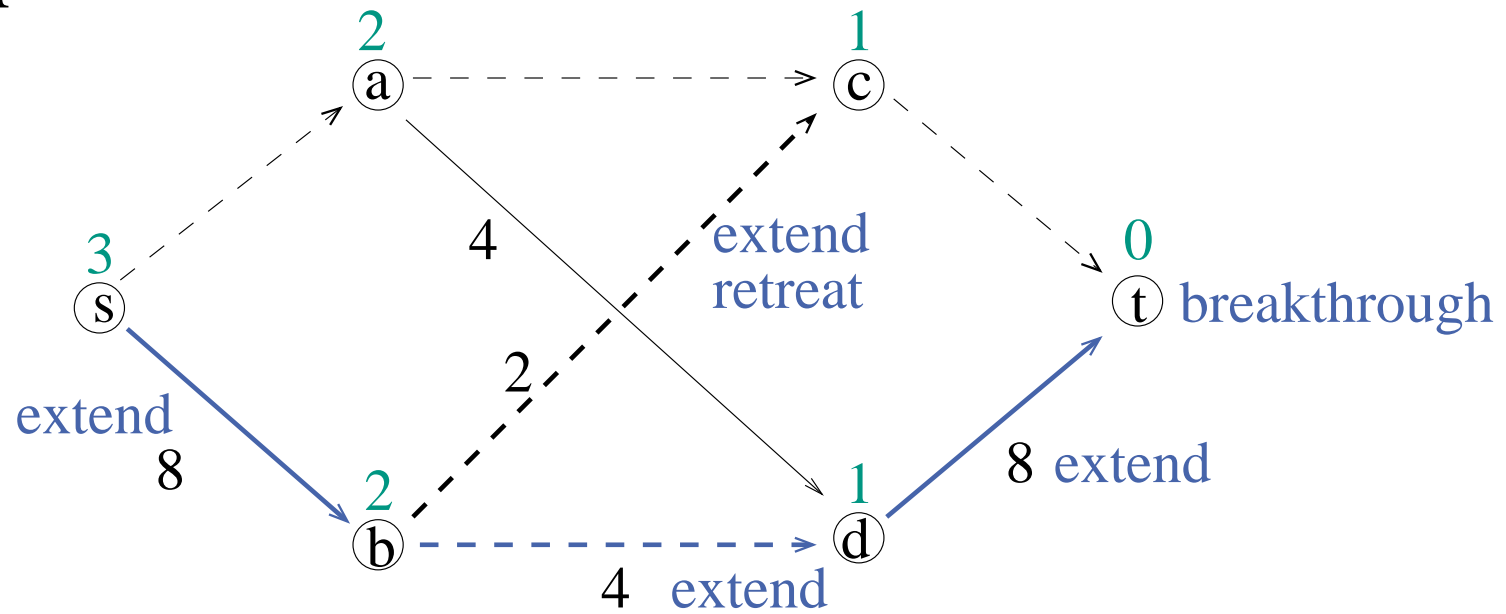
Example



Example



Example



Blocking Flows Analysis 1

- running time $\#_{extends} + \#_{retreats} + n \cdot \#_{breakthroughs}$
- $\#_{breakthroughs} \leq m$ – ≥ 1 edge is saturated
- $\#_{retreats} \leq m$ – one edge is removed
- $\#_{extends} \leq \#_{retreats} + n \cdot \#_{breakthroughs}$
 - a retreat cancels 1 extend, a breakthrough cancels $\leq n$ extends

time is $O(m + nm) = O(nm)$

Blocking Flows Analysis 2

Unit capacities:

breakthroughs saturates **all** edges on p , i.e., amortized constant cost per edge.

time $O(m + n)$

Blocking Flows Analysis 3

Dynamic trees: breakthrough (!), retreat, extend in time $O(\log n)$

time $O((m + n) \log n)$

“Theory alert”: In practice, this seems to be slower
(few breakthroughs, many retreat, extend ops.)

Dinitz Analysis 1

Lemma 1. *$d(s)$ increases by at least one in each round.*

Proof. not here



Dinitz Analysis 2

□ $\leq n$ rounds

□ time $O(mn)$ each

time $O(mn^2)$ (strongly polynomial)

time $O(mn \log n)$ with dynamic trees

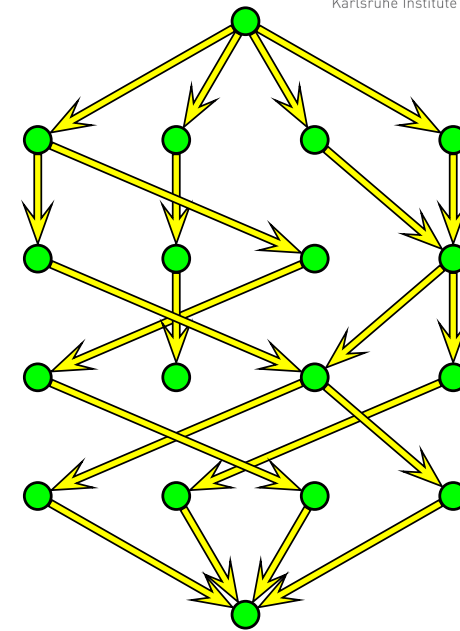
Dinitz Analysis 3 – Unit Capacities

Lemma 2. *At most $2\sqrt{m}$ BF computations:*

Proof. Consider iteration $k = \sqrt{m}$.

Cut in layergraph induces cut in residual graph of capacity at most \sqrt{m} .

At most \sqrt{m} additional phases.



Total time: $O((m+n)\sqrt{m})$

more detailed analysis: $O\left(m \min \left\{ m^{1/2}, n^{2/3} \right\}\right)$

Dinitz Analysis 4 – Unit Networks

Unit capacity + $\forall v \in V : \min \{ \text{indegree}(v), \text{outdegree}(v) \} = 1$:

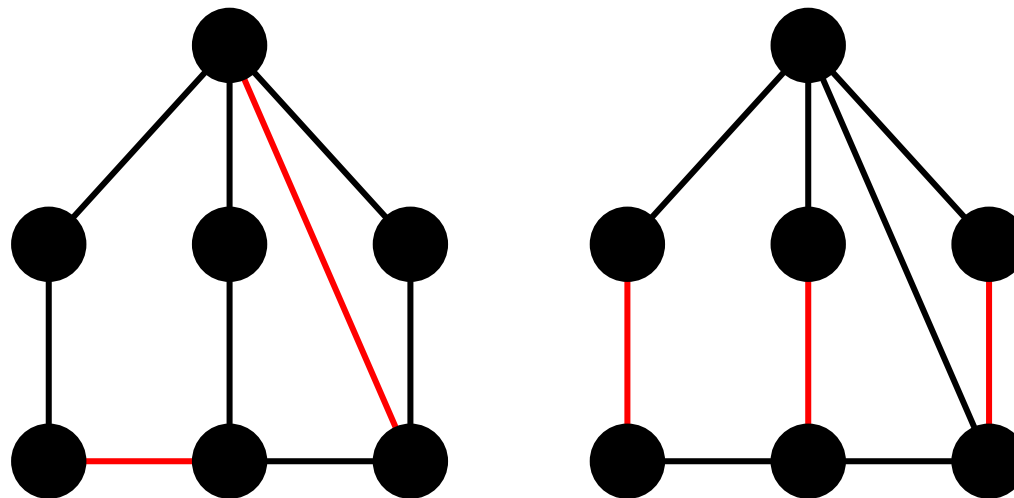
time: $O((m+n)\sqrt{n})$

Matching

$M \subseteq E$ is a **matching** in the undirected graph $G = (V, E)$ iff (V, M) has maximum degree ≤ 1 .

M is **maximal** if $\nexists e \in E \setminus M : M \cup \{e\}$ is a matching.

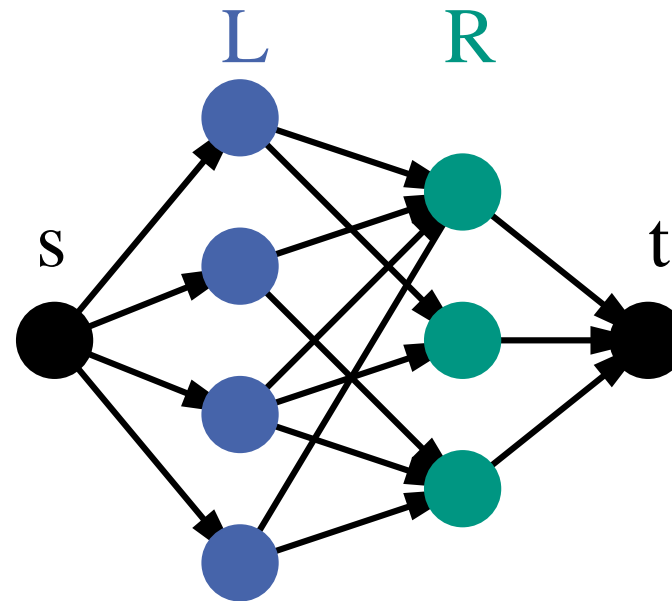
M has **maximum** cardinality if \nexists matching $M' : |M'| > |M|$



Maximum Cardinality Bipartite Matching

in $(L \cup R, E)$. Model as a **unit network maximum flow** problem

$$(\{s\} \cup L \cup R \cup \{t\}, \{(s, u) : u \in L\} \cup E \cup \{(v, t) : v \in R\})$$

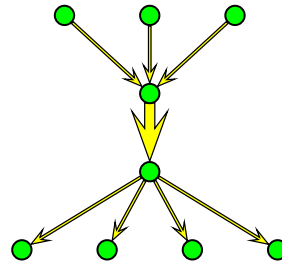


Dinitz algorithm yields $O((n + m)\sqrt{n})$ algorithm

Similar Performance for Weighted Graphs?

time: $O\left(m \min\left\{m^{1/2}, n^{2/3}\right\} \log C\right)$ [Goldberg Rao 97]

Problem: Fat edges between layers ruin the argument

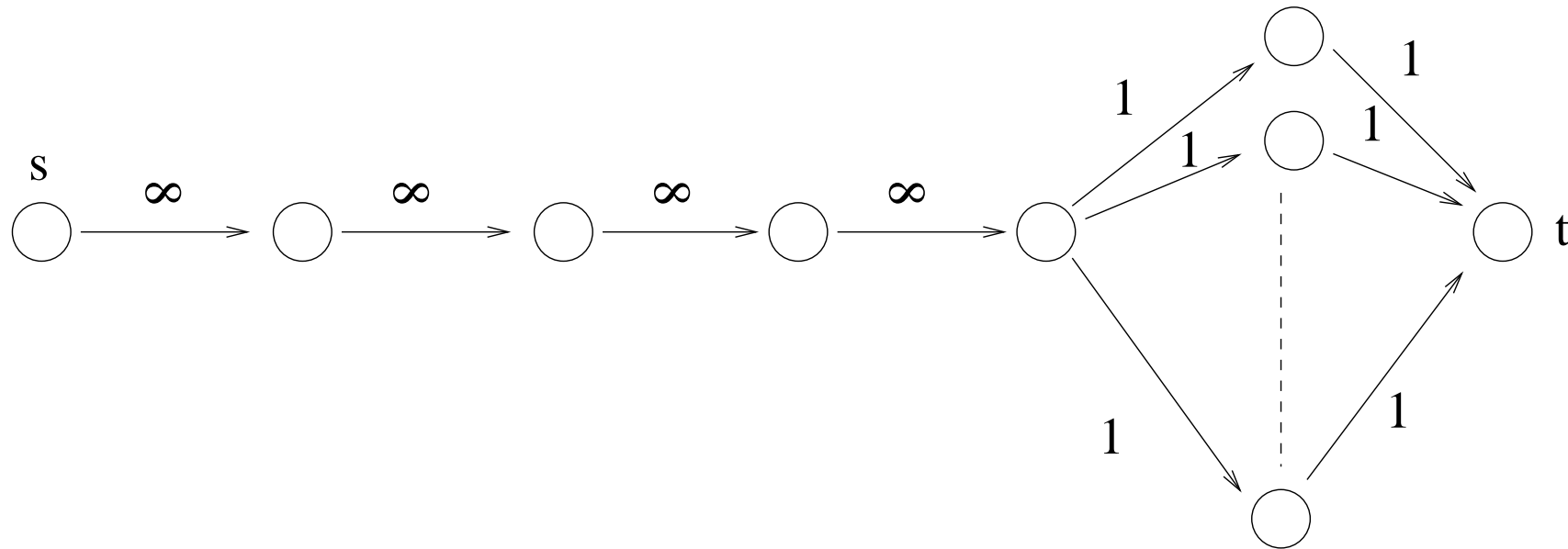


Idea: **scale** a parameter Δ from small to large
contract SCCs of fat edges (capacity $> \Delta$)

Experiments [Hagerup, Sanders Träff 98]:

Sometimes best algorithm usually slower than **preflow push**

Disadvantage of augmenting paths algorithms



Preflow-Push Algorithms

Preflow f : a flow where the **flow conservation** constraint is **relaxed** to

$$\text{excess}(v) := \overbrace{\sum_{(u,v) \in E} f_{(u,v)}}^{\text{inflow}} - \overbrace{\sum_{(v,w) \in E} f_{(v,w)}}^{\text{outflow}} \geq 0 .$$

$v \in V \setminus \{s, t\}$ is **active** iff $\text{excess}(v) > 0$

Procedure $\text{push}(e = (v, w), \delta)$

assert $\delta > 0 \quad \wedge \quad \text{excess}(v) \geq \delta$

assert residual capacity of $e \geq \delta$

$\text{excess}(v) - = \delta$

$\text{excess}(w) + = \delta$

if e is reverse edge **then** $f(\text{reverse}(e)) - = \delta$

else $f(e) + = \delta$

Level Function

Idea: make progress by pushing **towards** t

Maintain

an **approximation** $d(v)$ of the BFS distance from v to t in G_f .

invariant $d(t) = 0$

invariant $d(s) = n$

invariant $\forall (v, w) \in E_f : d(v) \leq d(w) + 1$ // no **steep** edges

Edge directions of $e = (v, w)$

steep: $d(w) < d(v) - 1$

downward: $d(w) < d(v)$

horizontal: $d(w) = d(v)$

upward: $d(w) > d(v)$

```

Procedure genericPreflowPush( $G=(V,E)$ ,  $f$ )
  forall  $e = (s, v) \in E$  do push( $e, c(e)$ )           // saturate
   $d(s) := n$ 
   $d(v) := 0$  for all other nodes
  while  $\exists v \in V \setminus \{s, t\} : \text{excess}(v) > 0$  do           // active node
    if  $\exists e = (v, w) \in E_f : d(w) < d(v)$  then // eligible edge
      choose some  $\delta \leq \min \{ \text{excess}(v), c_e^f \}$ 
      push( $e, \delta$ ) // no new steep edges
    else  $d(v)++$  // relabel. No new steep edges
  
```

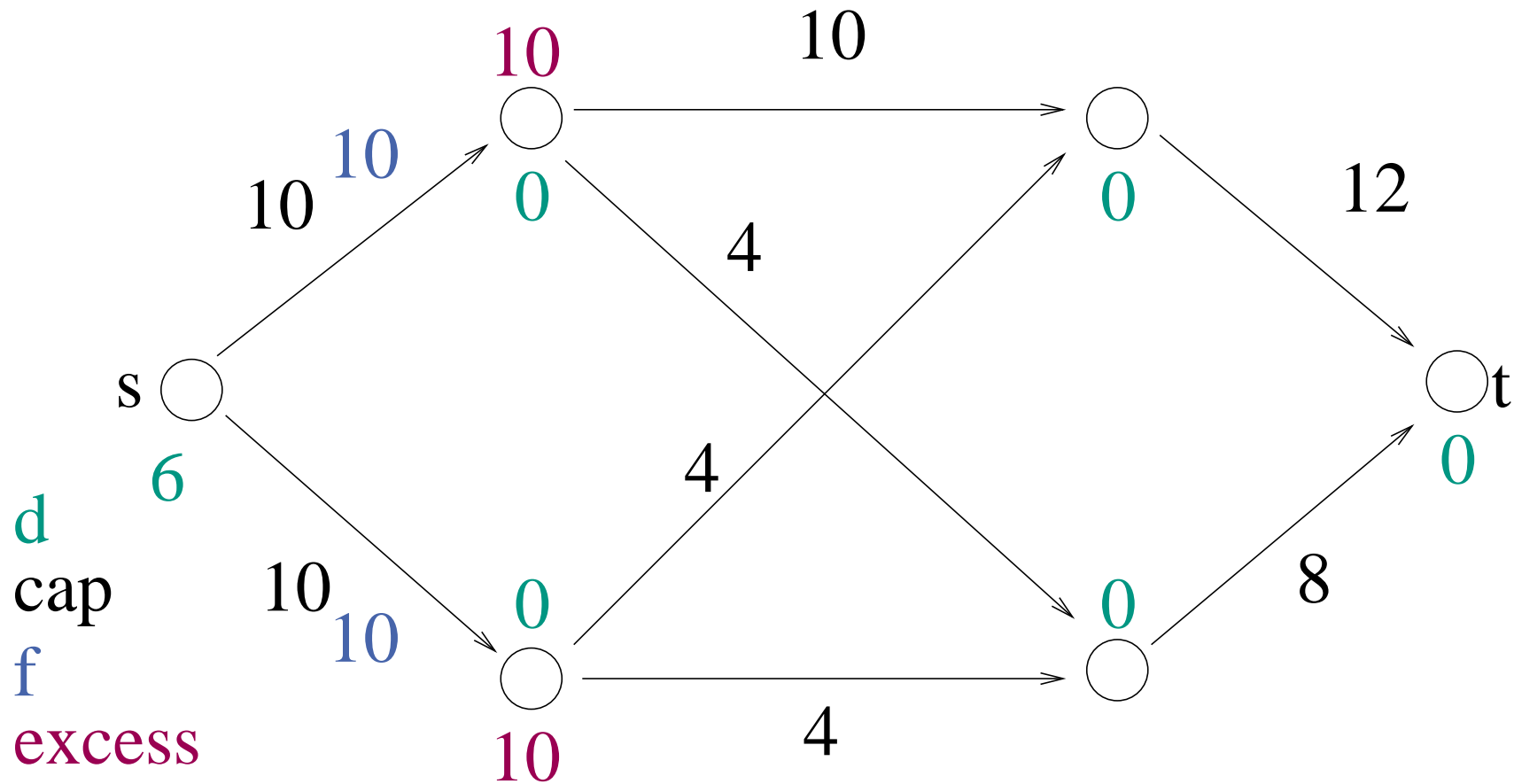
Obvious choice for δ : $\delta = \min \{ \text{excess}(v), c_e^f \}$

Saturating push: $\delta = c_e^f$

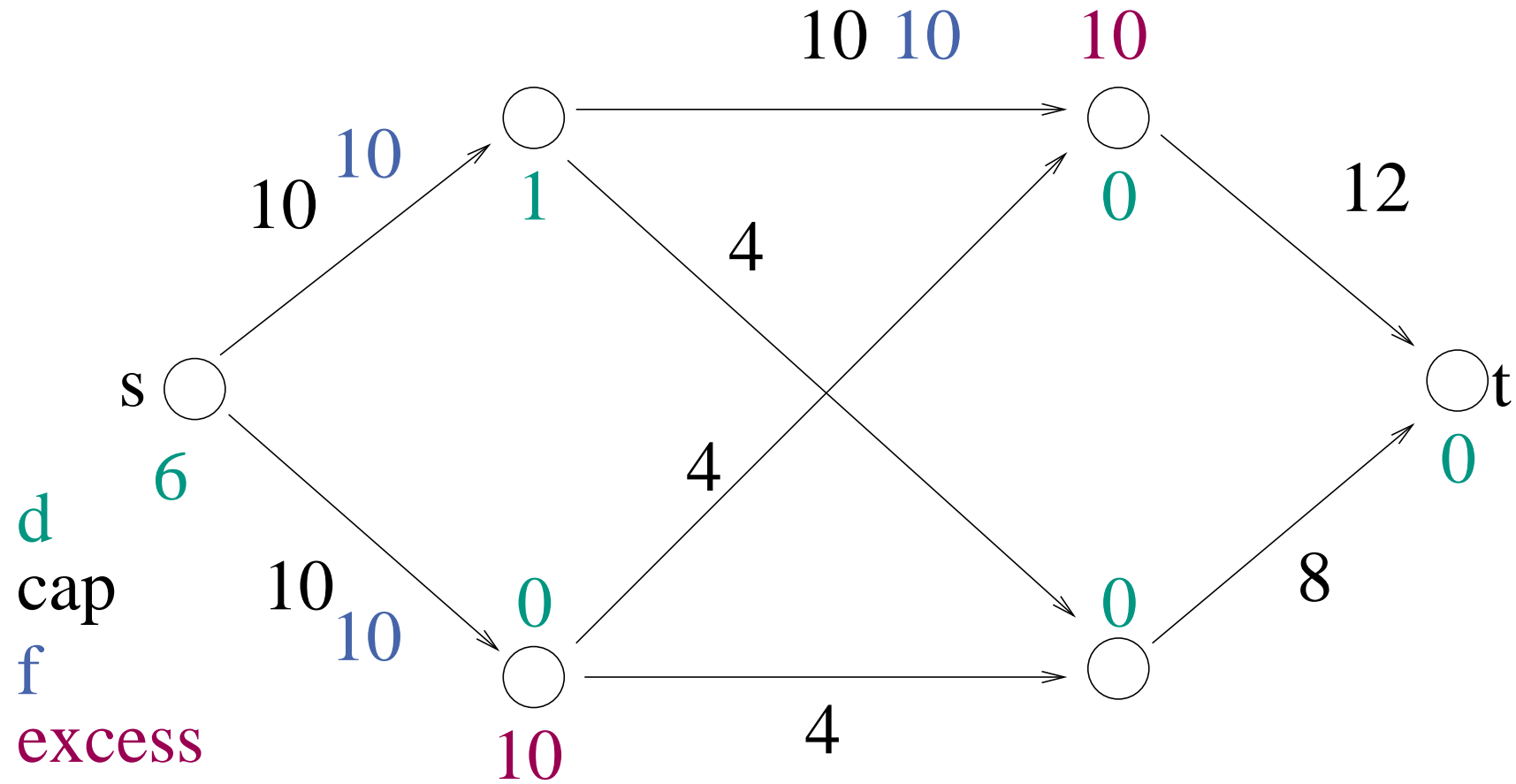
nonsaturating push: $\delta < c_e^f$

To be filled in: How to select active nodes and eligible edges?

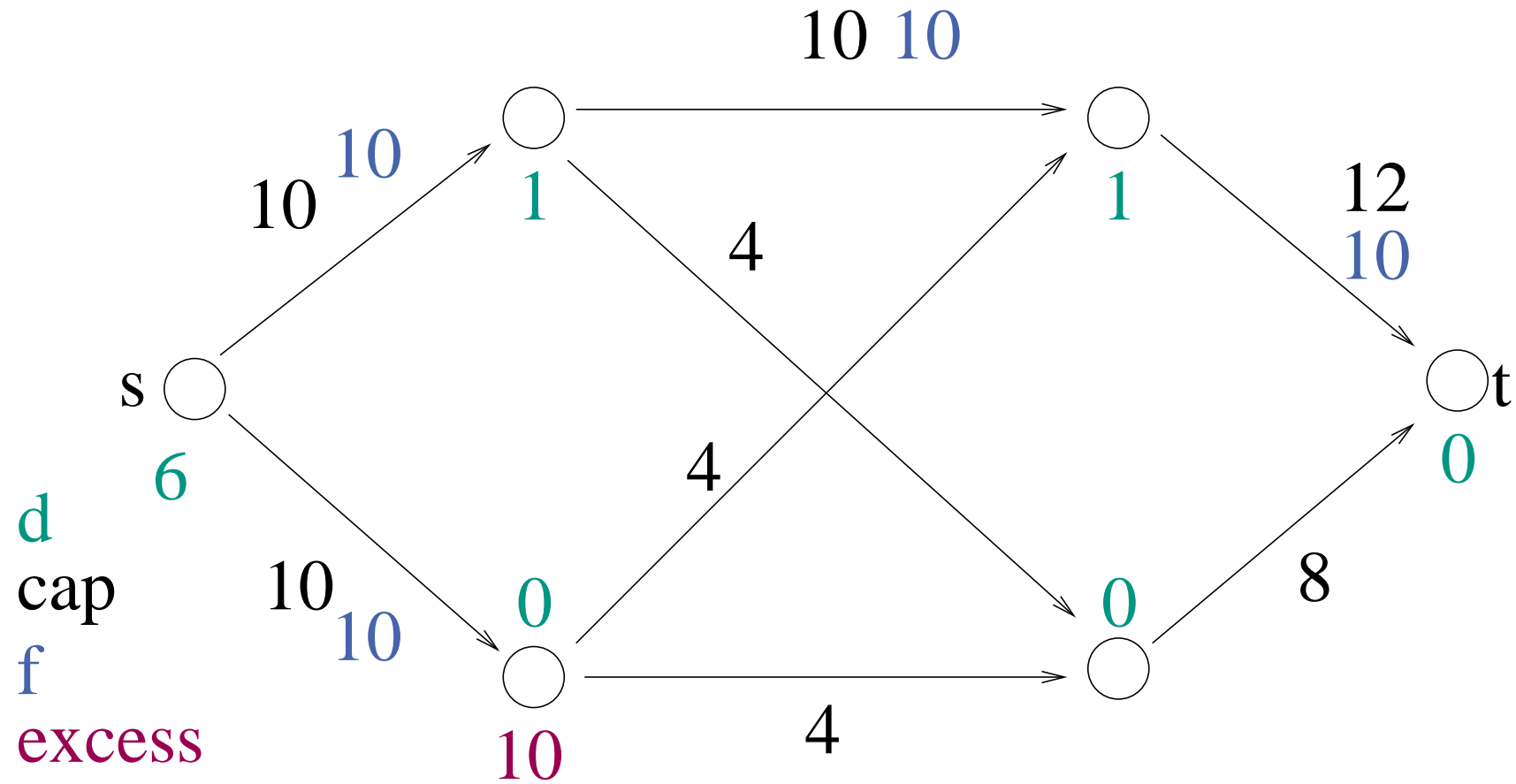
Example



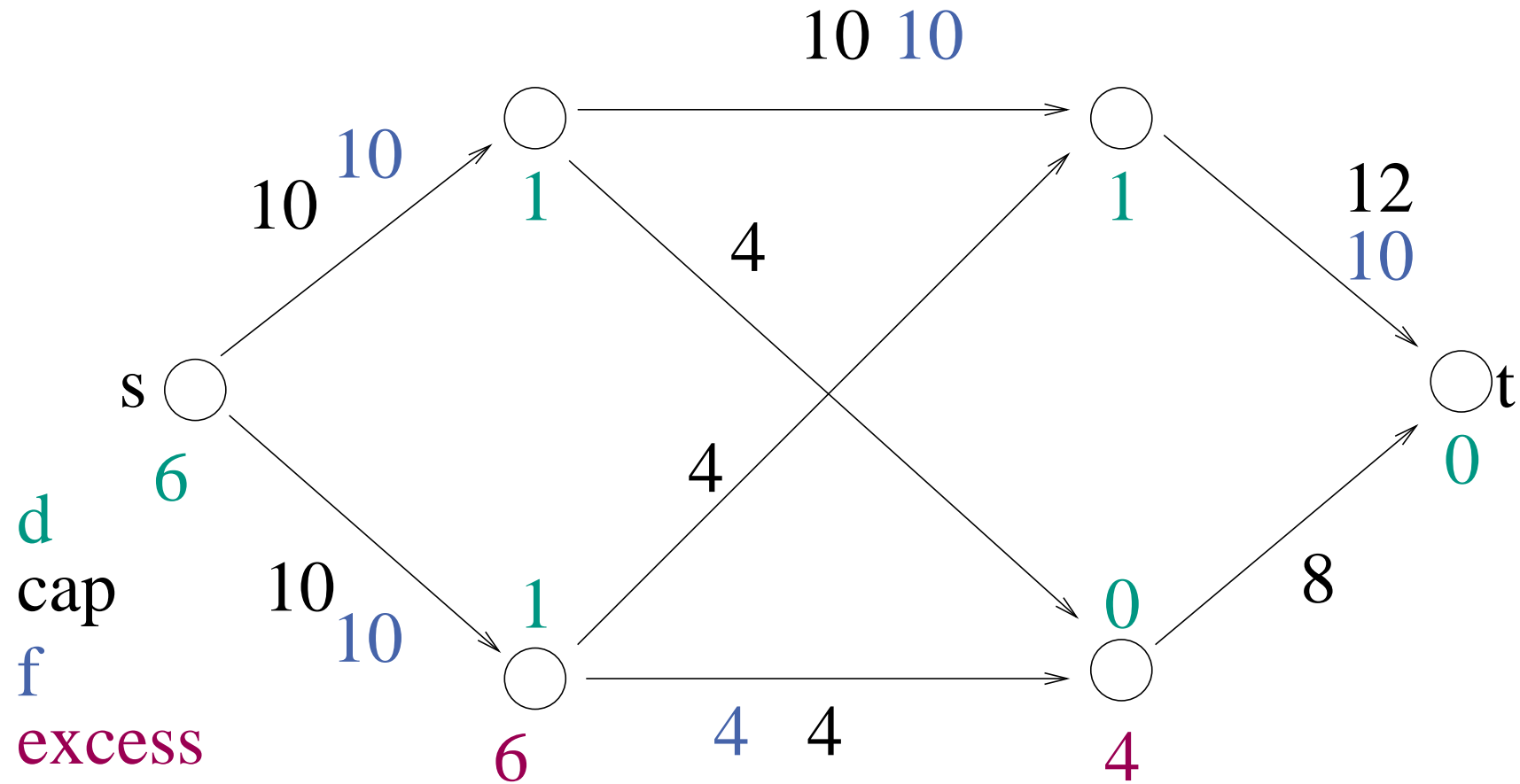
Example



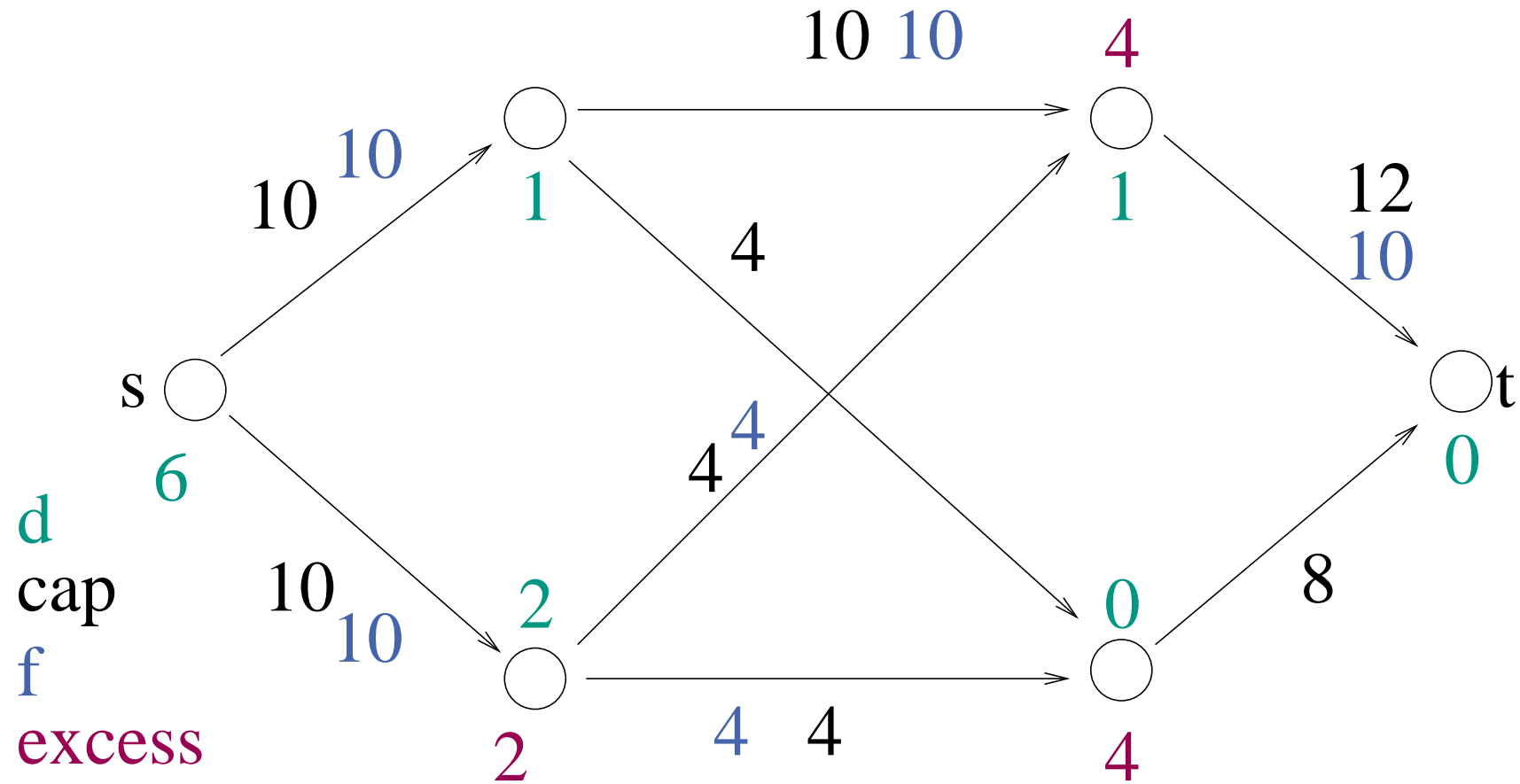
Example



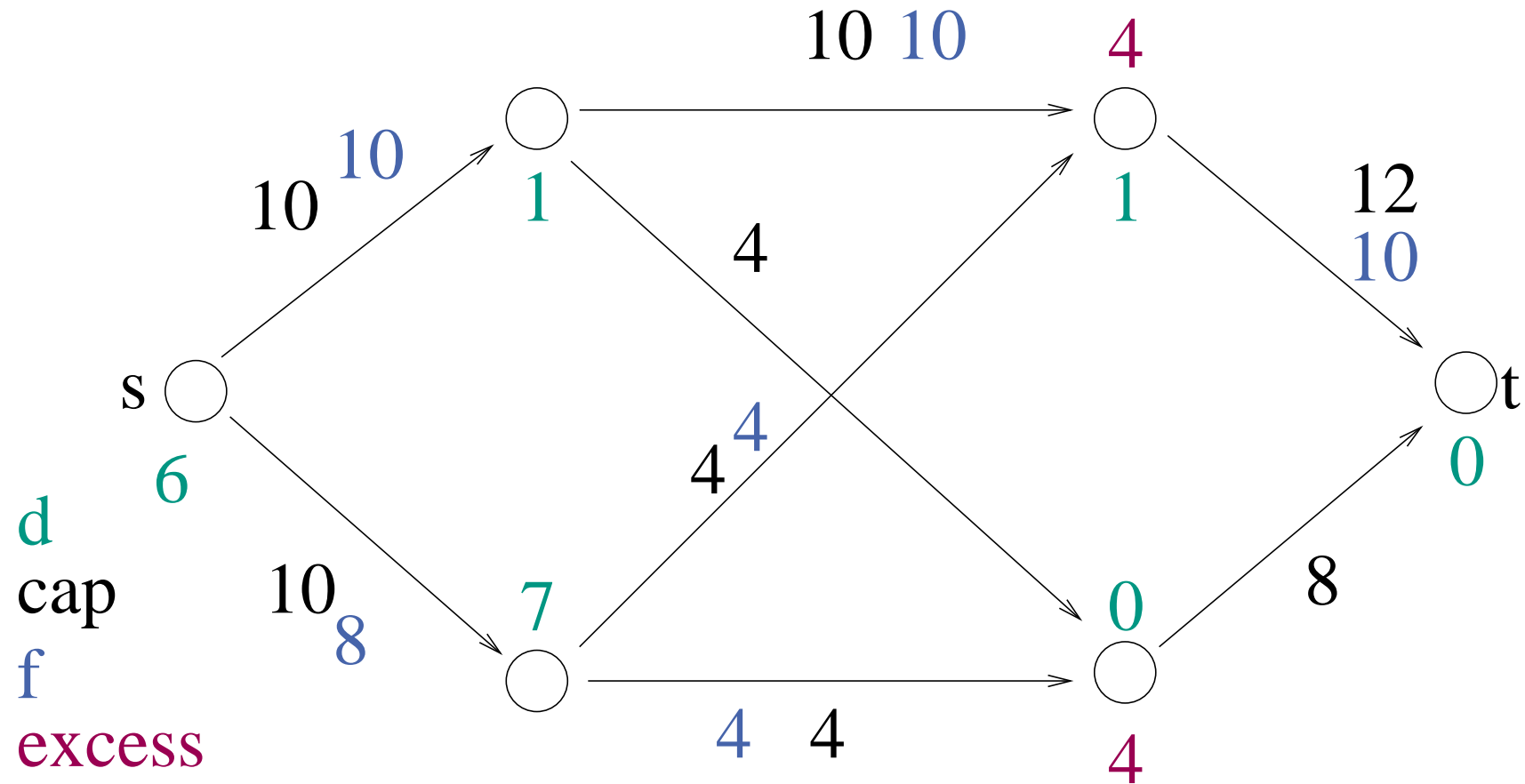
Example



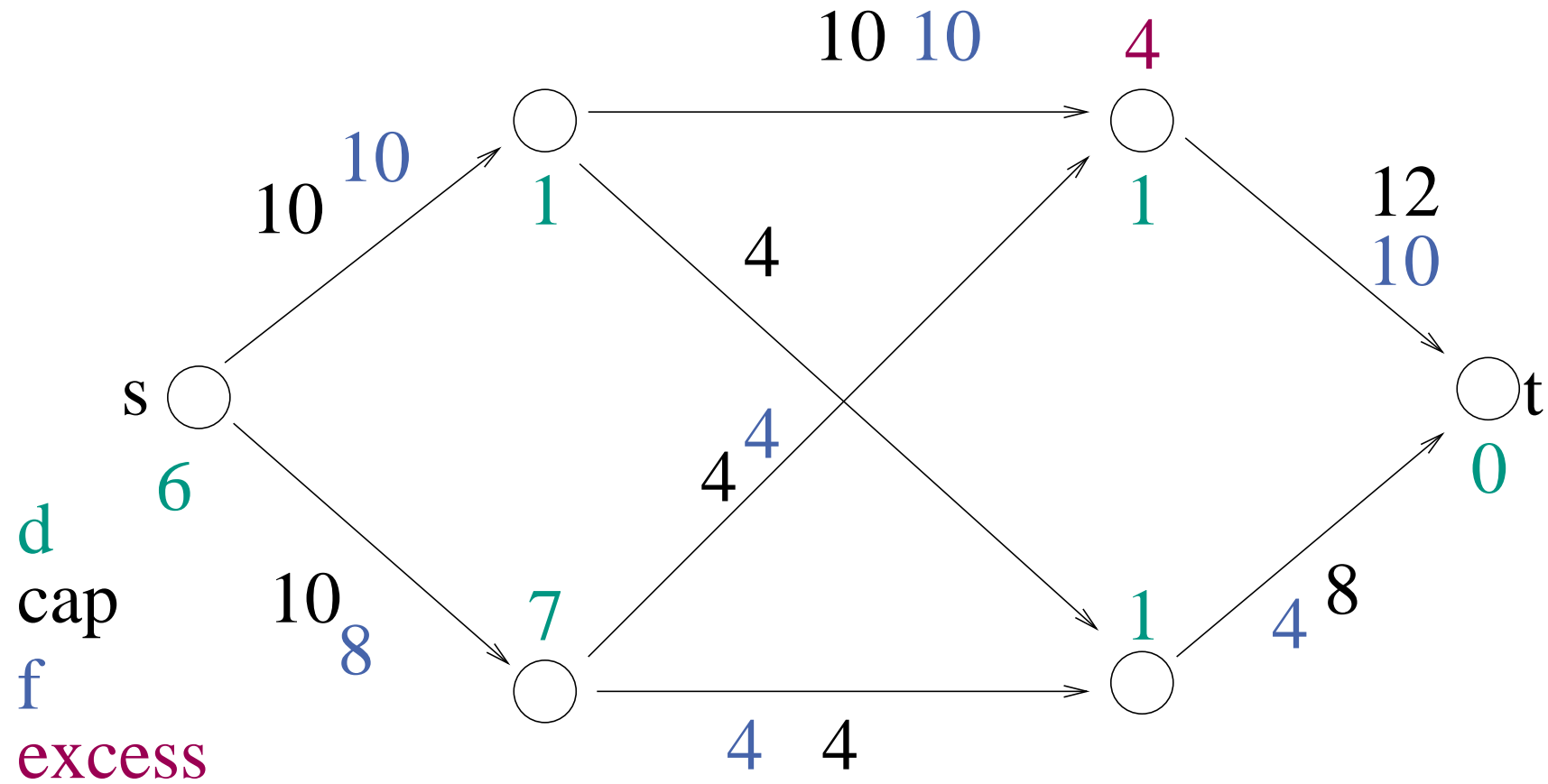
Example



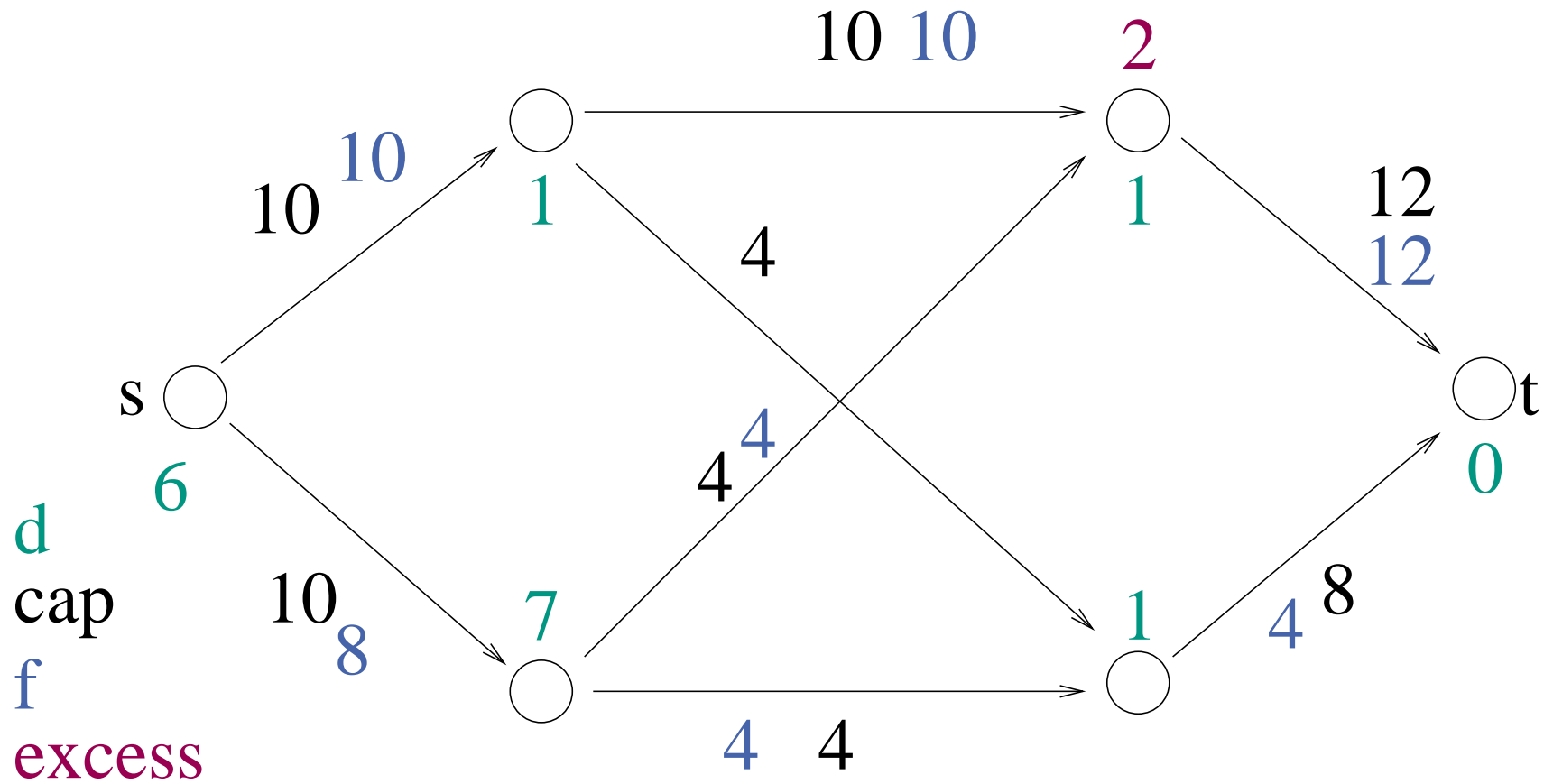
Example



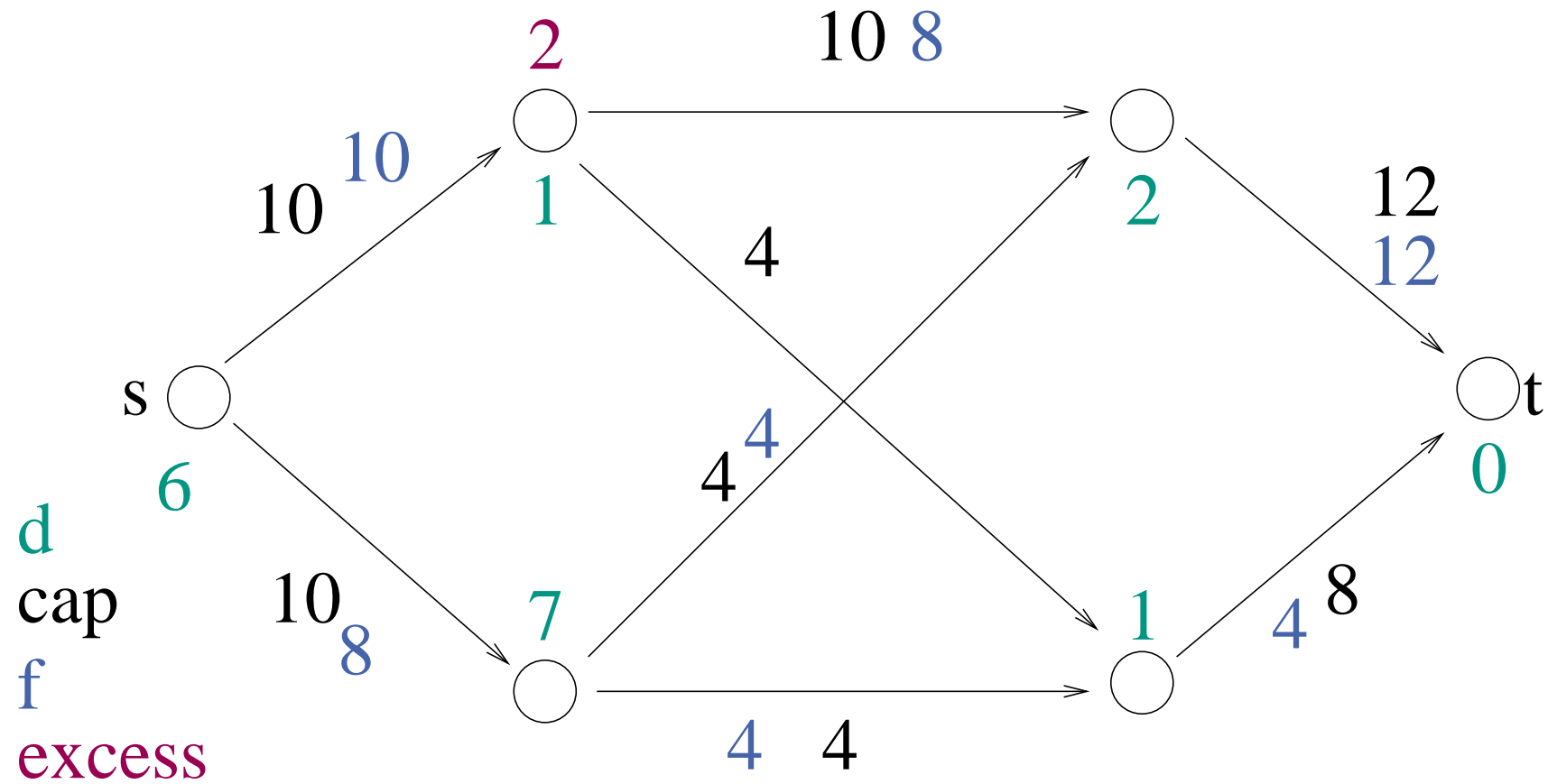
Example



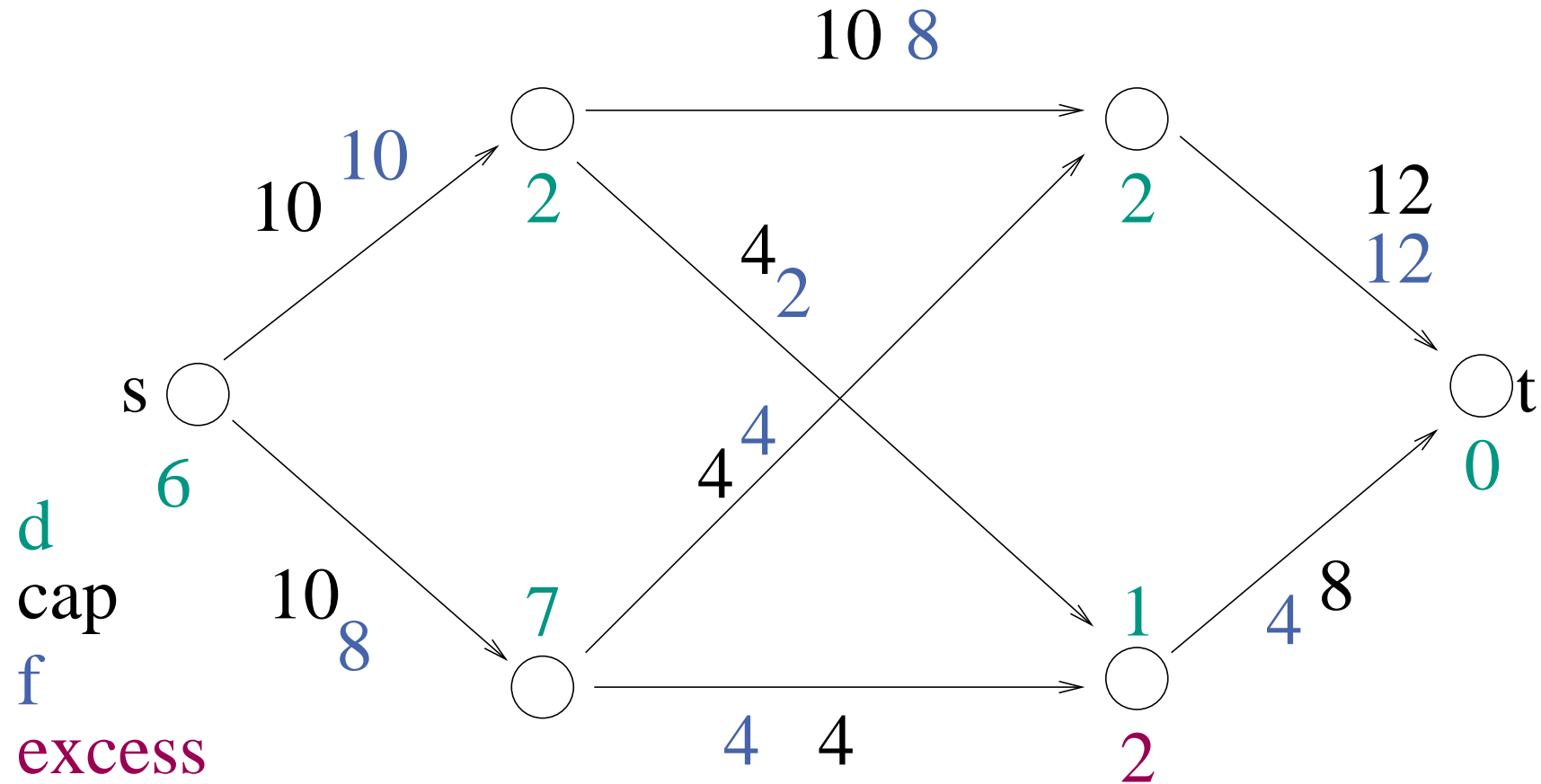
Example



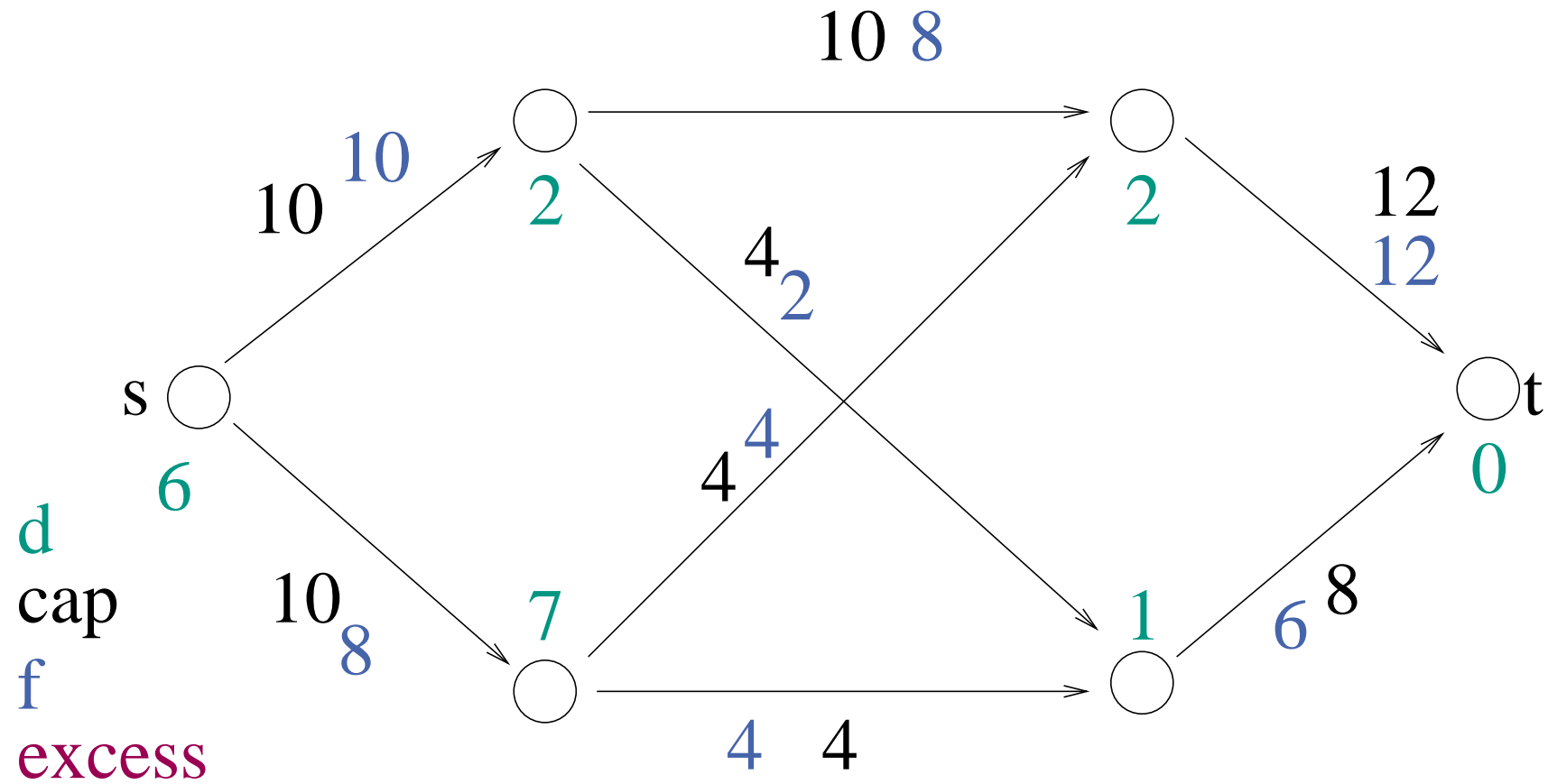
Example



Example



Example



12 pushes in total

Partial Correctness

Lemma 3. *When genericPreflowPush terminates f is a maximal flow.*

Proof.

f is a **flow** since $\forall v \in V \setminus \{s, t\} : \text{excess}(v) = 0$.

To show that f is **maximal**, it suffices to show that

\nexists path $p = \langle s, \dots, t \rangle \in G_f$ (Max-Flow Min-Cut Theorem):

Since $d(s) = n$, $d(t) = 0$, p would have to contain steep edges.

That would be a contradiction. □

Lemma 4. For any cut (S, T) ,

$$\sum_{u \in S} excess(u) = \sum_{e \in E \cap (T \times S)} f(e) - \sum_{e \in E \cap (S \times T)} f(e),$$

Proof:

$$\sum_{u \in S} excess(u) = \sum_{u \in S} \left(\sum_{(v, u) \in E} f((v, u)) - \sum_{(u, v) \in E} f((u, v)) \right)$$

Contributions of edge e to sum:

S to T : $-f(e)$

T to S : $f(e)$

within S : $f(e) - f(e) = 0$

within T : 0



Lemma 5.

\forall active nodes v : $\text{excess}(v) > 0 \Rightarrow \exists$ path $\langle v, \dots, s \rangle \in G_f$

Intuition: what got there can always go back.

Proof. $S := \{u \in V : \exists \text{ path } \langle v, \dots, u \rangle \in G_f\}$, $T := V \setminus S$. Then

$$\sum_{u \in S} \text{excess}(u) = \sum_{e \in E \cap (T \times S)} f(e) - \sum_{e \in E \cap (S \times T)} f(e),$$

$\forall (u, w) \in E_f : u \in S \Rightarrow w \in S$ by Def. of G_f , S

$\Rightarrow \forall e = (u, w) \in E \cap (T \times S) : f(e) = 0$ Otherwise $(w, u) \in E_f$

Hence, $\sum_{u \in S} \text{excess}(u) \leq 0$

Only the negative excess of s can outweigh $\text{excess}(v) > 0$.

Hence $s \in S$. □

Lemma 6.

$$\forall v \in V : d(v) < 2n$$

Proof.

Suppose v is lifted to $d(v) = 2n$.

By the Lemma 2, there is a (simple) path p to s in G_f .

p has at most $n - 1$ nodes

$$d(s) = n.$$

Hence $d(v) < 2n$. Contradiction (no steep edges).



Lemma 7. # Relabel operations $\leq 2n^2$

Proof. $d(v) \leq 2n$, i.e., v is relabeled at most $2n$ times.

Hence, at most $|V| \cdot 2n = 2n^2$ relabel operations. □

Lemma 8. # saturating pushes $\leq nm$

Proof.

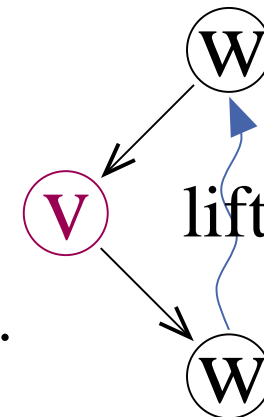
We show that there are **at most n sat. pushes** over any edge $e = (v, w)$.

A saturating push(e, δ) **removes e** from E_f .

Only a **push on (w, v)** can **reinsert e** into E_f .

For this to happen, w must be **lifted** at least two levels.

Hence, at most $2n/2 = n$ saturating pushes over (v, w)



Lemma 9. # nonsaturating pushes = $O(n^2m)$

if $\delta = \min \{ \text{excess}(v), c_e^f \}$

for *arbitrary* node and edge selection rules.

(*arbitrary-preflow-push*)

Proof. $\Phi := \sum_{\{v:v \text{ is active}\}} d(v).$ (Potential)

$\Phi = 0$ initially **and** at the end (no active nodes left!)

Operation	$\Delta(\Phi)$	How many times?	Total effect
relabel	1	$\leq 2n^2$	$\leq 2n^2$
saturating push	$\leq 2n$	$\leq nm$	$\leq 2n^2m$
nonsaturating push	≤ -1		

$\Phi \geq 0$ always.

□

Searching for Eligible Edges

Every node v maintains a **currentEdge** pointer to its sequence of outgoing edges in G_f .

invariant no edge $e = (v, w)$ to the left of currentEdge is eligible

Reset currentEdge at a relabel ($\leq 2n \times$)

Invariant cannot be violated by a push over a reverse edge $e' = (w, v)$

since this only happens when e' is downward,

i.e., e is upward and hence not eligible.

Lemma 10.

$$\textit{Total cost for searching} \leq \sum_{v \in V} 2n \cdot \text{degree}(v) = 4nm = \mathbf{O}(nm)$$

Theorem 11. *Arbitrary Preflow Push finds a maximum flow in time $O(n^2m)$.*

Proof.

Lemma 3: partial correctness

Initialization in time $O(n + m)$.

Maintain set (e.g., stack, FIFO) of active nodes.

Use reverse edge pointers to implement push.

Lemma 7: $2n^2$ relabel operations

Lemma 8: nm saturating pushes

Lemma 9: $O(n^2m)$ nonsaturating pushes

Lemma 10: $O(nm)$ search time for eligible edges

Total time $O(n^2m)$



FIFO Preflow push

Examine a node: Saturating pushes until nonsaturating push or relabel.

Examine all nodes in phases (or use FIFO queue).

Theorem: time $O(n^3)$

Proof: not here

Highest Level Preflow Push

Always select active nodes that **maximize** $d(v)$

Use **bucket priority queue** (insert, increaseKey, deleteMax)

not monotone (!) but **relabels** “pay” for scan operations

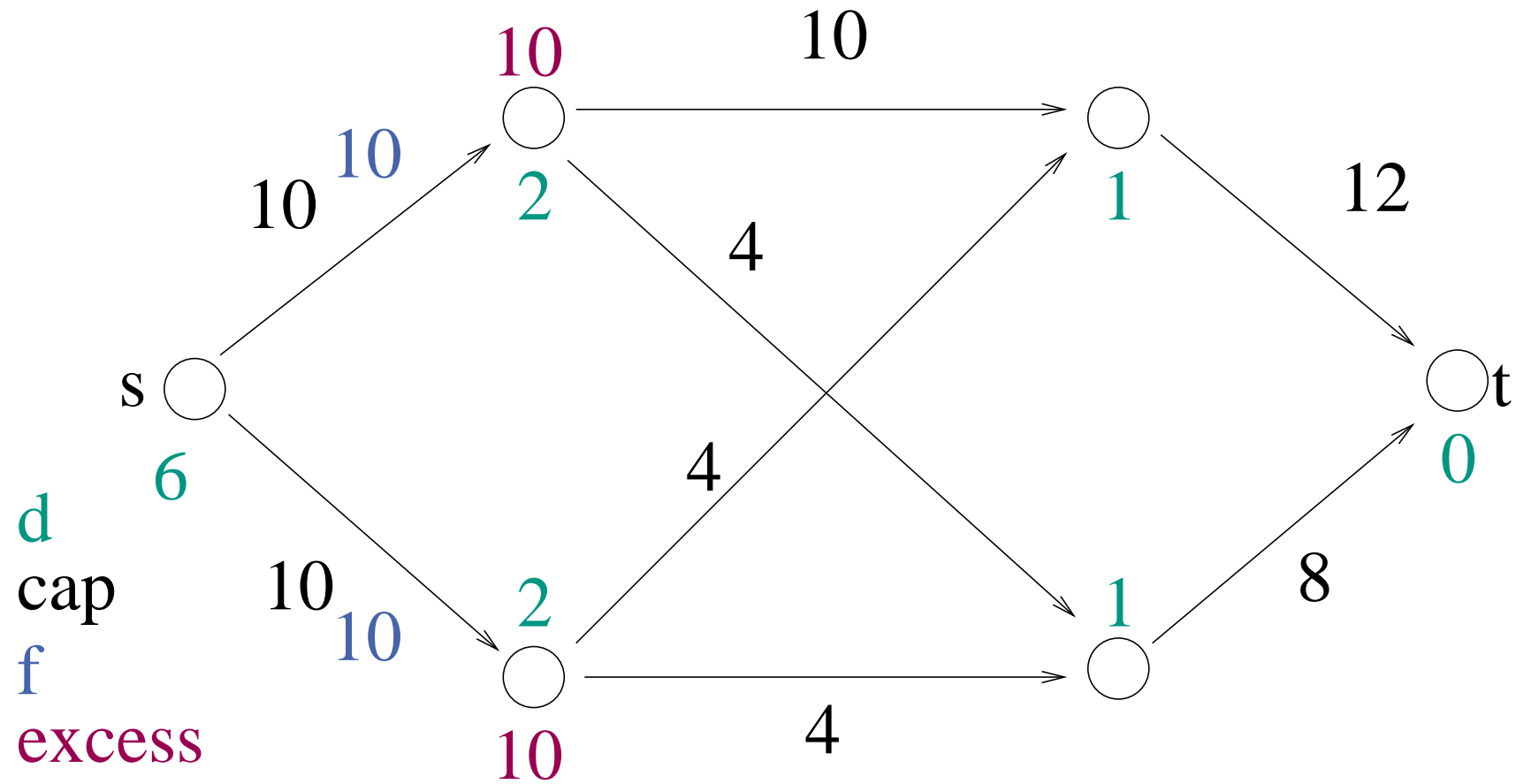
Lemma 12. *At most $n^2 \sqrt{m}$ nonsaturating pushes.*

Proof. later

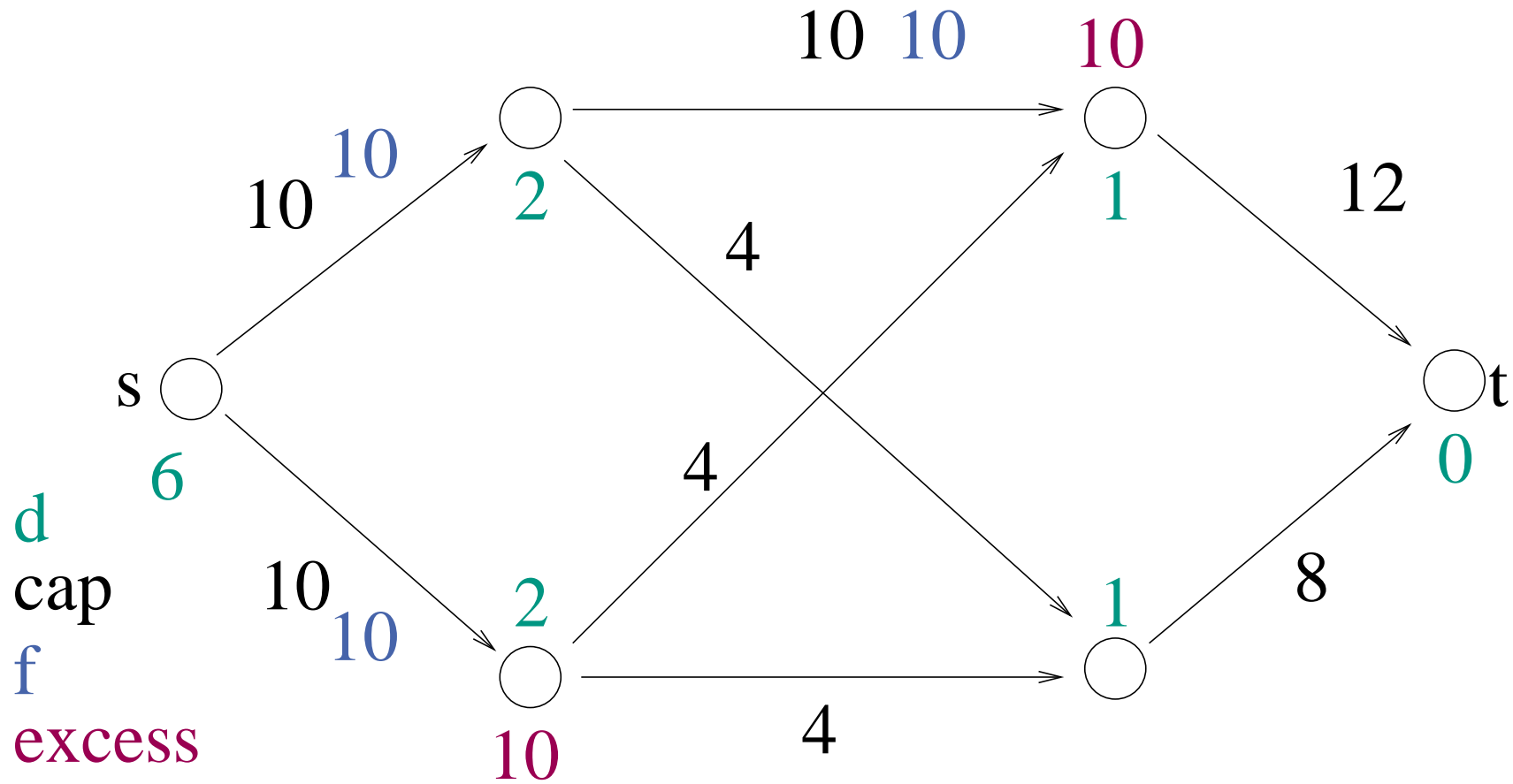


Theorem 13. *Highest Level Preflow Push finds a maximum flow in time $O(n^2 \sqrt{m})$.*

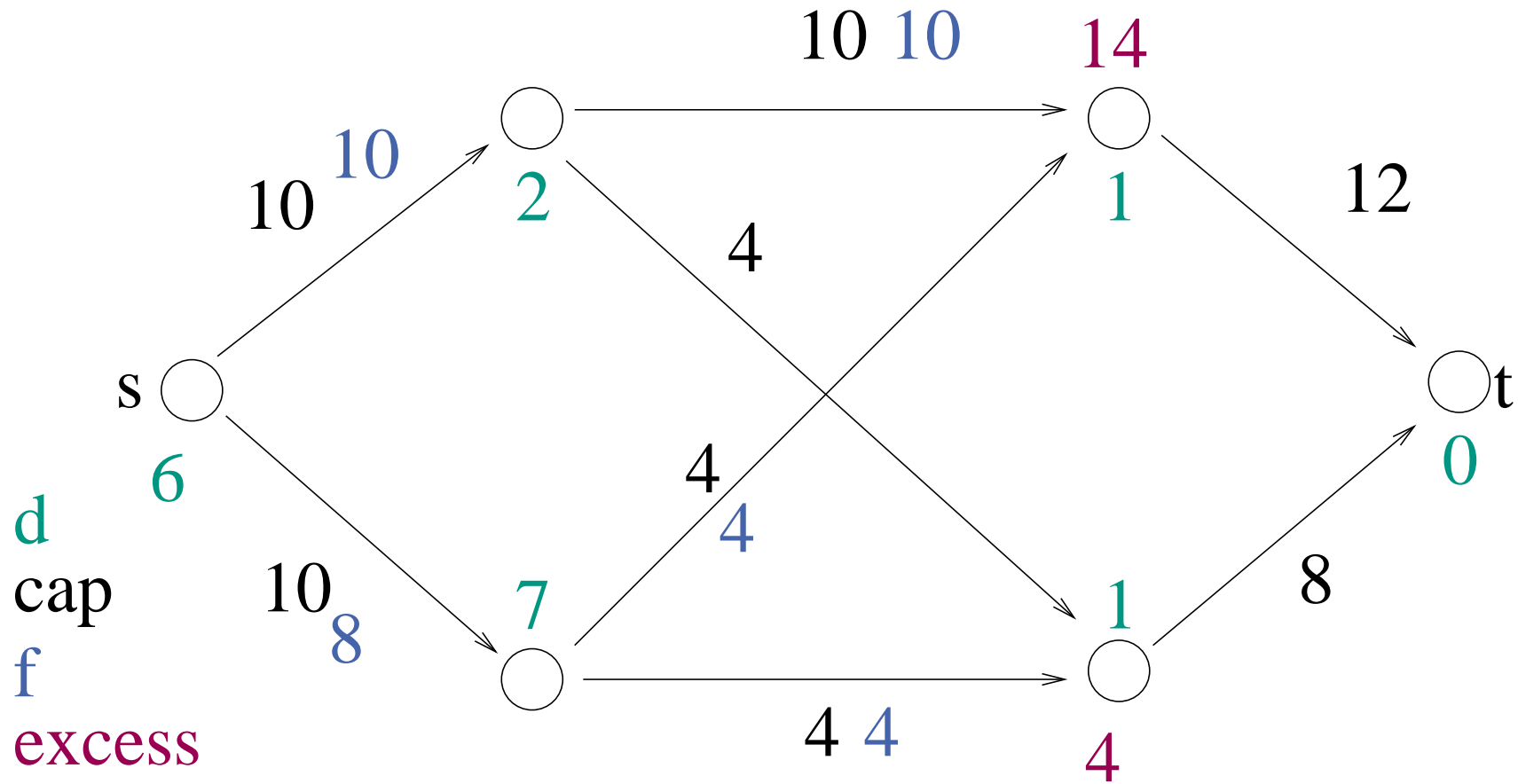
Example



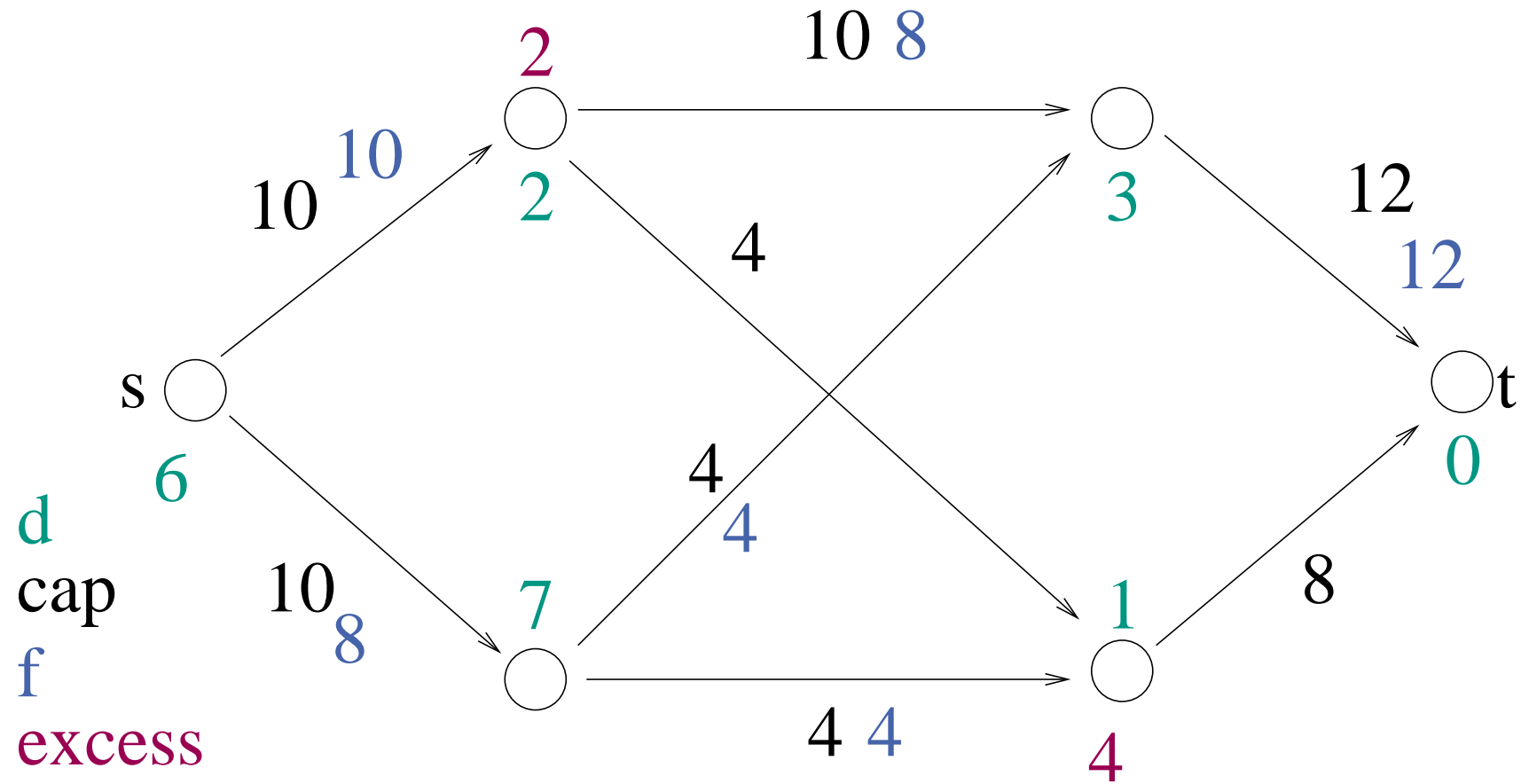
Example



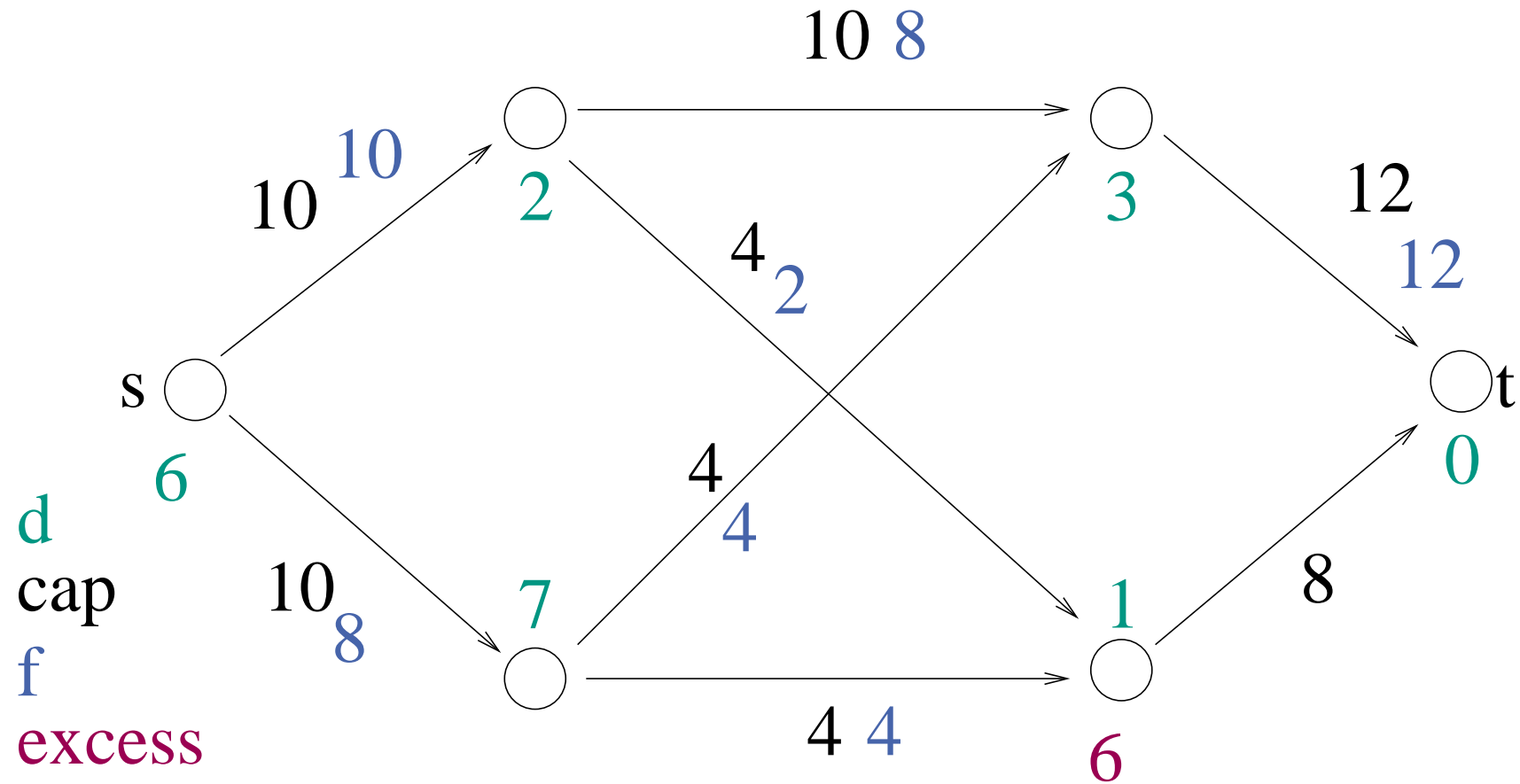
Example



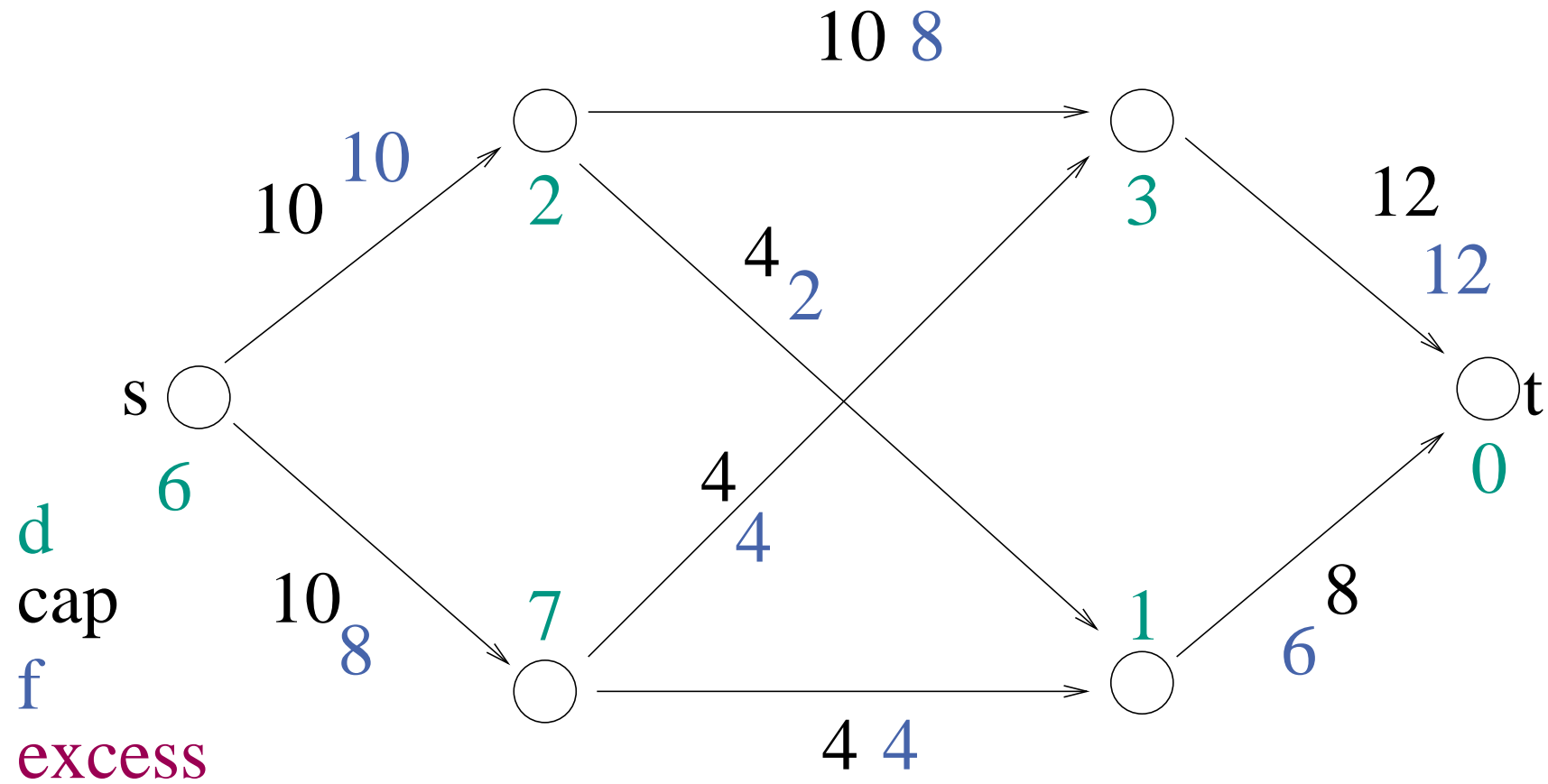
Example



Example



Example



9 pushes in total, 3 less than before

Proof of Lemma 12

$$K := \sqrt{m}$$

tuning parameter

$$d'(v) := \frac{|\{w : d(w) \leq d(v)\}|}{K}$$

scaled number of dominated nodes

$$\Phi := \sum_{\{v: v \text{ is active}\}} d'(v).$$

(Potential)

$$d^* := \max \{d(v) : v \text{ is active}\}$$

(highest level)

phase:= all pushes between two consecutive changes of d^*

expensive phase: more than K pushes

cheap phase: otherwise

Claims:

1. $\leq 4n^2K$ nonsaturating pushes in all cheap phases together
2. $\Phi \geq 0$ always, $\Phi \leq n^2/K$ initially (obvious)
3. a relabel or saturating push increases Φ by at most n/K .
4. a nonsaturating push does not increase Φ .
5. an expensive phase with $Q \geq K$ nonsaturating pushes decreases Φ by at least Q .

Operation	Amount
Relabel	$2n^2$
Sat.push	nm

Lemma 7 + Lemma 8 + 2. + 3. + 4. \Rightarrow

total possible decrease $\leq (2n^2 + nm) \frac{n}{K} + \frac{n^2}{K}$

This + 5. $\leq \frac{2n^3 + n^2 + mn^2}{K}$ nonsaturating pushes in expensive phases

This + 1. $\leq \frac{2n^3 + n^2 + mn^2}{K} + 4n^2K = O(n^2 \sqrt{m})$ nonsaturating

pushes overall for $K = \sqrt{m}$



Claims:

1. $\leq 4n^2 K$ nonsaturating pushes in all cheap phases together

We first show that there are at most $4n^2$ phases
(changes of $d^* = \max \{d(v) : v \text{ is active}\}$).

$d^* = 0$ initially, $d^* \geq 0$ always.

Only **relabel** operations increase d^* , i.e.,

$\leq 2n^2$ increases by **Lemma 7** and hence

$\leq 2n^2$ decreases

$\leq 4n^2$ changes overall

By definition of a cheap phase, it has at most K pushes.

Claims:

1. $\leq 4n^2K$ nonsaturating pushes in all cheap phases together
2. $\Phi \geq 0$ always, $\Phi \leq n^2/K$ initially (obvious)
3. a relabel or saturating push increases Φ by at most n/K .

Let v denote the relabeled or activated node.

$$d'(v) := \frac{|\{w : d(w) \leq d(v)\}|}{K} \leq \frac{n}{K}$$

A relabel of v can increase only the d' -value of v .

A saturating push on (u, w) may activate only w .

Claims:

1. $\leq 4n^2K$ nonsaturating pushes in all cheap phases together
2. $\Phi \geq 0$ always, $\Phi \leq n^2/K$ initially (obvious)
3. a relabel or saturating push increases Φ by at most n/K .
4. a nonsaturating push does not increase Φ .

v is deactivated (excess(v) is now 0)

w may be activated

but $d'(w) \leq d'(v)$ (we do not push flow away from the sink)

Claims:

1. $\leq 4n^2K$ nonsaturating pushes in all cheap phases together
2. $\Phi \geq 0$ always, $\Phi \leq n^2/K$ initially (obvious)
3. a relabel or saturating push increases Φ by at most n/K .
4. a nonsaturating push does not increase Φ .
5. an expensive phase with $Q \geq K$ nonsaturating pushes decreases Φ by at least Q .

During a phase d^* remains constant

Each nonsat. push decreases the number of active nodes at level d^*

Hence, $|\{w : d(w) = d^*\}| \geq Q \geq K$ during an expensive phase

Each nonsat. push across (v, w) decreases Φ by

$$\geq d'(v) - d'(w) \geq |\{w : d(w) = d^*\}| / K \geq K / K = 1$$



Claims:

1. $\leq 4n^2K$ nonsaturating pushes in all cheap phases together
2. $\Phi \geq 0$ always, $\Phi \leq n^2/K$ initially (obvious)
3. a relabel or saturating push increases Φ by at most n/K .
4. a nonsaturating push does not increase Φ .
5. an expensive phase with $Q \geq K$ nonsaturating pushes decreases Φ by at least Q .

Operation	Amount
Relabel	$2n^2$
Sat.push	nm

Lemma 7 + Lemma 8 + 2. + 3. + 4. \Rightarrow

total possible decrease $\leq (2n^2 + nm) \frac{n}{K} + \frac{n^2}{K}$

This + 5. $\leq \frac{2n^3 + n^2 + mn^2}{K}$ nonsaturating pushes in expensive phases

This + 1. $\leq \frac{2n^3 + n^2 + mn^2}{K} + 4n^2K = O(n^2 \sqrt{m})$ nonsaturating

pushes overall for $K = \sqrt{m}$



MFIFO: Modified FIFO Selection Rule

pushFront after relabel.

pushBack when activated by a push N

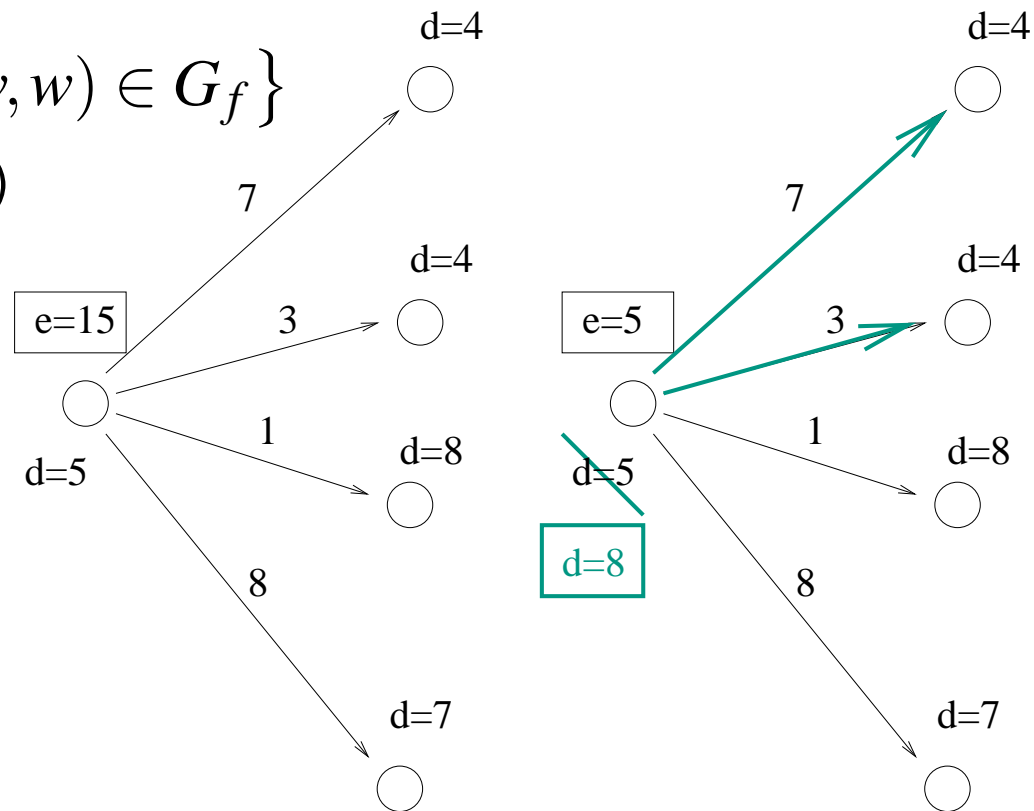
Heuristic Improvements

Naive algorithm needs $\Omega(n^2)$ relabels even on a path graph. We can do better.

aggressive local relabeling:

$$d(v) := 1 + \min \{ d(w) : (v, w) \in G_f \}$$

(like a sequence of relabels)



Heuristic Improvements

Naive algorithm has **best case** $\Omega(n^2)$. Why? We can do better.

aggressive local relabeling: $d(v) := 1 + \min \{d(w) : (v, w) \in G_f\}$

(like a sequence of relabels)

global relabeling: (initially and every $O(m)$ edge inspections):

$d(v) := G_f.\text{reverseBFS}(t)$ for nodes that can reach t in G_f .

Special treatment of nodes with $d(v) \geq n$. (**Returning flow** is easy)

Gap Heuristics. No node can connect to t across an empty level:

if $\{v : d(v) = i\} = \emptyset$ **then foreach** v with $d(v) > i$ **do** $d(v) := n$

Experimental results

We use four classes of graphs:

- Random: n nodes, $2n + m$ edges; all edges (s, v) and (v, t) exist
- Cherkassky and Goldberg (1997) (two graph classes)
- Ahuja, Magnanti, Orlin (1993)

Timings: Random Graphs

Rule	BASIC	Ln	LRH	GRH	GAP	LEDA
FF	5.84	6.02	4.75	0.07	0.07	—
	33.32	33.88	26.63	0.16	0.17	—
HL	6.12	6.3	4.97	0.41	0.11	0.07
	27.03	27.61	22.22	1.14	0.22	0.16
MF	5.36	5.51	4.57	0.06	0.07	—
	26.35	27.16	23.65	0.19	0.16	—

$n \in \{1000, 2000\}, m = 3n$

FF=FIFO node selection, HL=highest level, MF=modified FIFO

Ln = $d(v) \geq n$ is special,

LRH=local relabeling heuristic, GRH=global relabeling heuristics

Timings: CG1

Rule	BASIC	Ln	LRH	GRH	GAP	LEDA
FF	3.46	3.62	2.87	0.9	1.01	—
	15.44	16.08	12.63	3.64	4.07	—
HL	20.43	20.61	20.51	1.19	1.33	0.8
	192.8	191.5	193.7	4.87	5.34	3.28
MF	3.01	3.16	2.3	0.89	1.01	—
	12.22	12.91	9.52	3.65	4.12	—

$n \in \{1000, 2000\}, m = 3n$

FF=FIFO node selection, HL=highest level, MF=modified FIFO

Ln = $d(v) \geq n$ is special,

LRH=local relabeling heuristic, GRH=global relabeling heuristics

Timings: CG2

Rule	BASIC	Ln	LRH	GRH	GAP	LEDA
FF	50.06	47.12	37.58	1.76	1.96	—
	239	222.4	177.1	7.18	8	—
HL	42.95	41.5	30.1	0.17	0.14	0.08
	173.9	167.9	120.5	0.36	0.28	0.18
MF	45.34	42.73	37.6	0.94	1.07	—
	198.2	186.8	165.7	4.11	4.55	—

$n \in \{1000, 2000\}, m = 3n$

FF=FIFO node selection, HL=highest level, MF=modified FIFO

Ln = $d(v) \geq n$ is special,

LRH=local relabeling heuristic, GRH=global relabeling heuristics

Timings: AMO

Rule	BASIC	Ln	LRH	GRH	GAP	LEDA
FF	12.61	13.25	1.17	0.06	0.06	—
	55.74	58.31	5.01	0.1399	0.1301	—
HL	15.14	15.8	1.49	0.13	0.13	0.07
	62.15	65.3	6.99	0.26	0.26	0.14
MF	10.97	11.65	0.04999	0.06	0.06	—
	46.74	49.48	0.1099	0.1301	0.1399	—

$n \in \{1000, 2000\}, m = 3n$

FF=FIFO node selection, HL=highest level, MF=modified FIFO

Ln = $d(v) \geq n$ is special,

LRH=local relabeling heuristic, GRH=global relabeling heuristics

Asymptotics, $n \in \{5000, 10000, 20000\}$

Gen	Rule	GRH			GAP			LEDA		
rand	FF	0.16	0.41	1.16	0.15	0.42	1.05	—	—	—
	HL	1.47	4.67	18.81	0.23	0.57	1.38	0.16	0.45	1.09
	MF	0.17	0.36	1.06	0.14	0.37	0.92	—	—	—
CG1	FF	3.6	16.06	69.3	3.62	16.97	71.29	—	—	—
	HL	4.27	20.4	77.5	4.6	20.54	80.99	2.64	12.13	48.52
	MF	3.55	15.97	68.45	3.66	16.5	70.23	—	—	—
CG2	FF	6.8	29.12	125.3	7.04	29.5	127.6	—	—	—
	HL	0.33	0.65	1.36	0.26	0.52	1.05	0.15	0.3	0.63
	MF	3.86	15.96	68.42	3.9	16.14	70.07	—	—	—
AMO	FF	0.12	0.22	0.48	0.11	0.24	0.49	—	—	—
	HL	0.25	0.48	0.99	0.24	0.48	0.99	0.12	0.24	0.52
	MF	0.11	0.24	0.5	0.11	0.24	0.48	—	—	—

Recent AE Results on Max-Flow

Faster and More Dynamic Maximum Flow by Incremental Breadth-First Search, Goldberg, Hed, Kaplan, Kohli, Tarjan, Werneck, ESA 2015

- Much **faster** on many (relatively easy) **real world** instances (image processing, graph partitioning, . . .) than preflow-push
- Worst case performance guarantee $O(mn^2)$ (as in Dinitz algorithm)
- Adaptable to **dynamic** scenarios
- Uses **pseudoflows** that allow excesses and **deficits**.

Open problem: close gaps between theory and practice!

Zusammenfassung Flows und Matchings

- Natürliche Verallgemeinerung von kürzesten Wegen:
ein Pfad \rightsquigarrow viele Pfade
- viele Anwendungen
- “schwierigste/allgemeinste” Graph-Probleme, die sich mit
kombinatorischen Algorithmen in **Polynomialzeit** lösen lassen
- Beispiel für nichttriviale Algorithmenanalyse
- Potentialmethode** (\neq **Knoten**potentiale)
- Algorithm Engineering: practical case \neq worst case.
Heuristiken/Details/Eingabeeigenschaften wichtig
- Datenstrukturen: bucket queues, graph representation, (dynamic trees)

6 Randomisierte Algorithmen

verwende Zufall(sbits) zur Beschleunigung/Vereinfachung von Algorithmen

Las Vegas: Ergebnis immer korrekt, Laufzeit ist Zufallsvariable.

Schon gesehen:

quicksort

hashing

Monte Carlo: Ergebnis mit bestimmter Wahrscheinlichkeit p inkorrekt.

k -fache Wiederholung macht Fehlschlagswahrscheinlichkeit exponentiell klein (p^k).

Mehr in der Vorlesung Randomisierte Algorithmen von Thomas Worsch

6.1 Sortieren – Ergebnisüberprüfung (Checking)

Permutationseigenschaft (Sortiertheit: trivial.)

$\langle e_1, \dots, e_n \rangle$ ist Permutation von $\langle e'_1, \dots, e'_n \rangle$ gdw.

$$q(z) := \prod_{i=1}^n (z - \text{field}(\text{key}(e_i))) - \prod_{i=1}^n (z - \text{field}(\text{key}(e'_i))) = 0,$$

\mathbb{F} sei Körper, $\text{field} : \text{Key} \rightarrow \mathbb{F}$ sei injektiv.

Beobachtung: q hat höchstens n Nullstellen.

Auswertung an **zufälliger** Stelle $x \in \mathbb{F}$.

$$\mathbb{P}[q \neq 0 \wedge q(x) = 0] \leq \frac{n}{|\mathbb{F}|}$$

Monte Carlo-Algorithmus, Linearzeit.

Frage: Welchen Körper \mathbb{F} nehmen wir?

Sort Checking II – mit Lorenz Hübschle-Schneider

Ist Folge E eine Permutation von Folge E' ?

Sei h zufällige Hash-Funktion mit Wertebereich $0..U - 1$,

$$h(S) := \sum_{e \in S} h(e)$$

Checker: return $h(E) = h(E')$

Sort Checking II – mit Lorenz Hübschle-Schneider

Ist Folge E eine Permutation von Folge E' ?

Sei h zufällige Hash-Funktion mit Wertebereich $0..U - 1$,

$$h(S) := \sum_{e \in S} h(e)$$

Checker: return $h(E) = h(E')$

Korrekt falls $E = E'$.

Fall $E \neq E'$: Wir zeigen $\mathbb{P}[h(E) = h(E')] \leq \frac{1}{U}$

Sei e ein Element, das $k \times$ in E vorkommt und $k' \neq k \times$ in E' .

$$h(E) = h(E') \Leftrightarrow h(E \setminus e) + kh(e) = h(E' \setminus e) + k'h(e)$$

$$\Leftrightarrow h(e) = \frac{h(E' \setminus e) - h(E \setminus e)}{k - k'} =: x$$

$\mathbb{P}[h(e) = x] \leq \frac{1}{U}$ weil x unabhängig von $h(e)$ ■

6.2 Hashing II

Perfektes Hashing

Idee: mache h injektiv.

Braucht $\geq 1.44n$ bits Platz !

Neuere Ergebnisse (zuletzt auch aus unserer AG) zeigen, dass es tatsächlich praktikable Verfahren gibt, die dieser Schranke sehr nahe kommen (statisch). Mehr in der Übung und der Vorlesung Algorithm Engineering.

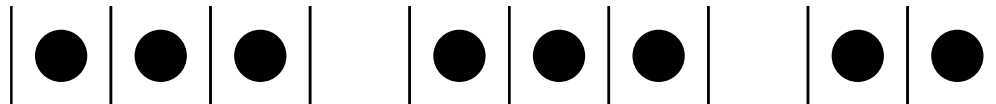
Here: Fast Space Efficient Hashing

Represent a set of n elements (with associated information) using space $(1 + \epsilon)n$.

Support operations **insert**, **delete**, **lookup**, (doall) efficiently.

Assume a truly random hash function h

([\[Dietzfelbinger, Weidling 2005\]](#) shows that this is justified.)



Related Work

Linear probing: $E[T_{\text{find}}] \approx \frac{1}{2\varepsilon^2}$

Uniform hashing: $E[T_{\text{find}}] \approx \frac{1}{\varepsilon}$

Cuckoo Hashing

[Pagh Rodler 01]

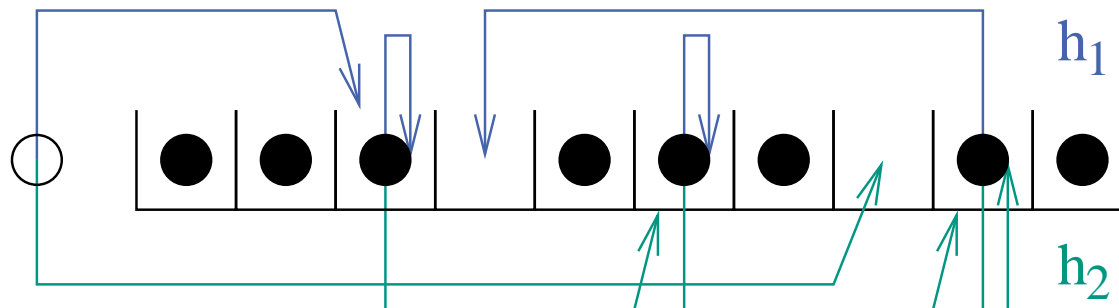
Table of size $(2 + \epsilon)n$.

Two choices for each element.

Insert moves elements;
rebuild if necessary.

Very fast lookup and delete.

Expected constant insertion time.



Cuckoo Hashing – Rebuilds

When needed ?

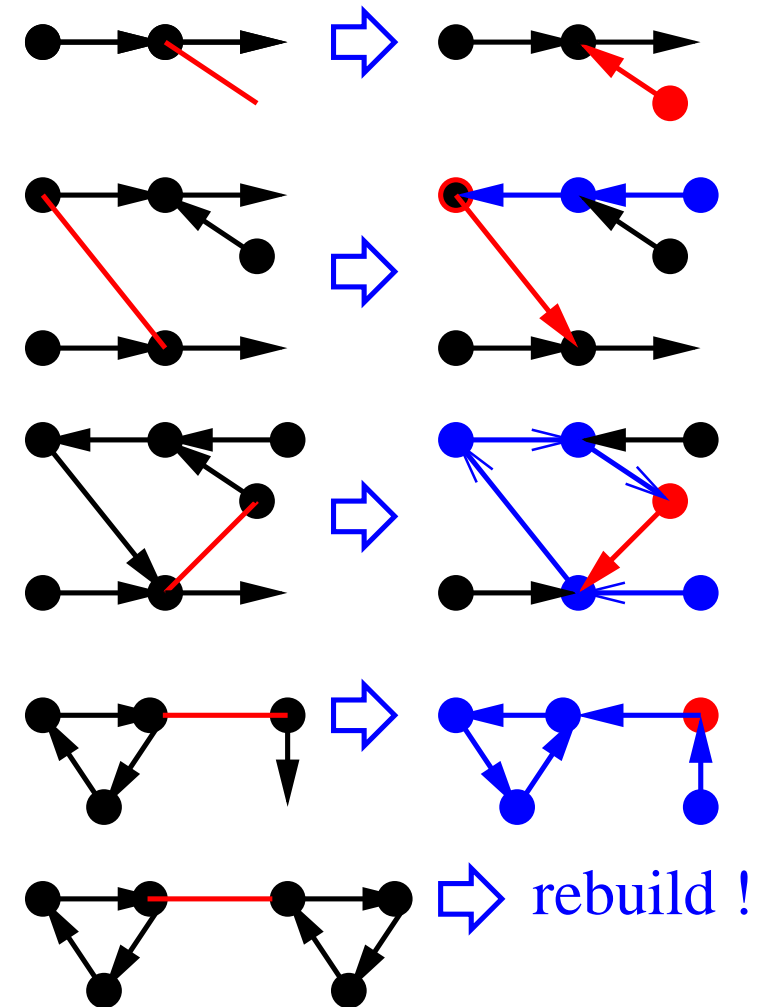
Graph model.

Node: table cells

Undirected edge: element $x \rightsquigarrow$
edge $\{h_1(x), h_2(x)\}$

Directed: $(h_2(x), h_1(x))$ means
element x is stored at cell $h_2(x)$

Lemma: $\text{insert}(x)$ succeeds iff
the component containing $h_1(x), h_2(x)$
contains no more edges than nodes.



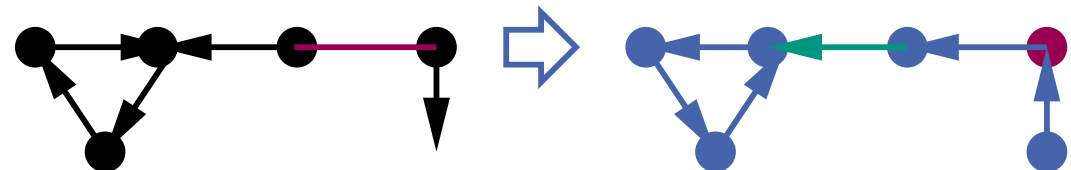
Cuckoo Hashing – Rebuilds

Lemma: $\text{insert}(x)$ succeeds iff
the component containing $h_1(x), h_2(x)$
contains no more edges than nodes.

Proof outline: (if-part)

$h_1(x)$ in tree: flip path to root

$h_1(x)$ in pseudotree p , $h_2(x)$ in tree t :
flip cycle and path to root in t



Cuckoo Hashing – How Many Rebuilds?

Theorem: For **truly random** hash functions,

$$\Pr[\text{rebuild necessary}] = O(1/n)$$

Proof: via **random graph theory**

Random Graph Theory

[Erdős, Rényi 1959]

$\mathcal{G}(n, m)$:= sample space of all graphs with n nodes, m edges.

A random graph from $\mathcal{G}(n, m)$ has certain properties **with high probability**, here $\geq 1 - O(1/n)$.

Famous: The evolution of component sizes with increasing m :

$< (1 - \varepsilon)n/2$: **Trees and pseudotrees of size $O(\log n)$**

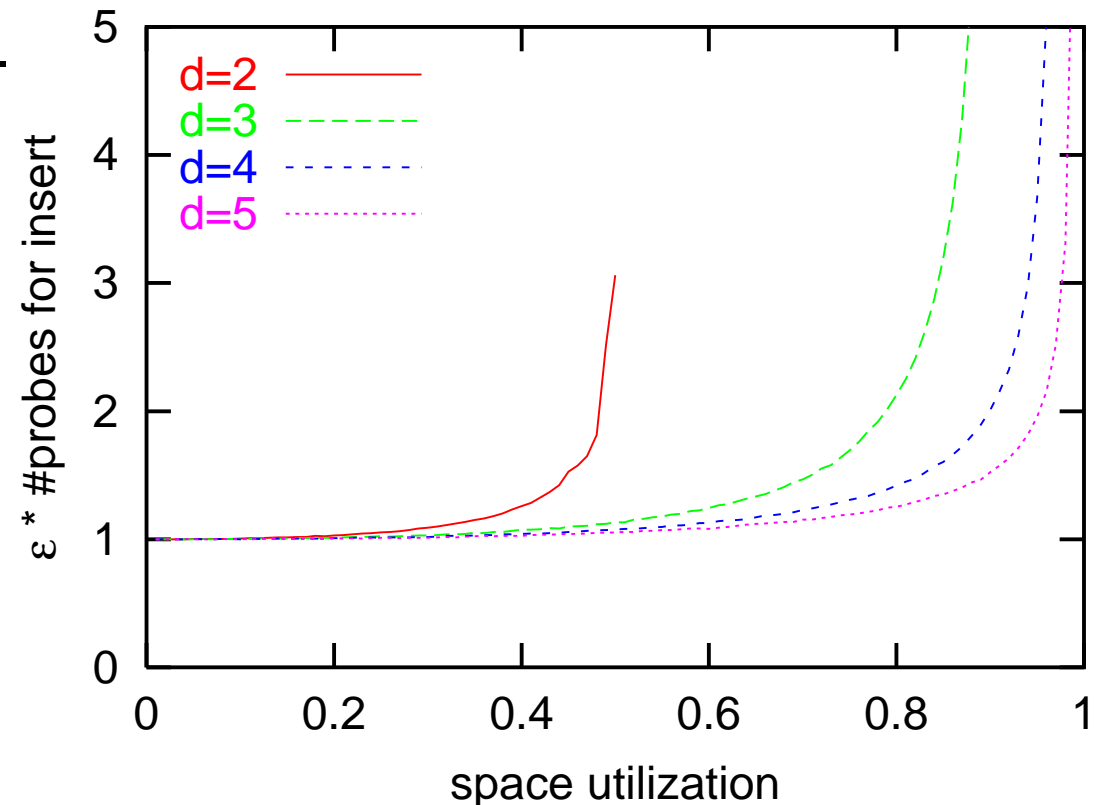
$> (1 + \varepsilon)n/2$: A “giant” component of size $\Theta(n)$ (sudden emergence)

$> (1 + \varepsilon)n \ln n/2$: One single component

Space Efficient Cuckoo Hashing

***d*-ary:** [Fotakis, Pagh, Sanders, Spirakis 2003] *d* possible places.

Insertion: BFS, random walk, ...



Space Efficient Cuckoo Hashing

***d*-ary:** [Fotakis, Pagh, Sanders, Spirakis 2003] d possible places.

blocked: [Dietzfelbinger, Weidling 2005] cells house d elements.

Cache efficient !

blocked, *d*-ary, dynamic growing:

[Maier, Sanders 2017]

Zusammenfassung: Randomisierte Algorithmen

- einfache, effiziente Algorithmen
- oft bestes bekanntes Verfahren
- z.T. Unmöglichkeitsbeweise für deterministische Verfahren
- Analyse oft nichttrivial
- z.T. wird aus esoterischer Theorie ein praxisrelevantes Werkzeug, z.B. random graph evolution
- Las Vegas versus Monte Carlo
- Brücke zur Algebra: z.B. Checker für Sortieren

Ausblick: Randomisierte Algorithmen

- externe minimale Spannbäume
- mehr quicksort (strings, parallel)
- kleinster umschließender Kreis
- online paging

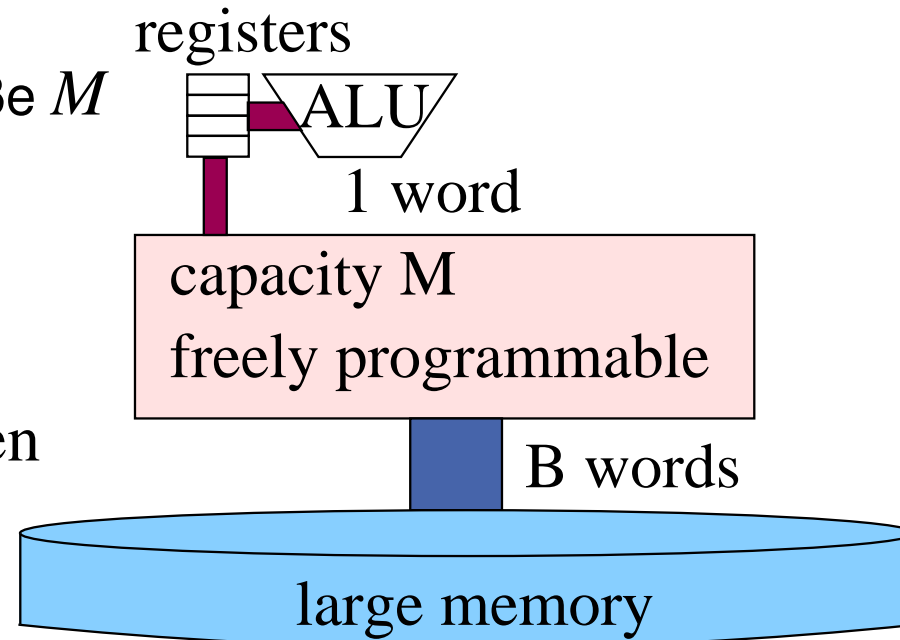
7 Externe Algorithmen

7.1 Das Sekundärspeichermodell

M : Schneller Speicher der Größe M

B : Blockgröße

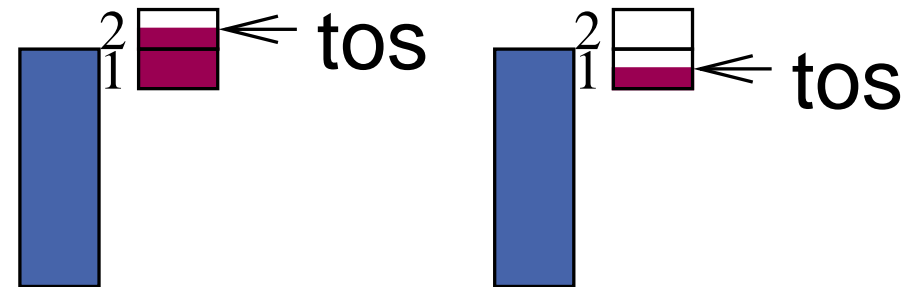
Analyse: Blockzugriffe zählen



7.2 Externe Stapel

Datei mit Blöcken

2 interne Puffer



push: Falls Platz, in Puffer.

Sonst schreibe Puffer **eins** in die Datei (push auf Blockebene)

Umbenennung: Puffer 1 und 2 tauschen die Plätze

pop: Falls vorhanden, pop aus Puffer.

Sonst lese Puffer **eins** aus der Datei (pop auf Blockebene)

Analyse: amortisiert $O(1/B)$ I/Os pro Operation

Aufgabe 1: Beweis.

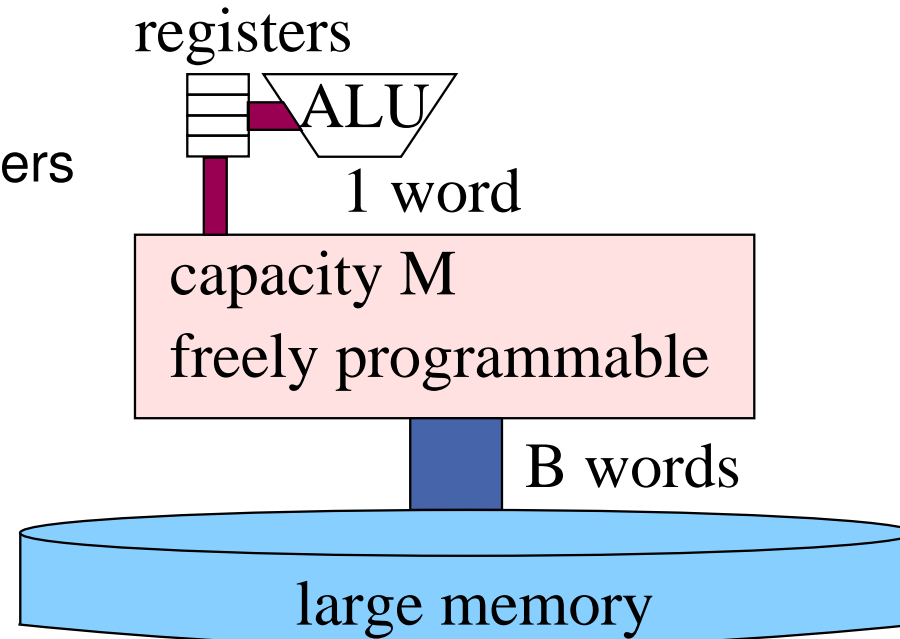
Aufgabe 2: effiziente Implementierung ohne überflüssiges Kopieren

7.3 Externes Sortieren

n : Eingabegröße

M : Größe des schnellen Speichers

B : Blockgröße



Procedure externalMerge(a, b, c :File of Element)

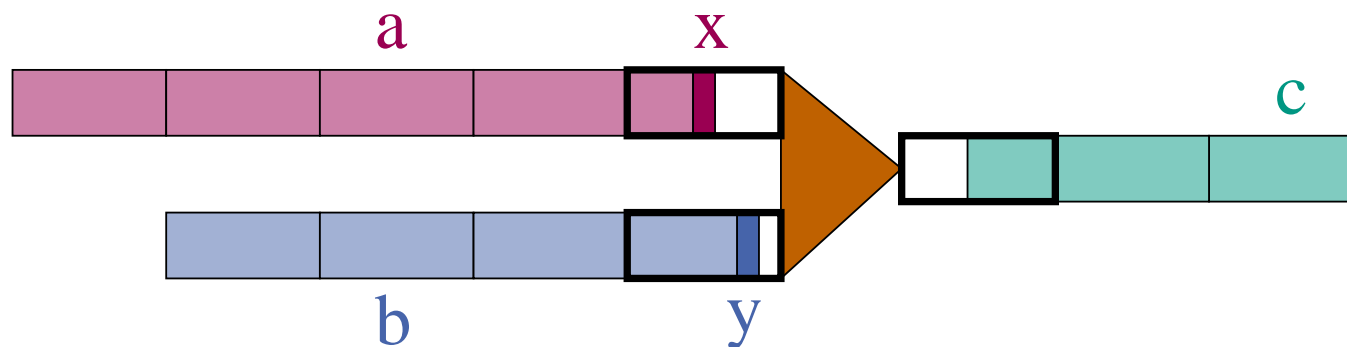
$x := a.readElement$ // Assume emptyFile.readElement = ∞

$y := b.readElement$

for $j := 1$ **to** $|a| + |b|$ **do**

if $x \leq y$ **then** $c.writeElement(x)$; $x := a.readElement$

else $c.writeElement(y)$; $y := b.readElement$



Externes (binäres) Mischen – I/O-Analyse

Datei a lesen: $\lceil |a|/B \rceil \leq |a|/B + 1$.

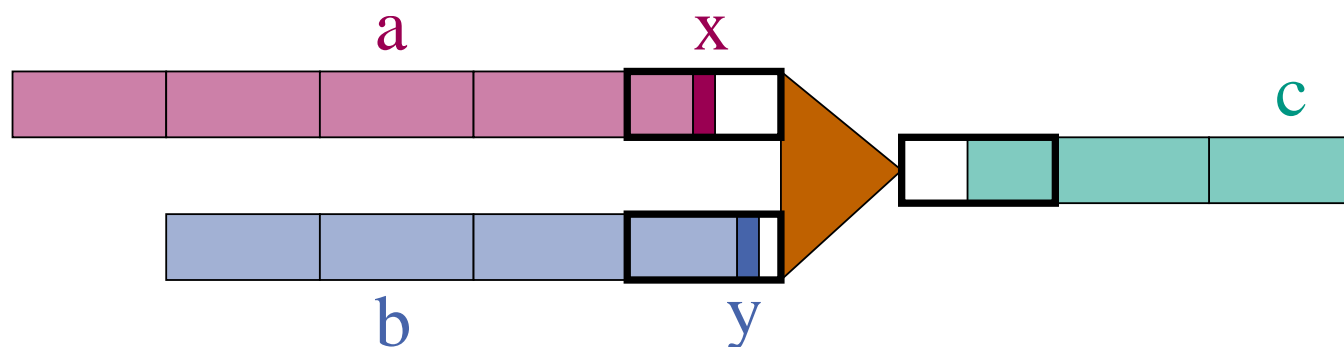
Datei b lesen: $\lceil |b|/B \rceil \leq |b|/B + 1$.

Datei c schreiben: $\lceil (|a| + |b|)/B \rceil \leq (|a| + |b|)/B + 1$.

Insgesamt:

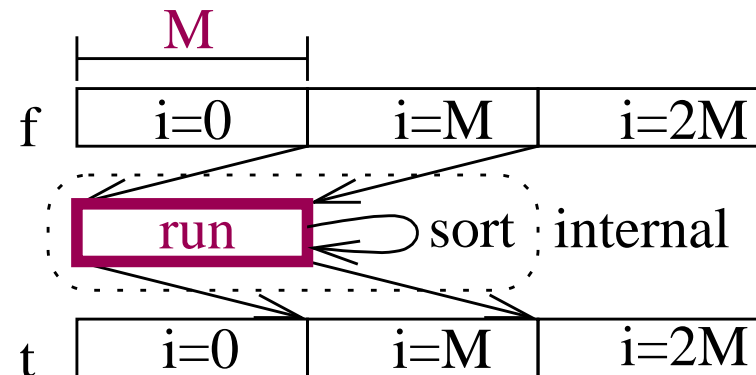
$$\leq 3 + 2 \frac{|a| + |b|}{B} \approx 2 \frac{|a| + |b|}{B}$$

Bedingung: Wir brauchen 3 Pufferblöcke, d.h., $M > 3B$.



Run Formation

Sortiere Eingabeportionen der Größe M



$$\text{I/Os: } \approx 2 \frac{n}{B}$$

Zahlenbeispiel: PC 2019

$$n = 2^{40} \text{ Byte}$$

$$M = 2^{34} \text{ Byte}$$

$$B = 2^{22} \text{ Byte}$$

I/O braucht 2^{-4} s

$$\text{Zeit: } 2 \frac{n}{B} \left(1 + \left\lceil \log \frac{n}{M} \right\rceil \right) = 2 \cdot 2^{17} \cdot (1 + 6) \cdot 2^{-4} \text{ s} = 2^{16} \text{ s} \approx 32 \text{ h}$$

Idee: 7 Durchläufe \rightsquigarrow 2 Durchläufe

Mehrwegemischen

Procedure multiwayMerge(a_1, \dots, a_k, c :File of Element)

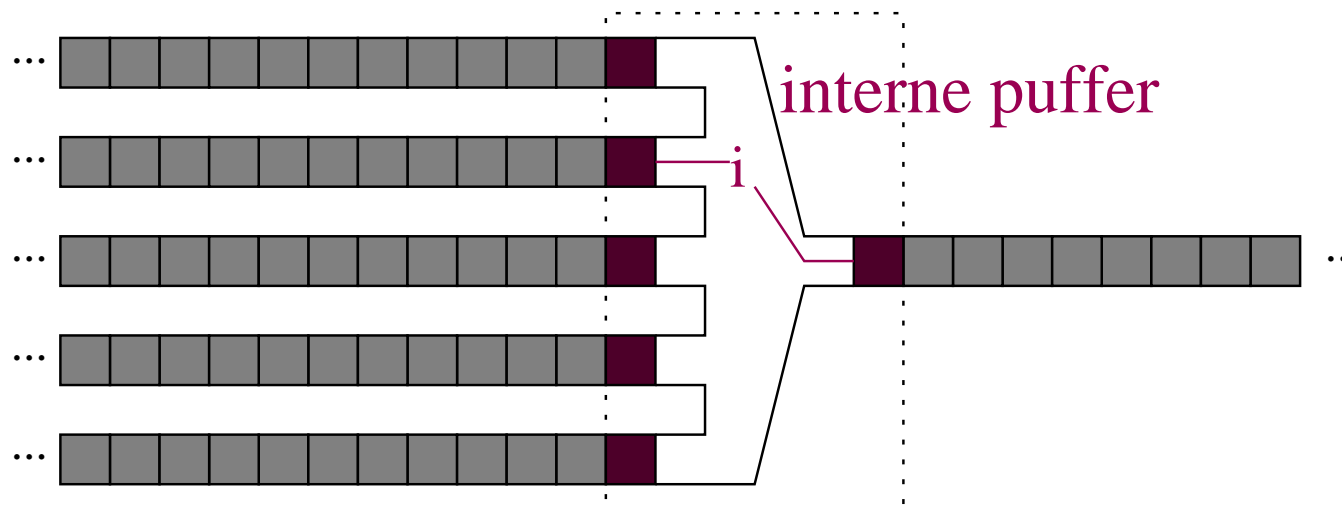
for $i := 1$ **to** k **do** $x_i := a_i$.readElement

for $j := 1$ **to** $\sum_{i=1}^k |a_i|$ **do**

 find $i \in 1..k$ that minimizes x_i // no I/Os!, $O(\log k)$ time

c .writeElement(x_i)

$x_i := a_i$.readElement



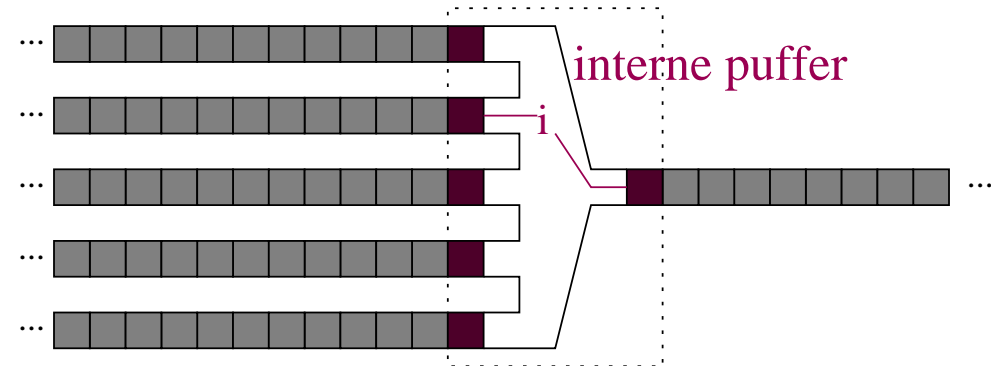
Mehrwegemischen – Analyse

I/Os: Datei a_i lesen: $\approx |a_i|/B$.

Datei c schreiben: $\approx \sum_{i=1}^k |a_i|/B$

Insgesamt:

$$\leq \approx 2 \frac{\sum_{i=1}^k |a_i|}{B}$$



Bedingung: Wir brauchen $k + 1$ Pufferblöcke, d.h., $k + 1 < M/B$

(im Folgenden vereinfacht zu $k < M/B$)

Interne Arbeit: (benutze Prioritätsliste !)

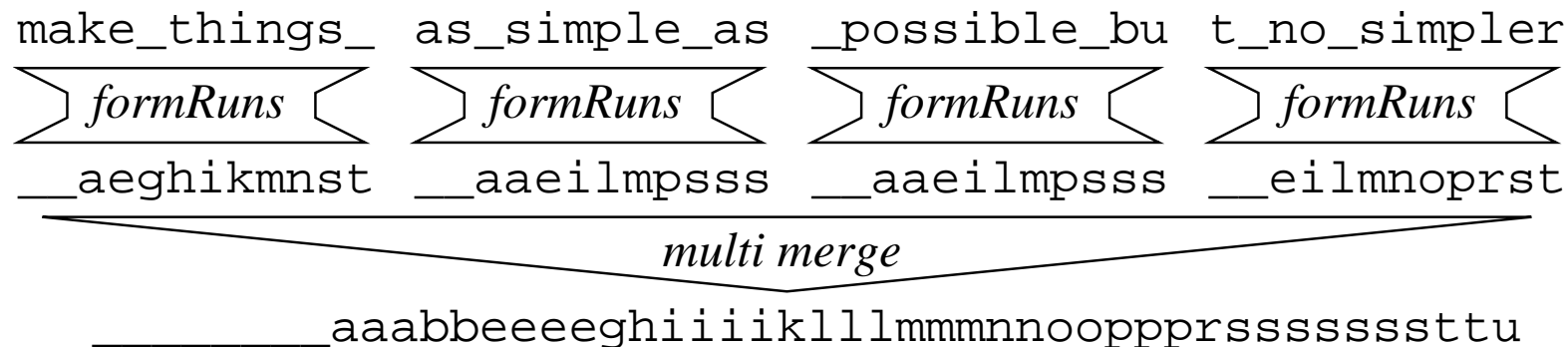
$$O\left(\log k \sum_{i=1}^k |a_i|\right)$$

Sortieren durch Mehrwege-Mischen

- Sortiere $\lceil n/M \rceil$ runs mit je M Elementen $2n/B$ I/Os
- Mische jeweils M/B runs $2n/B$ I/Os
- bis nur noch ein run übrig ist $\times \left\lceil \log_{M/B} \frac{n}{M} \right\rceil$ Mischphasen

Insgesamt

$$\text{sort}(n) := \frac{2n}{B} \left(1 + \left\lceil \log_{M/B} \frac{n}{M} \right\rceil \right) \text{ I/Os}$$



Sortieren durch Mehrwege-Mischen

Interne Arbeit:

$$O \left(\underbrace{n \log M}_{\text{run formation}} + \underbrace{n \log \frac{M}{B}}_{\text{PQ access per phase}} \overbrace{\left[\log_{M/B} \frac{n}{M} \right]}^{\text{phases}} \right) = O(n \log n)$$

Mehr als eine Mischphase?:

Nicht für Hierarchie Hauptspeicher, Festplatte.

$$\text{Grund } \underbrace{\frac{M}{B}}_{>1000} > \frac{\overbrace{\text{RAM Euro/bit}}{\approx 130}}{\text{Platte Euro/bit}}$$

Mehr zu externem Sortieren

Untere Schranke $\approx \frac{2^{(?)n}}{B} \left(1 + \left\lceil \log_{M/B} \frac{n}{M} \right\rceil \right)$ I/Os

[Aggarwal Vitter 1988]

Obere Schranke $\approx \frac{2n}{DB} \left(1 + \left\lceil \log_{M/B} \frac{n}{M} \right\rceil \right)$ I/Os (erwartet)

für D parallele Platten

[Hutchinson Sanders Vitter 2005, Dementiev Sanders2003]

Offene Frage: deterministisch?

Externe Prioritätslisten

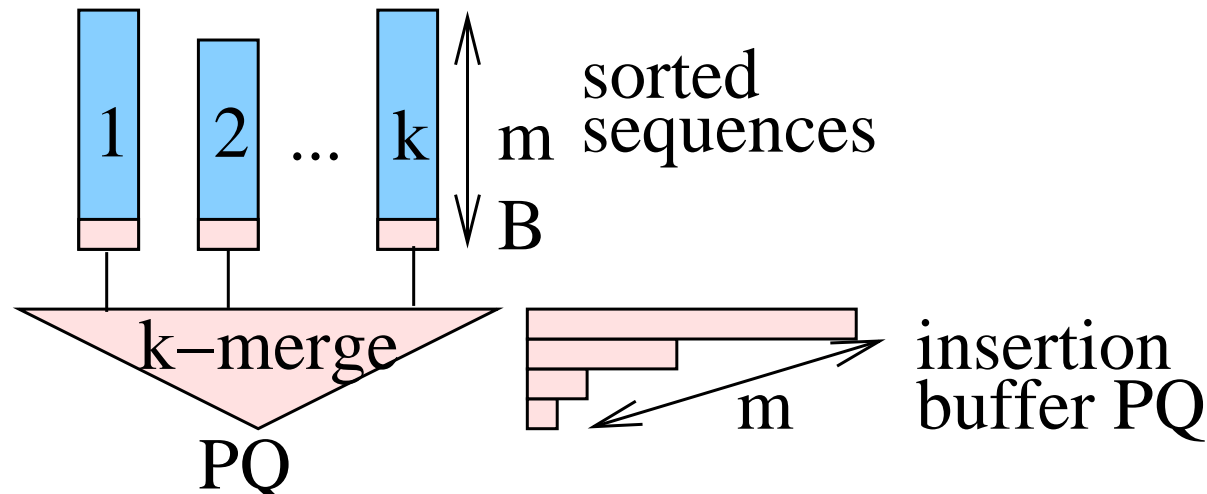
Problem: Binary heaps brauchen

$$\Theta\left(\log \frac{n}{M}\right) \text{ I/Os pro deleteMin}$$

Wir hätten gerne:

$$\Theta\left(\frac{1}{B} \log_{M/B} \frac{n}{M}\right) \text{ I/Os amortisiert}$$

Mittelgroße PQs – $km \ll M^2 / B$ Einfügungen



Insert: Anfangs in **insertion buffer**.

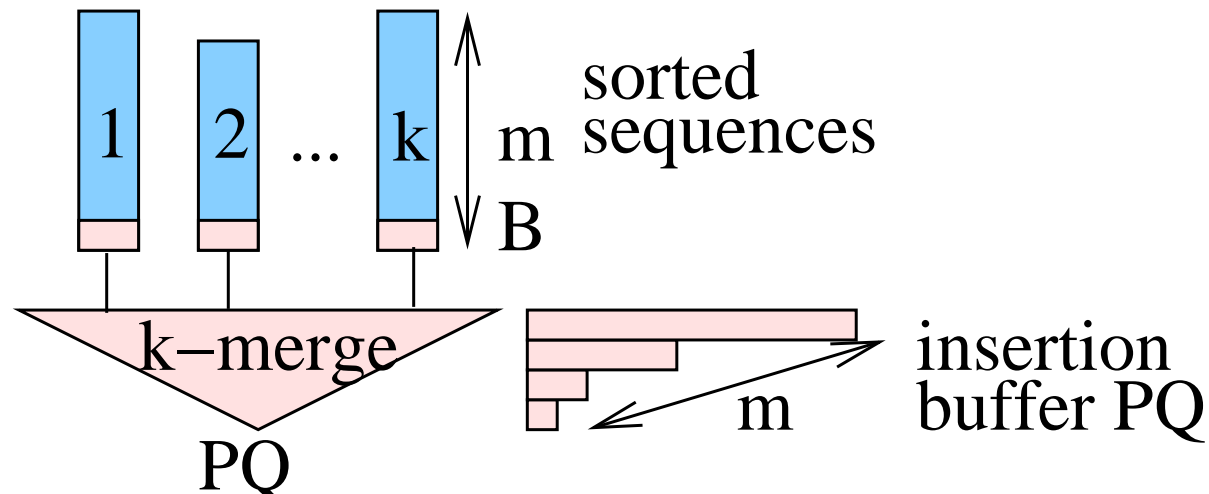
Überlauf \longrightarrow

sort; flush; kleinster Schlüssel in merge-PQ

Delete-Min: deleteMin aus der PQ mit kleinerem min

Analyse – I/Os

deleteMin: jedes Element wird $\leq 1 \times$ gelesen, zusammen mit B anderen – **amortisiert** $1/B$ penalty für **insert**.



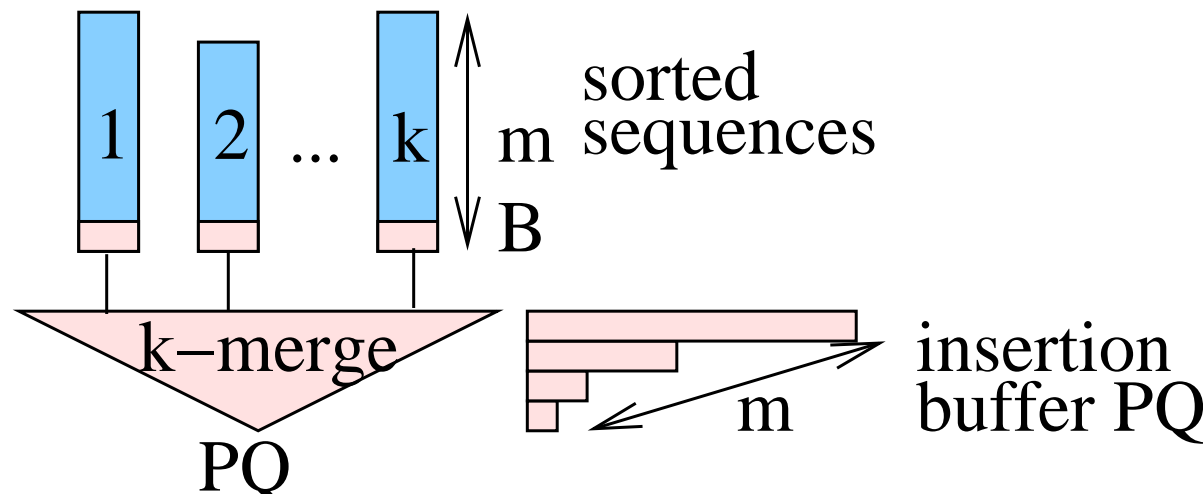
Analyse – Vergleiche (Maß für interne Arbeit)

deleteMin: $1 + O(\max(\log k, \log m)) = O(\log m)$

genauere Argumentation: amortisiert $1 + \log k$ bei geeigneter PQ

insert: $\approx m \log m$ alle m Ops. **Amortisiert** $\log m$

Insgesamt nur $\log km$ amortisiert !



Große Queues

$$\approx \frac{2n}{B} \left(1 + \left\lceil \log_{M/B} \frac{n}{M} \right\rceil \right)$$

I/Os für n Einfügeoperationen

$O(n \log n)$ Arbeit.

[Sanders 1999].

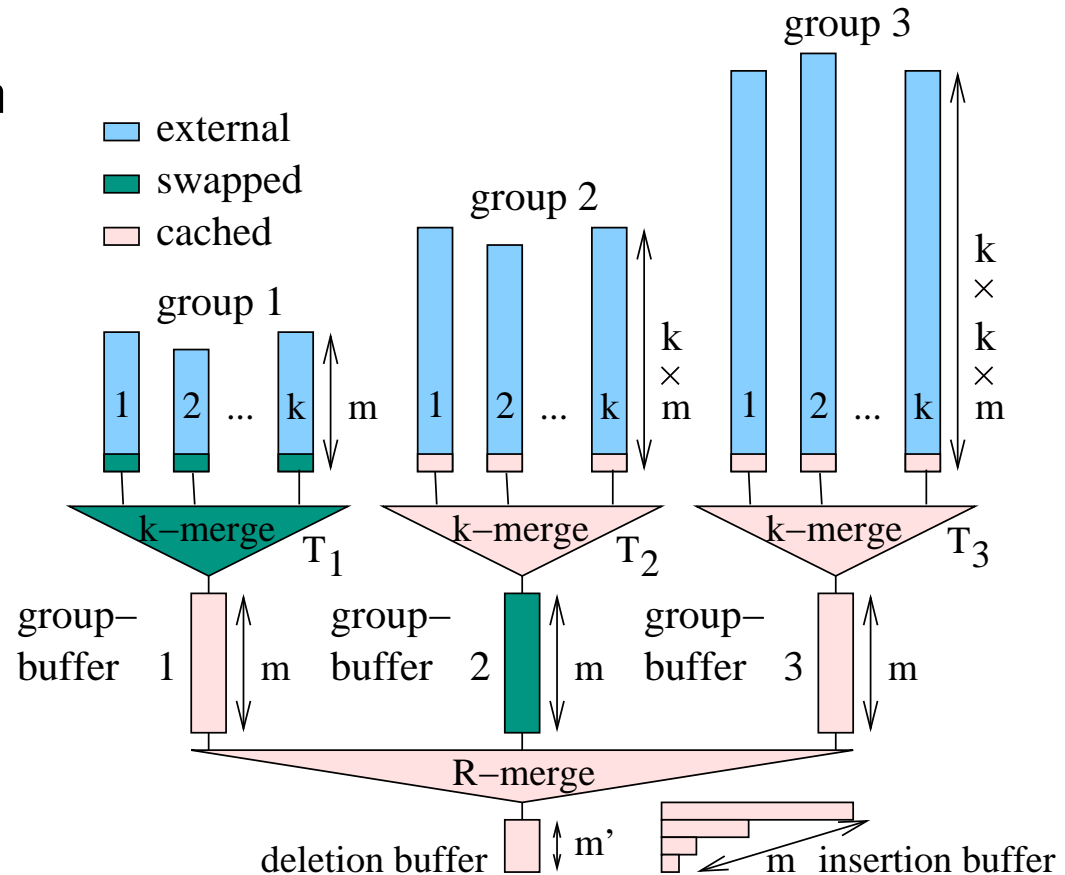
deleteMin:

“amortisiert umsonst”.

Details:

Vorlesung

Algorithm Engineering.



Experiments

Keys: random 32 bit integers

Associated information: 32 dummy bits

Deletion buffer size: 32

Near optimal

Group buffer size: 256

: performance on

Merging degree k : 128

all machines tried!

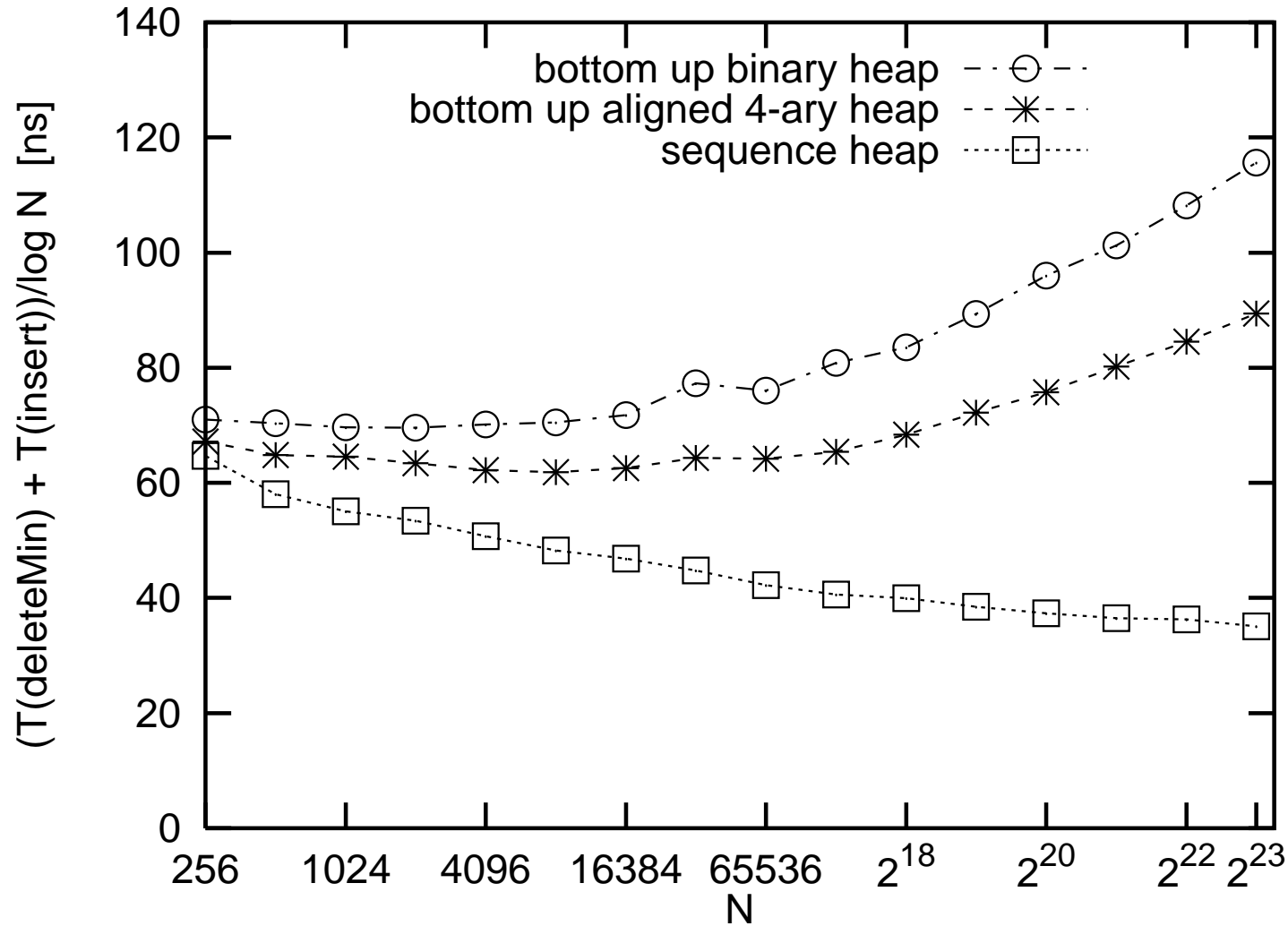
Compiler flags: Highly optimizing, nothing advanced

Operation Sequence:

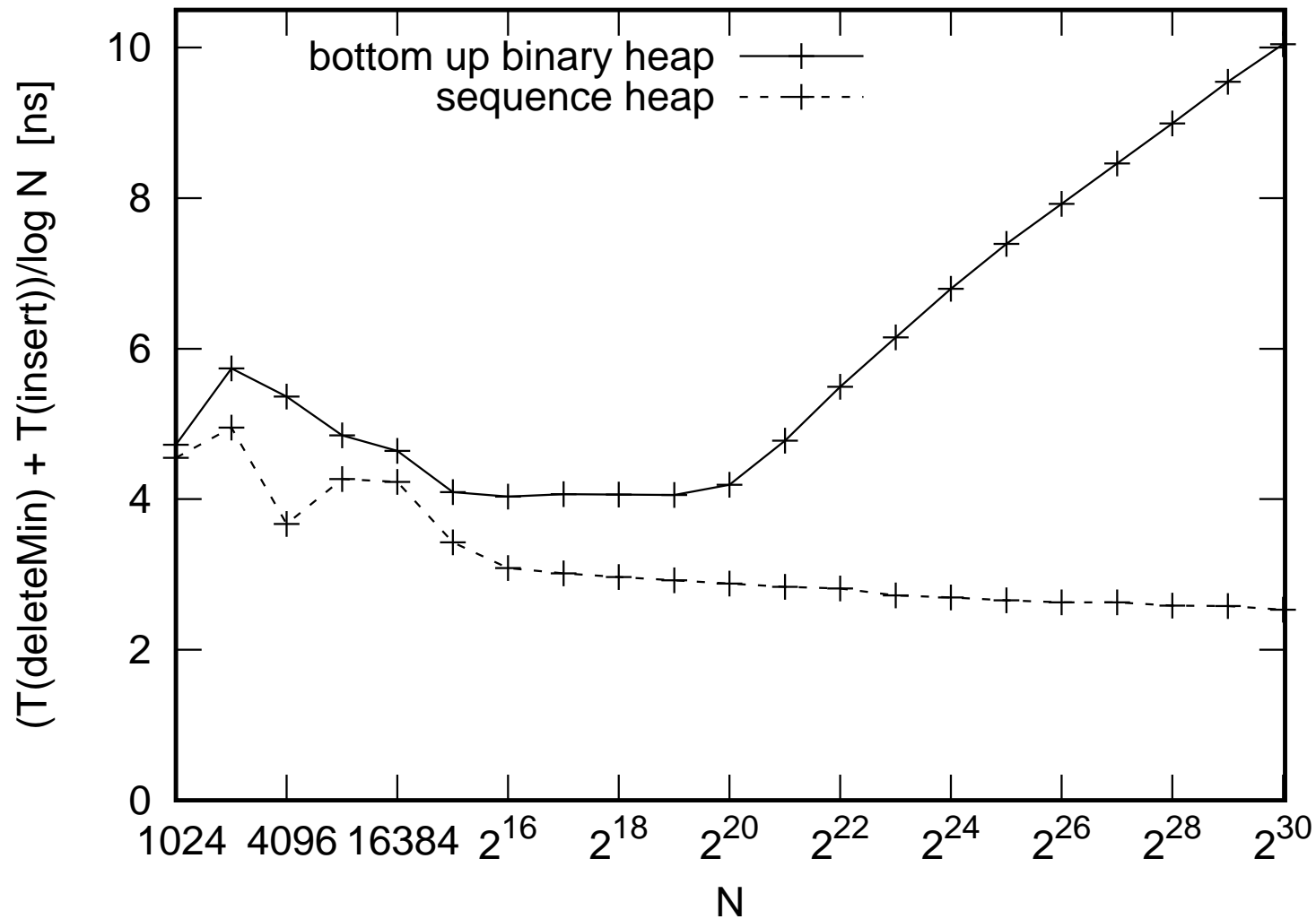
$(\text{Insert-DeleteMin-Insert})^N (\text{DeleteMin-Insert-DeleteMin})^N$

Near optimal performance on all machines tried!

Alpha-21164, 533 MHz, 1997



AMD Ryzen 1800X, 16MB L3, 3.6 GHz, 2017



Offenes Problem:

Schnellere cache-effiziente PQs.

Mehrwegemischen \rightarrow Mehrwegeverteilen ?

Nochmal Faktor 2–3?

Minimale Spannbäume

Semiexterner Kruskal

Annahme: $M = \Omega(n)$ konstant viele Maschinenworte pro Knoten

Procedure seKruskal($G = (1..n, E)$)

sort E by increasing weight // sort(m) I/Os

Tc : UnionFind(n)

foreach $(u, v) \in E$ in ascending order of weight **do**

if Tc.find(u) \neq Tc.find(v) **then**

 output $\{u, v\}$

 Tc.union(u, v) // link reicht auch

Externe MST-Berechnung

- Reduziere Knotenzahl mittels **Kontraktion** von MST-Kanten

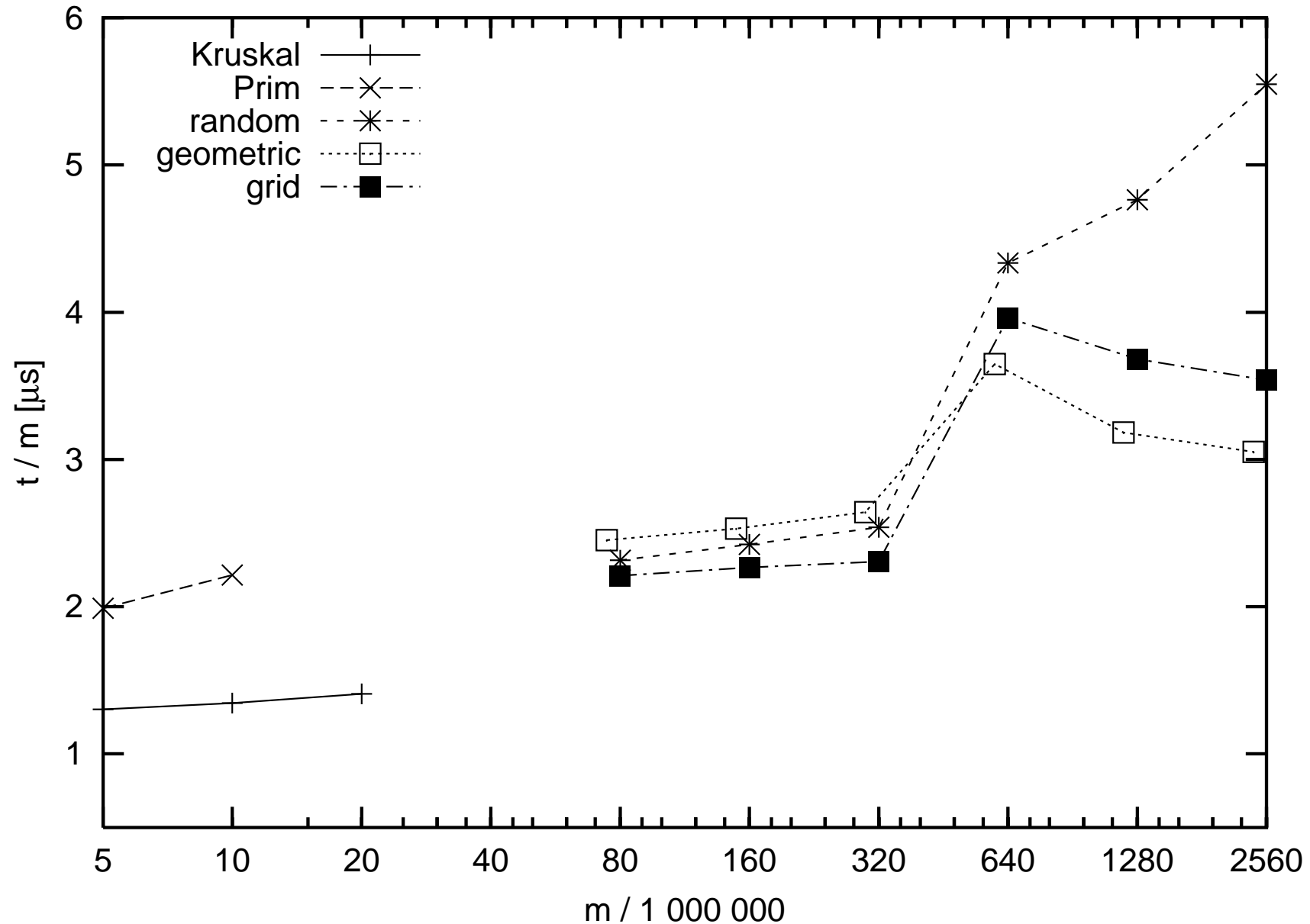
Details: Vorlesung Algorithm Engineering, Sibeyn's Algorithmus.

Implementierung \approx Sortierer + ext. Prioritätsliste + 1

Bildschirmseite. (STXXL Bibliothek)

- benutze semiexternen Algorithmus sobald $n < M$.

Beispiel, Sibeyn's algorithm, $m \approx 2n$



Mehr zu externen Algorithmen – Basic Toolbox ?

Externe Hashtabellen: geht aber 1 I/O pro Zugriff

Suchbäume: $(a, 2a)$ -Bäume mit $a = \Theta(B) \rightsquigarrow \log_B n$ I/Os für
Basisoperationen. Brot-und-Butter-Datenstruktur für Datenbanken.
Inzwischen auch in Dateisystemen. Viel Tuning: Große Blätter,
Caching,

BFS: OK bei kleinem Graphdurchmesser

DFS: noch schwieriger. Heuristiken für den **semiexternen** Fall

kürzeste Wege: ähnlich BFS.

8 Approximationsalgorithmen

Eine Möglichkeit zum **Umgang mit NP-harten Problemen**

Beobachtung: Fast alle interessanten Optimierungsprobleme sind NP-hart

Auswege:

- Trotzdem optimale Lösungen suchen und riskieren, dass der Algorithmus nicht fertig wird
- Ad-hoc Heuristiken. Man kriegt eine Lösung aber wie gut ist die?
- Approximationsalgorithmen:**
Polynomielle Ausführungszeit.
Lösungen **garantiert "nah"** am Optimum.
- Problem umdefinieren/spezialisieren

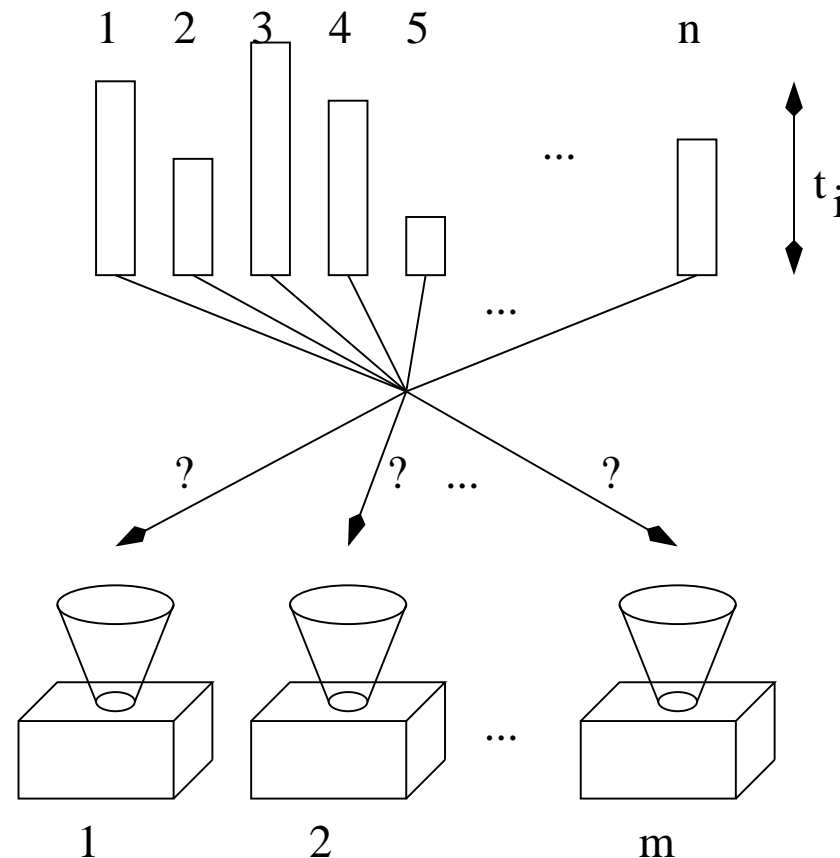
Scheduling unabhängiger gewichteter Jobs auf parallelen Maschinen

$x(j)$: Maschine auf der Job j ausgeführt wird

L_i : $\sum_{x(j)=i} t_j$, Last von Maschine i

Zielfunktion: Minimiere **Makespan**

$$L_{\max} = \max_i L_i$$



Details: Identische Maschinen, unabhängige Jobs, bekannte Ausführungszeiten, offline

List Scheduling

ListScheduling(n, m, \mathbf{t})

$J := \{1, \dots, n\}$

array $L[1..m] = [0, \dots, 0]$

while $J \neq \emptyset$ **do**

 pick **any** $j \in J$

$J := J \setminus \{j\}$

 // Shortest Queue:

 pick i such that $L[i]$ is minimized

$\mathbf{x}(j) := i$

$L[i] := L[i] + t_j$

return \mathbf{x}

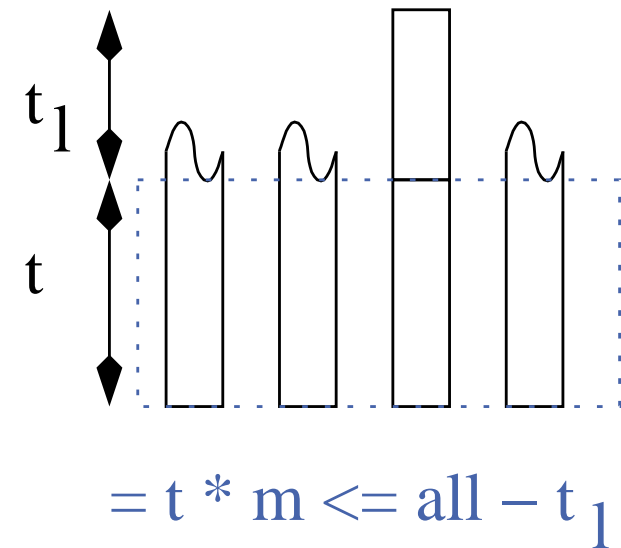
Viele Kleine Jobs

Lemma 1. Falls ℓ der zuletzt beendete Job ist, dann

$$L_{\max} \leq \sum_j \frac{t_j}{m} + \frac{m-1}{m} t_\ell$$

Beweis

$$L_{\max} = t + t_\ell \leq \sum_{j \neq \ell} \frac{t_j}{m} + t_\ell = \sum_j \frac{t_j}{m} + \frac{m-1}{m} t_\ell$$



Untere Schranken

Lemma 2. $L_{\max} \geq \sum_j \frac{t_j}{m}$

Lemma 3. $L_{\max} \geq \max_j t_j$

Der Approximationsfaktor

Definition:

Ein Minimierungsalgorithmus erzielt **Approximationsfaktor** ρ bezüglich Zielfunktion f falls er für **alle** Eingaben I , eine Lösung $\mathbf{x}(I)$ findet, so dass

$$\frac{f(\mathbf{x}(I))}{f(\mathbf{x}^*(I))} \leq \rho$$

wobei $\mathbf{x}^*(I)$ die optimale Lösung für Eingabe I bezeichnet.

Satz: ListScheduling erzielt Approximationsfaktor $2 - \frac{1}{m}$.

Beweis:

$$\frac{f(\mathbf{x})}{f(\mathbf{x}^*)}$$

$$\leq \frac{\sum_j t_j / m}{f(\mathbf{x}^*)} + \frac{m-1}{m} \cdot \frac{t_\ell}{f(\mathbf{x}^*)}$$

$$\leq 1 + \frac{m-1}{m} \cdot \frac{t_\ell}{f(\mathbf{x}^*)}$$

$$\leq 1 + \frac{m-1}{m} = 2 - \frac{1}{m}$$

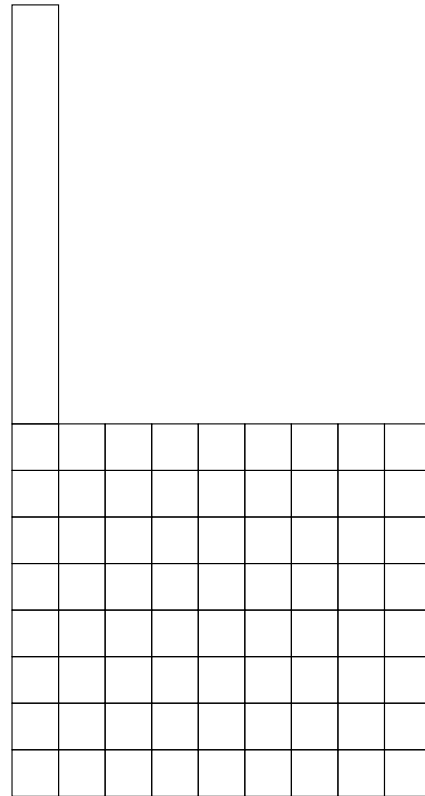
$$\text{Lemma 1: } L_{\max} \leq \sum_j \frac{t_j}{m} + \frac{m-1}{m} t_\ell$$

$$\text{Lemma 2: } L_{\max} \geq \sum_j \frac{t_j}{m}$$

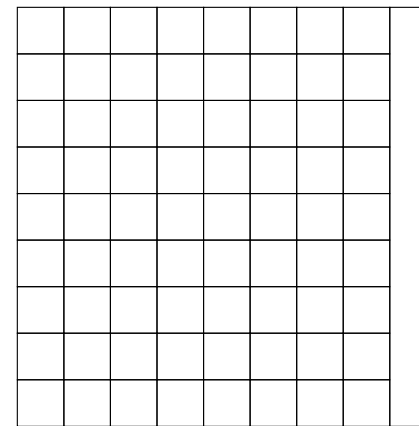
$$\text{Lemma 3: } L_{\max} \geq \max_j t_j \geq t_\ell$$

Diese Schranke ist bestmöglich

Eingabe: $m(m - 1)$ Jobs der Größe 1 und ein Job der Größe m .



List Scheduling: $2m-1$



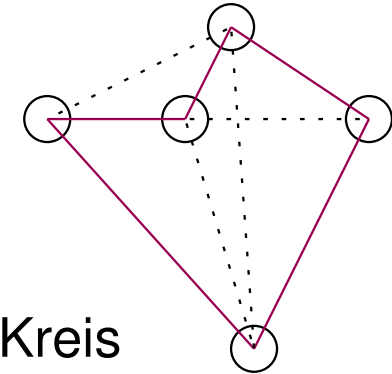
OPT: m

Also ist der Approximationsfaktor $\geq 2 - 1/m$.

Mehr zu Scheduling (siehe Approx-Vorlesung)

- 4/3-Approximation: Sortiere die Jobs nach **absteigender Größe**.
Dann List-Scheduling. Zeit $O(n \log n)$.
- Schnelle 7/6 Approximation: Rate Makespan (binäre Suche).
Dann **Best Fit Decreasing**.
- PTAS** ... später ...
- Uniform machines: Maschine i hat **Geschwindigkeit v_i** job j
braucht Zeit t_j/v_i auf Maschine j . \rightsquigarrow relative einfache
Verallgemeinerung
- Unrelated Machines** Job j braucht Zeit t_{ji} auf Maschine j .
2-Approximation. Ganz anderer Algorithmus.
- uvam: Andere Zielfunktionen, Reihenfolgebeschränkungen, ...

Nichtapproximierbarkeit des Handlungsreisendenproblems (TSP)



Gegeben ein Graph $G = (V, V \times V)$, finde einen einfachen Kreis $C = (v_1, v_2, \dots, v_n, v_1)$ so dass $n = |V|$ und $\sum_{(u,v) \in C} d(u, v)$ minimiert wird.

Satz: Es ist NP-hart das TSP innerhalb irgendeines Faktors a zu approximieren.

Beweisansatz: Es genügt zu zeigen, dass

HamiltonCycle \leq_p a -Approximation von TSP

α -Approximation von TSP

Gegeben:

Graph $G = (V, V \times V)$ mit Kantengewichten $d(u, v)$,
Parameter W .

Gesucht ist ein Algorithmus, mit folgenden Eigenschaften:

$[G, W]$ wird akzeptiert $\longrightarrow \exists$ Tour mit Gewicht $\leq \alpha W$.

$[G, W]$ wird abgelehnt $\longrightarrow \nexists$ Tour mit Gewicht $\leq W$.

HamiltonCycle \leq_p a -Approximation von TSP

Sei $G = (V, E)$ beliebiger ungerichteter Graph.

Definiere $d(u, v) = \begin{cases} 1 & \text{falls } (u, v) \in E \\ 1 + an & \text{sonst} \end{cases}$

Dann und nur dann, wenn G einen Hamiltonkreis hat gilt

\exists TSP Tour mit **Kosten n**

(sonst optimale **Kosten $\geq (n - 1) \cdot 1 + (an + 1) = an + n > an$**)

Entscheidungsalgorithmus für Hamiltonkreis:

Führe a -approx TSP auf $[G, n]$ aus.

Wird akzeptiert

$\longrightarrow \exists$ Tour mit Gewicht $\leq an$

$\longrightarrow \exists$ Tour mit Gewicht $n \longrightarrow \exists$ Hamiltonpfad

sonst \nexists Hamiltonpfad

TSP mit Dreiecksungleichung

G (ungerichtet) erfüllt die **Dreiecksungleichung**

$$\forall u, v, w \in V : d(u, w) \leq d(u, v) + d(v, w)$$

Satz: für solche Graphen gibt es einen 2-Approximationsalgorithmus

Metrische Vervollständigung

Betrachte beliebigen unger. Graph $G = (V, E)$ mit Gewichtsfunktion

$c : E \rightarrow \mathbb{R}_+$. Definiere

$d(u, v) :=$ Länge des kürzesten Pfades von u nach v

Beispiel: (ungerichteter) Strassengraph \longrightarrow Abstandstabelle

Euler-Touren/-Kreise

Betrachte beliebigen zusammenhängenden ungerichteten (Multi-)Graph $G = (V, E)$ mit $|E| = m$.

Ein Pfad $P = \langle e_1, \dots, e_m \rangle$ ist ein **Euler-Kreis** falls $\{e_1, \dots, e_m\} = E$.
(Jede **Kante** wird genau einmal besucht)

Satz: G hat Euler-Kreis gdw. G ist zusammenhängend und $\forall v \in V : \text{Grad}(v)$ ist gerade.

Euler-Kreise lassen sich in Zeit $O(|E| + |V|)$ finden.

2-Approximation durch minimalen Spannbaum

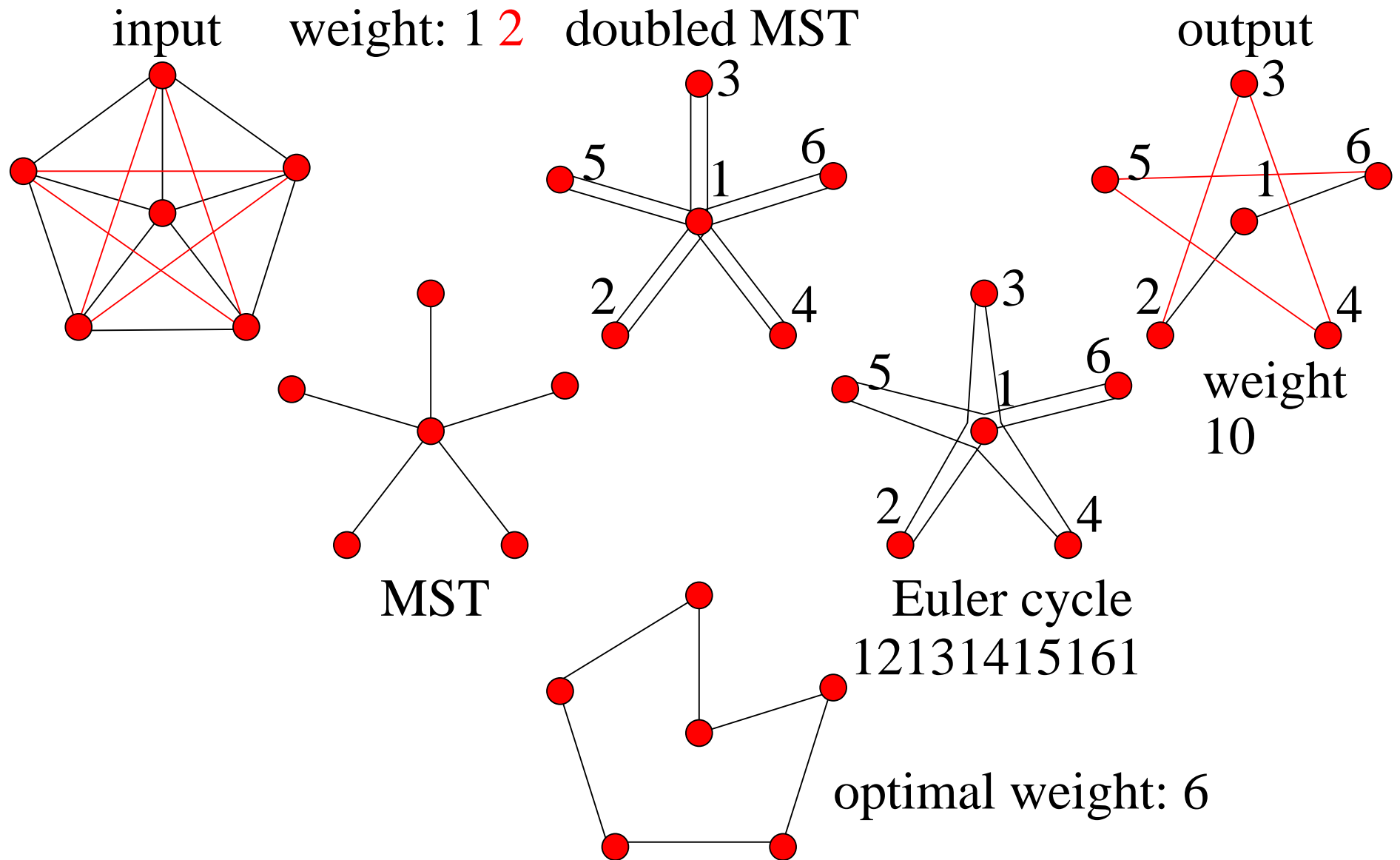
Lemma 4.

Gesamtgewicht eines *MST* \leq
Gesamtgewicht jeder *TSP-Tour*

Algorithmus:

$T := \text{MST}(G)$	// $\text{weight}(T) \leq \text{opt}$
$T' := T$ with every edge doubled	// $\text{weight}(T') \leq 2\text{opt}$
$T'' := \text{EulerKreis}(T')$	// $\text{weight}(T'') \leq 2\text{opt}$
output $\text{removeDuplicates}(T'')$	// shortcutting

Beispiel



Beweis von $\text{Gewicht MST} \leq \text{Gewicht TSP-Tour}$

Sei T die optimale **TSP tour**

entferne eine Kante

macht T leichter

nun ist T ein **Spannbaum**

der nicht leichter sein kann als der

MST



Allgemeine Technik: Relaxation

hier: ein **TSP-Pfad** ist ein Spezialfall eines **Spannbaums**

Mehr TSP I

- Praktisch bessere 2-Approximationen, z.B. lightest edge first
- Relativ einfache aber unpraktische $3/2$ -Approximation
(MST + min. weight perfect matching + Euler-Kreis) Christofides76
- $3/2 - 10^{36}$ approximation KarlinKleinGharan21
- $117/116$ Approximation ist NP-hart
- 1.4 Approximation wenn Abstände kürzeste Wege in einem ungewichteten Graphen sind.
- PTAS für **Euklidisches TSP**

Mehr TSP II

- Versuchskanichen für praktisch jede Optimierungsheuristik
- Optimale Lösungen für praktische Eingaben. Faustregel:
Falls es in den Speicher passt, läßt sich lösen.
`[http://www.tsp.gatech.edu/concorde.html]`
sechsstellige Anzahl Codezeilen.
- TSP-artige Anwendungen sind meist komplizierter

Pseudopolynomielle Algorithmen

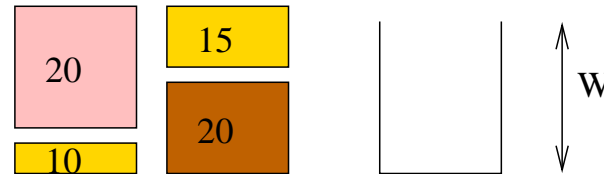
\mathcal{A} ist **pseudopolynomieller** Algorithmus falls

$$\text{Time}_{\mathcal{A}}(n) \in \mathbf{P}(n)$$

wobei n die Anzahl Eingabebits ist,

wenn alle Zahlen **unär** codiert werden ($k \equiv 1^k$).

Beispiel Rucksackproblem



- n Gegenstände mit Gewicht $w_i \in \mathbb{N}$ und profit p_i
oBdA: $\forall i \in 1..n : w_i \leq W$
- Wähle eine Teilmenge \mathbf{x} von Gegenständen
- so dass $\sum_{i \in \mathbf{x}} w_i \leq W$ und
- maximiere den Profit $\sum_{i \in \mathbf{x}} p_i$

Dynamische Programmierung **nach Profit**

$C(i, P)$:= kleinste Kapazität für Gegenstände $1, \dots, i$ die Profit $\geq P$ ergeben.

Lemma 5.

$$\forall 1 \leq i \leq n : C(i, P) = \min(C(i-1, P), \\ C(i-1, P - p_i) + w_i)$$

Dynamische Programmierung **nach Profit**

Sei \hat{P} obere Schranke für den Profit (z.B. $\sum_i p_i$).

Zeit: $O(n\hat{P})$ **pseudo**-polynomiell

z.B. $0..n \times 0..\hat{P}$ Tabelle $C(i, P)$ spaltenweise ausfüllen

Platz: $\hat{P} + O(n)$ Maschinenworte plus $\hat{P}n$ bits.

Fully Polynomial Time Approximation Scheme

Algorithm \mathcal{A} ist ein

(Fully) Polynomial Time Approximation Scheme

für $\begin{matrix} \text{minimization} \\ \text{maximization} \end{matrix}$ Problem Π falls:

Eingabe: Instanz I , Fehlerparameter ε

Ausgabequalität: $f(\mathbf{x}) \begin{matrix} \leq \\ \geq \end{matrix} \begin{pmatrix} 1+\varepsilon \\ 1-\varepsilon \end{pmatrix} \text{opt}$

Zeit: Polynomiell in $|I|$ (und $1/\varepsilon$)

Beispielschranken

PTAS	FPTAS
$n + 2^{1/\varepsilon}$	$n^2 + \frac{1}{\varepsilon}$
$n^{\log \frac{1}{\varepsilon}}$	$n + \frac{1}{\varepsilon^4}$
$n^{\frac{1}{\varepsilon}}$	n/ε
n^{42/ε^3}	\vdots
$n + 2^{2^{1000/\varepsilon}}$	\vdots
\vdots	\vdots

FPTAS für Knapsack

$$P := \max_i p_i$$

// maximaler Einzelprofit

$$K := \frac{\varepsilon P}{n}$$

// Skalierungsfaktor

$$p'_i := \left\lfloor \frac{p_i}{K} \right\rfloor \leq \frac{n}{\varepsilon}$$

// skaliere Profite

$$\mathbf{x}' := \text{dynamicProgrammingByProfit}(\mathbf{p}', \mathbf{w}, C)$$

gib \mathbf{x}' aus

Lemma 6. $\mathbf{p} \cdot \mathbf{x}' \geq (1 - \varepsilon)\text{opt}$.

Proof. Betrachte die optimale Lösung \mathbf{x}^* .

$$\begin{aligned} \mathbf{p} \cdot \mathbf{x}^* - K\mathbf{p}' \cdot \mathbf{x}^* &= \sum_{i \in \mathbf{x}^*} \left(p_i - K \left\lfloor \frac{p_i}{K} \right\rfloor \right) \\ &\leq \sum_{i \in \mathbf{x}^*} \left(p_i - K \left(\frac{p_i}{K} - 1 \right) \right) = |\mathbf{x}^*|K \leq nK, \end{aligned}$$

also, $K\mathbf{p}' \cdot \mathbf{x}^* \geq \mathbf{p} \cdot \mathbf{x}^* - nK$. Weiterhin,

$$K\mathbf{p}' \cdot \mathbf{x}^* \leq K\mathbf{p}' \cdot \mathbf{x}' = \sum_{i \in \mathbf{x}'} K \left\lfloor \frac{p_i}{K} \right\rfloor \leq \sum_{i \in \mathbf{x}'} K \frac{p_i}{K} = \mathbf{p} \cdot \mathbf{x}'. \text{ Also,}$$

$$\mathbf{p} \cdot \mathbf{x}' \geq K\mathbf{p}' \cdot \mathbf{x}^* \geq \mathbf{p} \cdot \mathbf{x}^* - nK = \text{opt} - \varepsilon \underbrace{P}_{\leq \text{opt}} \geq (1 - \varepsilon)\text{opt}$$

□

Lemma 7. Laufzeit $O(n^3 / \epsilon)$.

Proof. Die Laufzeit $O(n\hat{P}')$ der dynamischen Programmierung dominiert:

$$n\hat{P}' \leq n \cdot (n \cdot \max_{i=1}^n p'_i) = n^2 \left\lfloor \frac{P}{K} \right\rfloor = n^2 \left\lfloor \frac{Pn}{\epsilon P} \right\rfloor \leq \frac{n^3}{\epsilon}.$$

□

Das beste bekannte FPTAS

[Kellerer, Pferschy 04]

$$O\left(\min\left\{n \log \frac{1}{\varepsilon} + \frac{\log^2 \frac{1}{\varepsilon}}{\varepsilon^3}, \dots\right\}\right)$$

- Weniger buckets C_j (nichtuniform)
- Ausgefeilte dynamische Programmierung

Optimale Algorithmen für das Rucksackproblem

Annähernd Linearzeit für fast alle Eingaben! In Theorie und Praxis.

[Beier, Vöcking, An Experimental Study of Random Knapsack Problems, European Symposium on Algorithms, 2004.]

[Kellerer, Pferschy, Pisinger, Knapsack Problems, Springer 2004.]

9 Fixed-Parameter-Algorithmen

Praktische Beobachtung: Auch bei NP-harten Problemen können wir u.U. exakte Lösungen finden:
... für **einfache** Instanzen.

Wie charakterisiert man Einfachheit ?

Durch einen weiteren Parameter k (neben der Eingabegröße)

Beispiel: $k = \text{Ausgabegröße}$

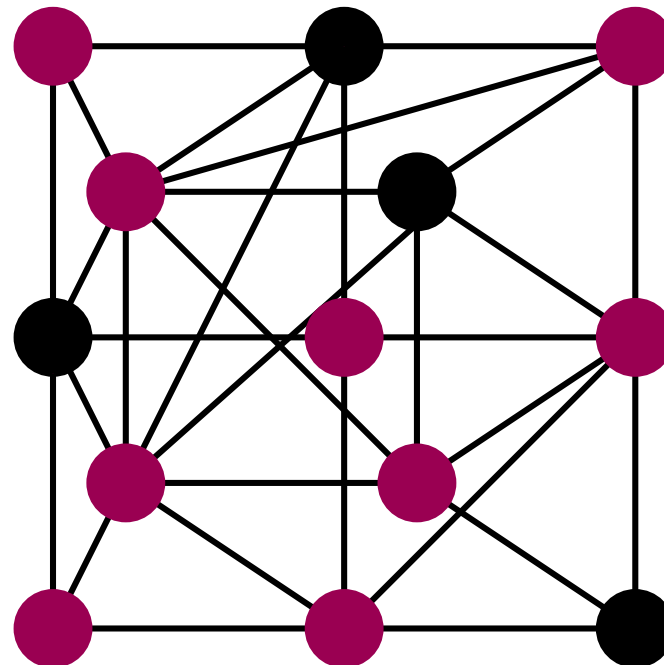
[Niedermeier, Invitation to Fixed Parameter Algorithms, Oxford U. Press, 2006]

Beispiel: VERTEX COVER (Knotenüberdeckung)

Gegeben: ungerichteter Graph $G = (V, E)$,

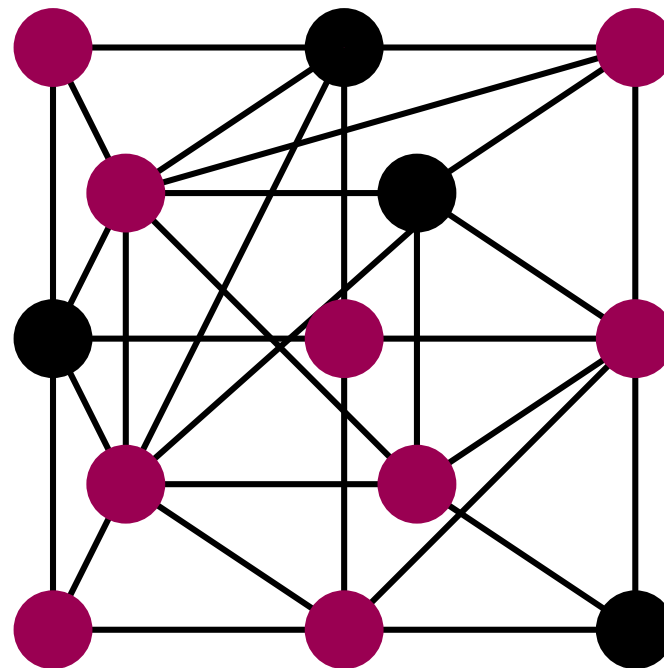
Parameter $k \in \mathbb{N}$.

Frage: $\exists V' \subseteq V : |V'| = k \wedge \forall \{u, v\} \in E : u \in V' \vee v \in V'$



VERTEX COVER Grundlegendes

- Eines der (21) klassischen **NP-harten** Probleme
- Trivialer $O(n^{k+1})$ Brute-Force-Algorithmus
- Äquivalent zu max. independent set (Komplement)



Fixed parameter tractable

Eine formale Sprache $L \in \text{FPT}$ bzgl. Parameter $k \Leftrightarrow$

\exists Algorithmus mit Laufzeit $O(f(k) \cdot p(n))$,

f berechenbare Funktion, nicht von n abhängig,

p Polynom, nicht von k abhängig.

Beispiele: $2^k n^2$, $k^k! n^{333}$, $n + 1.1^k$

Gegenbeispiele: n^k , $n^{\log \log k}$

Beispiel: VERTEX COVER

Satz: Vertex Cover ist in FPT bzgl. des Parameters
Ausgabekomplexität

Wir entwickeln Algorithmen mittels zweier auch praktisch wichtiger
Entwurfstechniken:

1. **Kernbildung:** (Kernelization) Reduktionsregeln reduzieren Problem
auf Größe $O(f(k))$
2. Systematische **Suche** mit **beschränkter Tiefe**.

Naive tiefenbeschränkte Suche

Function vertexCover($G = (V, E), k$) : Boolean

if $|E| = 0$ **then return** true

if $k = 0$ **then return** false

pick any edge $\{u, v\} \in E$

return vertexCover($G - v, k - 1$) \vee
vertexCover($G - u, k - 1$)

Operation $G - v$ removes node v and its incident edges

Naive tiefenbeschränkte Suche – Korrektheit

Function vertexCover($G = (V, E), k$) : Boolean

if $|E| = 0$ **then return** true // triviales Problem

if $k = 0$ **then return** false // unmögliches Problem

pick any edge $\{u, v\} \in E$ // u oder v müssen im cover sein !

// Fallunterscheidung:

return vertexCover($G - v, k - 1$) \vee // Fall v in cover

vertexCover($G - u, k - 1$) // Fall u in cover

Naive tiefenbeschränkte Suche – Laufzeit

```
Function vertexCover( $G = (V, E), k$ ) : Boolean
  if  $|E| = 0$  then return true //  $O(1)$ 
  if  $k = 0$  then return false //  $O(1)$ 
  pick any edge  $\{u, v\} \in E$  //  $O(1)$ 
  return vertexCover( $G - v, k - 1$ )  $\vee$  //  $O(n + m) + T(k - 1)$ 
           vertexCover( $G - u, k - 1$ ) //  $T(k - 1)$ 
```

Rekursionstiefe $k \rightsquigarrow O(2^k)$ rekursive Aufrufe also

Laufzeit $O(2^k(n + m))$.

Formaler: Lösung der **Rekurrenz** $T(k) = (n + m) + 2T(k - 1)$

Kernbildung für Vertex Cover

Beobachtung: $\forall v \in V : \text{degree}(v) > k \implies v \in \text{Lösung} \vee \text{unlösbar}$

Function kernelVertexCover($G = (V, E), k$) : Boolean

if $|E| = 0$ **then return** true

while $\exists v \in V : \text{degree}(v) > k$ **do**

if $k = 0$ **then return** false

$G := G - v$

$k := k - 1$

remove isolated nodes

if $|E| > k^2$ **then return** false

return vertexCover(G, k)

Kernbildung für Vertex Cover – Korrektheit

Beobachtung: $\forall v \in V : \text{degree}(v) > k \implies v \in \text{Lösung} \vee \text{unlösbar}$

Function kernelVertexCover($G = (V, E), k$) : Boolean

if $|E| = 0$ **then return** true

while $\exists v \in V : \text{degree}(v) > k$ **do** // siehe Beobachtung

if $k = 0$ **then return** false // $m > k = 0!$

$G := G - v$ // v muss in die Lösung!

$k := k - 1$

remove isolated nodes // nutzlose Knoten

if $|E| > k^2$ **then return** false // $\leq k$ nodes $\times \leq k$ neighbors

return vertexCover(G, k)

Kernbildung für Vertex Cover – Laufzeit

```

Function kernelVertexCover( $G = (V, E), k$ ) : Boolean
  if  $|E| = 0$  then return true
  while  $\exists v \in V : \text{degree}(v) > k$  do                                //  $\leq k \times$ 
    if  $k = 0$  then return false                                       //  $m \geq k > 0 !$ 
     $G := G - v$  //  $v$  muss in die Lösung!                               //  $O(n + m)$ 
     $k := k - 1$ 
  remove isolated nodes                                                // nutzlose Knoten
  //Insgesamt  $O((n + m)k)$ 
  if  $|E| > k^2$  then return false //  $\leq k$  nodes  $\times \leq k$  neighbors
  return vertexCover( $G, k$ )                                           //  $O(2^k k^2)$ 

Insgesamt  $O((n + m)k + 2^k k^2)$            Aufgabe:  $O(n + m + 2^k k^2)$ 
  
```

Kernbildung für Vertex Cover – Beispiel

Function kernelVertexCover($G = (V, E), k$) : Boolean

if $|E| = 0$ **then return** true

while $\exists v \in V : \text{degree}(v) > k$ **do**

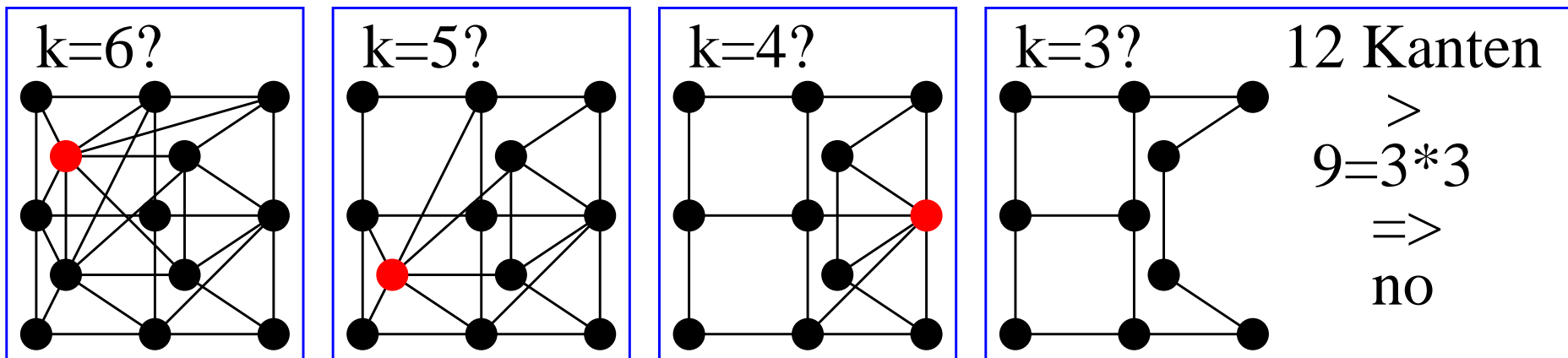
if $k = 0$ **return** false

$G := G - v; \quad k := k - 1$

remove isolated nodes

if $|E| > k^2$ **then return** false

return vertexCover(G, k)



Reduktionsregeln

0: nicht im cover

1: OBdA Nachbar im cover

Aufgabe: vertex cover für Bäume?

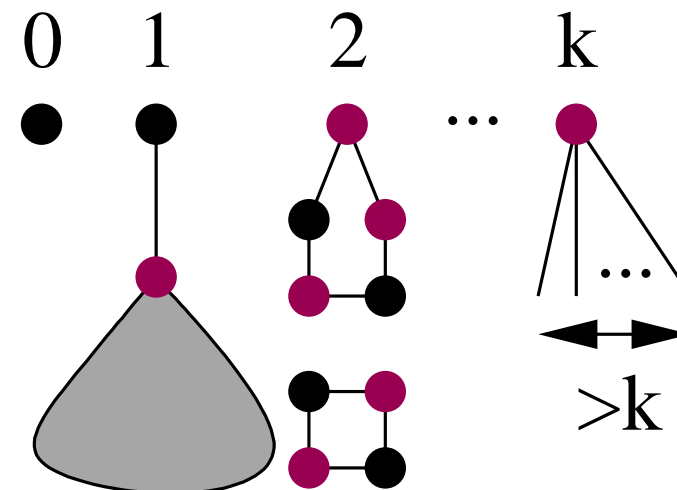
2: geht auch aber komplizierter. Aber,

trivial wenn alle Knoten Grad zwei haben

“Nimm jeden zweiten Knoten”

$> k$: muss ins cover

Mehr Regeln ?



Verbesserte tiefenbeschränkte Suche

Function vertexCover2($G = (V, E), k$) : Boolean

if $|E| = 0$ **then return** true // $O(1)$

if $k = 0$ **then return** false // $O(1)$

if $\exists v \in V : \text{degree}(v) = 1$ **then**

return vertexCover2($G - \text{neighbor}(v), k - 1$)

if $\exists v \in V : \text{degree}(v) \geq 3$ **then**

return vertexCover2($G - v, k - 1$) \vee

vertexCover2($G - \mathcal{N}(v), k - |\mathcal{N}(v)|$)

assert all nodes have degree 2

return vertexCoverCollectionOfCycles(G, k)

Analyse: Lösung der **Rekurrenz**

$$T(k) = (n + m) + T(k - 1) + T(k - 3) = O((n + m)1.4656^k)$$

\rightsquigarrow benutze **erzeugende Funktionen**

Weitere Verbesserungen

- Kerne der Größe $2k$ (mittels Matching-Algorithmen)
- Reduziere Zeit pro rekursivem Aufruf auf $O(1)$
- Detaillierte Fallunterscheidungen \rightsquigarrow
kleinere Konstante im exponentiellen Teil

$$\rightsquigarrow O\left(1.2738^k + kn\right)$$

[Chen Kanj Xia 2006]

Zusammenfassung

- Wichtige Teilklassen NP-harter Probleme können polynomiell lösbar sein
- Kernbildung is wichtige Vor/Zwischenverarbeitungsstrategie für Optimierungsprobleme – auch polynomiell lösbare. Zum Beispiel Max-Cardinality matching.
- Brute-force Algorithmen weniger brute-force machen bringt beweisbar exponentielle Beschleunigung. \rightsquigarrow nichttriviale Analyse- und Entwurfs-Techniken

10 Parallele Algorithmen

Schnupperkapitel.

Mehr in der **gleichnamigen Vorlesung**
sowie im **Vertiefungsfach Parallelverarbeitung**

Warum Parallelverarbeitung

Geschwindigkeitsteigerung: p Computer, die gemeinsam an einem Problem arbeiten, lösen es **bis zu** p mal so schnell. Aber, viele Köche verderben den Brei \rightsquigarrow gute Koordinationsalgorithmen

Energieersparnis: Zwei Prozessoren mit halber Taktfrequenz brauchen weniger als ein voll getakteter Prozessor.
(Leistung \approx Spannung \cdot Taktfrequenz)

Speicherbeschränkungen von Einzelprozessoren

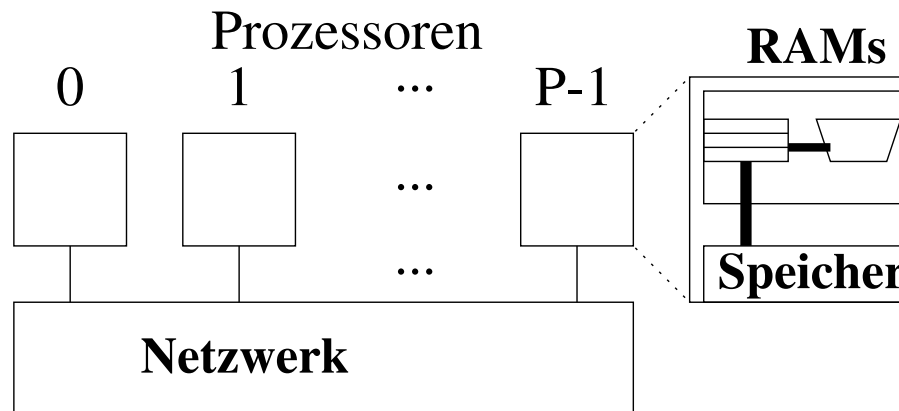
Kommunikationsersparnis: wenn Daten verteilt anfallen kann man sie auch verteilt (vor)verarbeiten

Parallelverarbeitung am ITI Sanders

- Massiv parallele Graph-Algorithmen, Niklas Uhl, Matthias Schimek, Daniel Seemaier
- Fehlertoleranz, Demian Hesse, Lukas Hübner
- Shared Memory Datenstrukturen, Marvin Williams
- (Hyper)Graphpartitionierung, Tobias Heuer, Daniel Seemaier
- SAT-Solving und Planungsprobl., Dominik Schreiber
- Geometrische Algorithmen, Daniel Funke
- String-Algorithmen, Florian Kurpicz

Modell

Nachrichtengekoppelte Parallelrechner



- Prozessoren sind RAMs
- asynchrone** Programmabarbeitung
- Interaktion durch **Nachrichtenaustausch**

Kostenmodell für Nachrichtenaustausch

Jedes PE kann

gleichzeitig maximal eine Nachricht senden und empfangen.

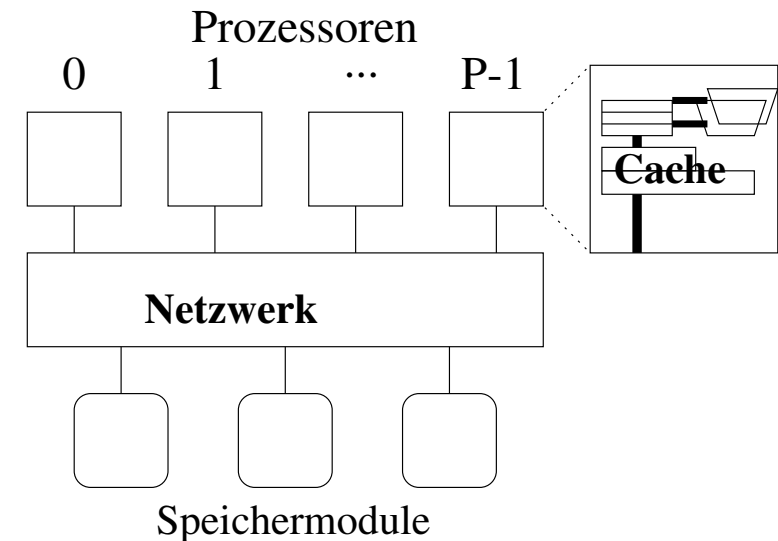
Bei Nachrichtenlänge ℓ dauert das

$$T_{\text{comm}}(\ell) = \alpha + \ell\beta$$

- halbduplex
- Punkt-zu-Punkt
- vollständige Verknüpfung
- i.allg. $\alpha \gg \beta$ – Alternative: Blockkommunikation **analog**
Sekundärspeichermodell

Warum **kein** (shared memory) Multicore-Modell

- Unklar wie man damit **skalierbaren** Parallelismus erreicht
- Unklares **Kostenmaß** bei Speicherzugriffskonflikten
- Gute Strategie für Parallelprogrammierung:
Verteilt entwerfen, vereint implementieren



~> mit verteiltem Speicher decken wir den ganzen Bereich vom Multicore-Smartphone zum Superrechner ab und sind noch einigermaßen nah an Cloud, Sensor- oder Peer-to-Peer-Netzen

Formulierung paralleler Algorithmen

Gleicher Pseudocode wie immer.

Single Program Multiple Data Prinzip.

Der Prozessorindex wird genutzt um die Symmetrie zu brechen.

Procedure helloWorldParallel

```
writeLineAtomic "Hallo, I am PE " iProc " out of " p "processing elements"
```

```
Hallo, I am PE 0 out of 3 processing elements
```

```
Hallo, I am PE 2 out of 3 processing elements
```

```
Hallo, I am PE 1 out of 3 processing elements
```

Analyse paralleler Algorithmen

Im Prinzip nur ein zusätzlicher Parameter: p .

Finde Ausführungszeit $T(I, p)$.

Problem: Interpretation.

Work: $W = pT(p)$ ist ein Kostenmaß.

Span: $T_\infty = \inf_p T(p)$ misst Parallelisierbarkeit.

(absoluter) Speedup: $S = T_{\text{seq}}/T(p)$ Beschleunigung. Benutze

besten bekannten sequentiellen Algorithmus. Relative

Beschleunigung $S_{\text{rel}} = T(1)/T(p)$ ist i.allg. was anderes!

Effizienz: $E = S/p$. Ziel: $E \approx 1$ oder wenigstens $E = \Theta(1)$.

(Sinnvolles Kostenmaß?) "Superlineare Beschleunigung": $E > 1$.

(möglich?).

Beispiel: Assoziative Operationen (=Reduktion)

Theorem 1. Sei \oplus ein assoziativer Operator, der in konstanter Zeit berechnet werden kann. Dann lässt sich

$$\bigoplus_{i < p} x_i := (\cdots ((x_0 \oplus x_1) \oplus x_2) \oplus \cdots \oplus x_{p-1})$$

in Zeit $O(\log p)$ berechnen

Beispiele: $+$, \cdot , \max , \min , ... (z.B. ? nichtkommutativ?)

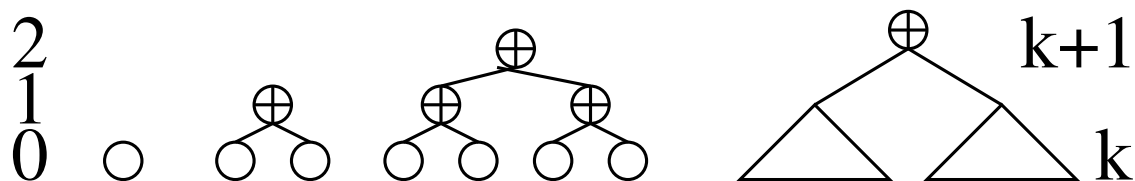
Grundidee für $p = 2^k$ (oBdA?)

Induktion über k :

$k = 0$: trivial

$k \rightsquigarrow k + 1$:

$$\bigoplus_{i < 2^{k+1}} x_i = \underbrace{\bigoplus_{i < 2^k} x_i}_{\text{Tiefe } k} \oplus \underbrace{\bigoplus_{i < 2^k} x_{i+2^k}}_{\text{Tiefe } k \text{ (IA)}} = \underbrace{\qquad\qquad\qquad}_{\text{Tiefe } k+1}$$



Pseudocode

PE index $i \in \{0, \dots, p-1\}$

//Input x_i located on PE i

active := 1

$s := x_i$

for $0 \leq k < \lceil \log p \rceil$ **do**

if active **then**

if bit k of i **then**

sync-send s to PE $i - 2^k$

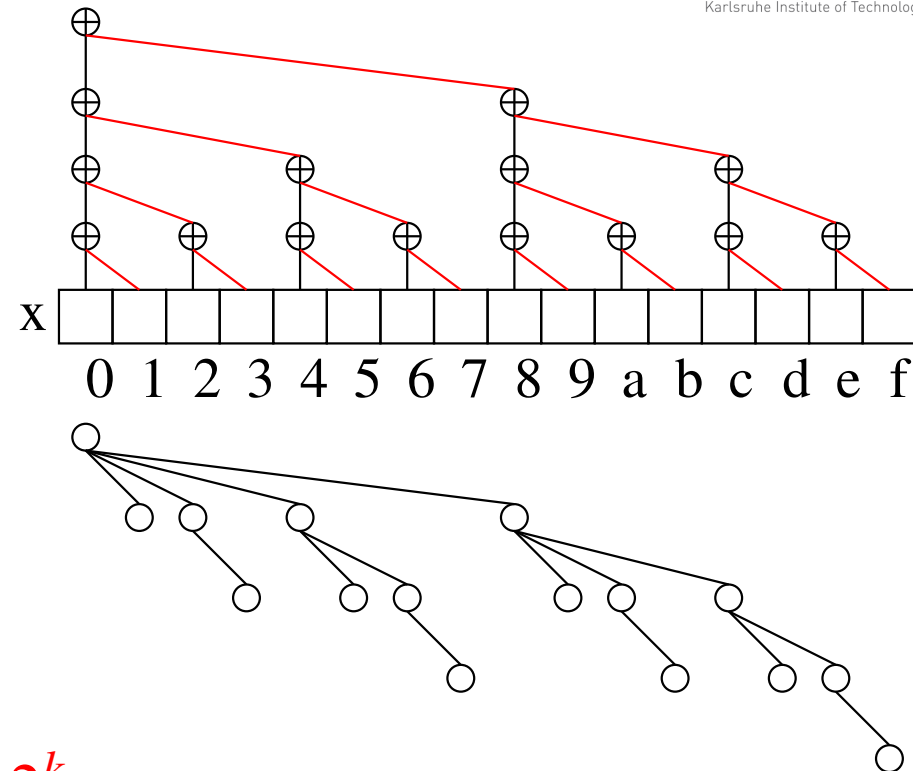
active := 0

else if $i + 2^k < p$ **then**

receive s' from PE $i + 2^k$

$s := s \oplus s'$

//result is in s on PE 0



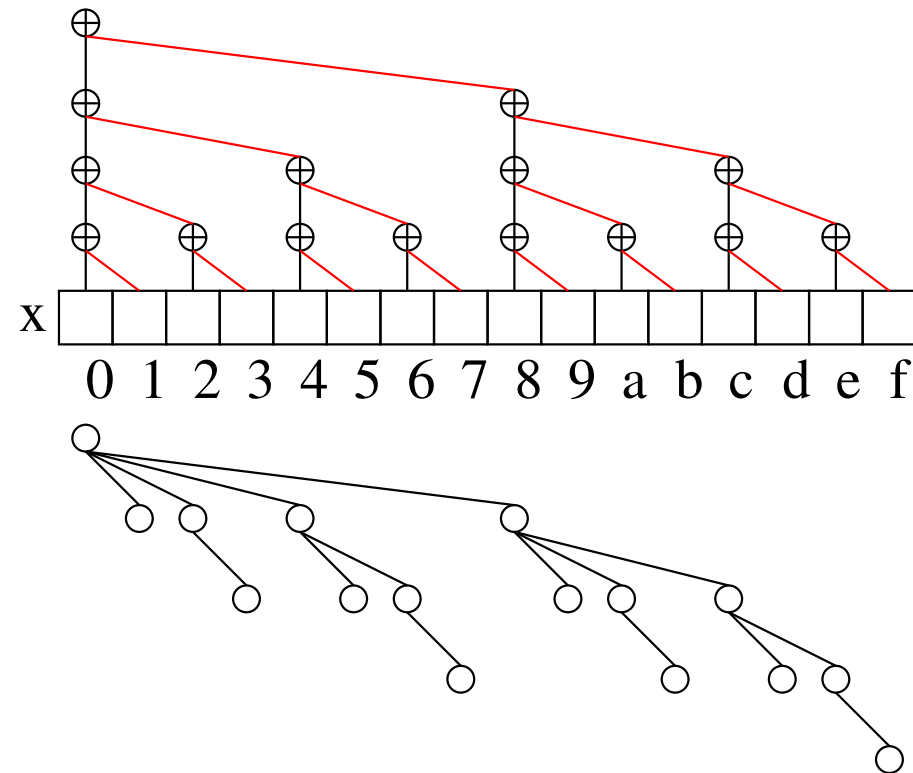
Analyse

n PEs

Zeit $O(\log n)$

Speedup $O(n/\log n)$

Effizienz $O(1/\log n)$



Weniger ist Mehr

p PEs

Jedes PE addiert

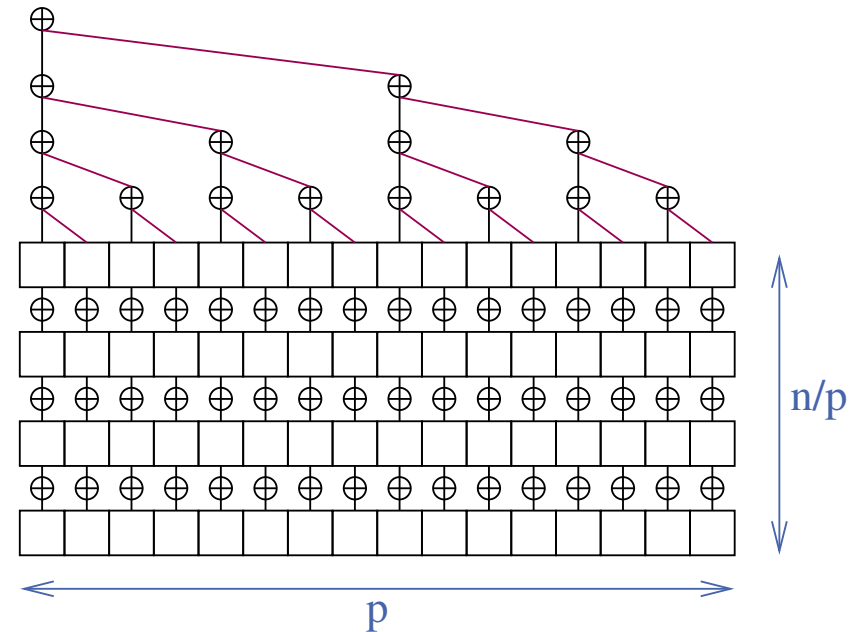
n/p Elemente sequentiell

Dann parallele Summe

für p Teilsummen

Zeit $T_{\text{seq}}(n/p) + \Theta(\log p)$

Effizienz



$$\frac{T_{\text{seq}}(n)}{p(T_{\text{seq}}(n/p) + \Theta(\log p))} = \frac{n}{p(n/p + \Theta(\log(p)))} = \frac{1}{1 + \Theta(p \log(p)) / n}$$

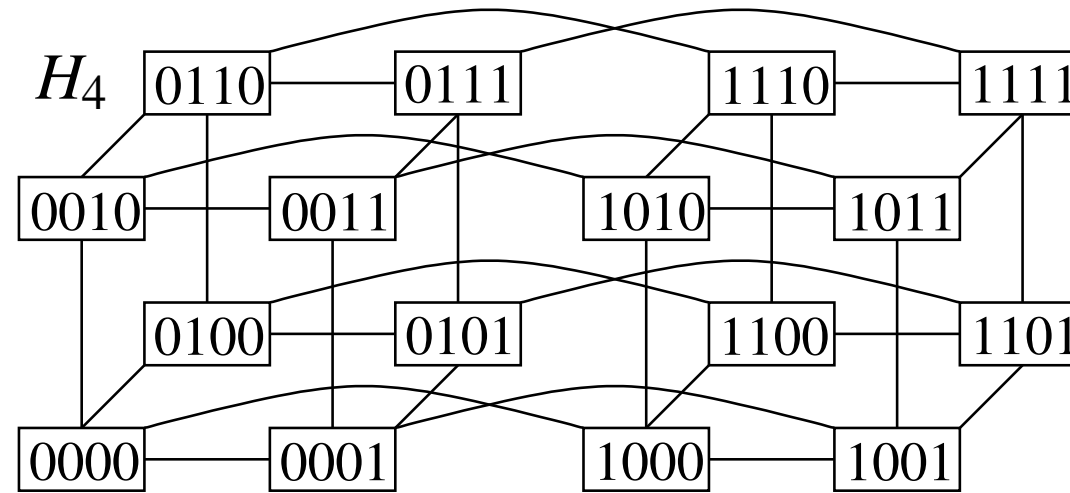
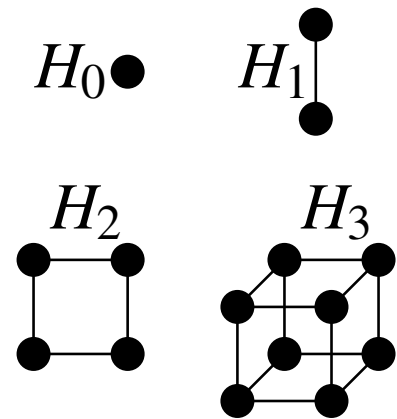
≈ 1 falls $n \gg p \log p$

Diskussion Reduktionsoperation

- Binärbaum führt zu logarithmischer Ausführungszeit
- Nützlich auf den meisten Modellen
- Brent's Prinzip: Ineffiziente Algorithmen werden durch Verringerung der Prozessorzahl effizient

Hyperwürfel

hypercube

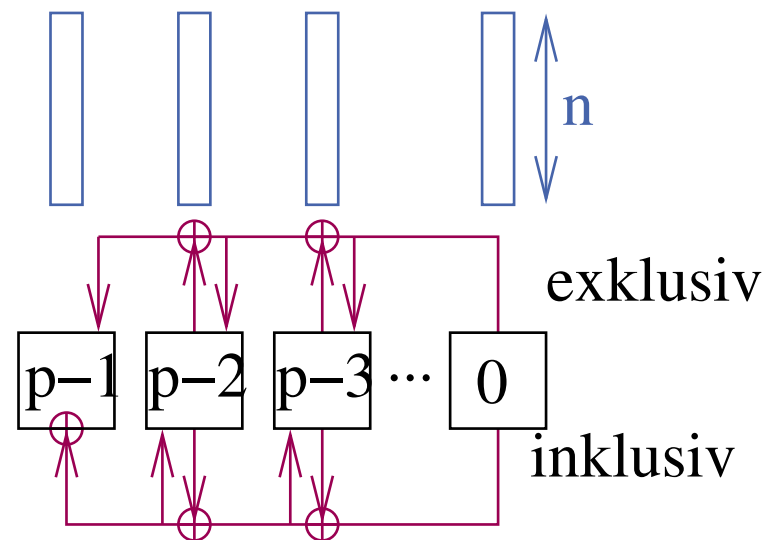


Präfixsummen

Gesucht

$$x@i := \bigoplus_{i' \leq i} m@i'$$

(auf PE i) Objekte der Länge ℓ



inhärent sequentiell ???

Hyperwürfelalgorithmus

// view PE index i as a
// d -bit bit array

Function hcPrefix(m)

$x := \sigma := m$

for $k := 0$ **to** $d - 1$ **do**

invariant $\sigma = \bigoplus_{j=i[k..d-1]0^k}^{i[k..d-1]1^k} m@j$

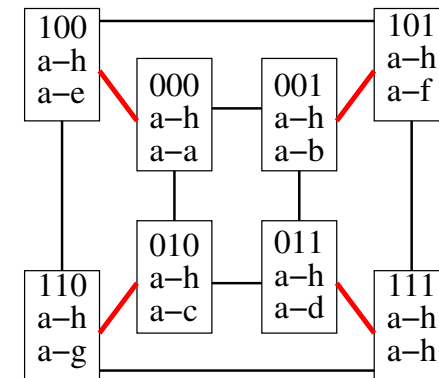
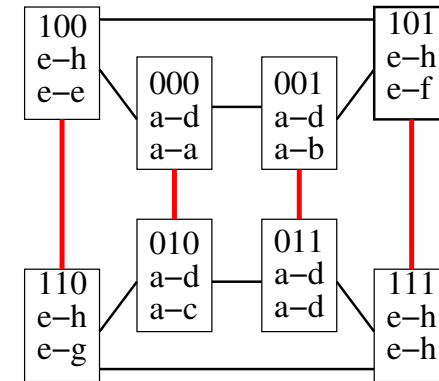
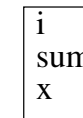
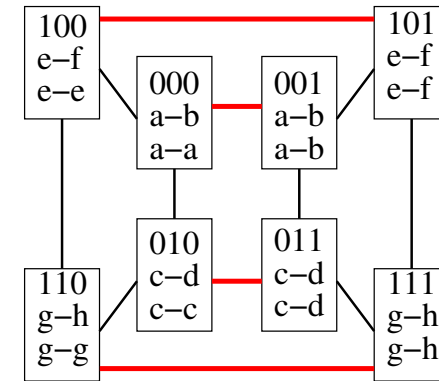
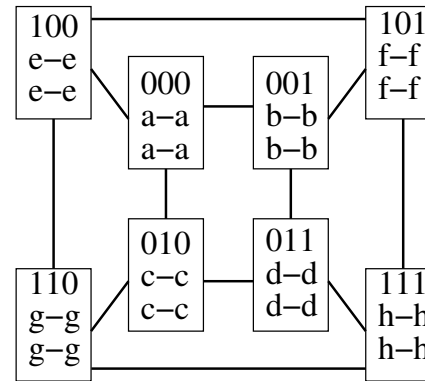
invariant $x = \bigoplus_{j=i[k..d-1]0^k}^i m@j$

$y := \sigma @ (i \text{ xor } 2^k)$ // sendRecv

$\sigma := \sigma \oplus y$

if $i[k] = 1$ **then** $x := x \oplus y$

return x



Analyse

$$T_{\text{prefix}} = O((\alpha + \ell\beta) \log p)$$

Problemchen:

Nichtoptimal bei $\ell\beta > \alpha$ (analog schon bei Reduktion)

siehe Spezialvorlesung

$$\rightsquigarrow O(\alpha \log P + \ell\beta)$$

Sortieren

- Paralleles Quicksort
- Paralleles Mehrwege-Mergesort
- Hier nicht: binäres Mergesort, Radixsort, . . .

Paralleles Quicksort

Sequentiell (vereinfacht)

Procedure qSort($d[]$, n)

if $n = 1$ **then return**

select a **pivot** v

reorder the elements in d such that

$$d_0 \cdots d_{k-1} \leq v < d_k \cdots d_{n-1}$$

qSort($[d_0, \dots, d_{k-1}]$, k)

qSort($[d_{k+1}, \dots, d_{n-1}]$, $n - k - 1$)

Anfänger-Parallelisierung

Parallelisierung der rekursiven Aufrufe.

$$T_{\text{par}} = \Omega(n)$$

- Sehr begrenzter Speedup
- Schlecht für distributed Memory

Theoretiker-Parallelisierung

Zur Vereinfachung: $n = p$.

Idee: Auch die Aufteilung parallelisieren.

1. Ein PE stellt den Pivot (z.B. zufällig).
2. Broadcast
3. Lokaler Vergleich
4. "Kleine" Elemente durchnummerieren (Präfix-Summe)
5. Daten umverteilen
6. Prozessoren aufspalten
7. Parallele Rekursion

Theoretiker-Parallelisierung

// Let $i \in 0..p - 1$ and p denote the 'local' PE index and partition size

Procedure theoQSort(d, i, p)

if $p = 1$ **then return**

$r :=$ random element from $0..p - 1$ // same value in entire partition

$v := d@r$ // broadcast **pivot**

$f := d \leq v$ // 1 iff d is on left side, 0 otherwise

$j := \sum_{k=0}^i f@k$ // **prefix sum**, count elements on left side

$p' := j@(p - 1)$ // broadcast, result is border index

if f **then** send d to PE $j - 1$

else send d to PE $p' + i - j$ // $i - j = \sum_{k=0}^i d@k > v$

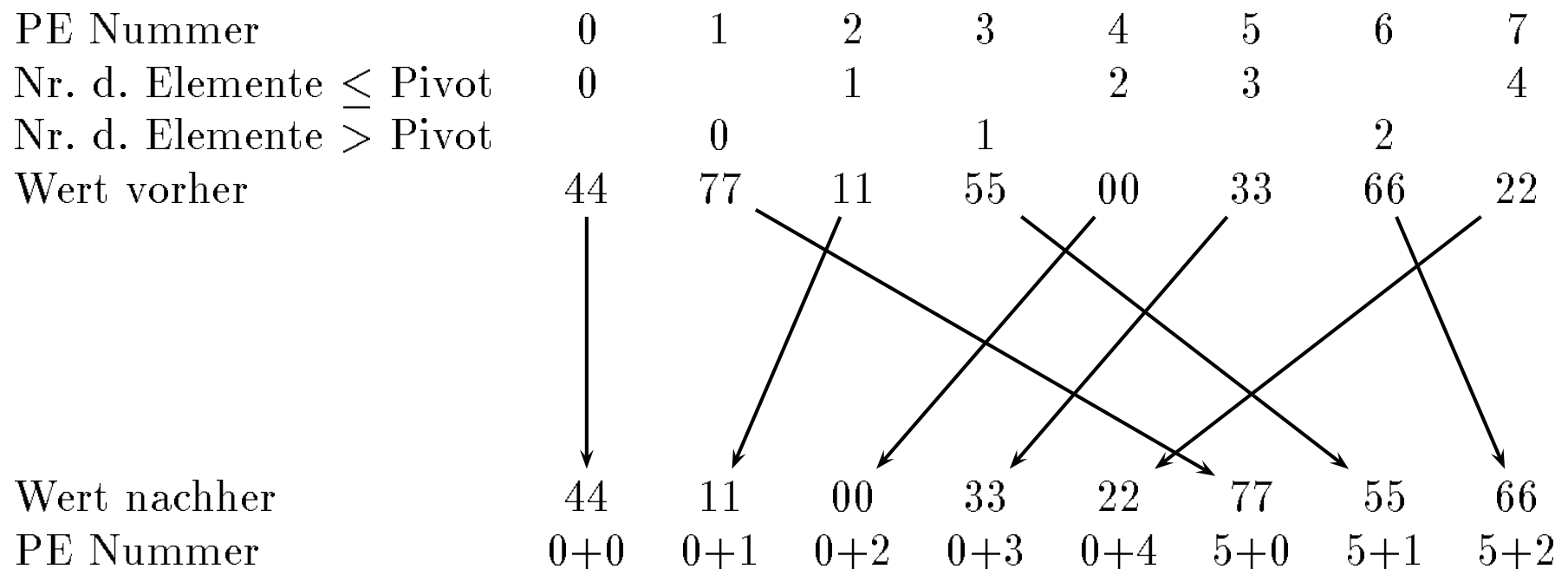
receive d

if $i < p'$ **then** join left partition; qsort(d, i, p')

else join right partition; qsort($d, i - p', p - p'$)

Beispiel

pivot $v = 44$



```
int pQuickSort(int item, MPI_Comm comm)
{ int iP, nP, small, allSmall, pivot;
  MPI_Comm newComm; MPI_Status status;
  MPI_Comm_rank(comm, &iP); MPI_Comm_size(comm, &nP);

  if (nP == 1) { return item; }
  else {
    pivot = getPivot(item, comm, nP);
    count(item <= pivot, &small, &allSmall, comm, nP);
    if (item <= pivot) {
      MPI_Bsend(&item, 1, MPI_INT, small - 1, 8, comm);
    } else {
      MPI_Bsend(&item, 1, MPI_INT, allSmall+iP-small, 8, comm);
    }
    MPI_Recv(&item, 1, MPI_INT, MPI_ANY_SOURCE, 8, comm, &status);
    MPI_Comm_split(comm, iP < allSmall, 0, &newComm);
    return pQuickSort(item, newComm);}}}
```

```
/* determine a pivot */
int getPivot(int item, MPI_Comm comm, int nP)
{
    int pivot    = item;
    int pivotPE = globalRandInt(nP); /* from random PE */
    /* overwrite pivot by that one from pivotPE */
    MPI_Bcast(&pivot, 1, MPI_INT, pivotPE, comm);
    return pivot;
}

/* determine prefix-sum and overall sum over value */
void
count(int value, int *sum, int *allSum, MPI_Comm comm, int nP)
{
    MPI_Scan(&value, sum, 1, MPI_INT, MPI_SUM, comm);
    *allSum = *sum;
    MPI_Bcast(allSum, 1, MPI_INT, nP - 1, comm);
}
```

Analyse

□ pro Rekursionsebene:

– $2 \times$ broadcast

– $1 \times$ Präfixsumme

↪ Zeit $O(\alpha \log p)$

□ erwartete Rekursionstiefe: $O(\log p)$

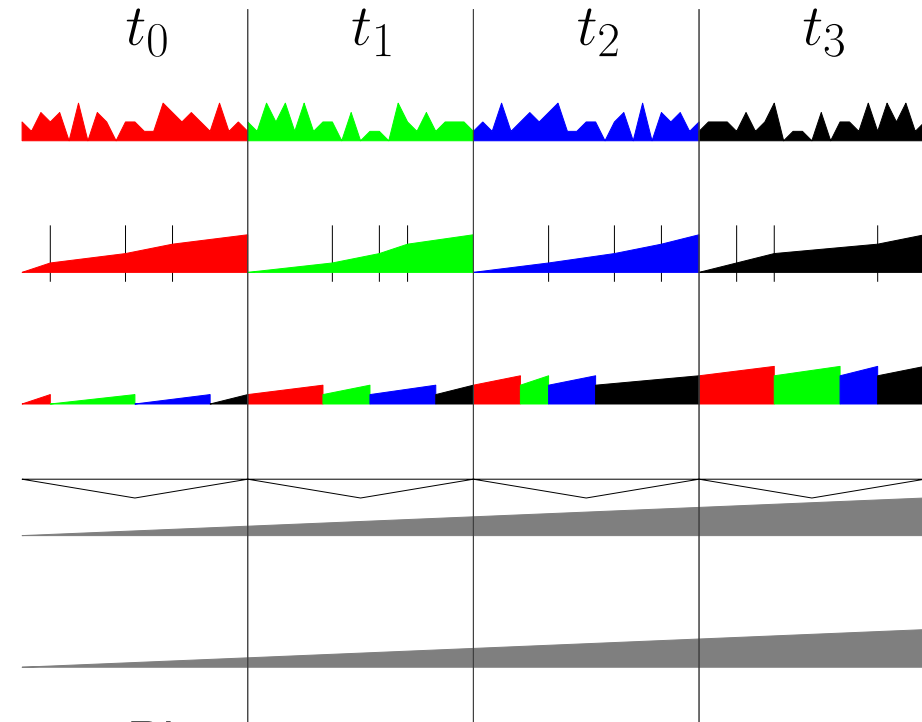
Erwartete Gesamtzeit: $O(\alpha \log^2 p)$

Verallgemeinerung für $n \gg p$ nach Schema F?

- Jedes PE hat i.allg. “große” und “kleine” Elemente.
- Aufteilung geht nicht genau auf
- Präfixsummen weiterhin nützlich
- Unterm Strich ist Zeit $O\left(\frac{n \log n}{p} + \log^2 p\right)$ möglich
- Bei verteiltem Speicher stört, dass jedes Element $\Omega(\log p)$ mal transportiert wird.
 $\rightsquigarrow \dots \rightsquigarrow$ Zeit $O\left(\frac{n}{p}(\log n + \beta \log p) + \alpha \log^2 p\right)$

Paralleles Sortieren durch Mehrwegemischen

1. p Prozessoren sortieren
je n/p Elemente lokal
2. Finde pivots so dass
 n/p Elemente zwischen
zwei benachbarten pivots liegen
3. Jeder Prozessor macht
Mehrwegemischen für alle
Elemente zwischen zwei benachbarten Pivots.

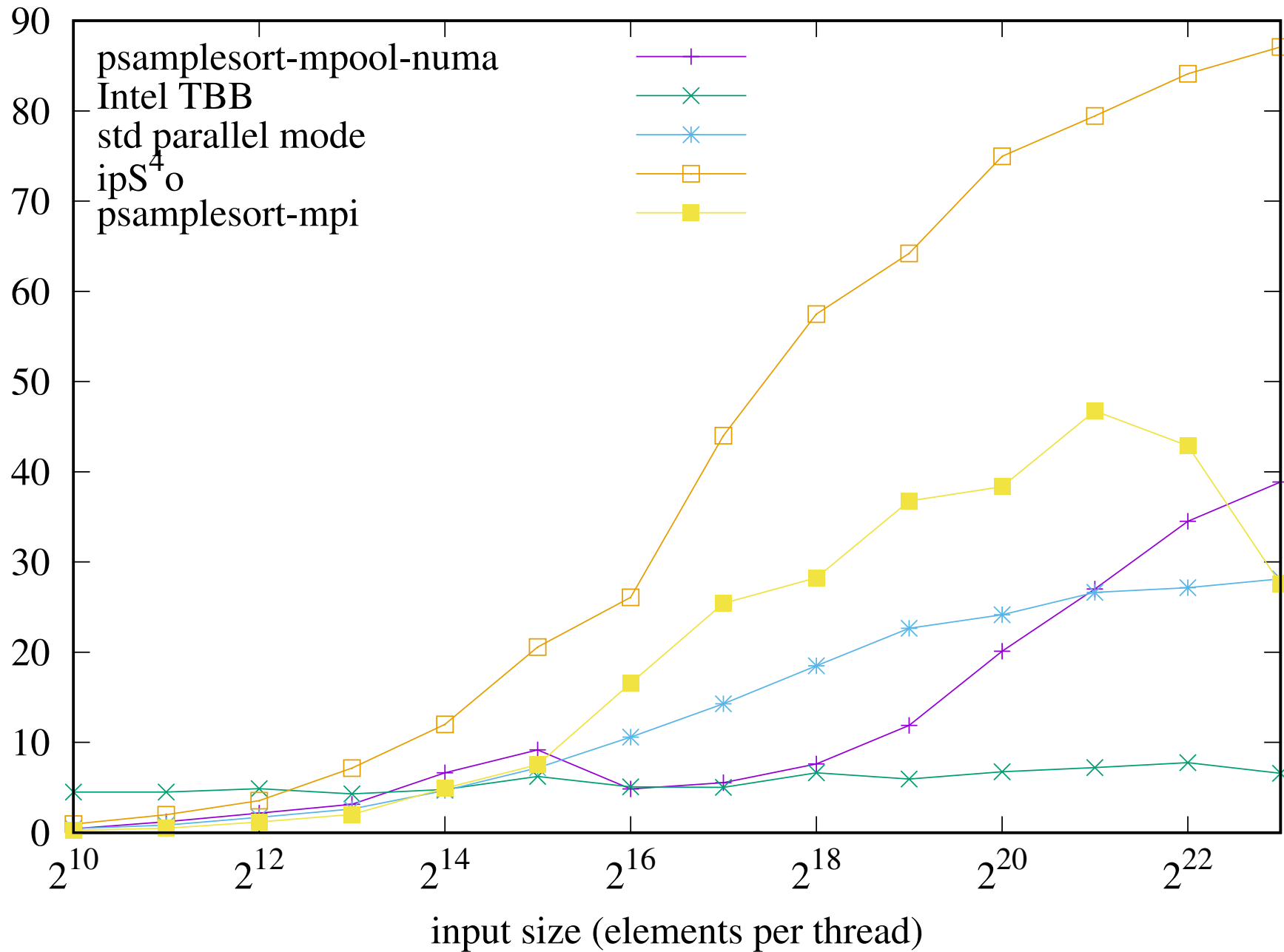


Mehr in "Parallele Algorithmen"

Mehr zu parallelem Sortieren

- Theoretikeralgorithmen mit Laufzeit $O(\log p)$ bei $p = n$
- Praktikable Algorithmen mit Laufzeit $O(\log p)$ für $n = O(\sqrt{p})$ –
wenn schnell wichtiger als effizient ist, z.B. base case
- Sample sort: k -Wegeverallgemeinerung von quicksort
- Paralleles externes Sortieren

Experiments Speedup on 4 × Intel E7-8890 v3 – 72 cores



Mehr zu parallelen Algorithmen – Parallelisierung der Basic Toolbox ?

Verteilte Hashtabellen: geht. Oft teuer \rightsquigarrow [Maier S Dementiev 16]

Prioritätslisten, Suchbäume: ähnliches Problem. Am ehesten **batched updates** \rightsquigarrow [Hübschle-Schn. S Müller 16][Akhremtsev S 16][Williams D S 2017], aktuelle Masterarbeit

BFS: OK bei kleinem Graphdurchmesser

DFS: \approx inhärent nichtparallelisierbar

kürzeste Wege: ähnlich BFS. Aber all-to-all, Vorberechnungen OK, multiobjective OK [Madow S 13]

MST: **Ja!** U.U. große konstante Faktoren [S. Schimek IPDPS 2023]

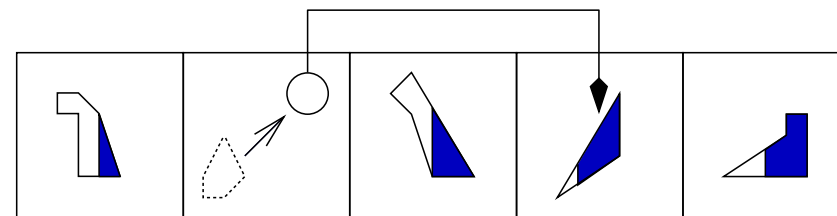
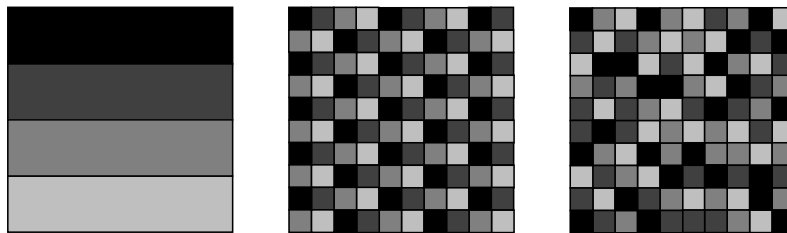
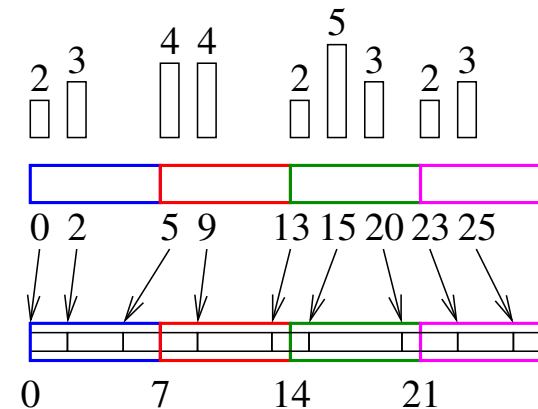
Optimierungstechniken: dynamische Programmierung OK. Greedy???
LP schwierig, Metaheuristiken teils OK

Mehr zu parallelen Algorithmen – Die parallele Basic Toolbox

Kollektive Kommunikation: **Reduktion, Präfixsumme**, allg. Nachrichtenaustausch, Gossiping,...

Lastverteilung

- statisch/dynamisch
- bekannte/unbekannte Jobgrößen
- zentralisiert/vollverteilt



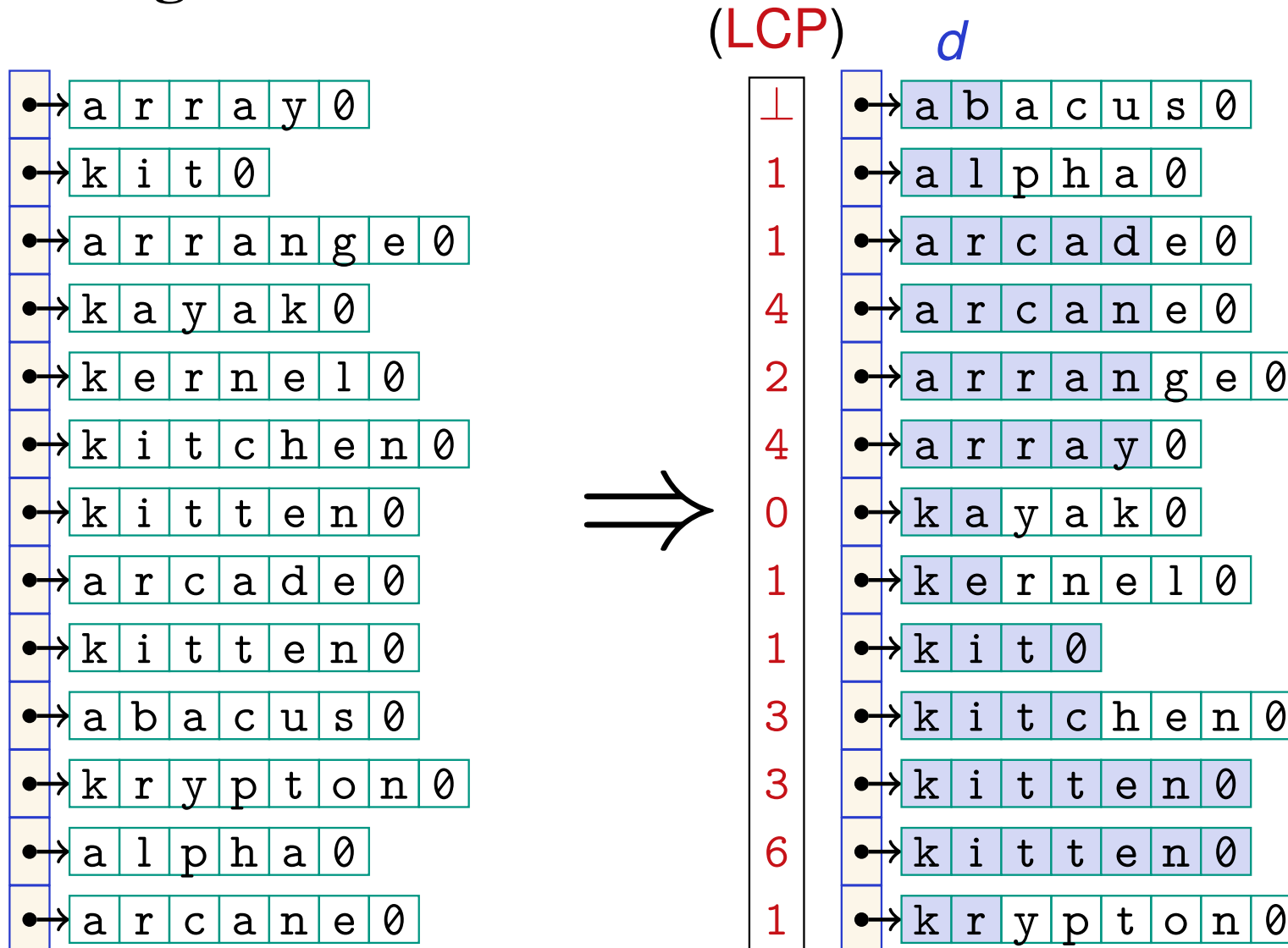
processed by: =PE 0 =PE 1 =PE 2 =PE 3

11 Stringology

(Zeichenkettenalgorithmen)

- Strings sortieren
- Patterns suchen
 - Pattern vorverarbeiten
 - Text vorverarbeiten
 - * Invertierte Indizes
 - * Suffix Trees / Suffix Arrays
- Datenkompression
- Pattern suchen in komprimierten Indizes

Strings Sortieren



Eingabe: n Strings mit N Zeichen insgesamt.

Sortieren: Most Significant Digit Radix Sort

a r r a y

k i t

a r r a n g e

k a y a k

k e r n e l

k i t c h e n

k i t t e n

a r c a d e

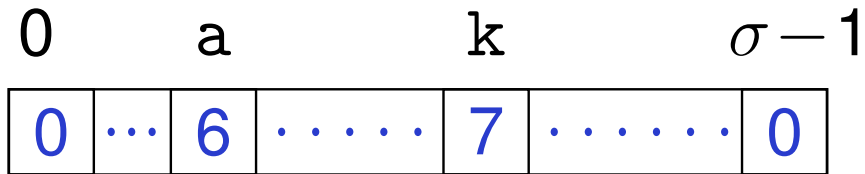
k i t e

a b a c u s

k r y p t o n

a l p h a

a r c a i c



Sortieren: Most Significant Digit Radix Sort

a r r a y

k i t

a r r a n g e

k a y a k

k e r n e l

k i t c h e n

k i t t e n

a r c a d e

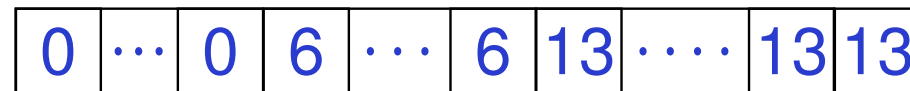
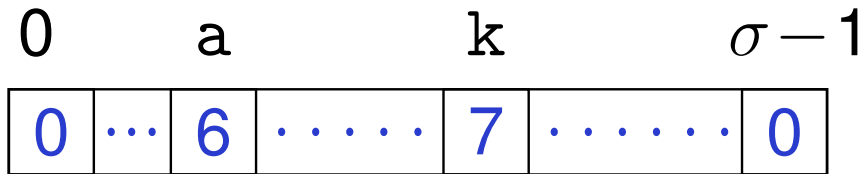
k i t e

a b a c u s

k r y p t o n

a l p h a

a r c a i c



Sortieren: Most Significant Digit Radix Sort

a r r a y

k i t

a r r a n g e

k a y a k

k e r n e l

k i t c h e n

k i t t e n

a r c a d e

k i t e

a b a c u s

k r y p t o n

a l p h a

a r c a i c

0 a k $\sigma - 1$

0	...	6	7	0
---	-----	---	-------	---	-------	---

0	...	0	6	...	6	13	...	13	13
---	-----	---	---	-----	---	----	-----	----	----

Sortieren: Most Significant Digit Radix Sort

a r r a y

a r r a n g e

a r c a d e

a b a c u s

a l p h a

a r c a i c

k i t

k a y a k

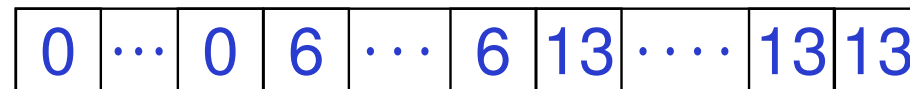
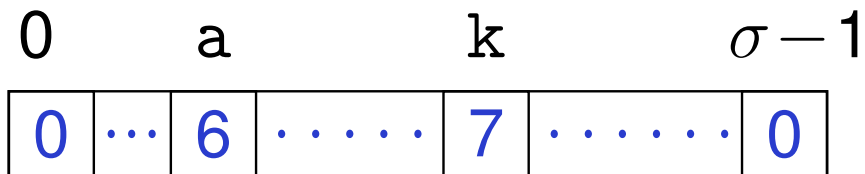
k e r n e l

k i t c h e n

k i t t e n

k i t e

k r y p t o n



- Laufzeit: $\mathcal{O}(d + r\sigma + n \log \sigma)$
- Varianten: out-of-place und in-place!

Sortieren: Most Significant Digit Radix Sort

a	r	r	a	y		
k	i	t				
a	r	r	a	n	g	e
k	a	y	a	k		
k	e	r	n	e	l	
k	i	t	c	h	e	n
k	i	t	t	e	n	
a	r	c	a	d	e	
k	i	t	e			
a	b	a	c	u	s	
k	r	y	p	t	o	n
a	l	p	h	a		
a	r	c	a	i	c	

0	a	k	$\sigma - 1$	
0	...	6 7 0

0	...	0	6	...	6	13	13	13
---	-----	---	---	-----	---	----	-------	----	----

p_1	0	...	2	3	0
p_2	0	...	2	3	0
p_3	0	...	2	1	0

Sortieren: Most Significant Digit Radix Sort

a	r	r	a	y		
k	i	t				
a	r	r	a	n	g	e
k	a	y	a	k		
k	e	r	n	e	l	
k	i	t	c	h	e	n
k	i	t	t	e	n	
a	r	c	a	d	e	
k	i	t	e			
a	b	a	c	u	s	
k	r	y	p	t	o	n
a	l	p	h	a		
a	r	c	a	i	c	

0 a k $\sigma - 1$

0	...	6	7	0
---	-----	---	-------	---	-------	---

0	...	0	6	...	6	13	13	13
---	-----	---	---	-----	---	----	-------	----	----

p_1

0	...	2	3	0
---	-----	---	-------	---	-------	---

p_2

0	...	2	3	0
---	-----	---	-------	---	-------	---

p_3

0	...	2	1	0
---	-----	---	-------	---	-------	---

p_1

0	...	0	6	...	6	13	13	13
---	-----	---	---	-----	---	----	-------	----	----

p_2

0	...	2	6	...	9	13	13
---	-----	---	---	-----	---	----	-------	----

p_3

0	...	4	6	...	12	13	13
---	-----	---	---	-----	----	----	-------	----

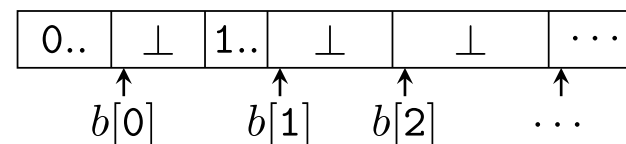
Sortieren: Most Significant Digit Radix Sort

Algorithm : Sequential Radix Sort “CE0”, adapted from [KR08; Ran07]

```

1 Function RadixSortCE0( $\mathcal{S}, h$ )
   Input :  $\mathcal{S} = [s_0, \dots, s_{n-1}]$  an array of  $n$  strings with common prefix  $h$ .
2    $c := [0, \dots, 0]$  // Allocate  $|\Sigma|$  integer counters initialized with zero,
3   for  $i = 0, \dots, n - 1$  do  $c[s_i[h]]++$  // and count character occurrences.
4    $b := [0, \perp, \dots, \perp]$  // Calculate exclusive prefix sum of counters
5   for  $i = 1, \dots, n - 1$  do  $b[i] := b[i - 1] + c[i - 1]$  // as bucket pointers.
6    $\mathcal{T} := \text{allocate}(n, \text{string pointer})$  // Allocate temporary array for sorted output.
7   for  $i = 0, \dots, n - 1$  do // Reorder
8      $\mathcal{T}[b[s_i[h]]] := \text{move}(s_i)$  // into
9      $b[s_i[h]]++$  // buckets
10   $\text{copy}(\mathcal{T} \rightarrow \mathcal{S}), \text{deallocate}(\mathcal{T}, b)$ .
11   $x := c[0]$  // Track beginning of bucket as  $x$ ,
12  for  $i = 1, \dots, |\Sigma| - 1$  do // recurse into every unfinished bucket,
13     $\text{StringSort}(\mathcal{S}[x .. x + c[i]], h + 1)$  // except for the first (zero-termination),
14     $x := x + c[i]$  // which contains all fully sorted strings.
   Output : The array  $\mathcal{S}$  is fully sorted lexicographically.

```



Strings Sortieren: Multikey Quicksort

Auch: MKQS / ternary quicksort

Function `mkqSort(S : Sequence of String, $\ell : \mathbb{N}$) : Sequence of String`

assert $\forall e, e' \in S : e[1..\ell - 1] = e'[1..\ell - 1]$

if $|S| \leq 1$ **then return** S // base case

pick $p \in S$ uniformly at random // pivot string

return concatenation of `mkqSort($\langle e \in S : e[\ell] < p[\ell] \rangle, \ell$)`,
`mkqSort($\langle e \in S : e[\ell] = p[\ell] \rangle, \ell + 1$)`, and
`mkqSort($\langle e \in S : e[\ell] > p[\ell] \rangle, \ell$)`

- Laufzeit: $O(|S| \log |S| + \sum_{t \in S} |t|)$
- genauer: $O(|S| \log |S| + d)$ (d : Summe der **eindeutigen Präfixe**)
- Übung: **in-place!**

Strings Sortieren: Multikey Quicksort

S A A L
B I E N E
E H R E
H A U S
A R M
M I E T E
T A S S E
M O R D
H A N D
S E E
H U N D
H A L L E
N A C H T

Strings Sortieren: Multikey Quicksort

S A A L
B I E N E
E H R E
H A U S
A R M
M I E T E
T A S S E
M O R D
H A N D
S E E
H U N D
H A L L E
N A C H T

p

Strings Sortieren: Multikey Quicksort

B I E N E

E H R E

A R M

H A U S

H A N D

H U N D

H A L L E

S A A L

T A S S E

M I E T E

M O R D

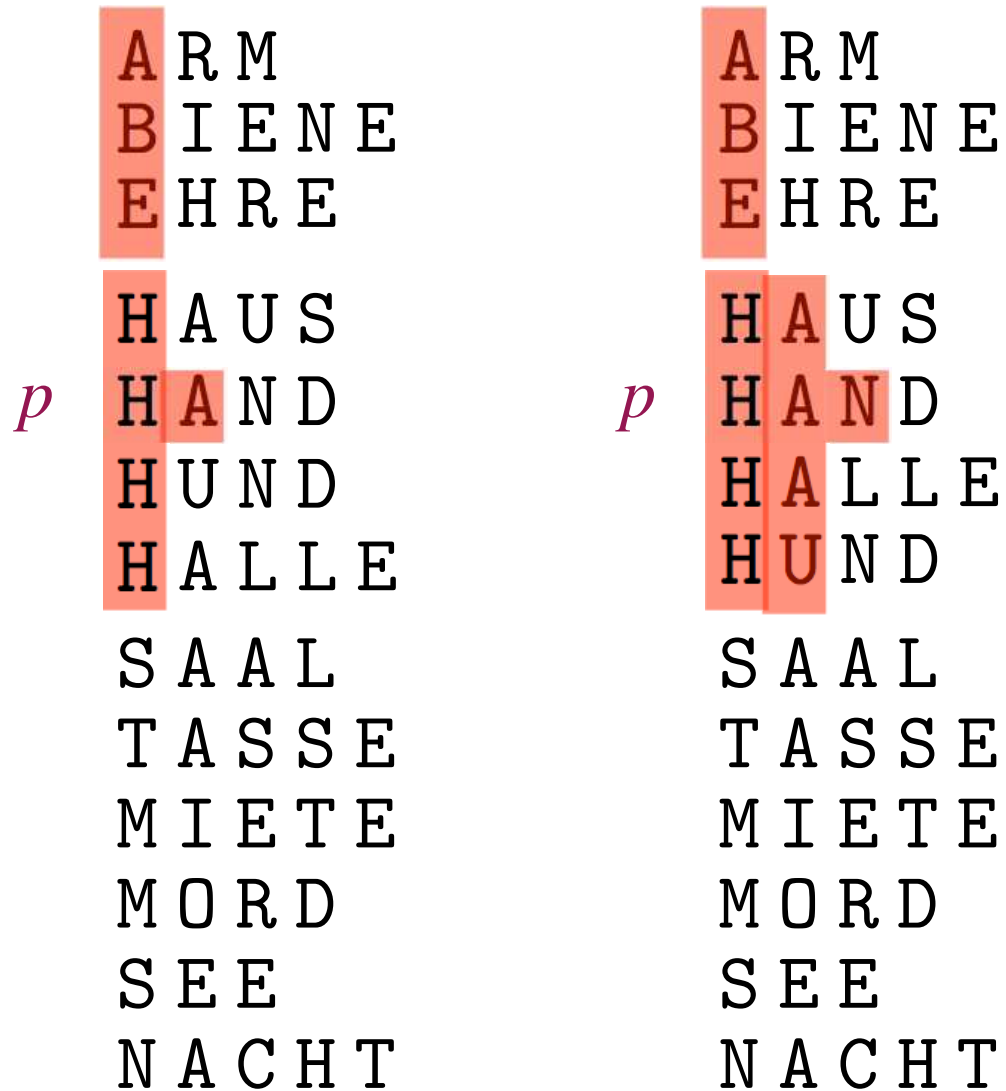
S E E

N A C H T

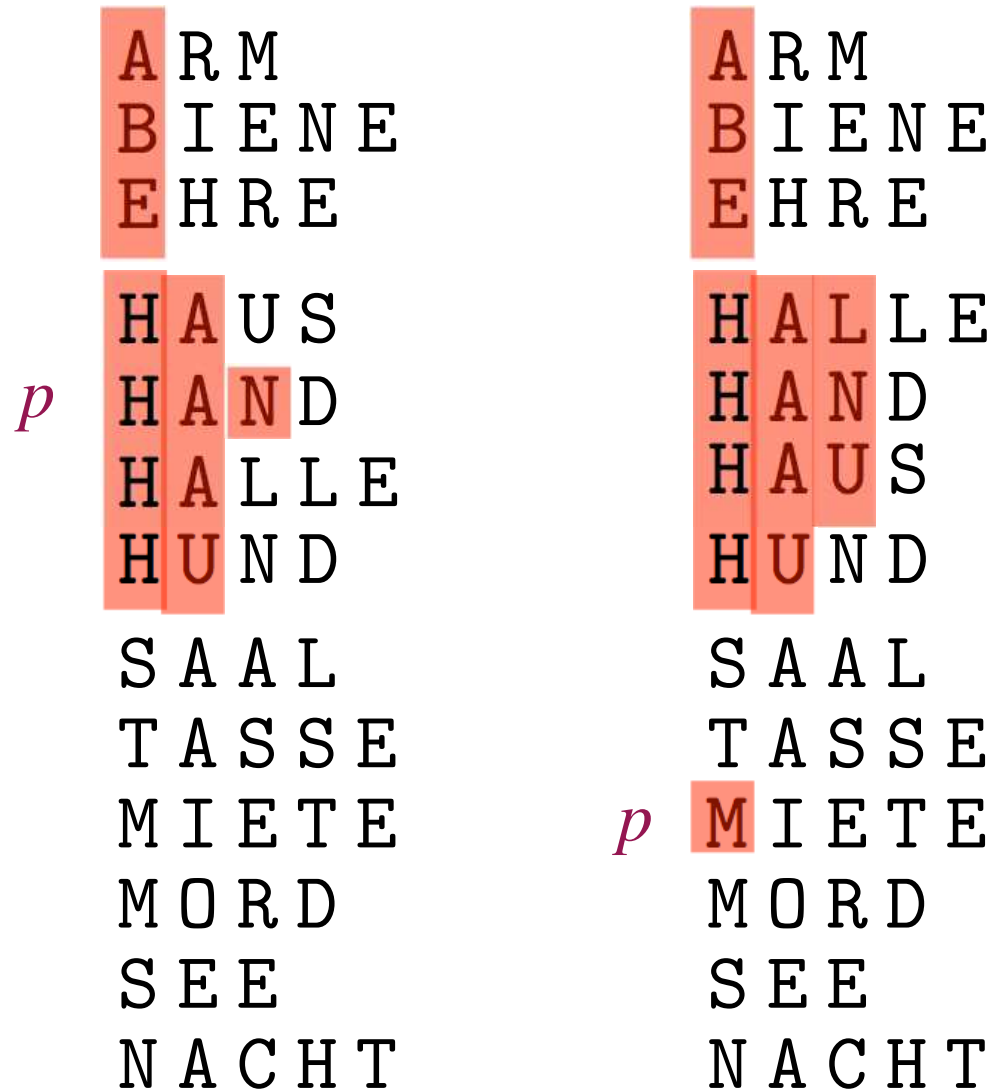
Strings Sortieren: Multikey Quicksort

	B I E N E		A R M
<i>p</i>	E H R E		B I E N E
	A R M		E H R E
	H A U S		H A U S
	H A N D	<i>p</i>	H A N D
	H U N D		H U N D
	H A L L E		H A L L E
	S A A L		S A A L
	T A S S E		T A S S E
	M I E T E		M I E T E
	M O R D		M O R D
	S E E		S E E
	N A C H T		N A C H T

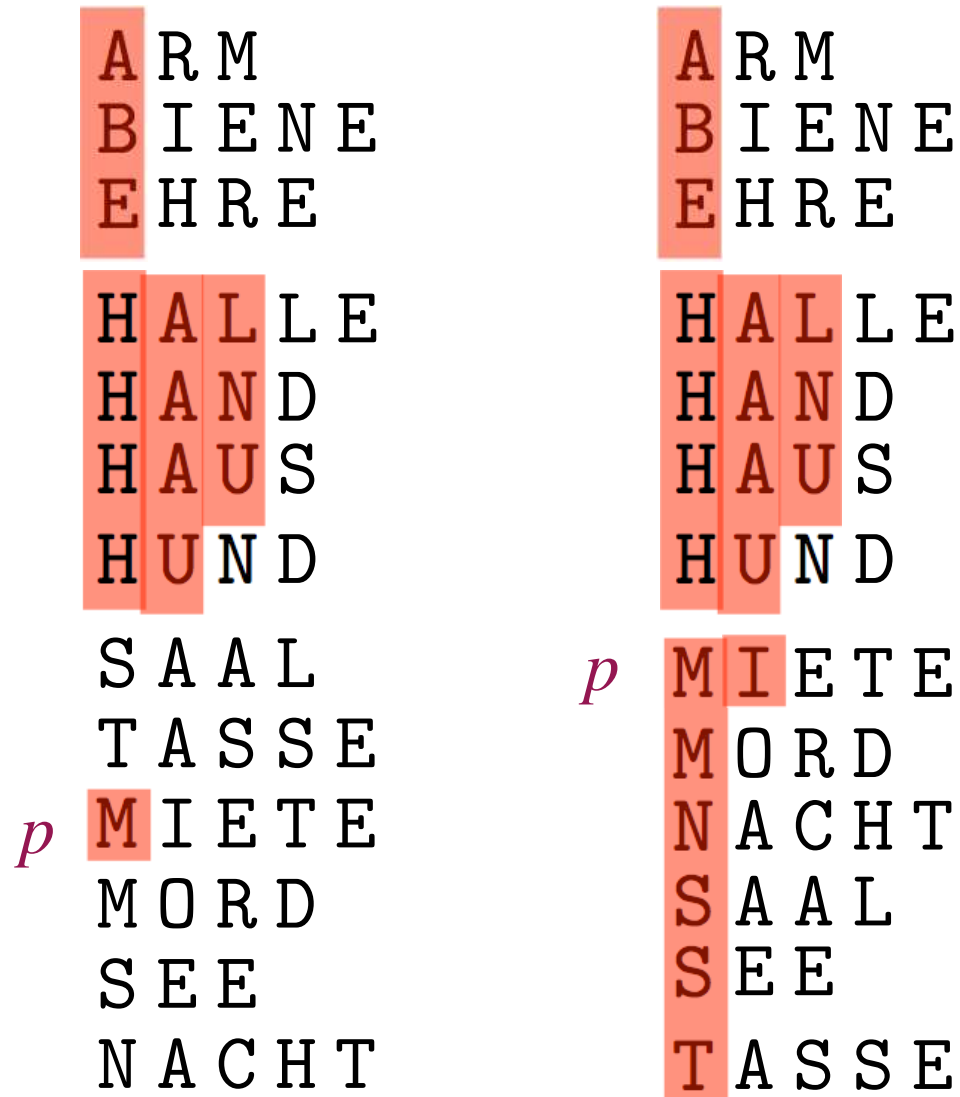
Strings Sortieren: Multikey Quicksort



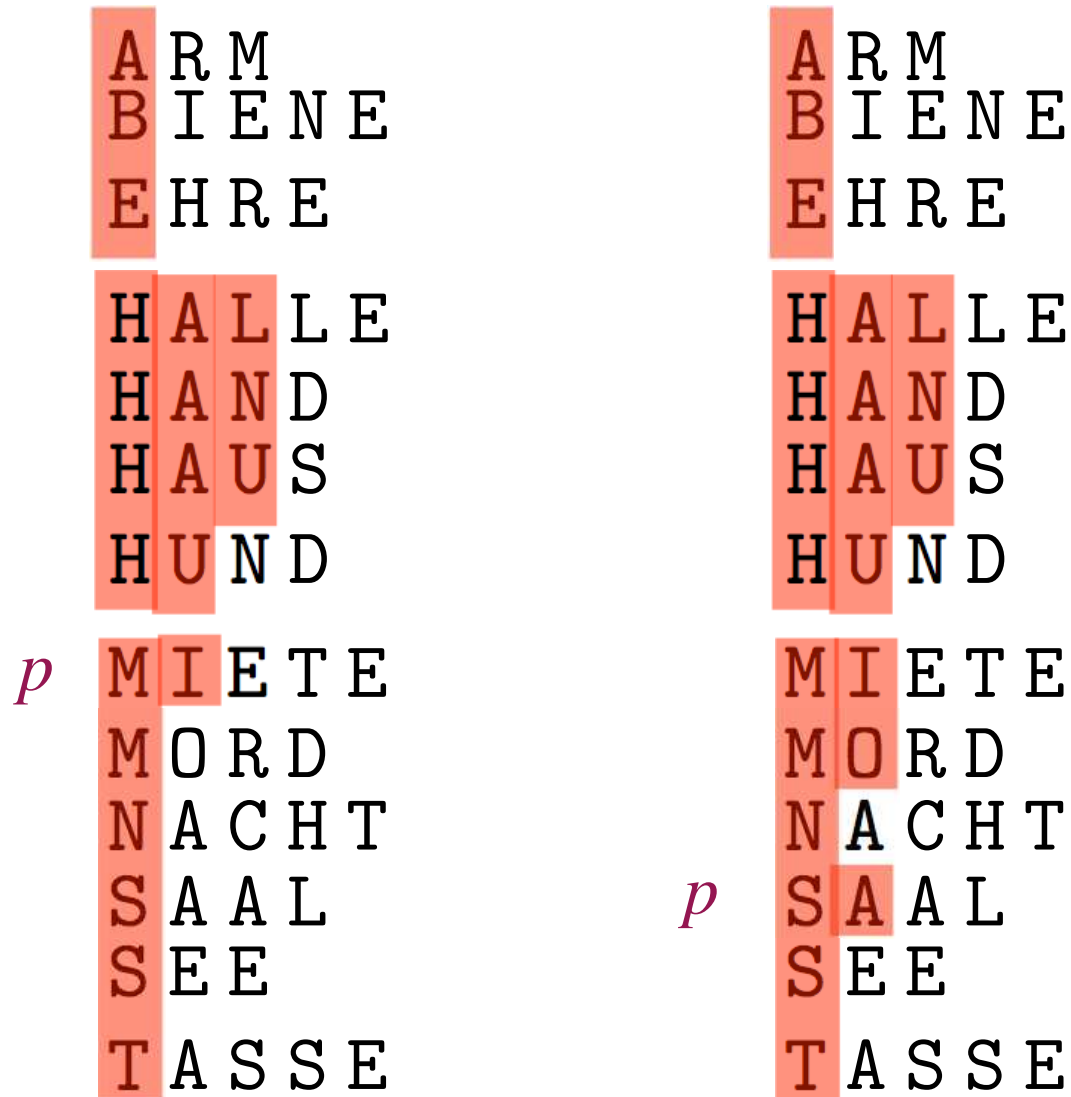
Strings Sortieren: Multikey Quicksort



Strings Sortieren: Multikey Quicksort



Strings Sortieren: Multikey Quicksort



Strings Sortieren (ohne Endzeichen)

Function $\text{mkqSort}(S : \text{Sequence of String}, \ell : \mathbb{N}) : \text{Sequence of String}$

if $|S| \leq 1$ **then return** S

$S_{\perp} \leftarrow \langle e \in S : |e| = \ell \rangle; S \leftarrow S \setminus S_{\perp}$

select pivot $p \in S$

$S_{<} \leftarrow \langle e \in S : e[\ell] < p[\ell] \rangle$

$S_{=} \leftarrow \langle e \in S : e[\ell] = p[\ell] \rangle$

$S_{>} \leftarrow \langle e \in S : e[\ell] > p[\ell] \rangle$

return concatenation of S_{\perp} ,

$\text{mkqSort}(S_{<}, \ell)$,

$\text{mkqSort}(S_{=}, \ell + 1)$, and

$\text{mkqSort}(S_{>}, \ell)$

Strings Sortieren – Laufzeitanalyse

Hauptarbeit in den Buchstabenvergleichen. Zwei Fälle:

- $e[\ell] = p[\ell]$: Ordne den Vergleich dem Zeichen $e[\ell]$ zu.
 - $e[\ell]$ wird danach nicht mehr betrachtet (Rekursion mit $\ell + 1$)
 - Maximale Vergleichszahl pro String e ? Maximale Länge des längsten gemeinsamen Präfix von e mit $e' \in S$.

- $e[\ell] \neq p[\ell]$: Ordne den Vergleich dem String e zu.
 - e wird zu $S_{<}$ oder $S_{>}$ zugeordnet. Mit optimaler Pivotwahl sind beide Mengen höchstens $|S|/2$.
 - Nach höchstens $\log |S|$ Schritten ist e richtig sortiert.

Strings Sortieren: Algorithmen-Übersicht

Sequentielle Basis-Algorithmen

- Radix Sort $O(d + n \log \sigma)$ [McIlroy et al. '95]
- Multikey Quicksort $O(d + n \log n)$ exp. [Bentley, Sedgewick '97]
- Burstsor $O(d + n \log \sigma)$ exp. [Sinha, Zobel '04]
- Binary LCP-Mergesort $O(d + n \log n)$ [Ng, Kakehi '08]

Theoretische Parallele Algorithmen

- “Optimal Parallel String Algorithms: ...” [Hagerup '94]
 $O(\log N / \log \log N)$ time and $O(N \log \log N)$ work on CRCW PRAM

Praktische Parallele und neue Basis-Algorithmen

- Parallel Super Scalar String Sample Sort (pS^5) [B, Sanders, ESA'13]
- Parallel K -way LCP-aware Merge(sort) [B, et al. Algorithmica'17]

Vergleich Sequentielle Algorithmen

Experiment [B'18]: Vergleich von 39 sequentiellen String Sorting Algorithmen und getunten Varianten auf **sieben Eingaben** und **sechs Maschinen**.

Unten: Repräsentative Auswahl der Basis-Algorithmen.

Rang	Algorithmus	GeoM	Rang	Algorithmus	GeoM
1	KR.radixsort-CE6	1.27	10	B.Seq-S ⁵ -UI	1.67
2	KRB.radixsort-CE3s	1.28	14	R.burstersort-vec	1.72
3	KR.radixsort-CE7	1.28	16	SZ.burstersortA	1.78
4	KRB.radixsort-CI3s	1.33	23	BS.mkqs	2.36
5	R.mkqs-cache8	1.34	28	NK.LCP-Mergesort	2.96
6	KR.radixsort-CE2	1.49	34	MBM.radixsort	4.82
7	KR.radixsort-DB	1.55	35	AN.ForwardRadix16	4.88

Ergebnisse:

- **Hardware**-spezifische **Beschleunigungen** sind sehr wichtig.
- **Cachen** von Zeichen reduziert Random-Zugriffe aber kostet Speicher.

Naives Pattern Matching

- Aufgabe: Finde alle Vorkommen von P in T
 - n : Länge von T
 - m : Länge von P
- naiv in $O(nm)$ Zeit

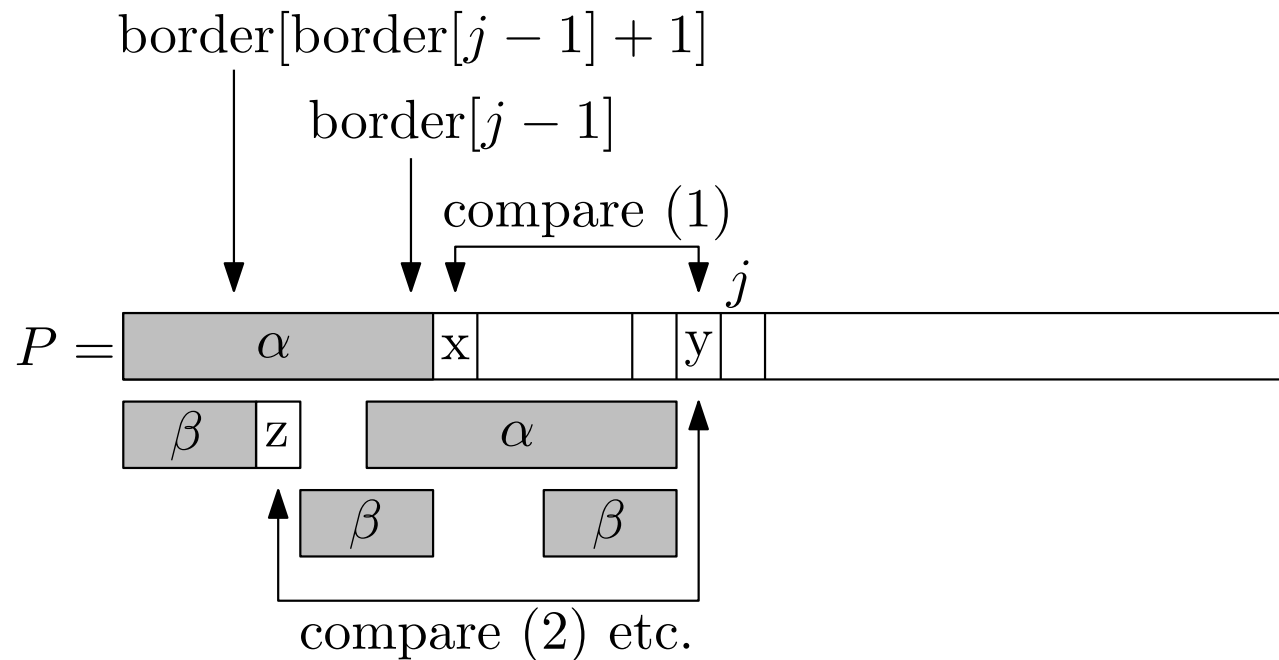
```
 $i, j := 1$  // indexes in  $T$  and  $P$   
while  $i \leq n - m + 1$   
    while  $j \leq m$  and  $t_{i+j-1} = p_j$  do  $j++$  // compare characters  
    if  $j > m$  then print " $P$  occurs at position  $i$  in  $T$ "  
     $i++$  // advance in  $T$   
     $j := 1$  // restart
```


Knuth-Morris-Pratt (1977)

```
i := 1 // index in T
j := 1 // index in P
while  $i \leq n - m + 1$ 
    while  $j \leq m$  and  $t_{i+j-1} = p_j$  do  $j++$  // compare characters
    if  $j > m$  then
        print "P occurs at position i in T"
     $i := i + j - \text{border}[j] - 1$  // advance in T
     $j := \max\{1, \text{border}[j] + 1\}$  // skip first  $\text{border}[j]$  characters of P
```

Berechnung des Border-Arrays

- seien die Werte bis zur Position $j - 1$ bereits berechnet



Berechnung des Border-Arrays

□ in $O(m)$ Zeit:

$\text{border}[1] := -1$

$i := \text{border}[1]$ // position in P

for $j = 2, \dots, m + 1$

while $i \geq 0$ and $p_{i+1} \neq p_{j-1}$ **do** $i = \text{border}[i + 1]$

$i++$

$\text{border}[j] := i$

Volltextsuche von Langsam bis Superschnell

Gegeben: Text S ($n := |S|$), Muster (Pattern) P ($m := |P|$), $n \gg m$

Gesucht: Alle/erstes/nächstes Vorkommen von P in S

naiv: $O(nm)$

P vorverarbeiten: $O(n + m)$

Mit Fehlern: ???

S vorverarbeiten: Textindices. Erstes Vorkommen:

Invertierter Index: gute heuristik

Suffix Array: $O(m \log n) \dots O(m)$

Invertierter Index

- 1 The old night keeper keeps the keep in the town
- 2 In the big old house in the big old gown
- 3 The house in the town had the big old keep
- 4 Where the old night keeper never did sleep
- 5 The night keeper keeps the keep in the night
- 6 And keeps in the dark and sleeps in the light

term t	f_t	Invertierte Liste für t
and	1	(6,2)
big	2	(2,2), (3,1)
dark	1	(6,1)
did	1	(4,1)
gown	1	(2,1)
had	1	(3,1)
house	2	(2,1), (3,1)
in	5	(1,1), (2,2), (3,1), (5,1), (6,2)
keep	3	(1,1), (3,1), (5,1)
...

Etwas “Stringology”-Notation

Alphabet Σ : Menge $\{a, b, c, \dots\}$.

String S : Array $S[0..n) := S[0..n - 1] := [S[0], \dots, S[n - 1]]$
von Buchstaben aus Σ .

Suffix: $S_i := S[i..n)$

Endmarkierungen: $S[n] := S[n + 1] := \dots := 0$
 0 ist kleiner als alle anderen Zeichen

$S = \text{banana} :$

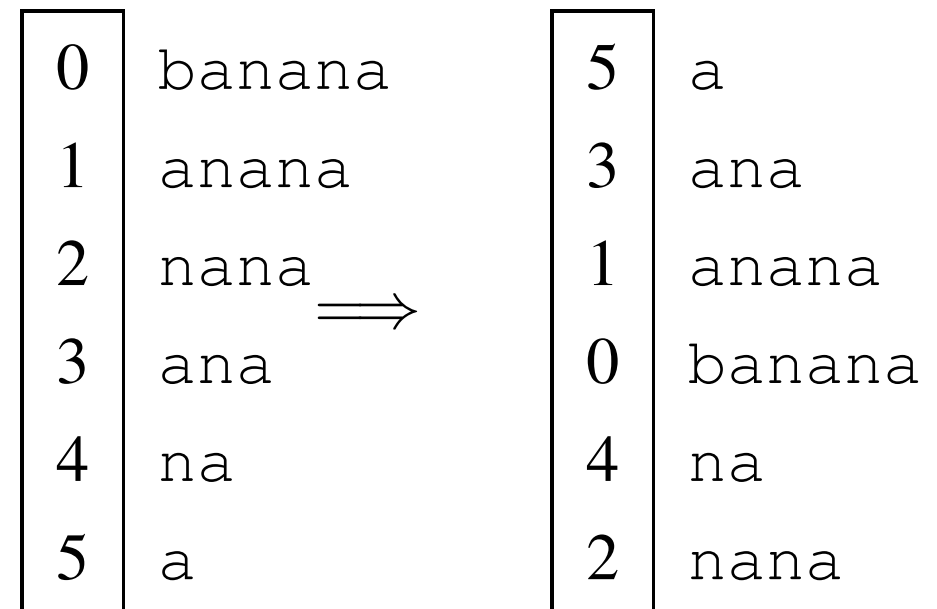
0	banana
1	anana
2	nana
3	ana
4	na
5	a

Suffixe Sortieren

Sortiere die Menge $\{S_0, S_1, \dots, S_{n-1}\}$
 von Suffixen des Strings S der Länge n
 (Alphabet $[1, n] = \{1, \dots, n\}$)
 in lexikographische Reihenfolge.

□ suffix $S_i = S[i, n]$ für $i \in [0..n - 1]$

$S = \text{banana}$:



Anwendungen

- Volltextsuche
- Burrows-Wheeler Transformation (`bzip2` Kompressor)
- Ersatz für kompliziertere **Suffixbäume**
- Bioinformatik: Wiederholungen suchen (in $O(n)$ möglich?) ,...

Volltextsuche

Suche **Muster (pattern)** $P[0..m]$ im Text $S[0..n]$
mittels Suffix-Tabelle SA of S .

Binäre Suche: $O(m \log n)$ gut für kurze Muster

Binäre Suche mit lcp: $O(m + \log n)$ falls wir die
längsten gemeinsamen (common) Präfixe
zwischen verglichenen Zeichenketten vorberechnen

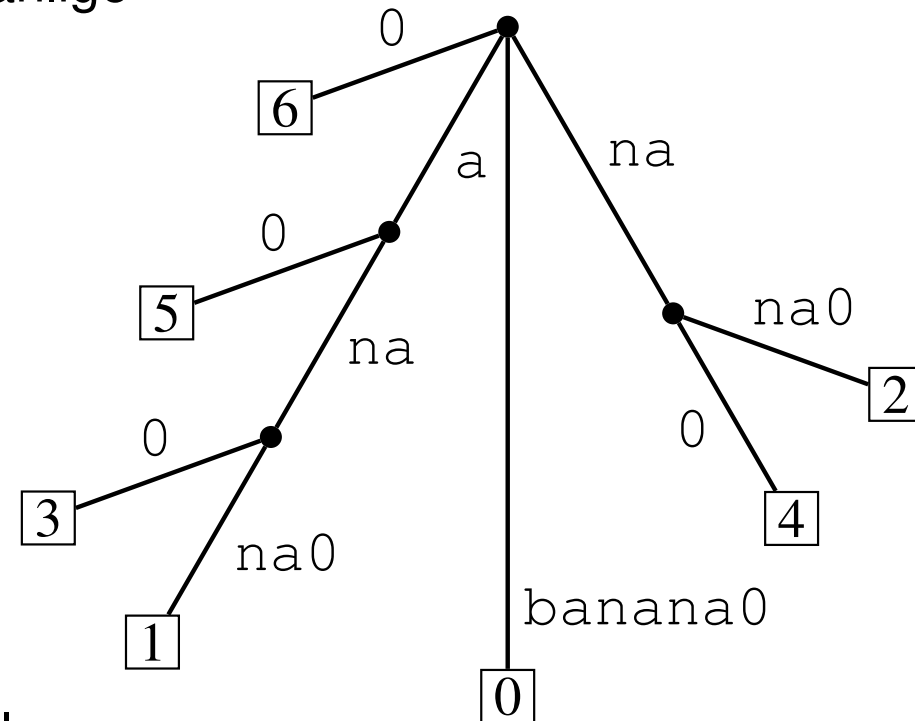
Suffix-Baum: $O(n)$ kann aus **SA berechnet werden**

Suffix-Baum

[Weiner '73][McCreight '76][Ukkonen '95]

- kompaktierter Trie der Suffixe
- + Zeit $O(n)$ [Farach 97] für ganzzahlige Alphabete
- + Mächtigstes Werkzeug der Stringology?
- Hoher Platzverbrauch
- Effiziente direkte Konstruktion ist kompliziert
- kann aus SA in Zeit $O(n)$ abgelesen werden

$S = \text{banana0}$



Suche in Suffix-Bäumen

- Suche (alle/ein) Vorkommen von $P_{1..m}$ in T :
- Wenn ausgehende Kanten Arrays der Größe $|\Sigma|$:
 - $O(m)$ Suchzeit
 - $O(n|\Sigma|)$ Gesamtplatz
- Wenn ausgehende Kanten Arrays der Größe prop. zur #Kinder:
 - $O(m \log |\Sigma|)$ Suchzeit
 - $O(n)$ Platz

Alphabet-Modell

Geordnetes Alphabet: Zeichen können nur **verglichen** werden

Konstante Alphabetgröße: endliche Menge
deren Größe nicht von n abhängt.

Ganzzahliges Alphabet: Alphabet ist $\{1, \dots, \sigma\}$
für eine ganze Zahl $\sigma \geq 2$

Geordnetes \rightarrow ganzzahliges Alphabet

Sortiere die Zeichen von S

Ersetze $S[i]$ durch seinen Rang

012345 135024

banana \rightarrow aaabnn

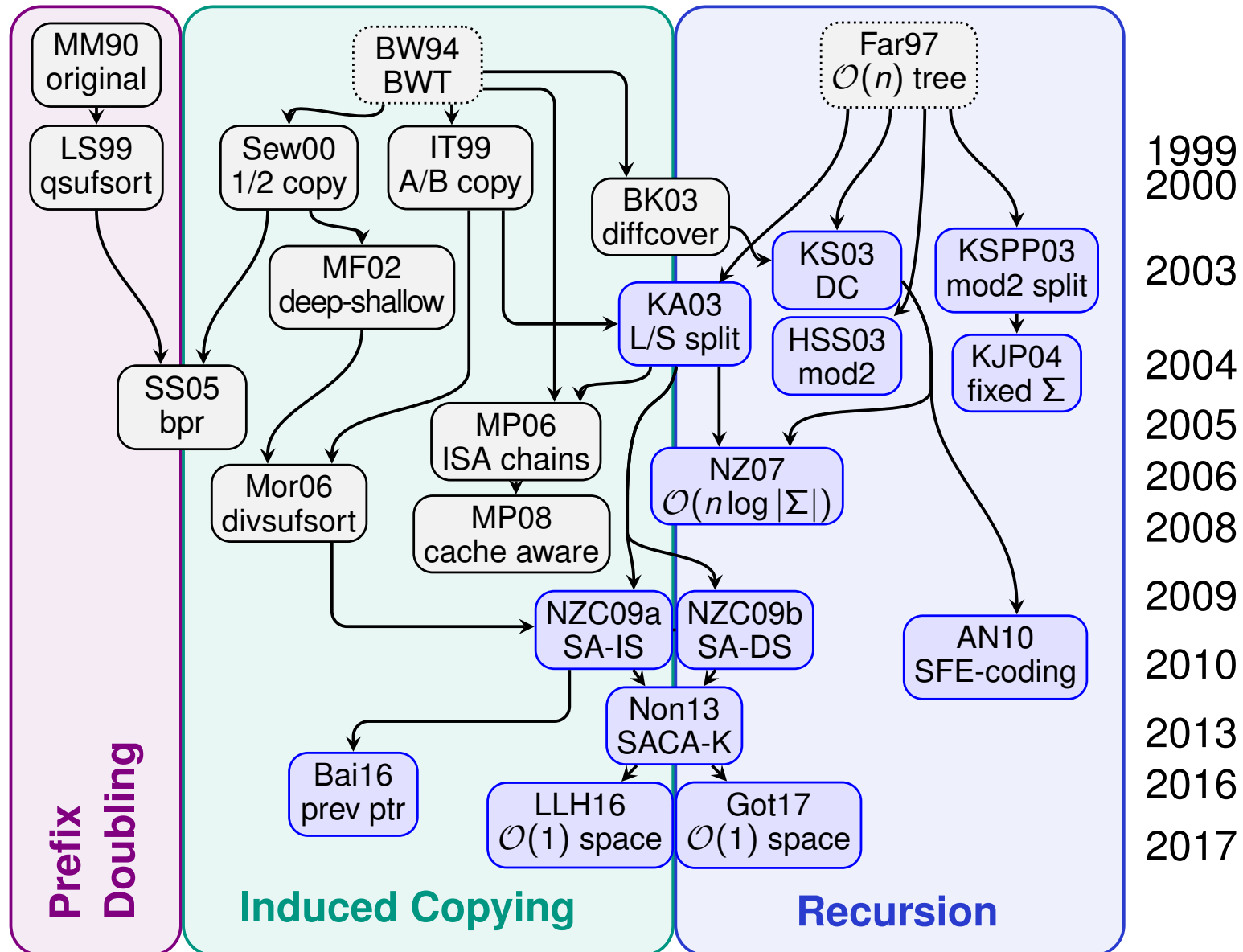
213131 \leftarrow 111233

Verallgemeinerung: Lexikographische Namen

Sortiere die k -Tupel $S[i..i+k)$ für $i \in 1..n$

Ersetze $S[i]$ durch den Rang von $S[i..i+k)$ unter den Tupeln

Suffix Array Konstruktionsalgorithmen



SA mit Präfix Verdopplung

[Larsson, Sadakane'99]

i	SA ₀ [i]	T _i	ISA ₀ [i]	L
0	0	t o b e o r n o t t o b e \$	0	-
1	1	o b e o r n o t t o b e \$	1	-
2	2	b e o r n o t t o b e \$	2	-
3	3	e o r n o t t o b e \$	3	-
4	4	o r n o t t o b e \$	4	-
5	5	r n o t t o b e \$	5	-
6	6	n o t t o b e \$	6	-
7	7	o t t o b e \$	7	-
8	8	t t o b e \$	8	-
9	9	t o b e \$	9	-
10	10	o b e \$	10	-
11	11	b e \$	11	-
12	12	e \$	12	-
13	13	\$	13	-

SA mit Präfix Verdopplung

[Larsson, Sadakane'99]

i	SA ₁ [i]	T _i	ISA ₁ [i]	L
0	13	0 \$	11	-1
1	2	1 b e o r n o t t o b e \$	6	2
2	11	1 b e \$	1	-
3	3	3 e o r n o t t o b e \$	3	2
4	12	3 e \$	6	-
5	6	5 n o t t o b e \$	10	-1
6	1	6 o b e o r n o t t o b e \$	5	4
7	4	6 o r n o t t o b e \$	6	-
8	7	o t t o b e \$	11	-
9	10	o b e \$	11	-
10	5	10 r n o t t o b e \$	6	-1
11	0	11 t o b e o r n o t t o b e \$	1	3
12	8	t t o b e \$	3	-
13	9	t o b e \$	0	-

SA mit Präfix Verdopplung

[Larsson, Sadakane'99]

i	SA ₁ [i]	T _i	ISA[SA[i] + 1]	ISA ₁ [i]	L
0	13	0 \$		11	-1
1	2	1 b e 3	o r n o t t o b e \$	6	2
2	11	1 b e 3	\$	1	-
3	3	3 e o 6	r n o t t o b e \$	3	2
4	12	3 e \$ 0		6	-
5	6	5 n o t t o b e \$		10	-1
6	1	6 o b 1	e o r n o t t o b e \$	5	4
7	4	6 o r 10	o t t o b e \$	6	-
8	7	o t 11	; o b e \$	11	-
9	10	o b 1	e \$	11	-
10	5	10 r n o t t o b e \$		6	-1
11	0	11 t o 6	o e o r n o t t o b e \$	1	3
12	8	t t 11	o b e \$	3	-
13	9	t o 6	o e \$	0	-

SA mit Präfix Verdopplung

[Larsson, Sadakane'99]

i	SA ₂ [i]	T _i	ISA[SA[i] + 1]	ISA ₁ [i]	L
0	13	0	\$	11	-1
1	2	1	b e 3	6	2
2	11	1	b e 3	1	-
3	12	3	e \$ 0	3	-3
4	3	3	e o 6	6	-
5	6	5	n o t t o b e \$	10	-
6	1	6	o b 1 e o r n o t t o b e \$	5	2
7	10	6	o b 1 e \$	6	-
8	4	10	o r 10 o t t o b e \$	11	-3
9	7	10	o t 11 o b e \$	11	-
10	5	10	r n o t t o b e \$	6	-
11	0	11	t o 6 o e o r n o t t o b e \$	1	2
12	9	11	t o 6 o e \$	3	-
13	8	11	t t 11 o b e \$	0	-1

SA mit Präfix Verdopplung

[Larsson, Sadakane'99]

i	SA ₂ [i]	T _i	ISA[SA[i] + 1]	ISA ₂ [i]	L
0	13	0	\$	11	-1
1	2	1	b e 3	6	2
2	11	1	b e 3	1	-
3	12	3	e \$ 0	4	-3
4	3	4	e o 6	8	-
5	6	5	n o t t o b e \$	10	-
6	1	6	o b 1	5	2
7	10	6	o b 1	9	-
8	4	8	o r 10	13	-3
9	7	9	o t 11	11	-
10	5	10	r n o t t o b e \$	6	-
11	0	11	t o 6	1	2
12	9	11	t o 6	3	-
13	8	13	t t 11	0	-1

SA mit Präfix Verdopplung

[Larsson, Sadakane'99]

i	SA ₂ [i]	T _i	ISA[SA[i] + 2]	ISA ₂ [i]	L
0	13	0	\$	11	-1
1	2	1	b e o8r n o t t o b e \$	6	2
2	11	1	b e \$0	1	-
3	12	3	e \$	4	-3
4	3	4	e o r n o t t o b e \$	8	-
5	6	5	n o t t o b e \$	10	-
6	1	6	o b e4o r n o t t o b e \$	5	2
7	10	6	o b e3\$	9	-
8	4	8	o r n o t t o b e \$	13	-3
9	7	9	o t t o b e \$	11	-
10	5	10	r n o t t o b e \$	6	-
11	0	11	t o b1e o r n o t t o b e \$	1	2
12	9	11	t o b1e \$	3	-
13	8	13	t t o b e \$	0	-1

SA mit Präfix Verdopplung

[Larsson, Sadakane'99]

i	SA ₄ [i]	T _i	ISA[SA[i] + 2]	ISA ₂ [i]	L
0	13	0	\$	11	-11
1	11	1	b e \$0	6	-
2	2	1	b e o8r n o t t o b e \$	1	-
3	12	3	e \$	4	-
4	3	4	e o r n o t t o b e \$	8	-
5	6	5	n o t t o b e \$	10	-
6	10	6	o b e3\$	5	-
7	1	6	o b e4o r n o t t o b e \$	9	-
8	4	8	o r n o t t o b e \$	13	-
9	7	9	o t t o b e \$	11	-
10	5	10	r n o t t o b e \$	6	-
11	0	11	t o b1e o r n o t t o b e \$	1	2
12	9	11	t o b1e \$	3	-
13	8	13	t t o b e \$	0	-1

SA mit Präfix Verdopplung

[Larsson, Sadakane'99]

i	SA ₄ [i]	T _i	ISA[SA[i] + 2]	ISA ₄ [i]	L
0	13	0	\$	11	-11
1	11	1	b e \$0	7	-
2	2	2	b e o8r n o t t o b e \$	2	-
3	12	3	e \$	4	-
4	3	4	e o r n o t t o b e \$	8	-
5	6	5	n o t t o b e \$	10	-
6	10	6	o b e3\$	5	-
7	1	7	o b e4o r n o t t o b e \$	9	-
8	4	8	o r n o t t o b e \$	13	-
9	7	9	o t t o b e \$	11	-
10	5	10	r n o t t o b e \$	6	-
11	0	11	t o b1e o r n o t t o b e \$	1	2
12	9	11	t o b1e \$	3	-
13	8	13	t t o b e \$	0	-1

SA mit Präfix Verdopplung

[Larsson, Sadakane'99]

i	SA ₄ [i]	T _i	ISA[SA[i] + 4]	ISA ₄ [i]	L
0	13	0	\$	11	-11
1	11	1	b e \$	7	-
2	2	2	b e o r n o t t o b e \$	2	-
3	12	3	e \$	4	-
4	3	4	e o r n o t t o b e \$	8	-
5	6	5	n o t t o b e \$	10	-
6	10	6	o b e \$	5	-
7	1	7	o b e o r n o t t o b e \$	9	-
8	4	8	o r n o t t o b e \$	13	-
9	7	9	o t t o b e \$	11	-
10	5	10	r n o t t o b e \$	6	-
11	0	11	t o b e o r n o t t o b e \$	1	2
12	9	12	t o b e \$	3	-
13	8	13	t t o b e \$	0	-1

SA mit Präfix Verdopplung

[Larsson, Sadakane'99]

i	SA ₈ [i]	T _i	ISA[SA[i] + 4]	ISA ₄ [i]	L
0	13	0	\$	11	-14
1	11	1	b e \$	7	-
2	2	2	b e o r n o t t o b e \$	2	-
3	12	3	e \$	4	-
4	3	4	e o r n o t t o b e \$	8	-
5	6	5	n o t t o b e \$	10	-
6	10	6	o b e \$	5	-
7	1	7	o b e o r n o t t o b e \$	9	-
8	4	8	o r n o t t o b e \$	13	-
9	7	9	o t t o b e \$	11	-
10	5	10	r n o t t o b e \$	6	-
11	9	11	t o b e \$ 0	3	-
12	0	12	t o b e o r 8 n o t t o b e \$	1	-
13	8	13	t t o b e \$	0	-

SA mit Präfix Verdopplung

[Larsson, Sadakane'99]

i	SA ₈ [i]	T _i	ISA[SA[i] + 4]	ISA ₈ [i]	L
0	13	0	\$	12	-14
1	11	1	b e \$	7	-
2	2	2	b e o r n o t t o b e \$	2	-
3	12	3	e \$	4	-
4	3	4	e o r n o t t o b e \$	8	-
5	6	5	n o t t o b e \$	10	-
6	10	6	o b e \$	5	-
7	1	7	o b e o r n o t t o b e \$	9	-
8	4	8	o r n o t t o b e \$	13	-
9	7	9	o t t o b e \$	11	-
10	5	10	r n o t t o b e \$	6	-
11	9	11	t o b e \$ 0	3	-
12	0	12	t o b e o r 8 n o t t o b e \$	1	-
13	8	13	t t o b e \$	0	-

SA mit Präfix Verdopplung

[Larsson, Sadakane'99]

Idee (aus [MM93]): Sortiere Suffixe bis zu $2h$ Zeichen tief mittels Informationen über die Ordnung der Suffixe bis zur Tiefe h .

Def.: Die h -Ordnung ist die lexikographische Ordnung bis zur Tiefe h .

Original [MM93]: Sortiere alle Suffix s_i mit dem Rang von s_i in einer h -Ordnung als ersten Sortier-Schlüssel und dem Rang von $s_i + h$ als zweiten Sortier-Schlüssel. Dies ergibt eine $2h$ -Ordnung.

Definitionen [LS99]: Wenn SA_h in einer h -Ordnung sind, dann

1. nennt man eine maximale Sequenz aufeinanderfolgender Suffixe in SA_h mit den gleichen h initialen Zeichen eine h -Gruppe.
2. Eine h -Gruppe der Länge eins nennt man sortiert oder Singleton, anderenfalls heißt eine Gruppe unsortiert. Eine maximale Sequenz von sortierten Gruppen heißt eine konsolidierte sortierte Gruppe.

SA mit Präfix Verdopplung

[Larsson, Sadakane'99]

Algorithmus [LS'99]: Präfix Verdopplung

Gegeben ist ein Text T der Länge $n := |T|$.

1. Enumeriere alle Suffixe in einem Array SA_0 durch $SA_0[i] = i$.
2. Sortiere SA_0 nach $T[i]$ für Index i und erhalte SA_1 . Setze $h = 1$.
3. Für $i = 0, \dots, n$ setze $ISA_1[i]$ auf den aktuellen Rang der 1-Gruppe von Suffix i . Dies ist der kleinste Index in $SA_1[i]$ der ein Suffix mit dem gleichen ersten Buchstaben wie das Suffix i .
4. Für jede unsortierte Gruppe in $SA_1[a..b]$ setze $L[a]$ auf dessen Länge. Für jede konsolidierte sortierte Gruppe in $SA_1[a..b]$, setze $L[a]$ auf seine negierte Länge.

SA mit Präfix Verdopplung

[Larsson, Sadakane'99]

- Sortiere jede unsortierte Gruppe in SA_h (mit multikey quicksort), mittels $ISA_h[SA_h[i] + h]$ als den Sortier-Schlüssel für Index i . Verwende L um die unsortierten Gruppen zu finden. Erhalte SA_{2h} .
- Betrachte Folgen gleicher Schlüssel in den eben sortierten Gruppen: markiere Singletons mit -1 in L und unsortierte $2h$ -Gruppen mit positiven Längen. Konsolidiere die negativen Sprungwerte aufeinanderfolgende sortierte Gruppen.
- Aktualisiere ISA_{2h} für alle bearbeiteten Gruppen, setze $h := 2h$.
- Wenn SA_h noch unsortierte Gruppen enthält ($L[0] \neq -n$), goto 5.

Laufzeit: $\mathcal{O}(n \log n)$. Platz: $8n (+ 1n)$. Worst-case Eingabe: $[a^n]$.

Suffixtabellen

aus

Linear Work Suffix Array Construction

Juha Kärkkäinen, Peter Sanders, Stefan Burkhardt

Journal of the ACM

Seiten 1–19, Nummer 6, Band 53.

Ein erster Teile-und-Herrsche-Ansatz

1. $SA^1 = \text{sort} \{S_i : i \text{ ist ungerade}\}$ (Rekursion)
2. $SA^0 = \text{sort} \{S_i : i \text{ ist gerade}\}$ (einfach mittels SA^1)
3. Mische SA^0 und SA^1 (schwierig)

Problem: wie vergleicht man gerade und ungerade Suffixe?

[Farach 97] hat einen Linearzeitalgorithmus für

Suffix-**Baum**-Konstruktion entwickelt, der auf dieser Idee beruht.

Sehr **kompliziert**.

Das war auch der einzige bekannte Algorithmus für Suffix-**Tabellen**

(läßt sich leicht aus S-Baum ablesen.)

SA¹ berechnen

- Erstes Zeichen weglassen.

banana → anana

- Ersetze Buchstabenpaare durch Ihre **lexikographischen Namen**

an	an	a0
----	----	----

 → 221

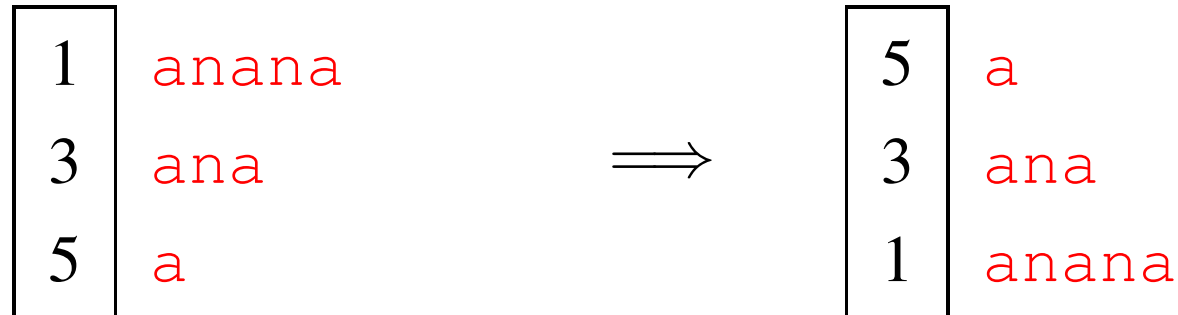
- Rekursion

⟨1, 21, 221⟩

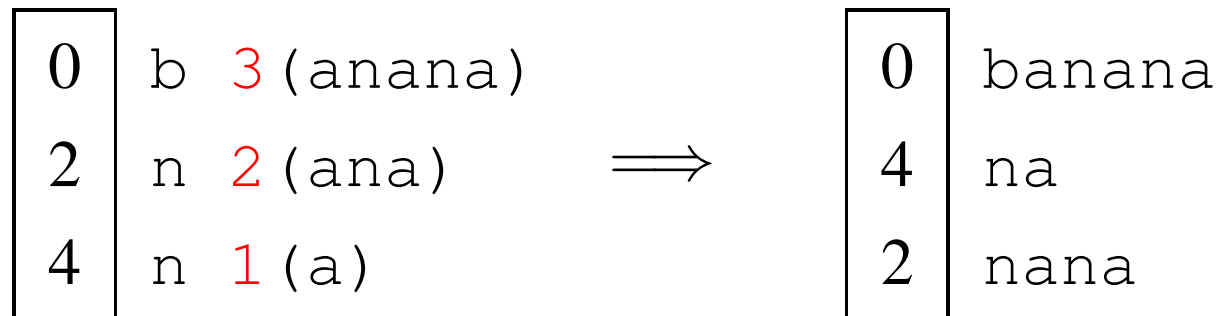
- Rückübersetzen

⟨a, ana, anana⟩

Berechne SA^0 aus SA^1



Ersetze $S_i, i \bmod 2 = 0$ durch $(S[i], r(S_{i+1}))$
 mit $r(S_{i+1}) :=$ Rang von S_{i+1} in SA^1

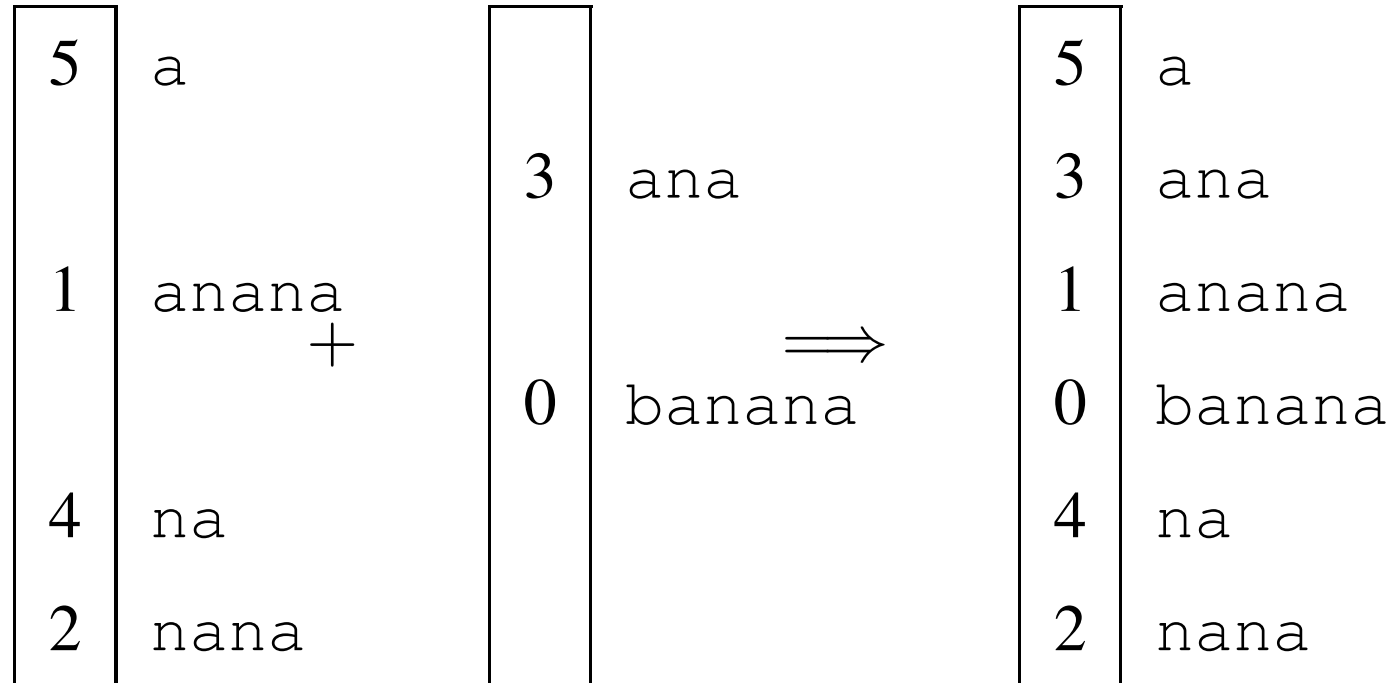


Radix-Sort

Asymmetrisches Divide-and-Conquer

1. $SA^{12} = \text{sort } \{S_i : i \bmod 3 \neq 0\}$ (Rekursion)
2. $SA^0 = \text{sort } \{S_i : i \bmod 3 = 0\}$ (einfach mittels SA^{12})
3. Mische SA^{12} und SA^0 (einfach!)

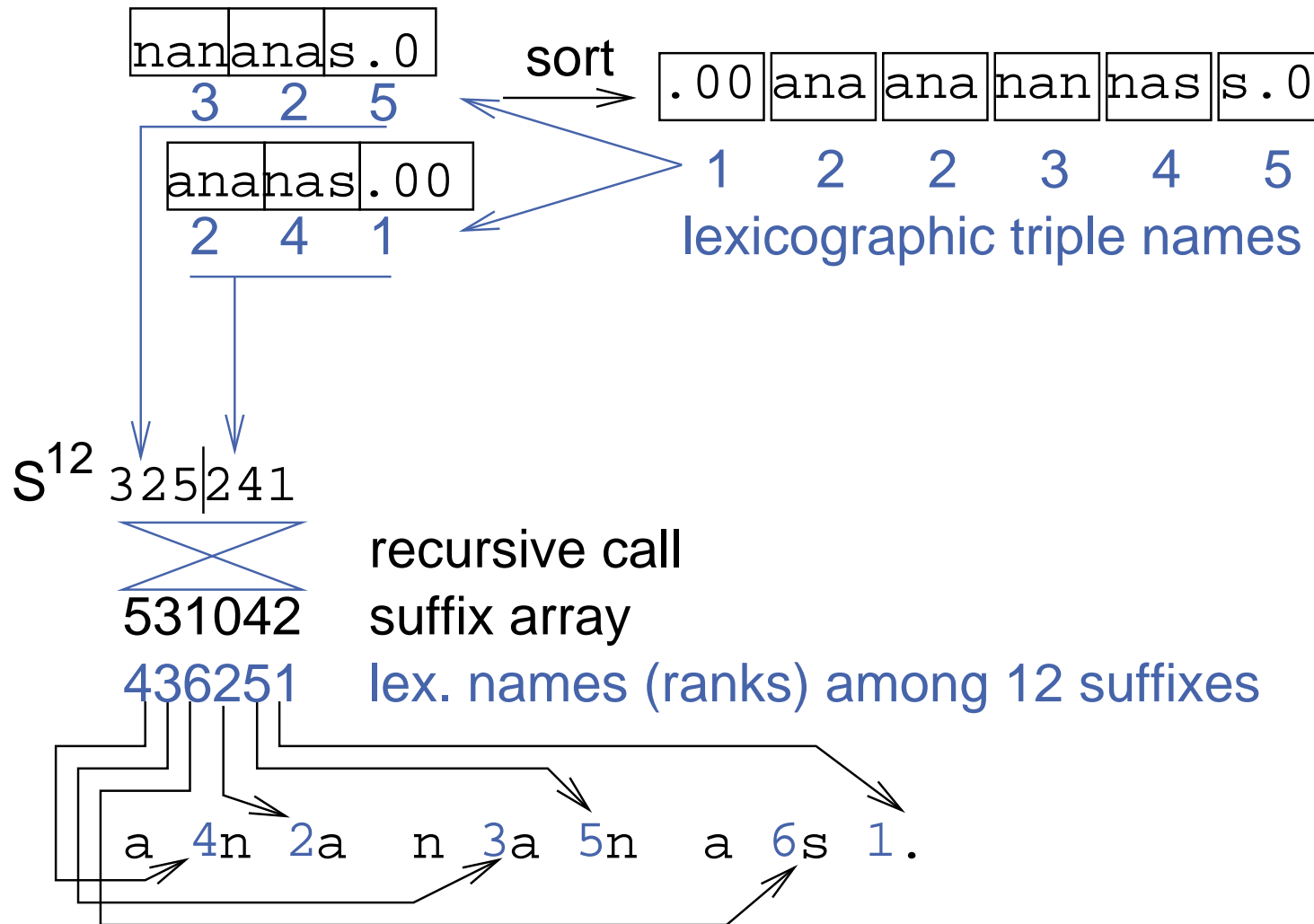
$S = \text{banana}$



Rekursion, Beispiel

012345678

S anananas.



Rekursion

- **sortiere Tripel** $S[i..i+2]$ für $i \bmod 3 \neq 0$
(LSD Radix-Sortieren)
- Finde **lexikographische Namen** $S'[1..2n/3]$ der Tripel,
(d.h., $S'[i] < S'[j]$ gdw $S[i..i+2] < S[j..j+2]$)
- $S^{12} = [S'[i] : i \bmod 3 = 1] \circ [S'[i] : i \bmod 3 = 2]$,
Suffix S_i^{12} von S^{12} repräsentiert S_{3i+1}
Suffix $S_{n/3+i}^{12}$ von S^{12} repräsentiert S_{3i+2}
- **Rekursion** auf (S^{12}) (Alphabetgröße $\leq 2n/3$)
- Annotiere die 12-Suffixe mit ihrer Position in rek. Lösung

Least Significant Digit First Radix Sort

Hier: Sortiere n 3-Tupel von ganzen Zahlen $\in [0..n]$ in
lexikographische Reihenfolge

Sortiere nach 3. Position

Elemente sind nach Pos. 3 sortiert

Sortiere **stabil** nach 2. Position

Elemente sind nach Pos. 2,3 sortiert

Sortiere **stabil** nach 1. Position

Elemente sind nach Pos. 1,2,3 sortiert

Stabiles Ganzzahliges Sortieren

Sortiere $a[0..n)$ nach $b[0..n)$ mit $\text{key}(a[i]) \in [0..n]$

$c[0..n] := [0, \dots, 0]$

for $i \in [0..n)$ do $c[a[i]]++$

$s := 0$

for $i \in [0..n)$ do $(s, c[i]) := (s + c[i], s)$

for $i \in [0..n)$ do $b[c[a[i]]++] := a[i]$

Zähler

zähle

Präfixsummen

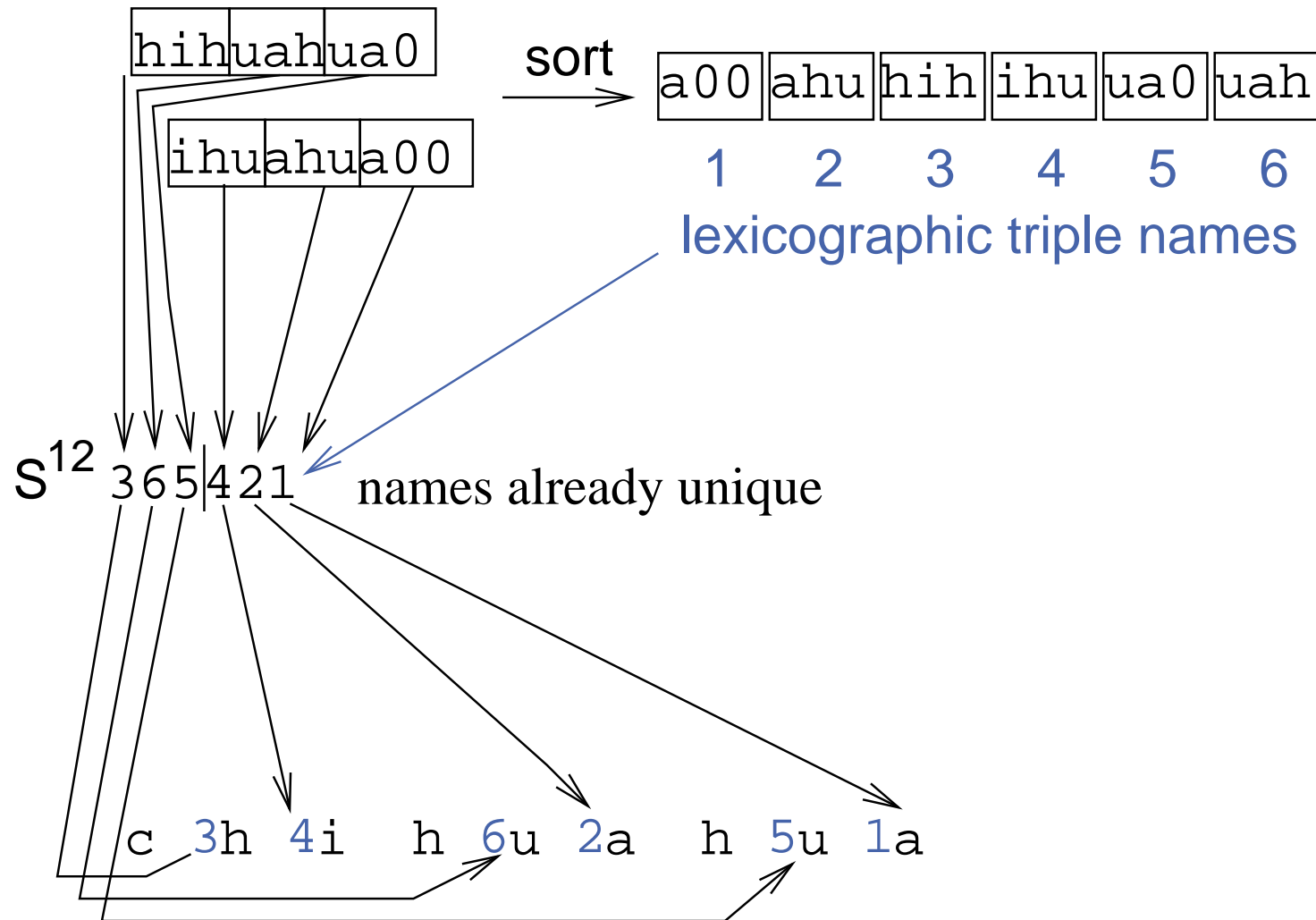
bucket sort

Zeit $O(n)$!

Rekursions-Beispiel: Einfacher Fall

012345678

S chihuahua



Sortieren der mod 0 Suffixe

0	c	3	(h	4	i	h	6	u	2	a	h	5	u	1	a)
1															
2															
3	h	6	(u	2	a	h	5	u	1	a)					
4															
5															
6	h	5	(u	1	a)										
7															
8															

Benutze Radix-Sort (LSD-Reihenfolge bereits bekannt)

Mische SA^{12} und SA^0

$0 < 1 \Leftrightarrow c_n < c_n$	4:	(6) u 2 (ahua)
$0 < 2 \Leftrightarrow cc_n < cc_n$	7:	(5) u 1 (a)
3:	2:	(4) i h 6 (uahua)
6:	1:	(3) h 4 (ihuahua)
0:	5:	(2) a h 5 (ua)
c 3 h 4 (ihuahua)	8:	(1) a 0 0 0 (0)

⇓

- 8: a
- 5: ahua
- 0: chihuahua
- 1: hihuahua
- 6: hua
- 3: huahua
- 2: ihuahua
- 7: ua
- 4: uahua

Analyse

1. Rekursion: $T(2n/3)$ plus

Tripel extrahieren: $O(n)$ (forall $i, i \bmod 3 \neq 0$ do ...)

Tripel sortieren: $O(n)$

(e.g., LSD-first radix sort — 3 Durchgänge)

Lexikographisches benennen: $O(n)$ (scan)

Rekursive Instanz konstruieren: $O(n)$ (forall names do ...)

2. SA^0 =sortiere $\{S_i : i \bmod 3 = 0\}$: $O(n)$

(1 Radix-Sort Durchgang)

3. mische SA^{12} and SA^0 : $O(n)$

(gewöhnliches Mischen mit merkwürdiger Vergleichsfunktion)

Insgesamt: $T(n) \leq cn + T(2n/3)$

$\Rightarrow T(n) \leq 3cn = O(n)$

Implementierung: Vergleichs-Operatoren

```
inline bool leq(int a1, int a2,    int b1, int b2) {  
    return(a1 < b1 || a1 == b1 && a2 <= b2);  
}  
inline bool leq(int a1, int a2, int a3,    int b1, int b2, int b3) {  
    return(a1 < b1 || a1 == b1 && leq(a2,a3, b2,b3));  
}
```


Implementierung: Radix-Sortieren

```
// stably sort a[0..n-1] to b[0..n-1] with keys in 0..K from r
static void radixPass(int* a, int* b, int* r, int n, int K)
{ // count occurrences
  int* c = new int[K + 1];           // counter array
  for (int i = 0; i <= K; i++) c[i] = 0; // reset counters
  for (int i = 0; i < n; i++) c[r[a[i]]]++; // count occurrences
  for (int i = 0, sum = 0; i <= K; i++) { // exclusive prefix sums
    int t = c[i]; c[i] = sum; sum += t;
  }
  for (int i = 0; i < n; i++) b[c[r[a[i]]]++] = a[i]; // sort
  delete [] c;
}
```

Implementierung: Tripel Sortieren

```
void suffixArray(int* s, int* SA, int n, int K) {
    int n0=(n+2)/3, n1=(n+1)/3, n2=n/3, n02=n0+n2;
    int* s12 = new int[n02 + 3]; s12[n02]= s12[n02+1]= s12[n02+2]=0;
    int* SA12 = new int[n02 + 3]; SA12[n02]=SA12[n02+1]=SA12[n02+2]=0;
    int* s0 = new int[n0];
    int* SA0 = new int[n0];

    // generate positions of mod 1 and mod 2 suffixes
    // the "+(n0-n1)" adds a dummy mod 1 suffix if n%3 == 1
    for (int i=0, j=0; i < n+(n0-n1); i++) if (i%3 != 0) s12[j++] = i;

    // lsb radix sort the mod 1 and mod 2 triples
    radixPass(s12 , SA12, s+2, n02, K);
    radixPass(SA12, s12 , s+1, n02, K);
    radixPass(s12 , SA12, s , n02, K);
}
```

Implementierung: Lexikographisches Benennen

```
// find lexicographic names of triples
int name = 0, c0 = -1, c1 = -1, c2 = -1;
for (int i = 0; i < n02; i++) {
    if (s[SA12[i]] != c0 || s[SA12[i]+1] != c1 || s[SA12[i]+2] != c2) {
        name++; c0 = s[SA12[i]]; c1 = s[SA12[i]+1]; c2 = s[SA12[i]+2];
    }
    if (SA12[i] % 3 == 1) { s12[SA12[i]/3] = name; } // left half
    else { s12[SA12[i]/3 + n0] = name; } // right half
}
```

Implementierung: Rekursion

```
// recurse if names are not yet unique
if (name < n02) {
    suffixArray(s12, SA12, n02, name);
    // store unique names in s12 using the suffix array
    for (int i = 0; i < n02; i++) s12[SA12[i]] = i + 1;
} else // generate the suffix array of s12 directly
    for (int i = 0; i < n02; i++) SA12[s12[i] - 1] = i;
```

Implementierung: Sortieren der mod 0 Suffixe

```
for (int i=0, j=0; i < n02; i++)  
    if (SA12[i] < n0) s0[j++] = 3*SA12[i];  
radixPass(s0, SA0, s, n0, K);
```

Implementierung: Mischen

```
for (int p=0, t=n0-n1, k=0; k < n; k++) {
#define GetI() (SA12[t] < n0 ? SA12[t] * 3 + 1 : (SA12[t] - n0) * 3 + 2)
    int i = GetI(); // pos of current offset 12 suffix
    int j = SA0[p]; // pos of current offset 0 suffix
    if (SA12[t] < n0 ?
        leq(s[i], s12[SA12[t] + n0], s[j], s12[j/3]) :
        leq(s[i],s[i+1],s12[SA12[t]-n0+1], s[j],s[j+1],s12[j/3+n0]))
    { // suffix from SA12 is smaller
        SA[k] = i; t++;
        if (t == n02) { // done --- only SA0 suffixes left
            for (k++; p < n0; p++, k++) SA[k] = SA0[p];
        }
    } else {
        SA[k] = j; p++;
        if (p == n0) { // done --- only SA12 suffixes left
            for (k++; t < n02; t++, k++) SA[k] = GetI();
        }
    }
}
delete [] s12; delete [] SA12; delete [] SA0; delete [] s0; }
```

Verallgemeinerung: Differenzenüberdeckungen

Ein **Differenzenüberdeckung** D modulo v ist eine Teilmenge von $[0, v)$,
so dass $\forall i \in [0, v) : \exists j, k \in D : i \equiv k - j \pmod{v}$.

Beispiel:

$\{1, 2\}$ ist eine Differenzenüberdeckung modulo 3.

$\{1, 2, 4\}$ ist eine Differenzenüberdeckung modulo 7.

- Führt zu platzeffizienterer Variante
- Schneller für kleine Alphabete

Verbesserungen / Verallgemeinerungen

- tuning
- größere **Differenzenüberdeckungen**
- Kombiniere mit den besten Alg. für einfache Eingaben
[Manzini Ferragina 02, Schürmann Stoye 05, Yuta Mori 08]

Suffixtabellenkonstruktion: Zusammenfassung

- einfache, direkte, Linearzeit für Suffixtabellenkonstruktion
- einfach anpassbar auf fortgeschrittene Berechnungsmodelle
- Verallgemeinerung auf Diff-Überdeckungen ergibt platzeffiziente Implementierung

Suche in Suffix Arrays

Given: T , SA , P .

$l := 1; r := n + 1$

while $l < r$ **do** //search left index

$q := \lfloor \frac{l+r}{2} \rfloor$

if $P >_{\text{lex}} T_{SA[q] \dots \min\{SA[q]+m-1, n\}}$

then $l := q + 1$ **else** $r := q$

$s := l; l--; r := n$

while $l < r$ **do** //search right index

$q := \lceil \frac{l+r}{2} \rceil$

if $P =_{\text{lex}} T_{SA[q] \dots \min\{SA[q]+m-1, n\}}$

then $l := q$ **else** $r := q - 1$

return $[s, l]$

□ Zeit $O(m \log n)$ (geht auch: $O(m + \log n)$)

LCP-Array

speichert Längen der **längsten gemeinsamen Präfixe** lexikographisch benachbarter Suffixe!

$S = \text{banana}$:

0	banana
1	anana
2	nana
3	ana
4	na
5	a

SA =

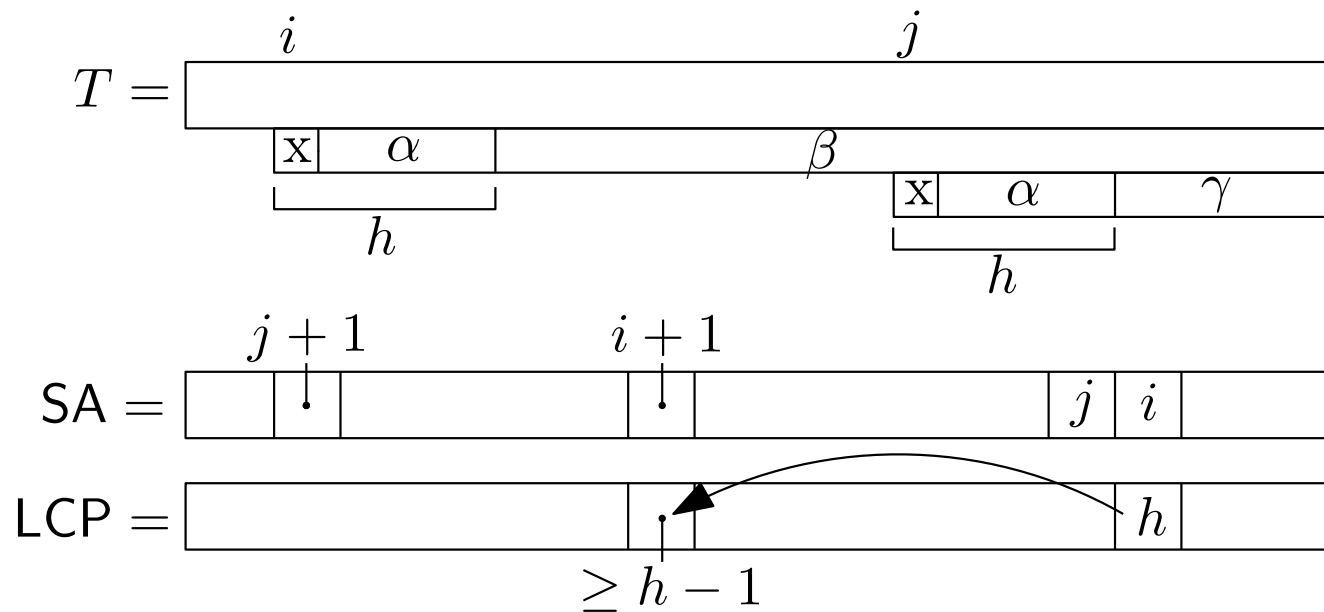
5	a
3	ana
1	anana
0	banana
4	na
2	nana

LCP =

⊥	a
1	a na
3	ana na
0	banana
0	na
2	na na

LCP-Array: Berechnung

- **naiv** $O(n^2)$
- inverses Suffix-Array: $SA^{-1}[SA[i]] = i$ (wo steht i in SA?)
- For all $1 \leq i < n$: $LCP[SA^{-1}[i+1]] \geq LCP[SA^{-1}[i]] - 1$.



LCP-Array: Berechnung

□ For all $1 \leq i < n$: $\text{LCP}[\text{SA}^{-1}[i+1]] \geq \text{LCP}[\text{SA}^{-1}[i]] - 1$.

$h := 0, \text{LCP}[1] := 0$

for $i = 1, \dots, n$ **do**

if $\text{SA}^{-1}[i] \neq 1$ **then**

while $t_{i+h} = t_{\text{SA}[\text{SA}^{-1}[i]-1]+h}$ **do** $h++$

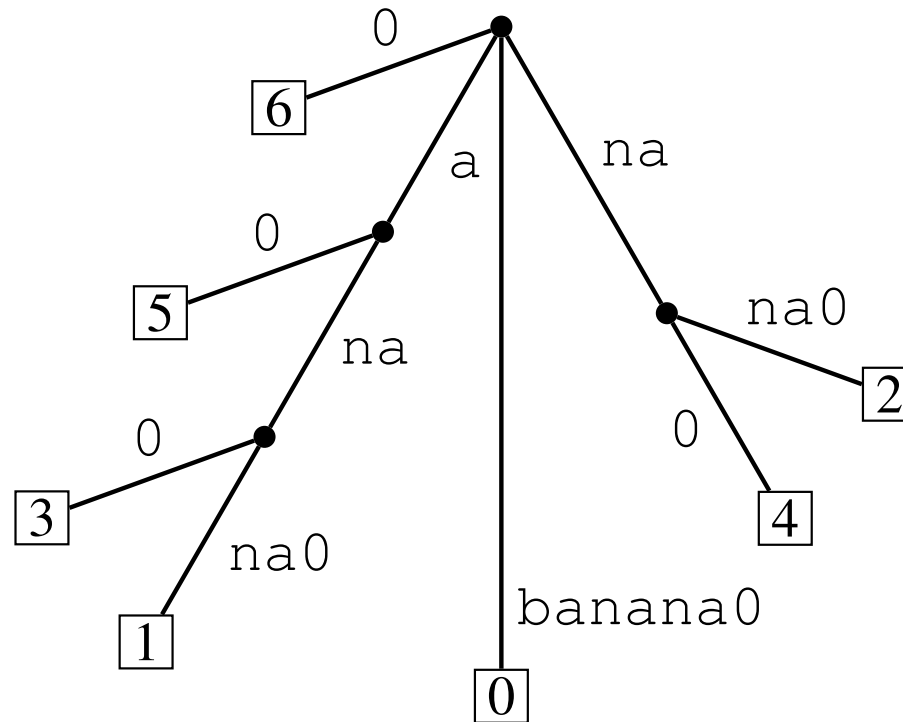
$\text{LCP}[\text{SA}^{-1}[i]] := h$

$h := \max(0, h - 1)$

□ Zeit: $O(n)$

Suffix-Baum aus SA und LCP

$S = \text{banana0}$



□ naiv: $O(n^2)$

□ mit Suffix-Array: in **lexikographischer Reihenfolge**

Suffix-Baum aus SA und LCP

- LCP-Werte helfen!
- Betrachte nur **rechtesten Pfad!**
- Finde tiefsten Knoten mit String-Tiefe $\leq \text{LCP}[i] \rightsquigarrow$ **Einfügepunkt!**

	0	1	2	3	4	5	6
SA =	6	5	3	1	0	4	2
LCP =	0	0	1	3	0	0	2

- Zeit $O(n)$

Datenkompression

Problem: bei naiver Speicherung verbrauchen Daten sehr viel **Speicherplatz / Kommunikationsbandbreite**. Das läßt sich oft reduzieren.

Varianten:

- Verlustbehaftet (mp3, jpg, ...) / **Verlustfrei** (Text, Dateien, Suchmaschinen, Datenbanken, medizin. Bildverarbeitung, Profifotografie, ...)
- 1D** (text, Zahlenfolgen,...) / 2D (Bilder) / 3D (Filme)
- nur Speicherung** / mit Operationen (\rightsquigarrow succinct data structures)

Verlustfreie Textkompression

Gegeben: Alphabet Σ

String $S = \langle s_1, \dots, s_n \rangle \in \Sigma^*$

Textkompressionsalgorithmus $f : S \rightarrow f(S)$ mit $|f(S)|$ (z.B. gemessen in bits) möglichst klein.

Theorie Verlustfreier Textkompression

Informationstheorie. Zum Beispiel

Entropie: $H(S) = \sum_{c \in \Sigma} p(c) \log(1/p(c))$ wobei

$p(c) = |\{s_i : s_i = c\}|/n$ die relative Häufigkeit von c ist.

untere Schranke für **# bits** pro Zeichen **falls Text einer Zufallsquelle entspränge.**

↪ Huffman-Coding ist annähernd optimal! (Entropiecodierung) ????

Schon eher:

Entropie höherer Ordnung betrachte Teilstrings fester Länge

“Ultimativ”: Kolmogorov Komplexität. Leider nicht berechenbar.

Theorie Verlustfreier Textkompression

Entropie höherer Ordnung: Gegeben ein Text S der Länge n über dem Alphabet Σ . Wir definieren $N(\omega, S)$ als Konkatenation aller Zeichen, die in S auf Vorkommen von $\omega \in \Sigma^k$ folgen. Wir definieren die **empirische Entropie der Ordnung k** wie folgt:

$$H_k(S) = \sum_{\omega \in \Sigma^k} \frac{|N(\omega, S)|}{n} H(N(\omega, S))$$

Beispiel: $S = \text{ananas}$, $k = 2$

$N(\text{an}, S) = \text{aa}$, $N(\text{na}, S) = \text{ns}$, $N(\text{as}, S) = \varepsilon$.

$H_2(\text{ananas}) = \frac{2}{6} H(\text{ns}) = \frac{1}{3}$ bits

Theorie Verlustfreier Textkompression

Werte der empirischen Entropie in der Praxis

$H_k(S)$ in bits und (# eindeutiger Kontexte/ $|S|$ in Prozent)

k	dblp.xml		DNA		english		proteins	
	bits	unique	bits	unique	bits	unique	bits	unique
0	5.26	0.0	1.97	0.0	4.53	0.0	4.20	0.0
1	3.48	0.0	1.93	0.0	3.62	0.0	4.18	0.0
2	2.17	0.0	1.92	0.0	2.95	0.0	4.16	0.0
3	1.43	0.1	1.92	0.0	2.42	0.0	4.07	0.0
4	1.05	0.4	1.91	0.0	2.06	0.3	3.83	0.1
5	0.82	1.3	1.90	0.0	1.84	1.0	3.16	1.7
6	0.70	2.7	1.88	0.0	1.67	2.7	1.50	17.4

Wörterbuchbasierte Textkompression

Grundidee: wähle $\Sigma' \subseteq \Sigma^*$ und ersetze $S \in \Sigma^*$ durch $S' = \langle s'_1, \dots, s'_k \rangle \in \Sigma'^*$, so dass $S = s'_1 \cdot s'_2 \cdots s'_k$. (mit ‘ \cdot ’ = Zeichenkettenkonkatenation).

Platz $n \lceil \log \Sigma \rceil \rightarrow k \lceil \log \Sigma' \rceil$ mit Entropiecodierung der Zeichen aus Σ' sogar $k \text{Entropie}(S')$

Problem: zusätzlicher Platz für Wörterbuch.

OK für sehr große Datenbestände.

Wörterbuchbasierte Textkompression – Beispiel

Volltextsuchmaschinen verwenden oft $\Sigma' :=$ durch Leerzeichen (etc.)

separierte Wörter der zugrundeliegenden natürlichen Sprache.

Spezialbehandlung von Trennzeichen etc.

Gallia est omnis divisa in partes tres, ...

→ gallia est omnis divisa in partes tres ...

Lempel-Ziv Kompression (LZ)

Idee: baue Wörterbuch “on the fly” bei Codierung und Decodierung.

Ohne explizite Speicherung!

Naive Lempel-Ziv Kompression (LZ)

Procedure naiveLZCompress($\langle s_1, \dots, s_n \rangle, \Sigma$)

$D := \Sigma$

// Init Dictionary

$p := s_1$

// current string

for $i := 2$ **to** n **do**

if $p \cdot s_i \in D$ **then** $p := p \cdot s_i$

else

output code for p

$D := D \cup p \cdot s_i$

$p := s_i$

output code for p

Naive LZ Dekompression

Procedure naiveLZDecode($\langle c_1, \dots, c_k \rangle$)

$D := \Sigma$

output decode(c_1)

for $i := 2$ **to** k **do**

if $c_i \in D$ **then**

$D := D \cup \text{decode}(c_{i-1}) \cdot \text{decode}(c_i)[1]$

else // where $s[1]$ is the first letter.

$D := D \cup \text{decode}(c_{i-1}) \cdot \text{decode}(c_{i-1})[1]$

 output decode(c_i)

LZ Beispiel: abracadabra

#	p	output	input	$DU =$
1	\perp	-	a	a,b,c,d,r
2	a	a	b	ab
3	b	b	r	br
4	r	r	a	ra
5	a	a	c	ac
6	c	c	a	ca
7	a	a	d	ad
8	d	d	a	da
9	a	-	b	-
10	ab	ab	r	abr
11	r	-	a	-
-	ra	ra	-	-

LZ-Verfeinerungen

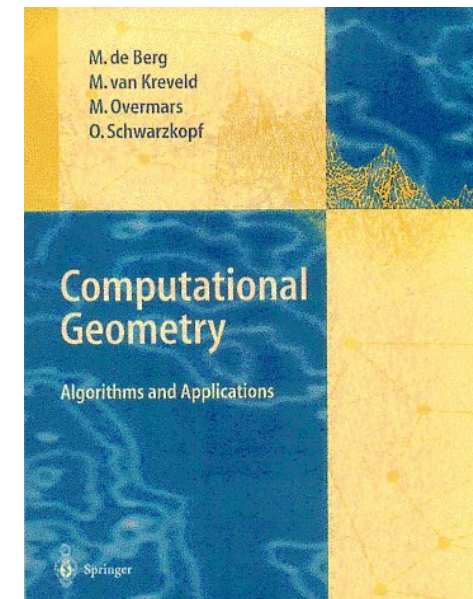
- Wörterbuchgröße begrenzen, z.B. $|D| \leq 4096 \rightsquigarrow$ 12bit codes.
- Von vorn wenn Wörterbuch voll \rightsquigarrow Blockweise arbeiten
- Kodierung mit **variabler Zahl Bits** (z.B. Huffman, arithmetic coding)
- Selten benutzte Wörterbucheinträge löschen ???
- Wörterbuch effizient implementieren:
(universelles) hashing
- verwendet in zip/gzip mit Huffman Kodierung

12 Geometrische Algorithmen

- Womit beschäftigen sich geom. Algorithmen?
- Schnitt von Strecken: Bentley-Ottmann-Algorithmus
- Konvexe Hüllen
- Kleinste einschließende Kugel
- Range Search

Quelle:

[Computational Geometry – Algorithms and Applications
de Berg, van Kreveld, Overmars, Schwartzkopf
Springer, 1997]



Elementare geometrische Objekte

Punkte: $x \in \mathbb{R}^d$

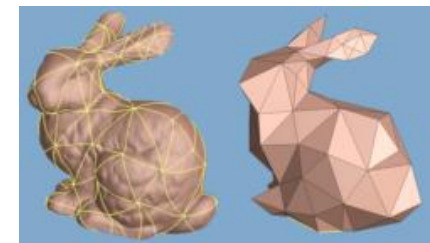
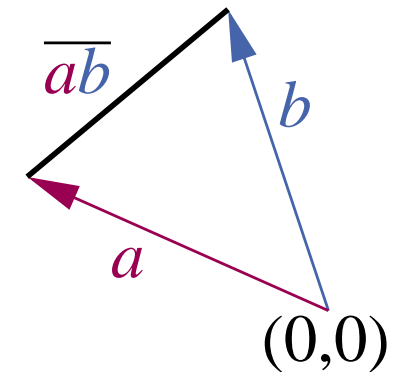
Strecken: $\overline{ab} := \{\alpha a + (1 - \alpha)b : \alpha \in [0, 1]\}$

uvam: Halbräume, Ebenen, Kurven,...

Dimension d :

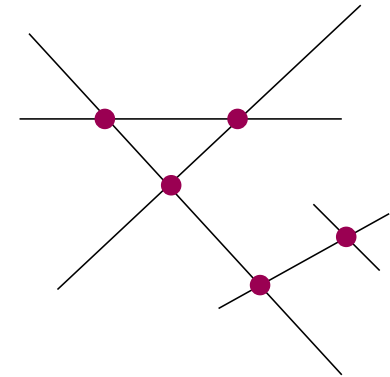
- 1: Oft trivial. Gilt i. allg. nicht als geometrisches Problem
 - 2: Geogr. Informationssysteme (GIS), Bildverarbeitung,...
 - 3: Computergrafik, Simulationen,...
 - ≥ 4 : Optimierung, Datenbanken, maschinelles Lernen,...
- curse of dimensionality!**

n : Anzahl vorliegender Objekte



Typische Fragestellungen

- Schnittpunkte zwischen n Strecken



Typische Fragestellungen

Schnittpunkte zwischen n Strecken

Konvexe Hülle

Triangulation von Punktmenge

(2D, verallgemeinerbar)

z.B. **Delaunaytriangulierung**:

Kein Dreieck enthält weiteren Punkt

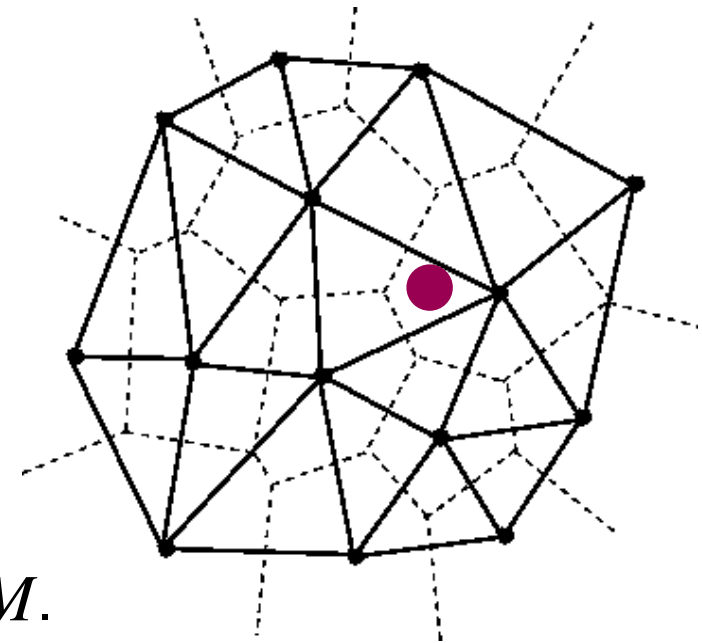
Voronoi-Diagramme: Sei $x \in M \subseteq \mathbb{R}^d$.

$\forall y \in \mathbb{R}^d$ bestimme nächstes Element aus M .

(Unterteilung von M in n **Voronozellen**)

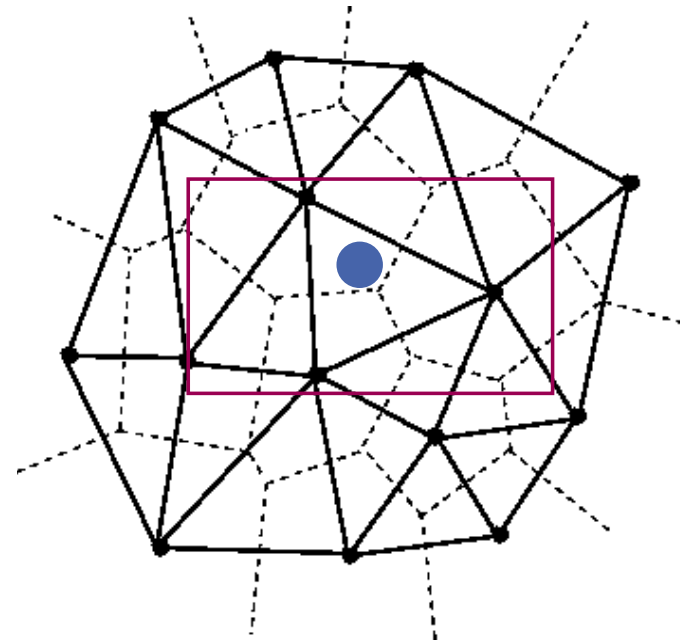
Punktolokalisierung: Geg. Unterteilung von \mathbb{R}^d , $x \in \mathbb{R}^d$:

in welchem Teil liegt x ?



Datenstrukturen für Punktmengen

- nächsten Nachbarn berechnen
- Bereichsanfragen
- ...



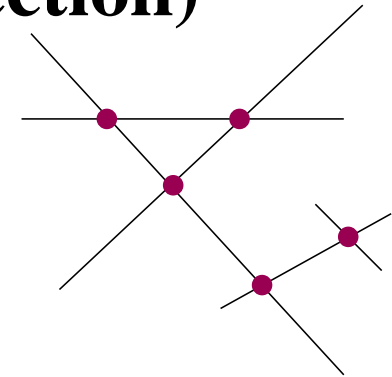
Mehr Fragestellungen

- Sichtbarkeitsberechnungen
- Lineare Programmierung
- Geometrische Versionen von Optimierungsproblemen
 - Kürzeste Wege, z.B.
energieeffiziente Kommunikation in Radionetzwerken
 - minimale Spannbäume
reduzierbar auf Delaunay-Triangulierung + Graphalgorithmus
 - Matchings
 - Handlungsreisendenproblem
 - ...
- ...

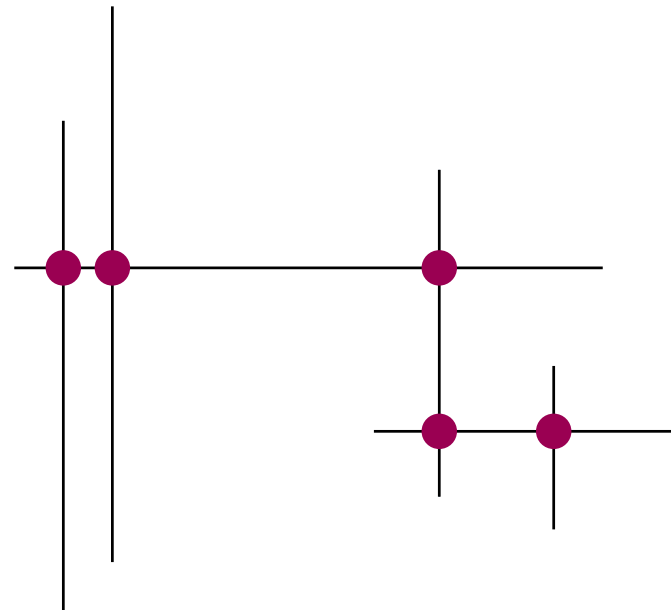
12.1 Streckenschnitt (line segment intersection)

Gegeben: $S = \{s_1, \dots, s_n\}$, n Strecken

Gesucht: Schnittpunkte $\bigcup_{s,t \in S} s \cap t$

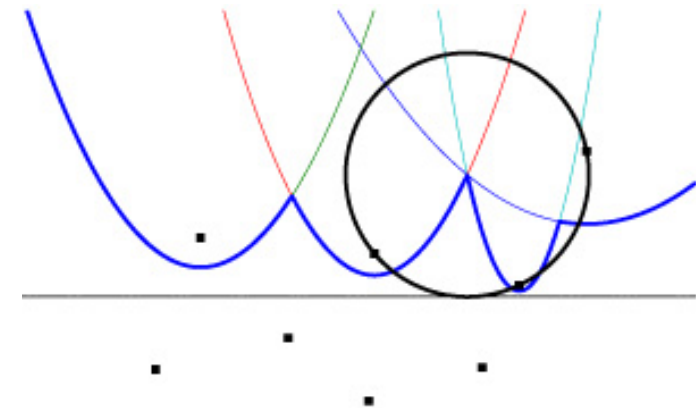


Zum Warmwerden: **Orthogonaler Streckenschnitt** – die Strecken sind parallel zur x- oder y-Achse



Streckenschnitt: Anwendungen

- Schaltungsentwurf: wo kreuzen sich Leiterbahnen?
- GIS**: Strassenkreuzungen, Brücken,...
- Erweiterungen: z.B. **Graphen benachbarter Strecken/Flächen**
aufbauen/verarbeiten
- Noch allgemeiner:
Plane-Sweep-Algorithmen
für andere Fragestellungen
(z.B. Konstruktion von
konvexen Hüllen oder
Voronoidiagrammen)

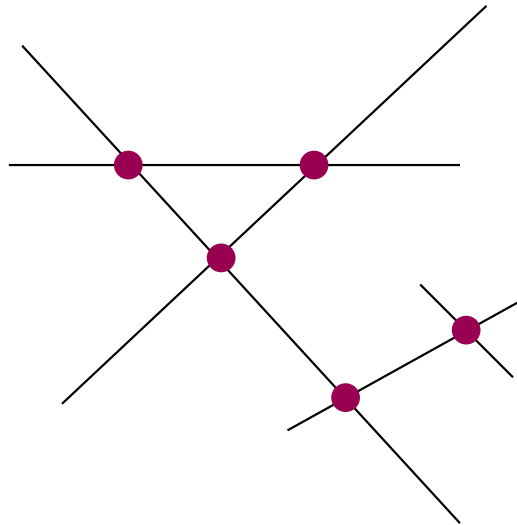


Streckenschnitt: Naiver Algorithmus

```
foreach  $\{s, t\} \subseteq S$  do  
    if  $s \cap t \neq \emptyset$  then  
        output  $\{s, t\}$ 
```

Problem: Laufzeit $\Theta(n^2)$.

Zu langsam für große Datenmengen

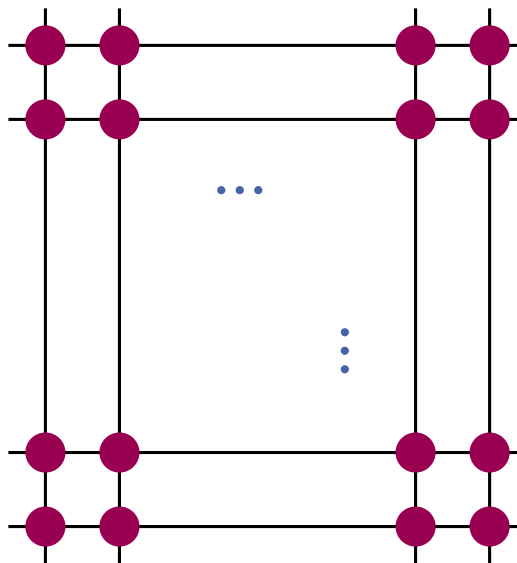


Streckenschnitt: Untere Schranke

$\Omega(n + k)$ mit $k :=$ Anzahl ausgegebener Schnitte.

Vergleichsbasiert: $\Omega(n \log n + k)$ (Beweis: nicht hier)

Beobachtung $k = \Theta(n^2)$ ist möglich, aber reale Eingaben haben meist $k = O(n)$.

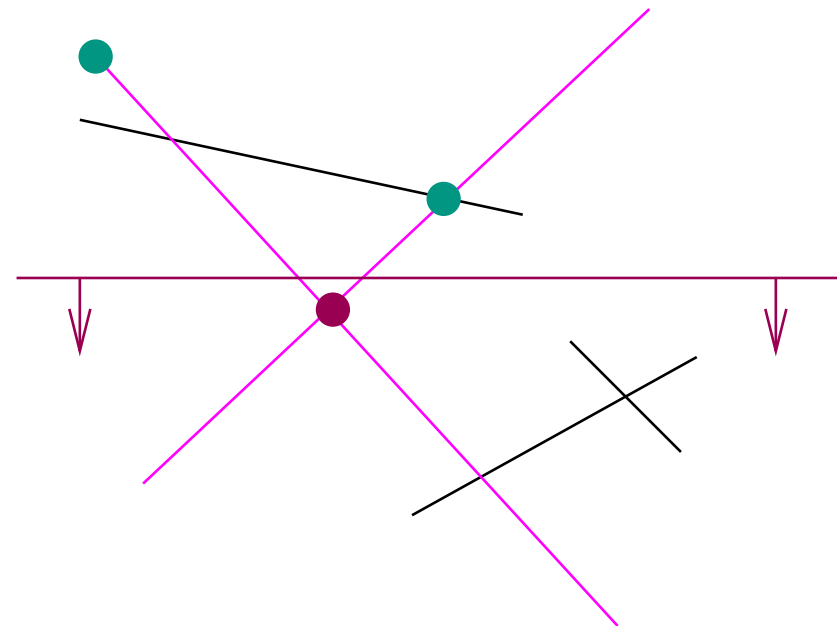


Idee: Plane-Sweep-Algorithmen

(Waagerechte) **Sweep-Line** ℓ läuft von oben nach unten.

Invariante: Schnittpunkte oberhalb von ℓ wurden korrekt ausgegeben.

Ansatz: speichere jeweils Segmente, die ℓ schneiden und finde deren Schnittpunkte.



Plane-Sweep für orth. Streckenschnitt

Erstmal nur: Schnitte zwischen vertikalen und horizontalen Strecken.

$T = \langle \rangle$: SortedSequence **of** Segment

invariant T stores the vertical segments intersecting ℓ

$Q := \text{sort}(\langle (y, s) : \exists \text{hor. seg. } s \text{ at } y \text{ or } \exists \text{vert. seg. } s \text{ starting/ending at } y \rangle)$

//tie breaking: vert. starting events first, vert. finishing events last

foreach $(y, s) \in Q$ in descending order **do**

if s is a vertical segment and **starts** at y **then** $T.\text{insert}(s)$

else if s is a vertical segment and **ends** at y **then** $T.\text{remove}(s)$

else //we have a horizontal segment $s = \overline{(x_1, y)(x_2, y)}$

foreach $t = \overline{(x, y_1)(x, y_2)} \in T$ with $x \in [x_1, x_2]$ **do**

output $\{s, t\}$

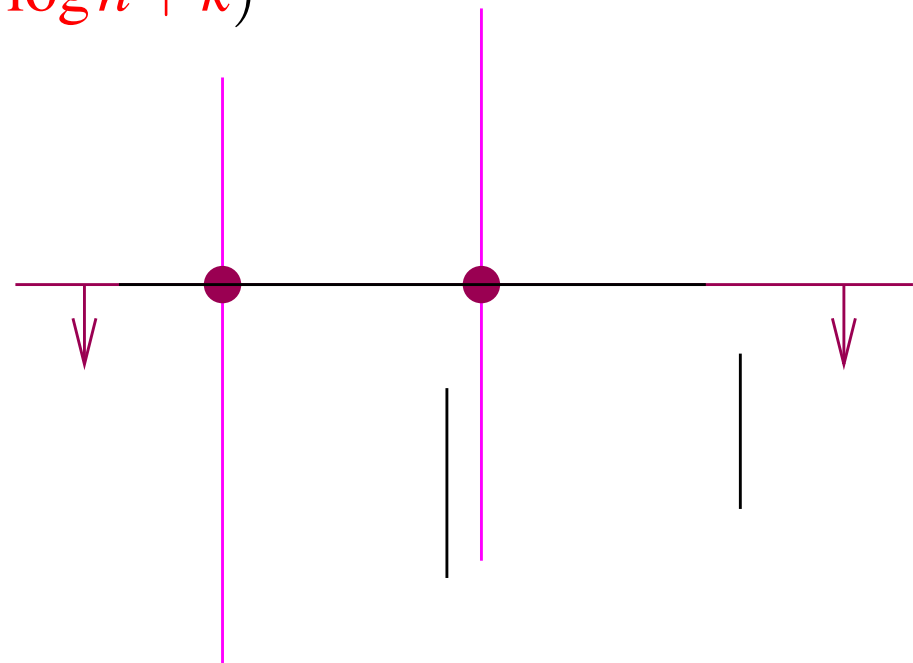
Analyse orth. Streckenschnitt

insert: $O(\log n)$ ($\leq n \times$)

remove: $O(\log n)$ ($\leq n \times$)

rangeQuery: $O(\log n + k_s)$, k_s Schnitte mit hor. Segment s

Insgesamt: $O(n \log n + \sum_s k_s) = O(n \log n + k)$



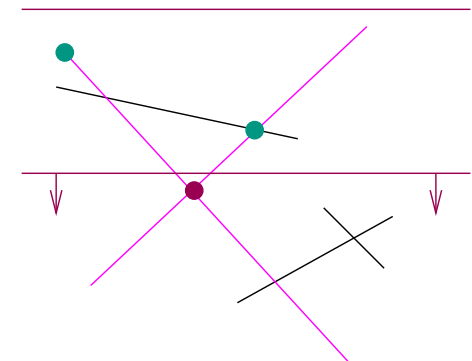
Verallgemeinerung – aber erstmal “nicht ganz”

Annahme zunächst:

Allgemeine Lage, d.h. hier

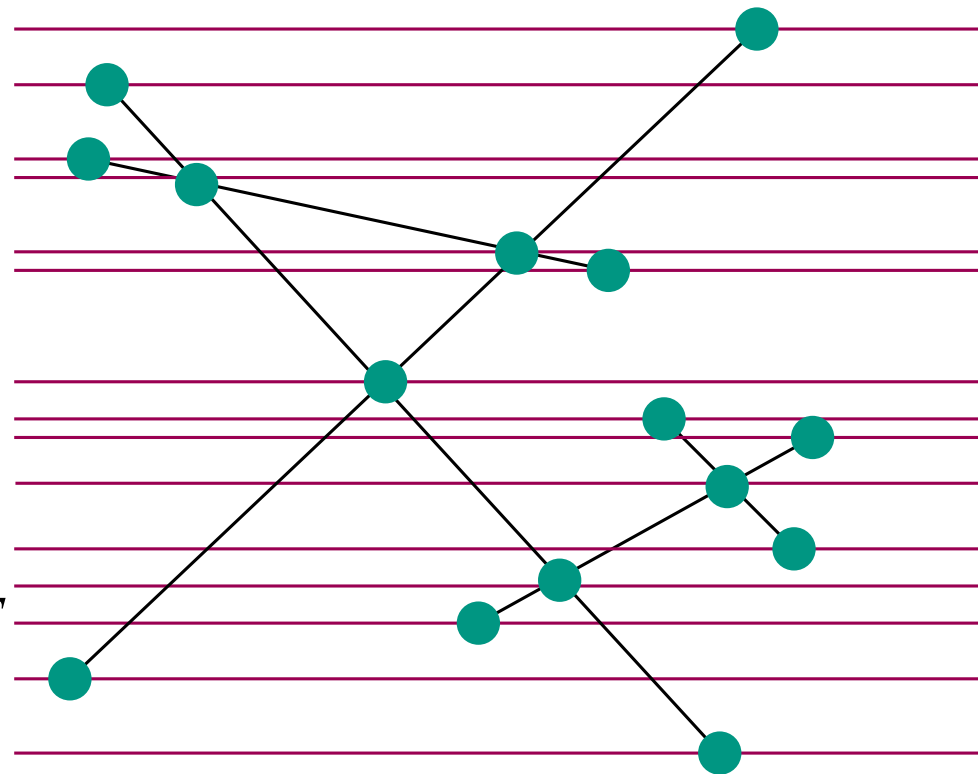
- Keine horizontalen Strecken
- Keine Überlappungen
- Schnittpunkte jeweils im Inneren von genau zwei Strecken

Beobachtung: kleine zuf. **Perturbationen** produzieren allg. Lage.



Verallgemeinerung – Grundidee

- Plane-Sweep mit Sweep-Line ℓ
- Status T** := nach x geordnete Folge der ℓ schneidenden Strecken
- Ereignis** := Statusänderung
 - Startpunkte
 - Endpunkte
 - **Schnittpunkte**
- Schnitttest** nur für Segmente, die an einem **Ereignis**punkt in T **benachbart** sind.



Verallgemeinerung – Korrektheit

Lemma:

$s \cap t = \{(x, y)\} \longrightarrow \exists$ Ereignis : s, t werden Nachbarn auf ℓ

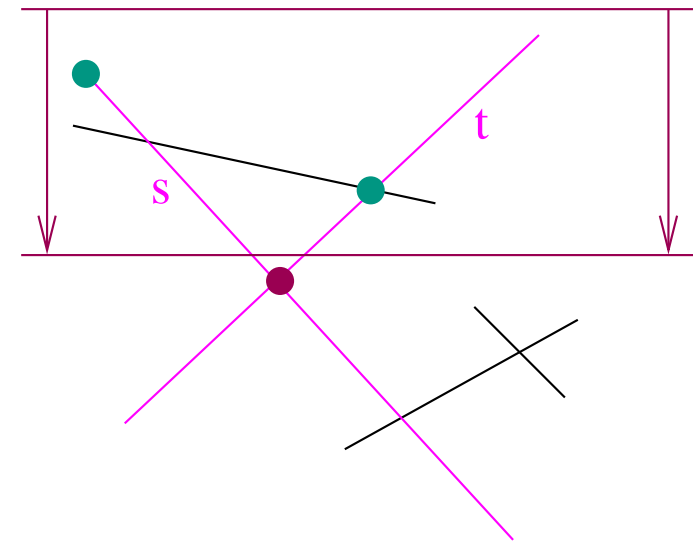
Beweis:

Anfangs : $T = \langle \rangle \longrightarrow s, t$ sind nicht in ℓ benachbart.

@ $y + \varepsilon$: s, t sind in ℓ benachbart.

\longrightarrow

\exists Ereignis bei dem s und t Nachbarn werden.



Verallgemeinerung – Implementierung

$T = \langle \rangle$: SortedSequence **of** Segment

invariant T stores the relative order of the segments intersecting ℓ

Q : MaxPriorityQueue

$Q := Q \cup \left\{ (\max\{y, y'\}, \text{start}, s) : s = \overline{(x, y)(x', y')} \in S \right\} // O(n \log n)$

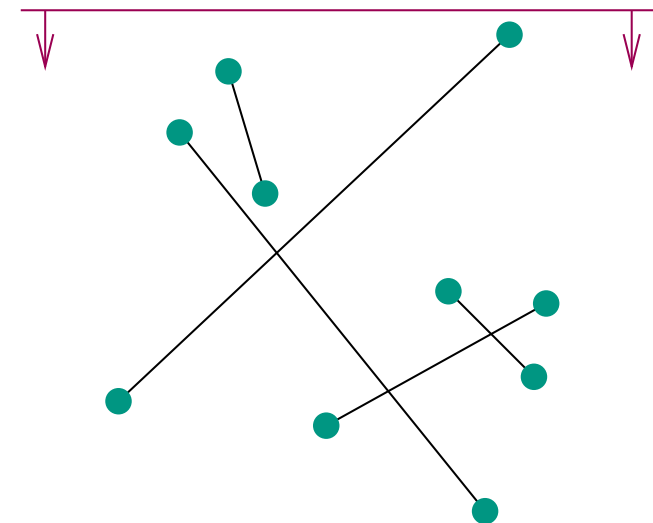
$Q := Q \cup \left\{ (\min\{y, y'\}, \text{finish}, s) : s = \overline{(x, y)(x', y')} \in S \right\} // O(n \log n)$

while $Q \neq \emptyset$ **do**

$(y, \text{type}, s) := Q.\text{deleteMax}$

$// O((n + k) \log n)$

handleEvent(y, type, s, T, Q)



handleEvent(y , start, s , T , Q)

$h := T.insert(s)$

prev := pred(h)

next := succ(h)

findNewEvent(prev, h)

findNewEvent(h , next)

// $n \times$

// $O(\log n)$

// $O(1)$

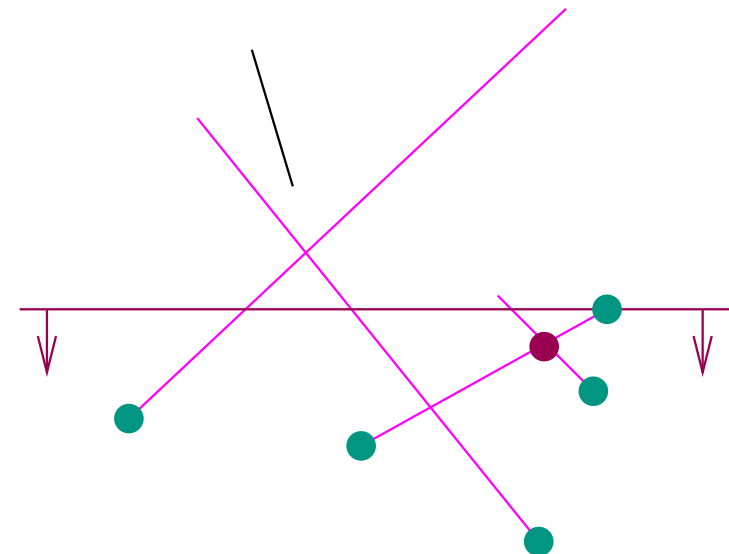
// $O(1)$

Procedure findNewEvent(s , t)

if $*s$ and $*t$ intersect at $y' < y$ **then**

$Q.insert((y', intersection, (s, t)))$

// $O(1 + \log n)$



handleEvent(y , finish, s , T , Q)

$h := T.locate(s)$

prev := pred(h)

next := succ(h)

$T.remove(s)$

findNewEvent(prev, next)

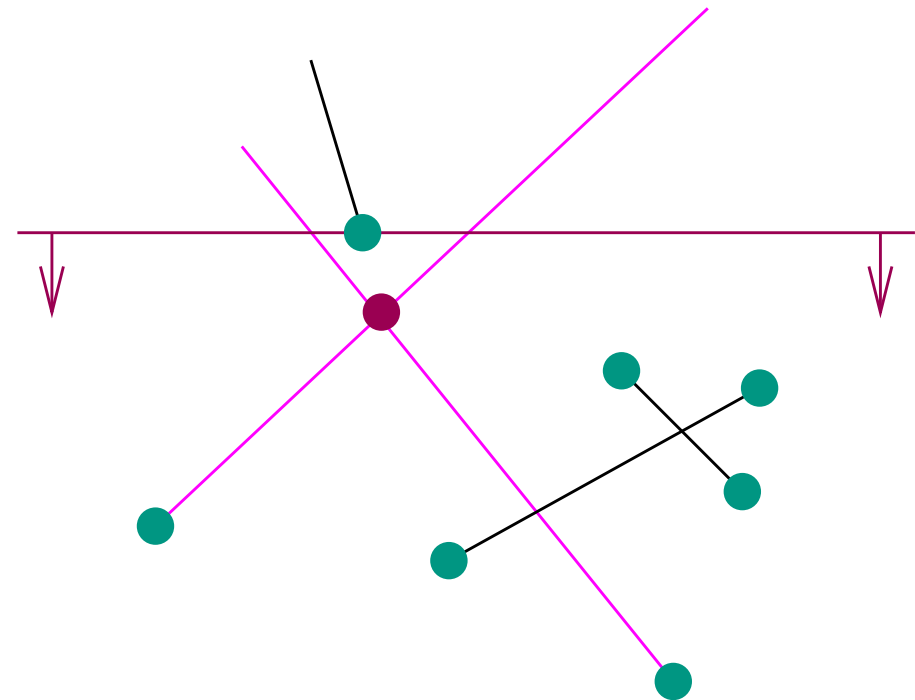
// $n \times$

// $O(\log n)$

// $O(1)$

// $O(1)$

// $O(\log n)$



handleEvent(y , intersection, (a, b) , T , Q)

output $(*s \cap *t)$

$T.swap(a, b)$

prev := pred(b)

next := succ(a)

findNewEvent(prev, b)

findNewEvent(a , next)

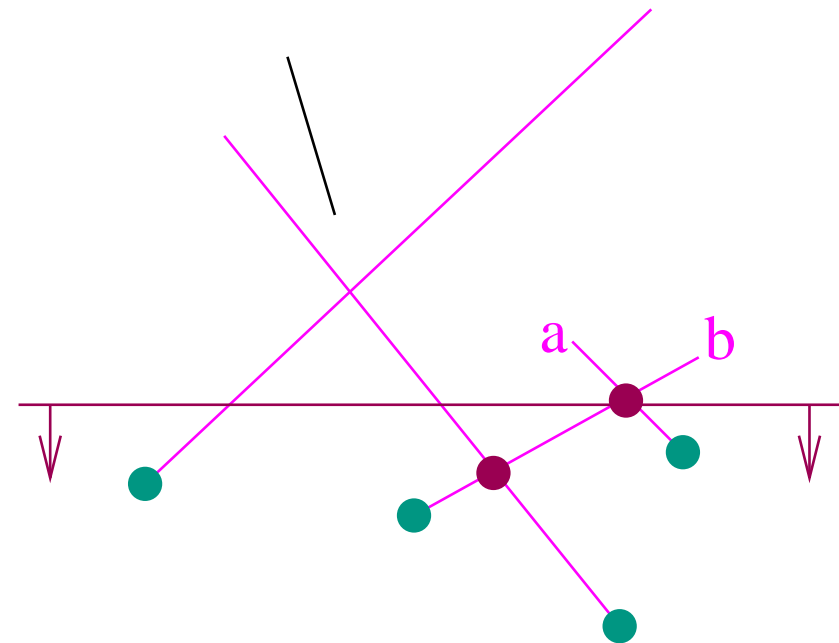
// $k \times$

// $O(1)$

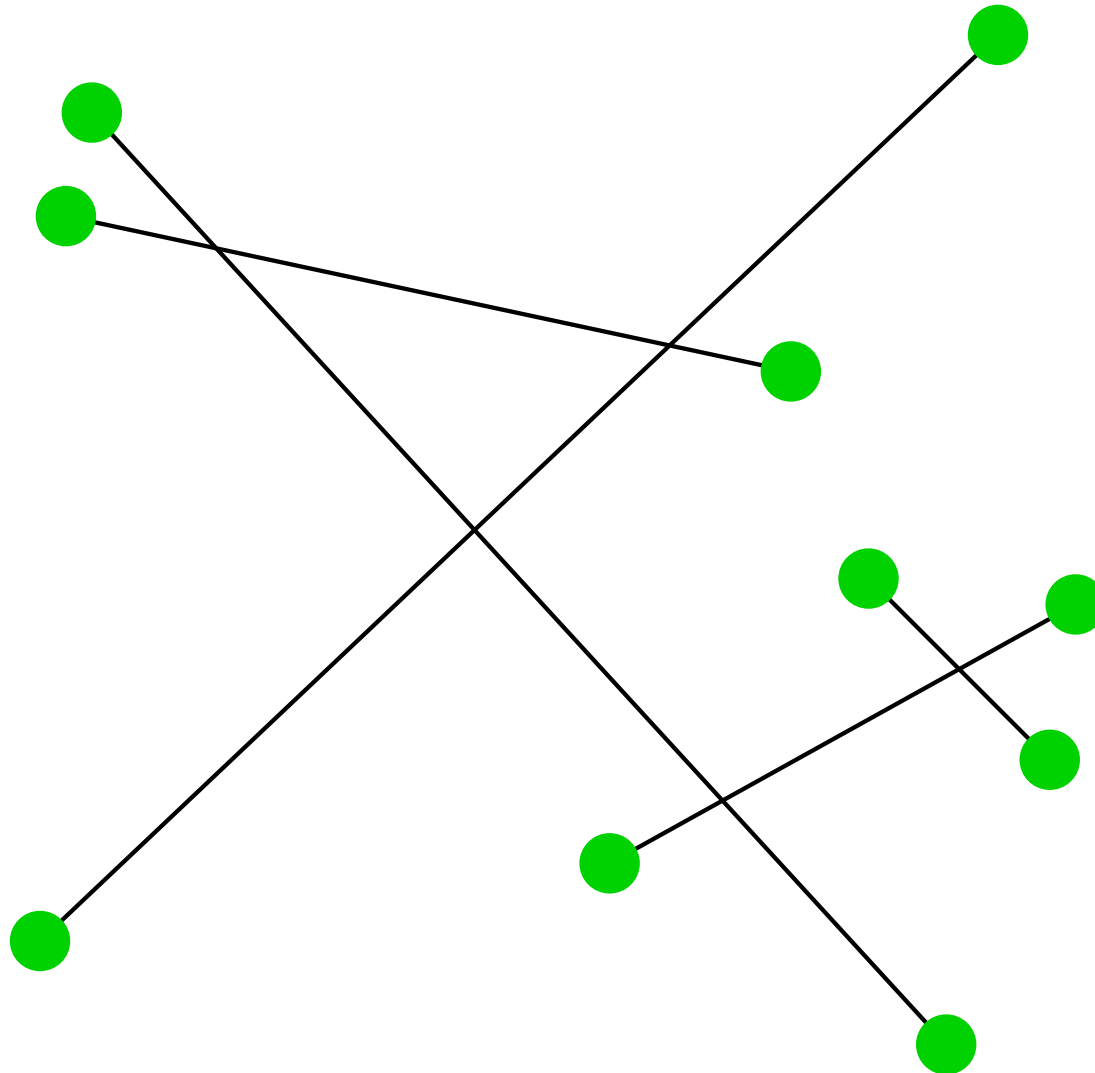
// $O(\log n)$

// $O(1)$

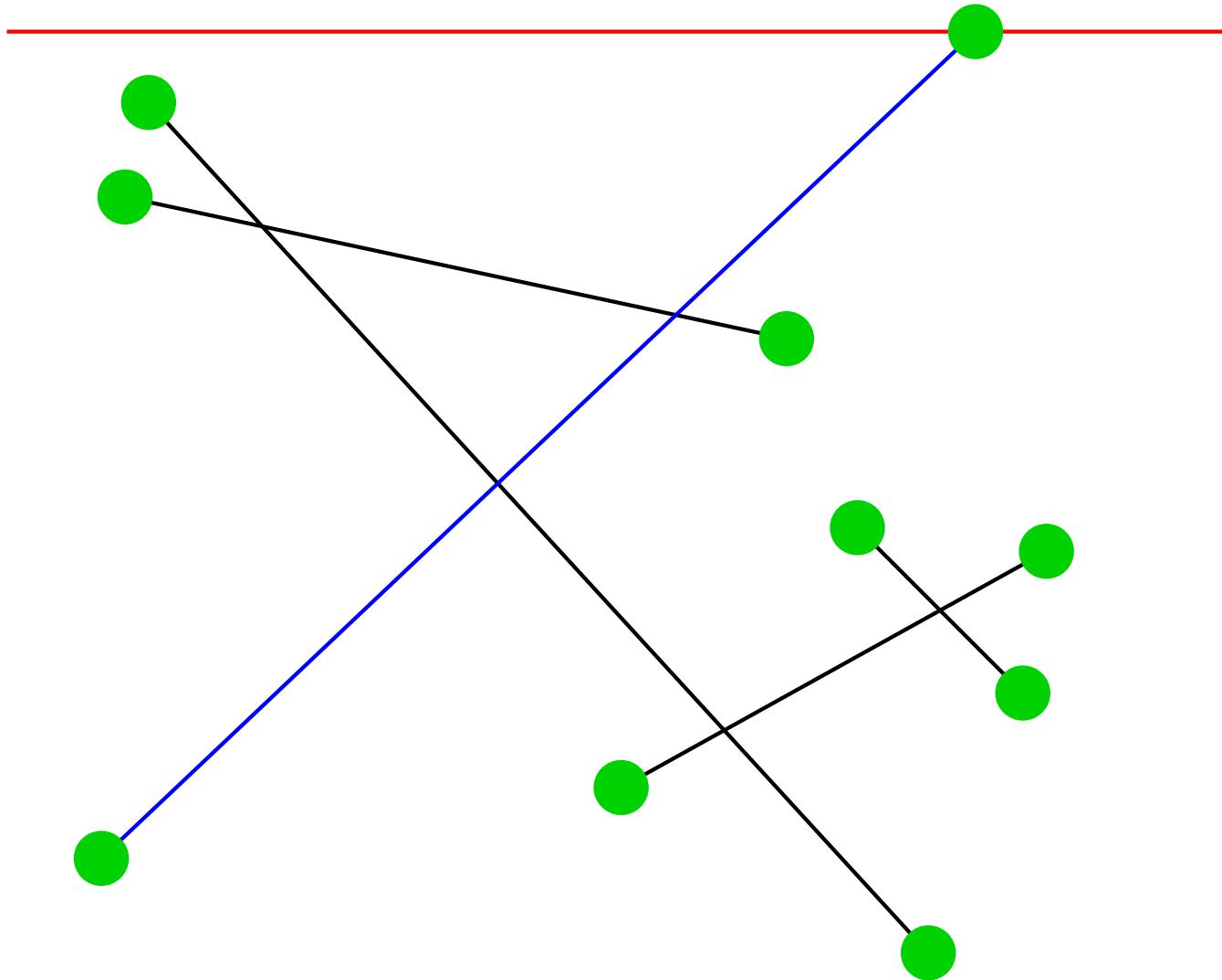
// $O(1)$



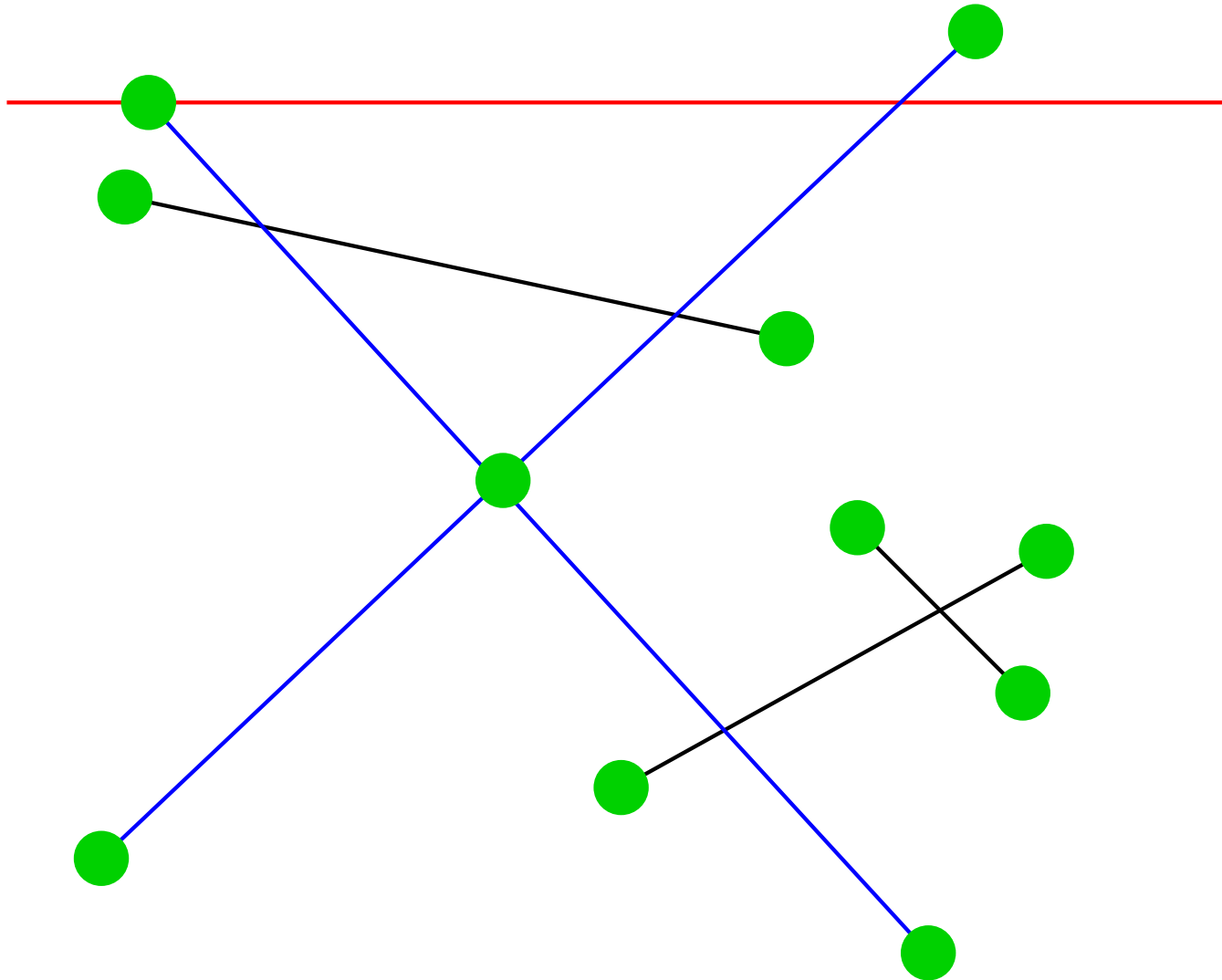
Verallgemeinerung – Beispiel



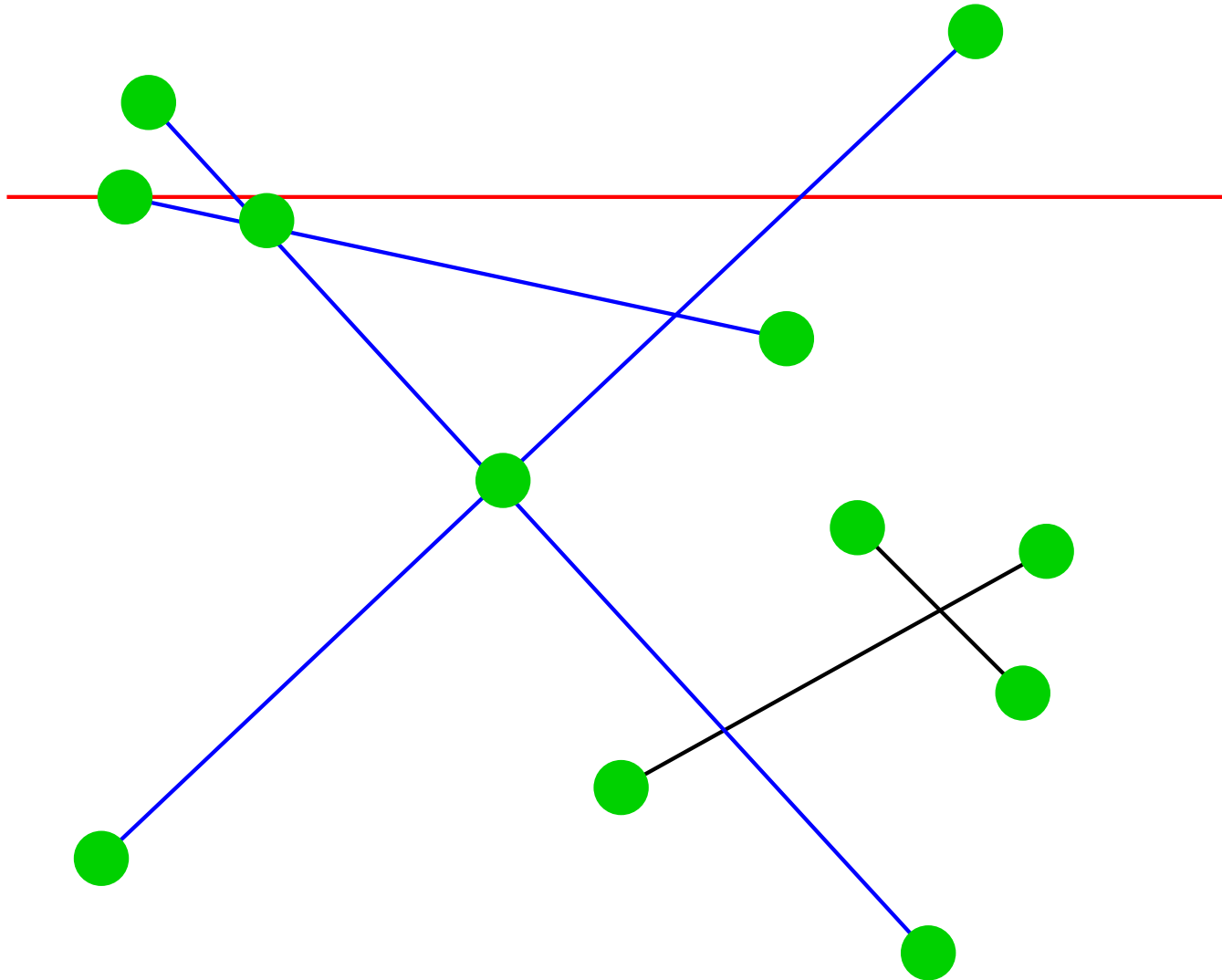
Verallgemeinerung – Beispiel



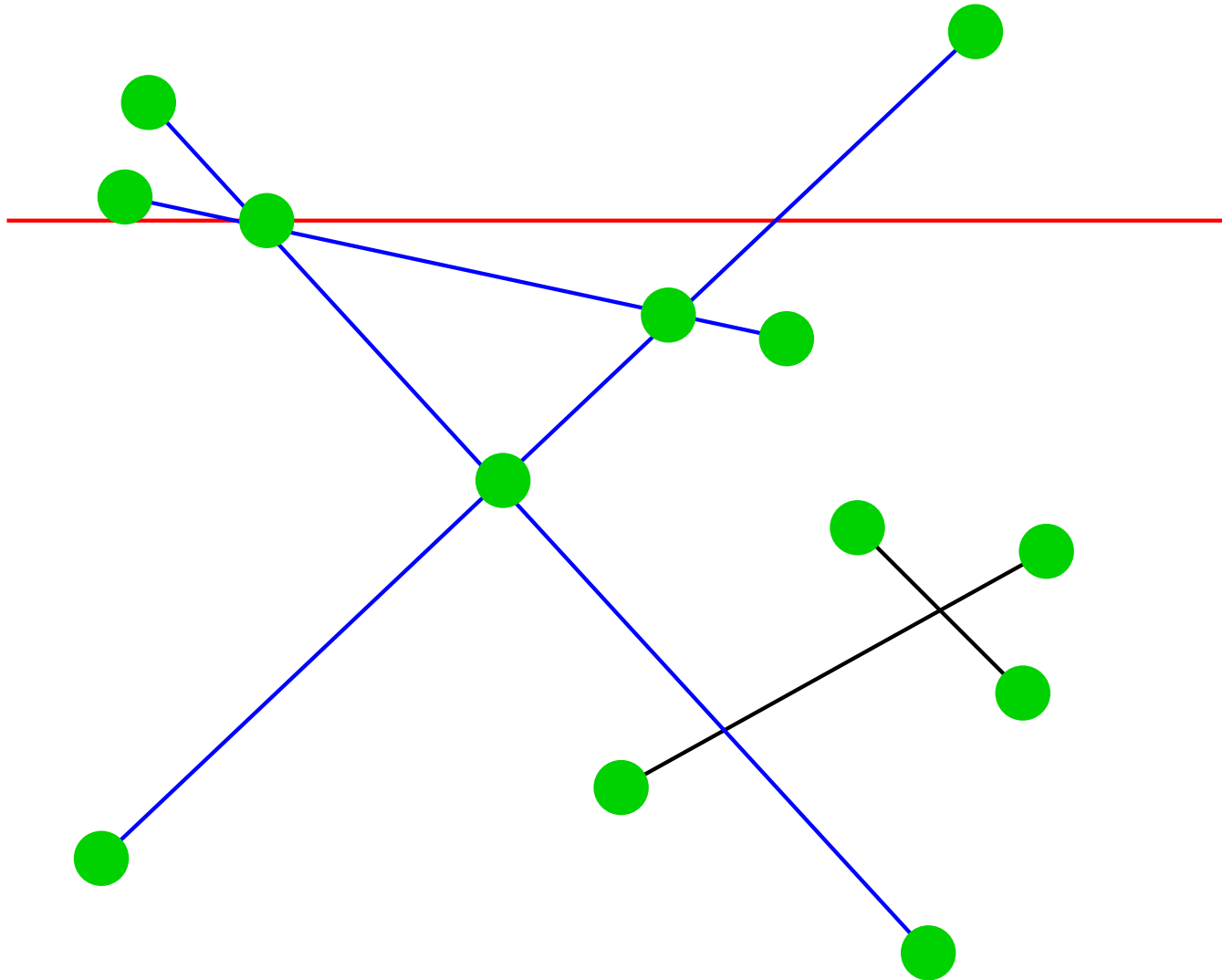
Verallgemeinerung – Beispiel



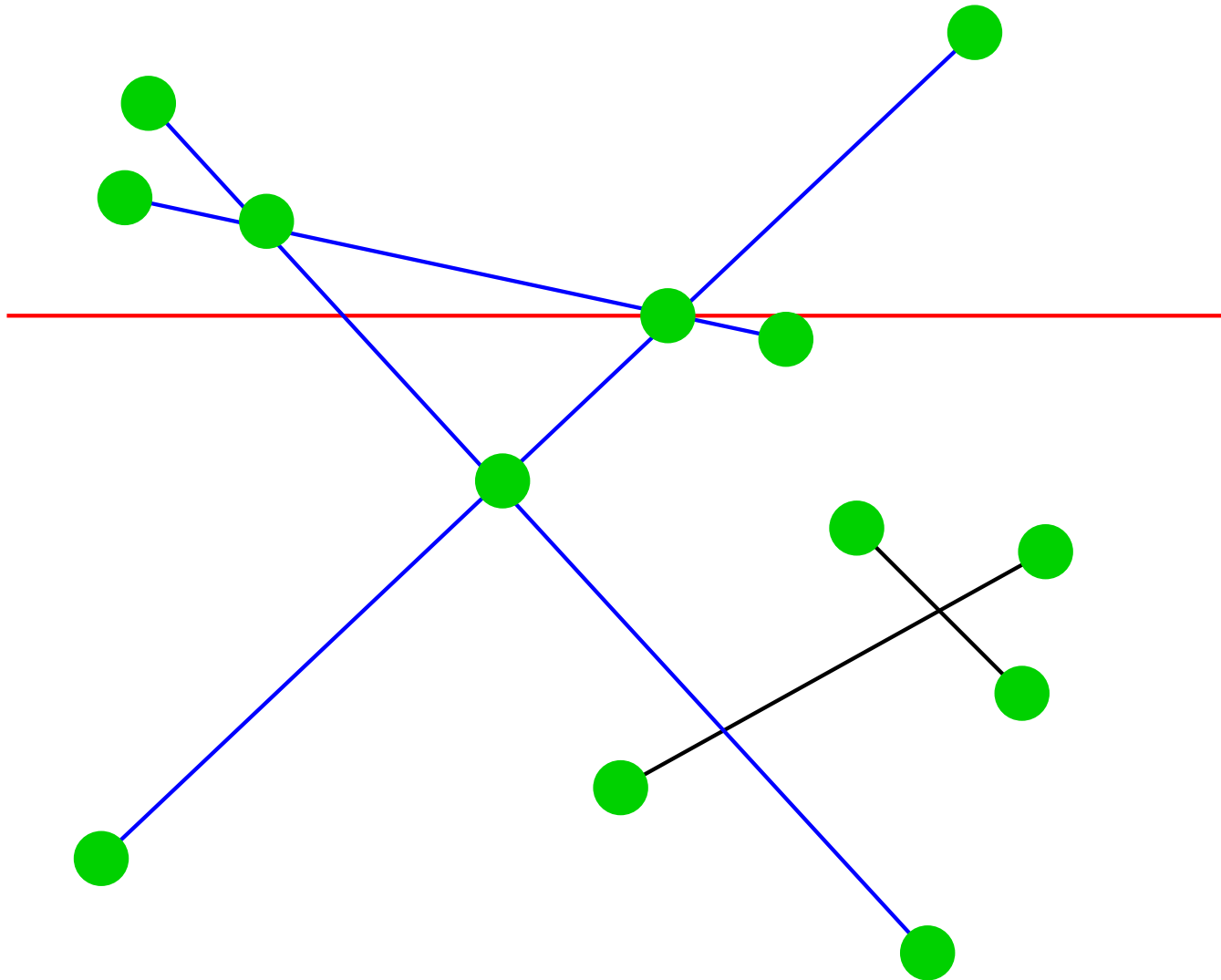
Verallgemeinerung – Beispiel



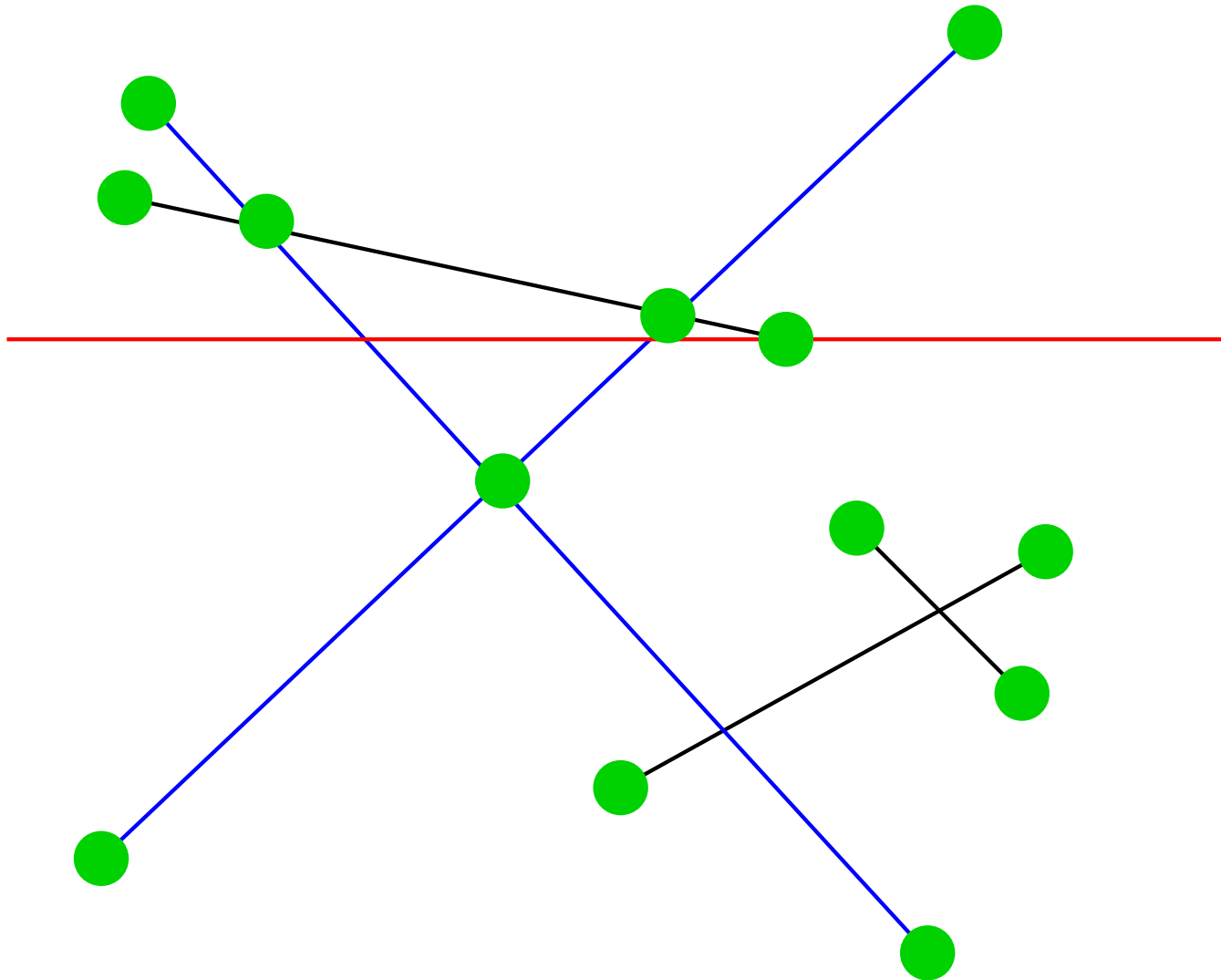
Verallgemeinerung – Beispiel



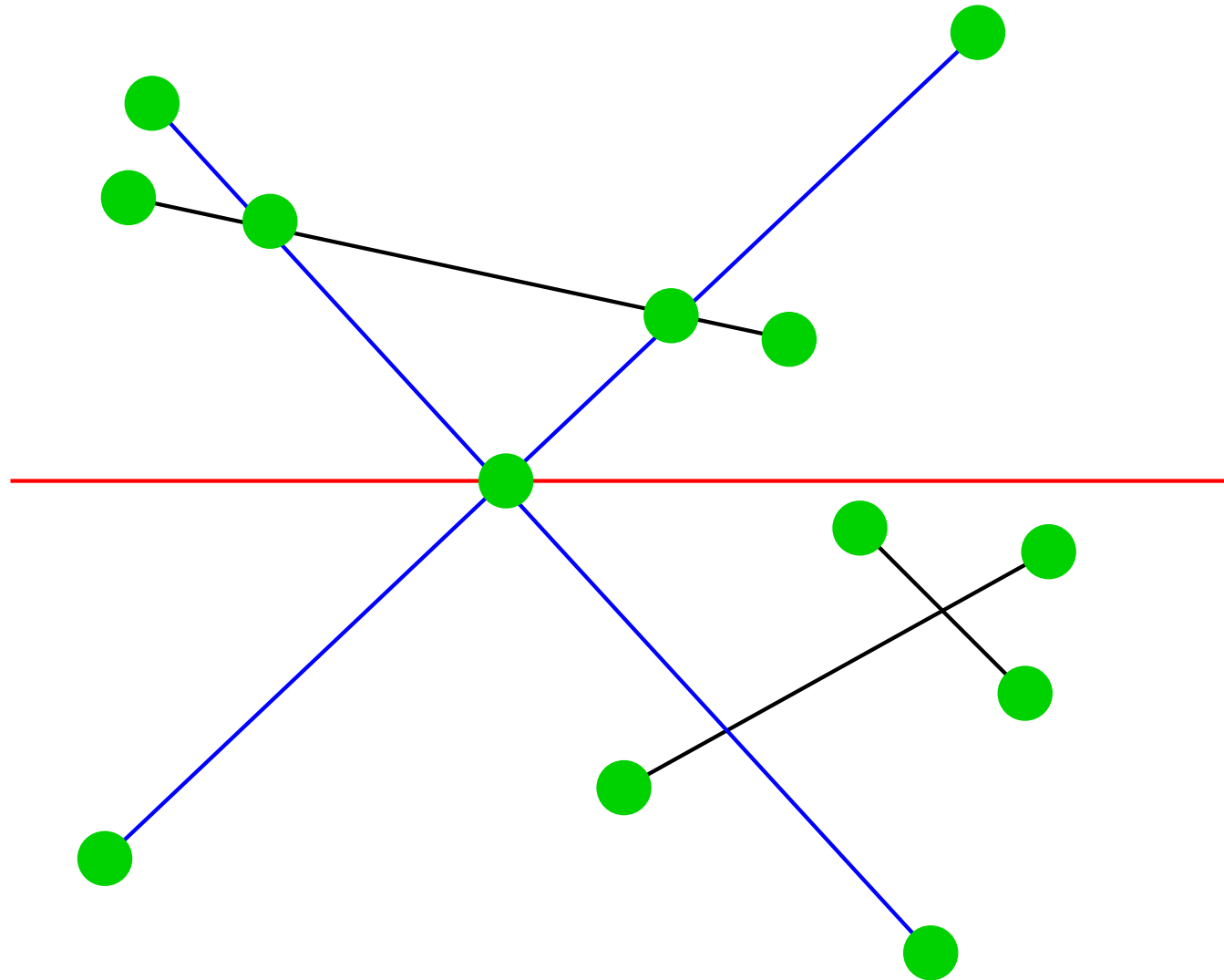
Verallgemeinerung – Beispiel



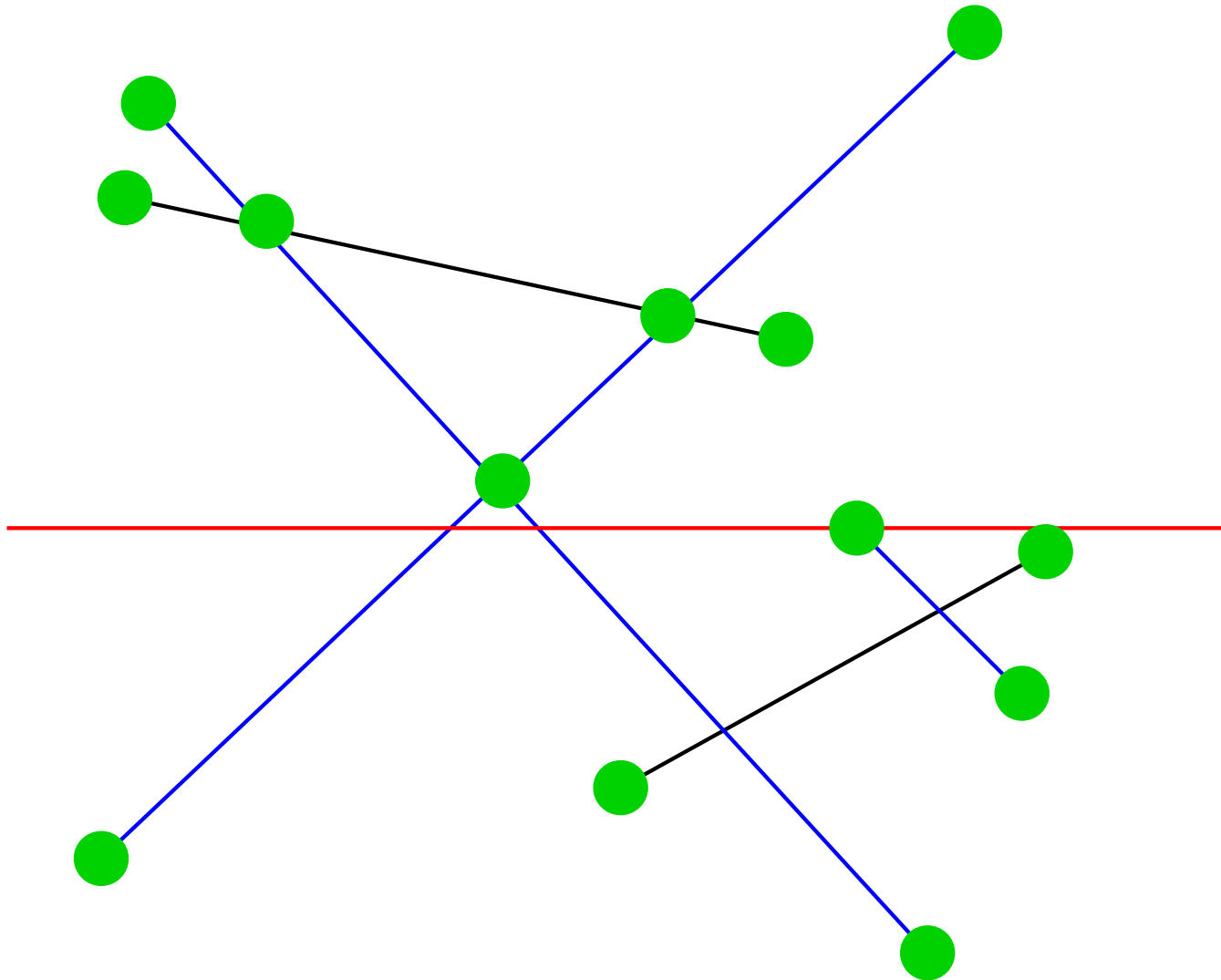
Verallgemeinerung – Beispiel



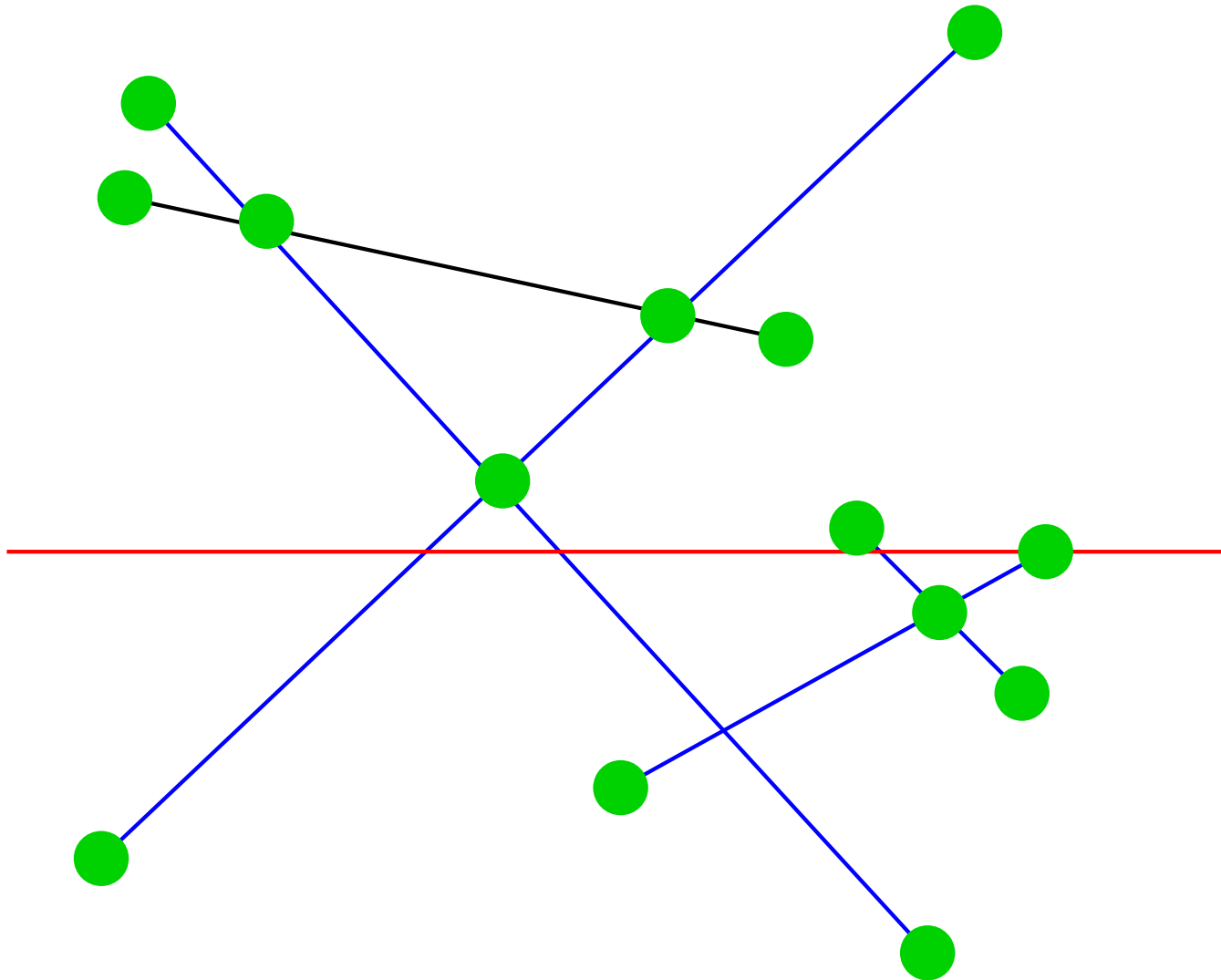
Verallgemeinerung – Beispiel



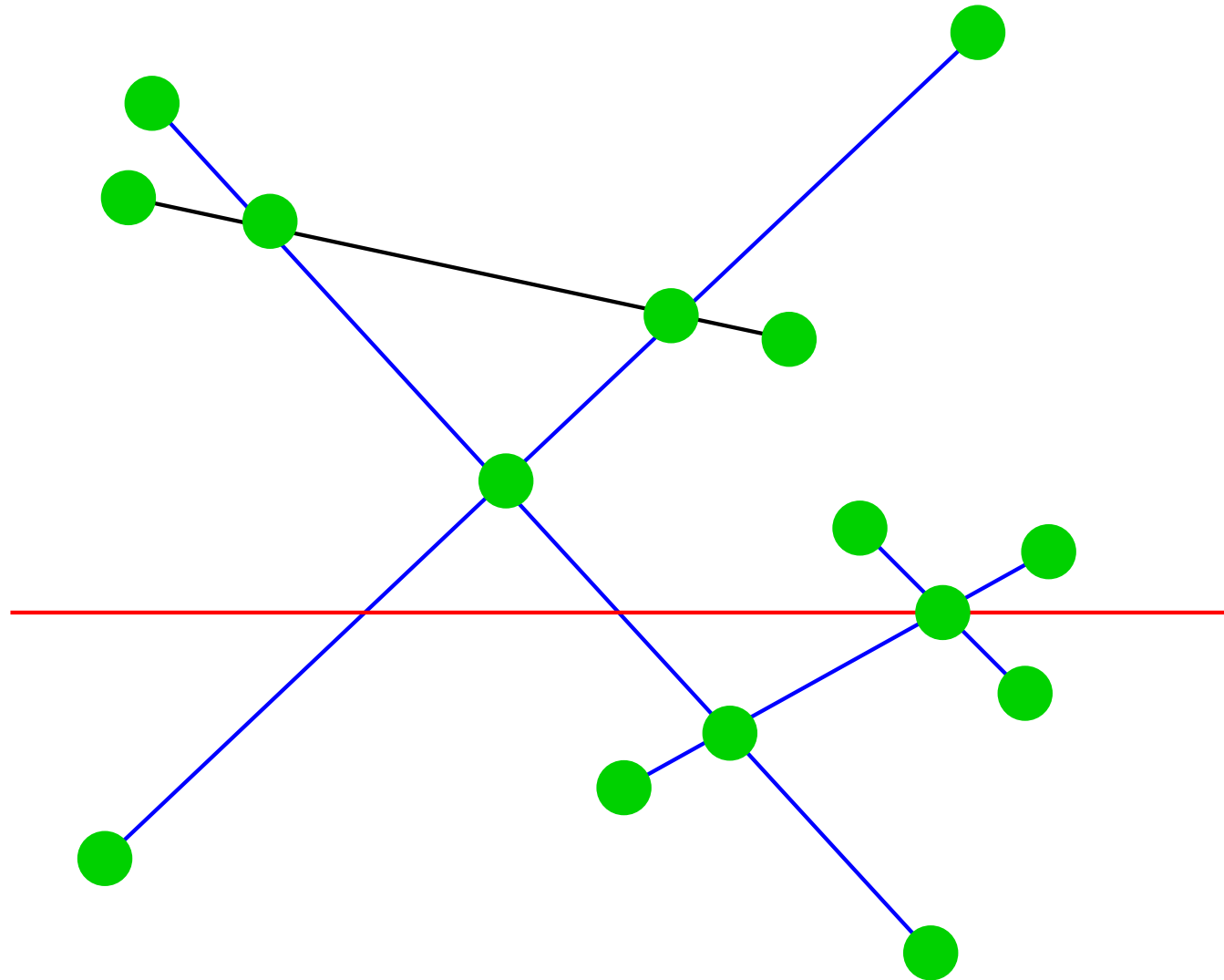
Verallgemeinerung – Beispiel



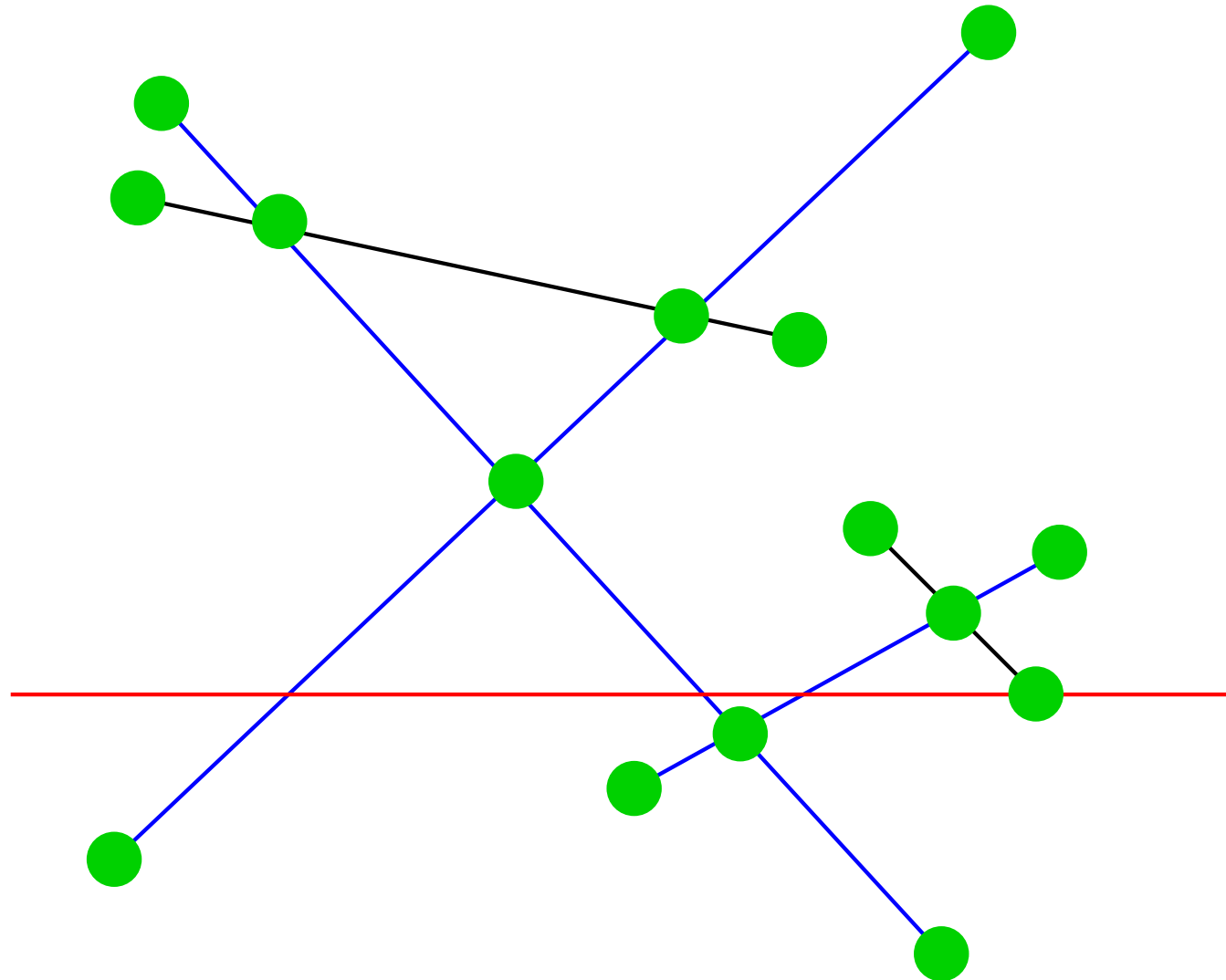
Verallgemeinerung – Beispiel



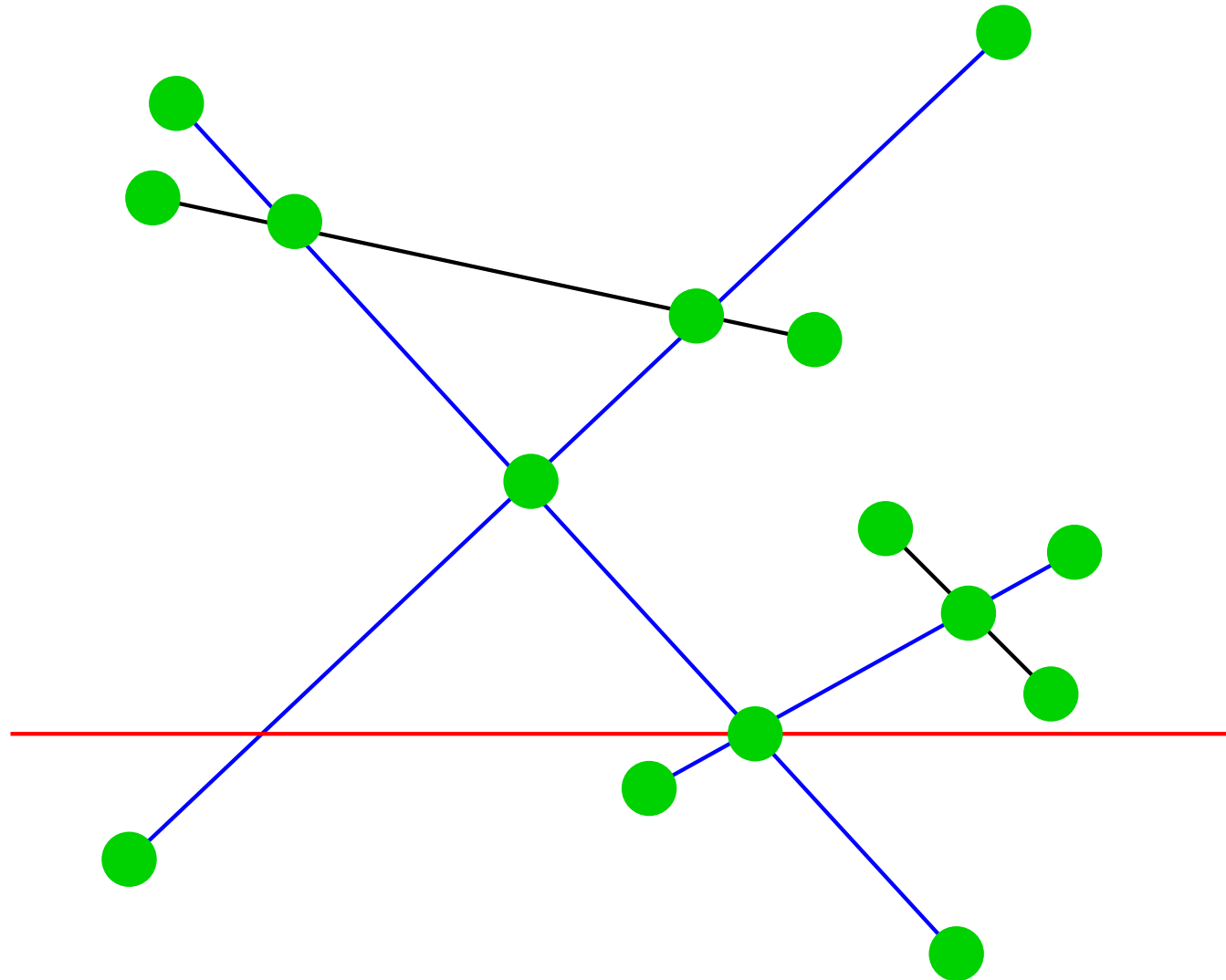
Verallgemeinerung – Beispiel



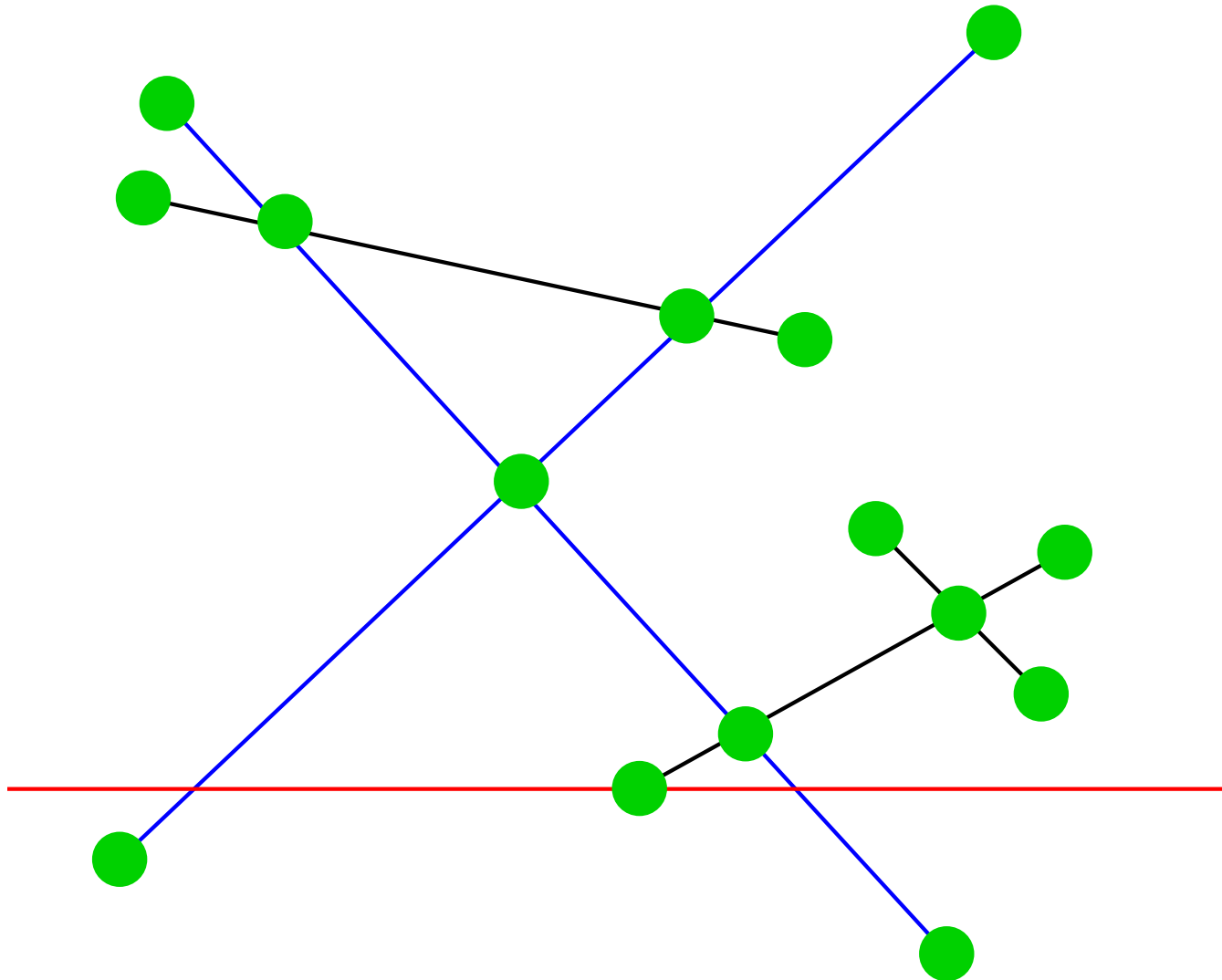
Verallgemeinerung – Beispiel



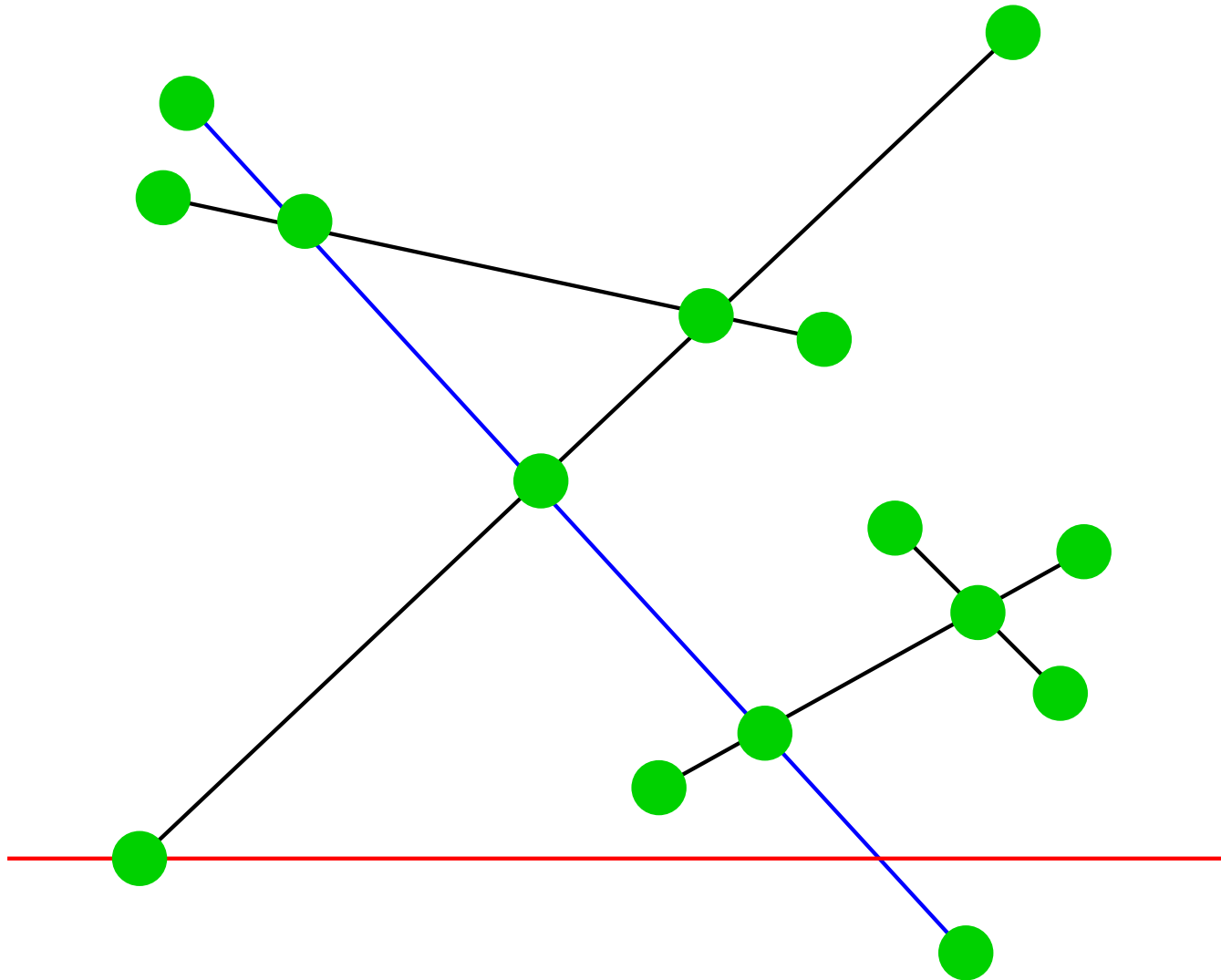
Verallgemeinerung – Beispiel



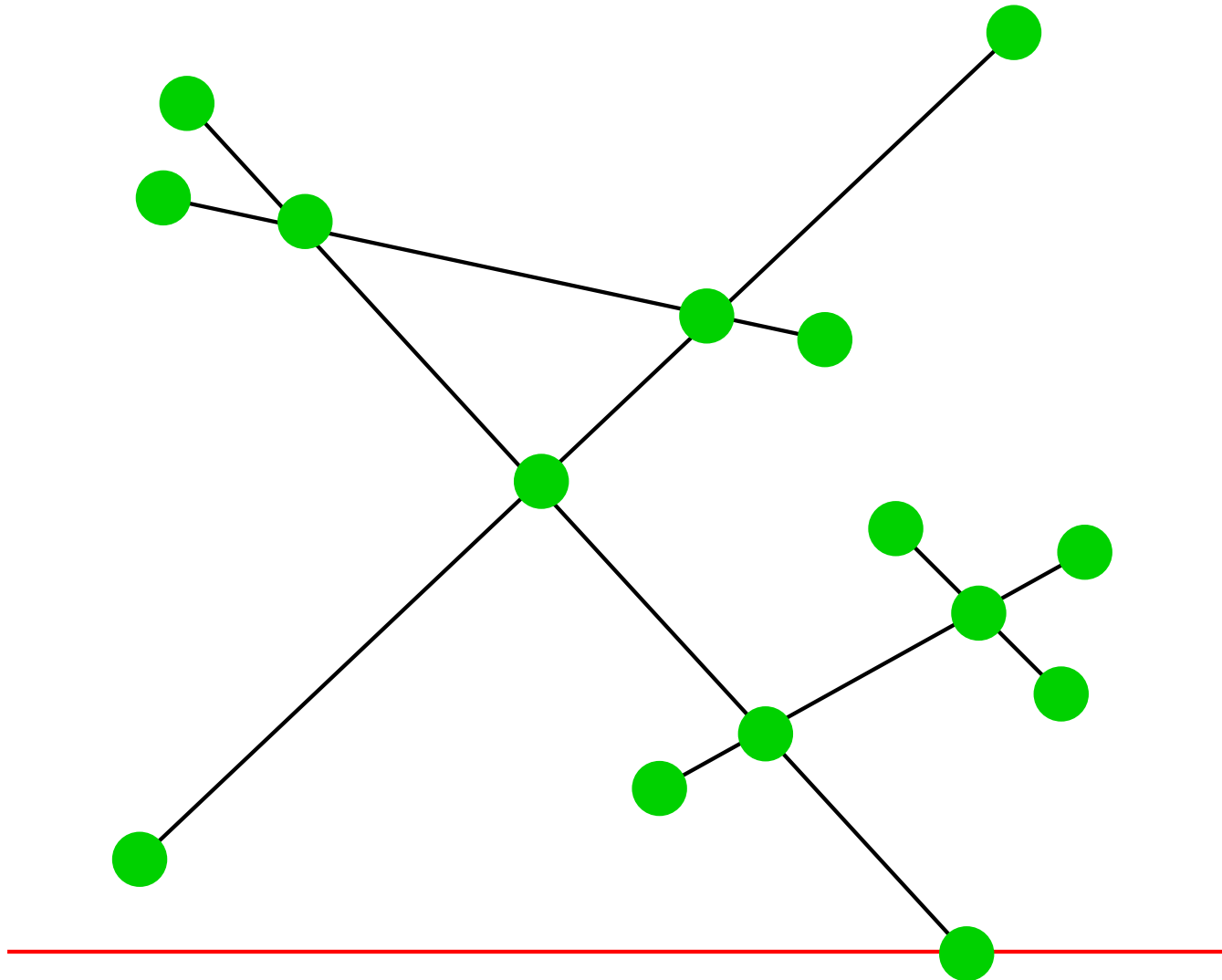
Verallgemeinerung – Beispiel



Verallgemeinerung – Beispiel



Verallgemeinerung – Beispiel



Verallgemeinerung – Analyse

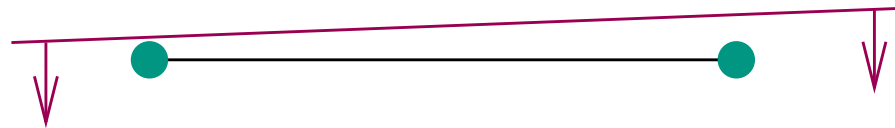
Insgesamt: $O((n + k) \log n)$

Verallgemeinerung – jetzt (fast) wirklich

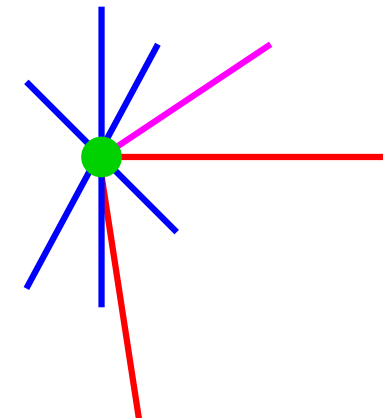
Verbleibende Annahme: Keine Überlappungen

Ordnung für Q : $(x, y) \prec (x', y') \Leftrightarrow y > y' \vee y = y' \wedge x < x'$
(verquere lexikographische Ordnung)

Interpretation: infinitesimal ansteigende Sweep-Line



Q speichert Mengen von Ereignissen mit gleichem (x, y)



handleEvent($p = (x, y)$)

$U :=$ segments starting at p

// from Q

$C :=$ segments with p in their interior

// from T

$L :=$ segments finishing at p

// from Q

if $|U| + |C| + |L| \geq 2$ then report intersection @ p

$T.remove(L \cup C)$

$T.insert(C \cup U)$ such that order just below p is correct

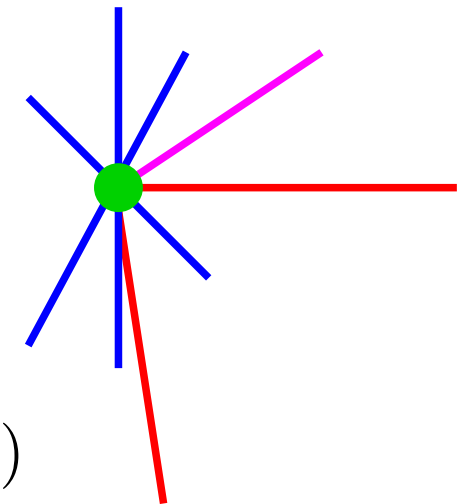
if $U \cup C = \emptyset$ then

findNewEvent($T.findPred(p), T.findSucc(p), p$)

else

findNewEvent($T.findPred(p), T.findLeftmost(p), p$)

findNewEvent($T.findRightmost(p), T.findSucc(p), p$)



findNewEvent(s, t, p)

if s and t intersect at a point $p' \succ p$ **then**

if $p' \notin Q$ **then** $Q.\text{insert}(p')$

Überlappungen finden

Für jede Strecke s berechne die Gerade $g(s)$, auf der s liegt

Sortiere S nach $g(s)$

1D Überlappungsproblem für jede auftretende Gerade.

Platzverbrauch

Im Moment: $\Theta(n + k)$

Reduktion auf $O(n)$:

lösche Schnittpunkte zwischen nicht benachbarten Strecken aus T .

Die werden ohnehin wieder eingefügt wenn sie wieder benachbart werden.

Mehr Linienschnitt

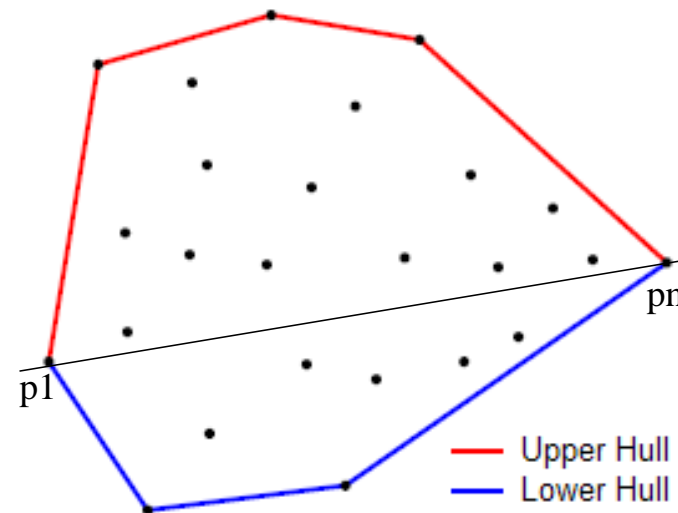
- [Bentley Ottmann 1979] Zeit $O((n + k) \log n)$
- [Chazelle Edelsbrunner 1988] Zeit $O(n \log n + k)$
- [Pach Sharir 1991] Zeit $O((n + k) \log n)$, Platz $O(n)$
- [Mulmuley 1988] erwartete Zeit $O(n \log n + k)$, Platz $O(n)$
- [Balaban 1995] Zeit $O(n \log n + k)$, Platz $O(n)$

12.2 2D Konvexe Hülle

Gegeben: Menge $P = \{p_1, \dots, p_n\}$ von Punkten in \mathbb{R}^2

Gesucht: Konvexes Polygon K mit Eckpunkten aus P und $P \subseteq K$.

Wir geben einen einfachen Algorithmus, der in Zeit $O(\text{sort}(n))$ läuft.



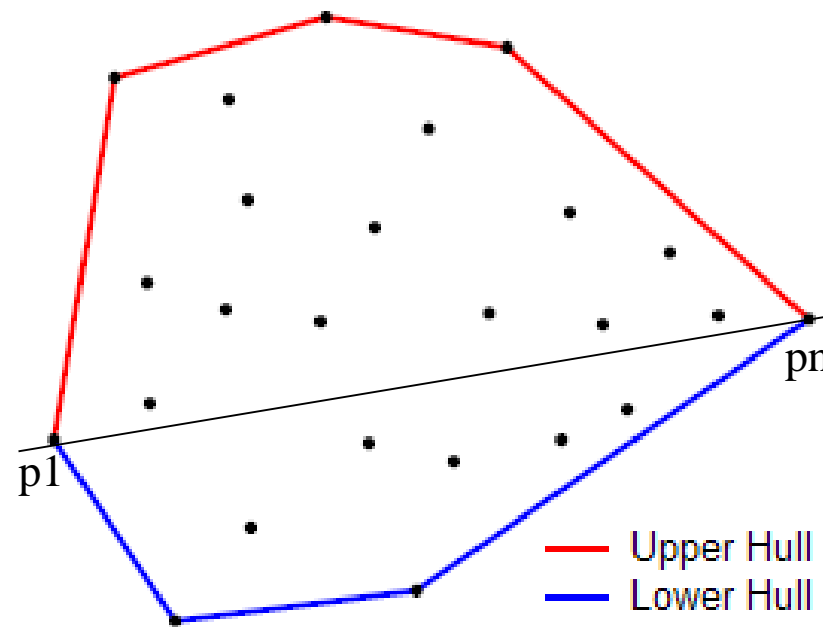
Konvexe Hülle

sortiere P lexikographisch nach (x, y) , d.h., ab jetzt

$$p_1 < p_2 < \dots < p_n$$

OBdA:

Wir berechnen nur die obere Hülle von Punkten oberhalb von $\overline{p_1 p_n}$



Graham's Scan [Graham 1972, Andrew 1979]

Function upperHull(p_1, \dots, p_n)

$L = \langle p_n, p_1, p_2 \rangle$: Stack **of** Point

invariant L is the upper hull of $\langle p_n, p_1, \dots, p_i \rangle$

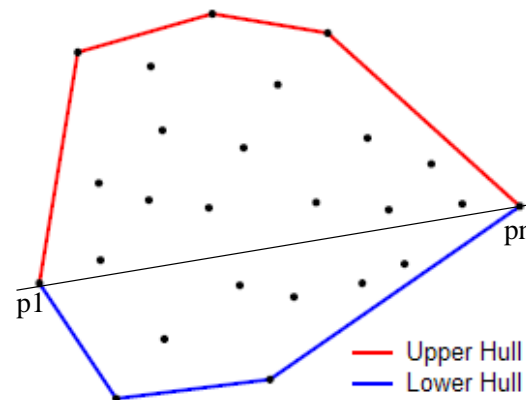
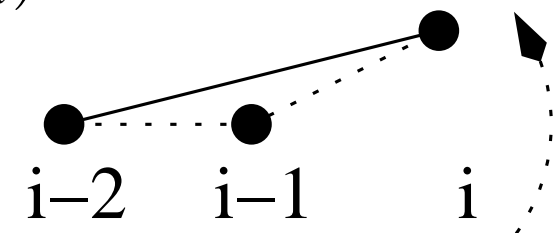
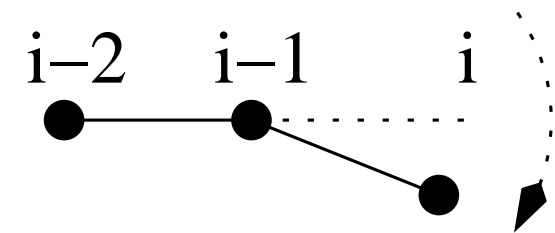
for $i := 3$ **to** n **do**

while $\neg \text{rightTurn}(L.\text{secondButLast}, L.\text{last}, p_i)$ **do**

$L.\text{pop}$

$L := L \circ \langle p_i \rangle$

return L



Graham's Scan – Beispiel

Function upperHull(p_1, \dots, p_n)

$L = \langle p_n, p_1, p_2 \rangle$: Stack **of** Point

invariant L is the upper hull of $\langle p_n, p_1, \dots, p_i \rangle$

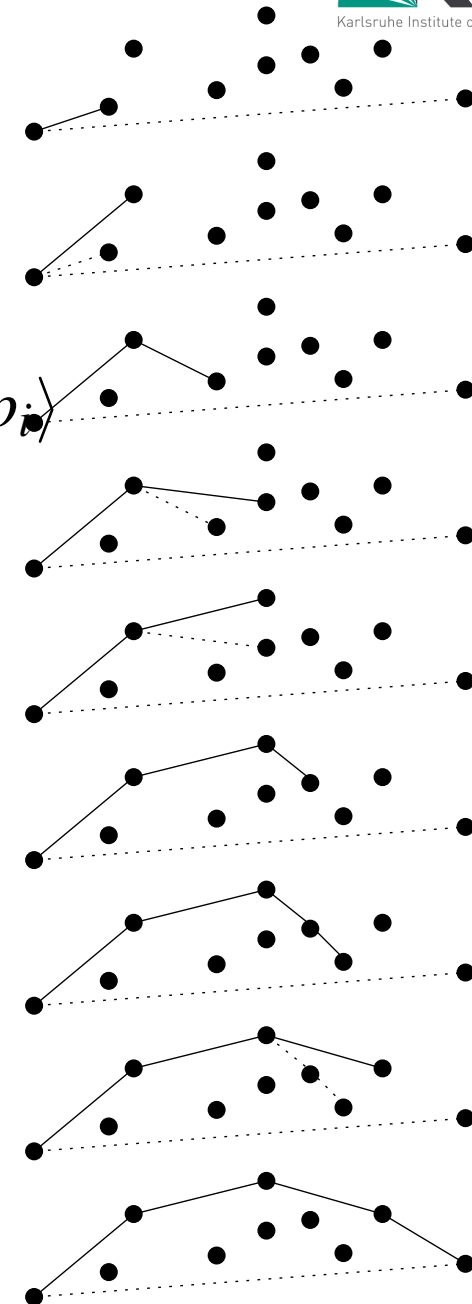
for $i := 3$ **to** n **do**

while $\neg \text{rightTurn}(L.\text{secondButlast},$
 $L.\text{last}, p_i)$ **do**

$L.\text{pop}$

$L := L \circ \langle p_i \rangle$

return L



Graham's Scan – Analyse

Function upperHull(p_1, \dots, p_n)

$L = \langle p_n, p_1, p_2 \rangle$: Stack **of** Point

invariant L is the upper hull of $\langle p_n, p_1, \dots, p_i \rangle$

for $i := 3$ **to** n **do**

while $\neg \text{rightTurn}(L.\text{secondButLast}, L.\text{last}, p_i)$ **do**

$L.\text{pop}$

$L := L \circ \langle p_i \rangle$

return L

Sortieren $+O(n)$

Wieviele Iterationen der While-Schleife insgesamt?

3D Konvexe Hülle

Geht in Zeit $O(n \log n)$ [Preparata Hong 1977]

Konvexe Hülle, $d \geq 4$

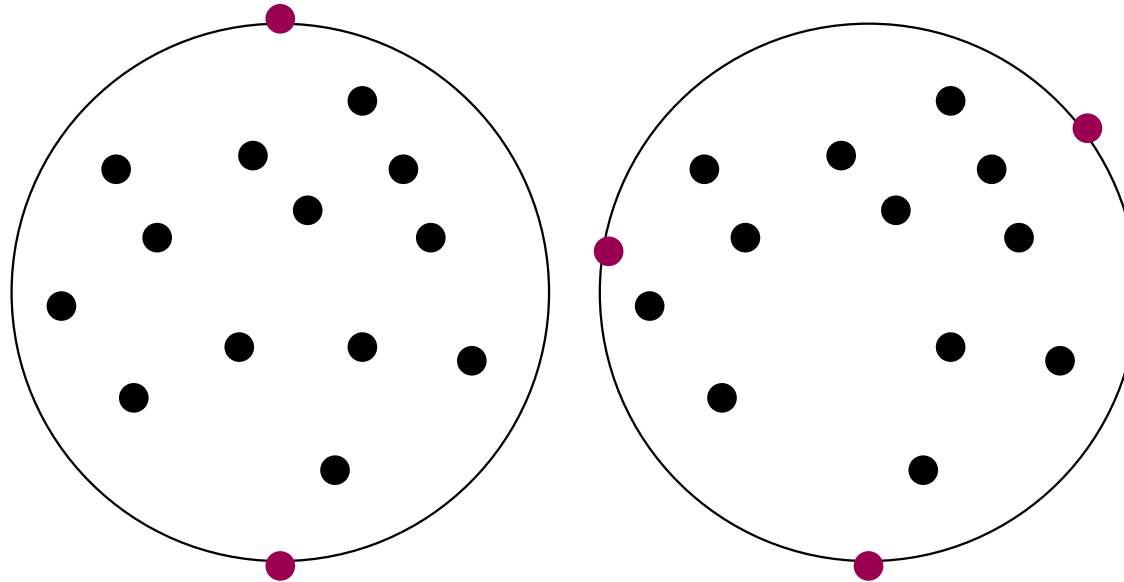
Ausgabekomplexität $O\left(n^{\lfloor d/2 \rfloor}\right)$

12.3 Kleinste einschließende Kugel

Gegeben: Menge $P = \{p_1, \dots, p_n\}$ von Punkten in \mathbb{R}^d

Gesucht: Kugel K mit minimalem Radius, so dass $P \subseteq K$.

Wir geben einen einfachen Algorithmus, der in erwarteter Zeit $O(n)$ läuft. [\[Welzl 1991\]](#).



Function `smallestEnclosingBallWithPoints`(P, Q)

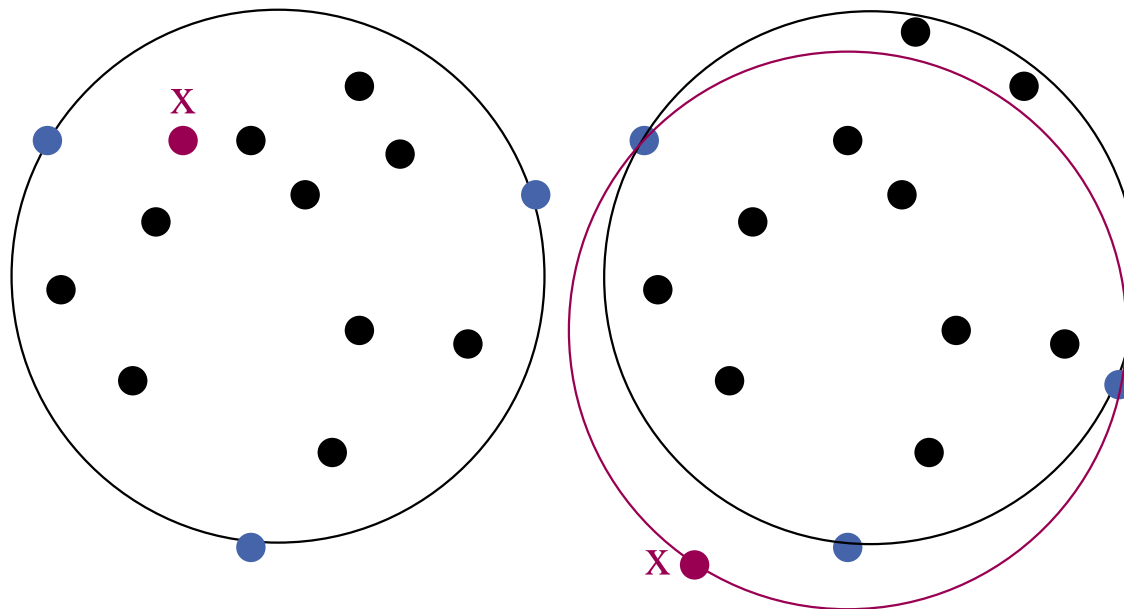
if $|P| = 0 \vee |Q| = d + 1$ **then return** `ball`(Q)

pick random $x \in P$

$B :=$ `smallestEnclosingBallWithPoints`($P \setminus \{x\}, Q$)

if $x \in B$ **then return** B

return `smallestEnclosingBallWithPoints`($P \setminus \{x\}, Q \cup \{x\}$)



Kleinste einschließende Kugel – Korrektheit

Function `smallestEnclosingBallWithPoints`(P, Q)

if $|P| = 0 \vee |Q| = d + 1$ **then return** `ball`(Q)

pick random $x \in P$

$B :=$ `smallestEnclosingBallWithPoints`($P \setminus \{x\}, Q$)

if $x \in B$ **then return** B

return `smallestEnclosingBallWithPoints`($P \setminus \{x\}, Q \cup \{x\}$)

z.Z.: $x \notin B \rightarrow x$ ist auf dem Rand von `sEB`(P)

Wir zeigen Kontraposition:

x nicht auf dem Rand von `sEB`(P)

\rightarrow `sEB`(P) = `sEB`($P \setminus \{x\}$) = B

z.Z.: `sEBs` sind eindeutig!

Also $x \in B$

Lemma: $\text{sEB}(P)$ ist eindeutig bestimmt.

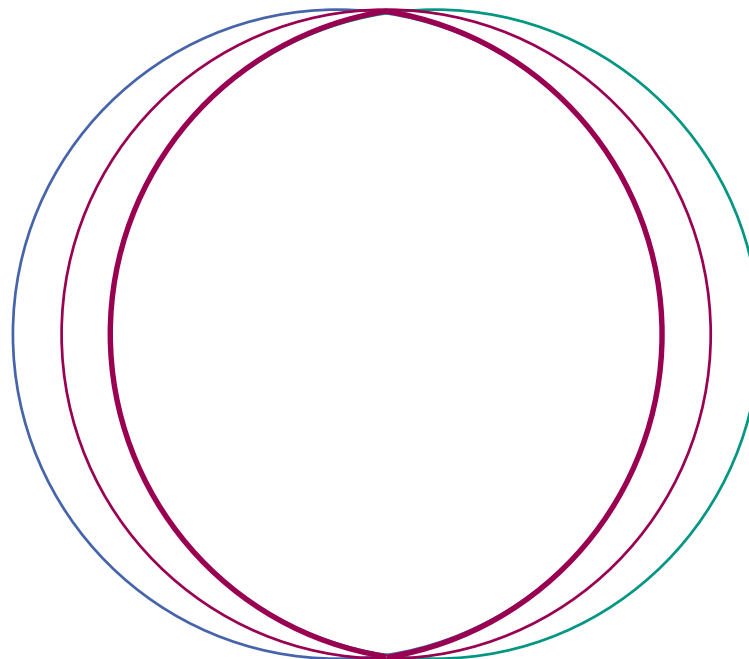
Beweis: Annahme, $\exists \text{sEBs } B_1 \neq B_2$

$$\longrightarrow P \subseteq B_1 \wedge P \subseteq B_2$$

$$\longrightarrow P \subseteq B_1 \cap B_2 \subseteq \text{sEB}(B_1 \cap B_2) =: B$$

Aber dann ist $\text{radius}(B) < \text{radius}(B_1)$

Widerspruch zur Annahme, dass B_1 eine sEB ist. □



Kleinste einschließende Kugel – Analyse

Wir zählen die erwartete Anzahl der Tests $x \in B$, $T(p, q)$.

$$T(p, d+1) = T(0, p) = 0 \quad \text{Basis der Rekurrenz}$$

$$\begin{aligned} T(p, q) &\leq 1 + T(p-1, q) + \mathbb{P}[x \notin B] T(p, q+1) \\ &\leq 1 + T(p-1, q) + \frac{d+1-q}{p} T(p, q+1) \end{aligned}$$

Kleinste einschließende Kugel – Analyse, $d = 2$

$$T(p, d+1) = T(0, q) = 0$$

$$T(p, q) \leq 1 + T(p-1, q) + \frac{d+1-q}{p} T(p, q+1)$$

$$T(p, 2) \leq 1 + T(p-1, 2) + \frac{1}{p} T(p, 3) \leq 1 + T(p-1, 2) \leq p$$

$$T(p, 1) \leq 1 + T(p-1, 1) + \frac{2}{p} T(p, 2)$$

$$\leq 1 + T(p-1, 1) + \frac{2}{p} p = 3 + T(p-1, 1) \leq 3p$$

$$T(p, 0) \leq 1 + T(p-1, 0) + \frac{3}{p} T(p, 1)$$

$$\leq 1 + T(p-1, 0) + \frac{3}{p} 3p = 10 + T(p-1, 0) \leq 10p$$

Kleinste einschließende Kugel – Analyse

d	$T(p, 0)$
1	$3n$
2	$10n$
3	$41n$
4	$206n$

Allgemein $T(p, 0) \geq d!n$

Ähnliche Randomisierte Linearzeitalgorithmen

- Lineare Programmierung mit konstantem d [Seidel 1991]
- Kleinstes einschließendes Ellipsoid, Kreisring, . . .
- Support-Vector-Machines (maschinelles Lernen)
- Alles wo (LP-type problem [Sharir Welzl 1992])
 - $O(1)$ Objekte das Optimum festlegen
 - Objekt x hinzufügen
 - Lösung bleibt gleich oder ist an Lösungsdef. beteiligt

12.4 2D Bereichssuche (range search)

Daten: $P = \{p_1, \dots, p_n\} \subseteq \mathbb{R}^2$

Anfragen: achsenparallele Rechtecke $Q = [x, x'] \times [y, y']$

finde $P \cap Q$ (range reporting)

oder $k = |P \cap Q|$ (range counting)

Vorverarbeitung erlaubt.

Vorverarbeitungszeit? $O(n \log n)$

Platz? $O(n)$?

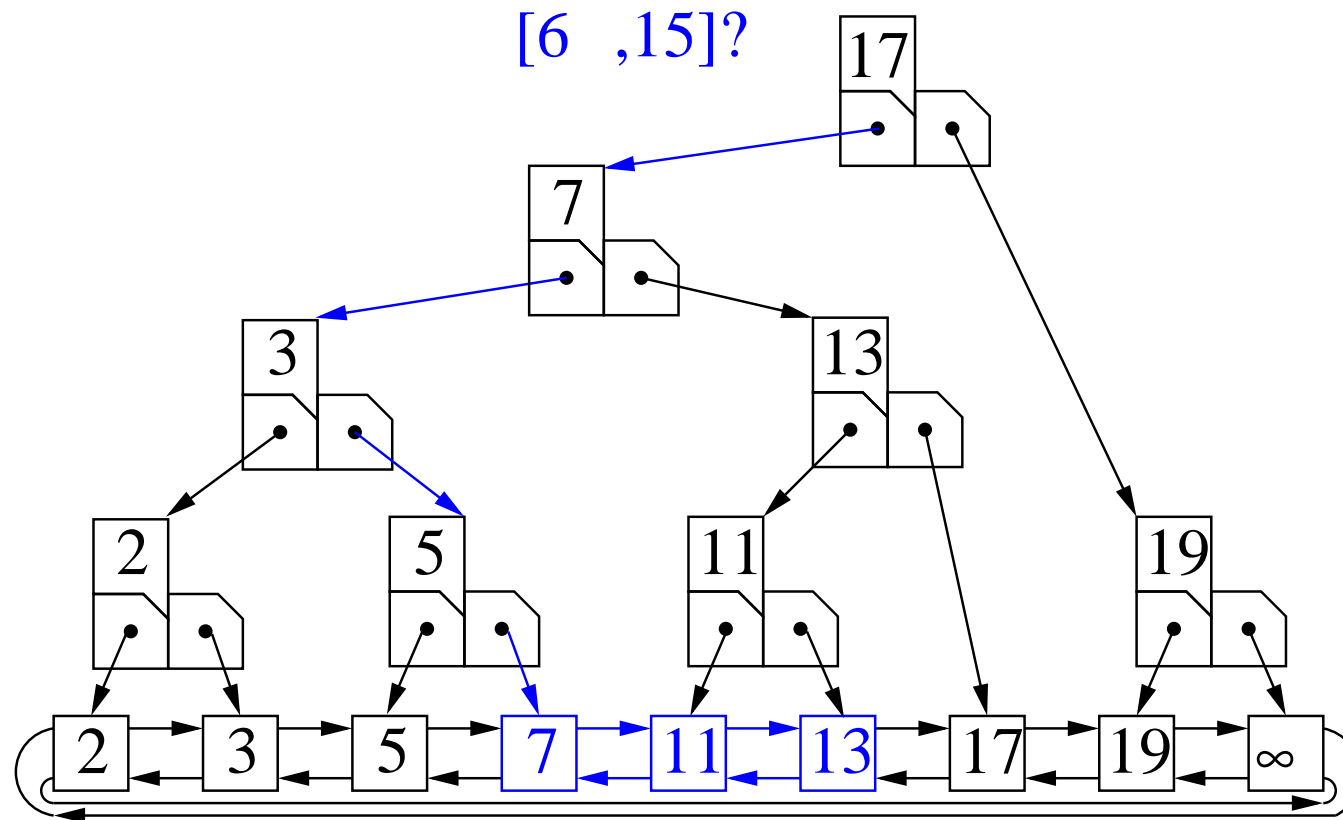
Anfragebearbeitung?

– Counting: $O(\log n)$

– Reporting: $O(k + \log n)$ oder wenigstens $O(k \cdot \log n)$

1D Bereichssuche

Suchbaum



Zählanfragen: Teilbaumgrößen speichern

Sogar dynamisch !

Reduktion auf $1..n \times 1..n$

vereinfachende Annahme: Koordinaten paarweise verschieden.

Ersetze Koordinaten $P = \{(x_1, y_1), \dots, (x_n, y_n)\}$ durch ihren Rang:

$x_i \rightarrow$ Rang von x_i in $\{x_1, \dots, x_n\}$

$y_i \rightarrow$ Rang von y_i in $\{y_1, \dots, y_n\}$

Reduktion auf $1..n \times 1..n$

Ersetze Koordinaten $P = \{(x_1, y_1), \dots, (x_n, y_n)\}$ durch ihren Rang:

$P_x := \text{sort}(\langle x_1, \dots, x_n \rangle); \quad P_y := \text{sort}(\langle y_1, \dots, y_n \rangle)$

$P := \{ (\text{binarySearch}(x, P_x), \text{binarySearch}(y, P_y)) : (x, y) \in P \}$

Function $\text{rangeQuery}([x, x'] \times [y, y'])$

$x := \text{binarySearchSucc}(x, P_x); \quad x' := \text{binarySearchPred}(x', P_x)$

$y := \text{binarySearchSucc}(y, P_y); \quad y' := \text{binarySearchPred}(y', P_y)$

$R := \text{intRangeQuery}([x, x'] \times [y, y'])$

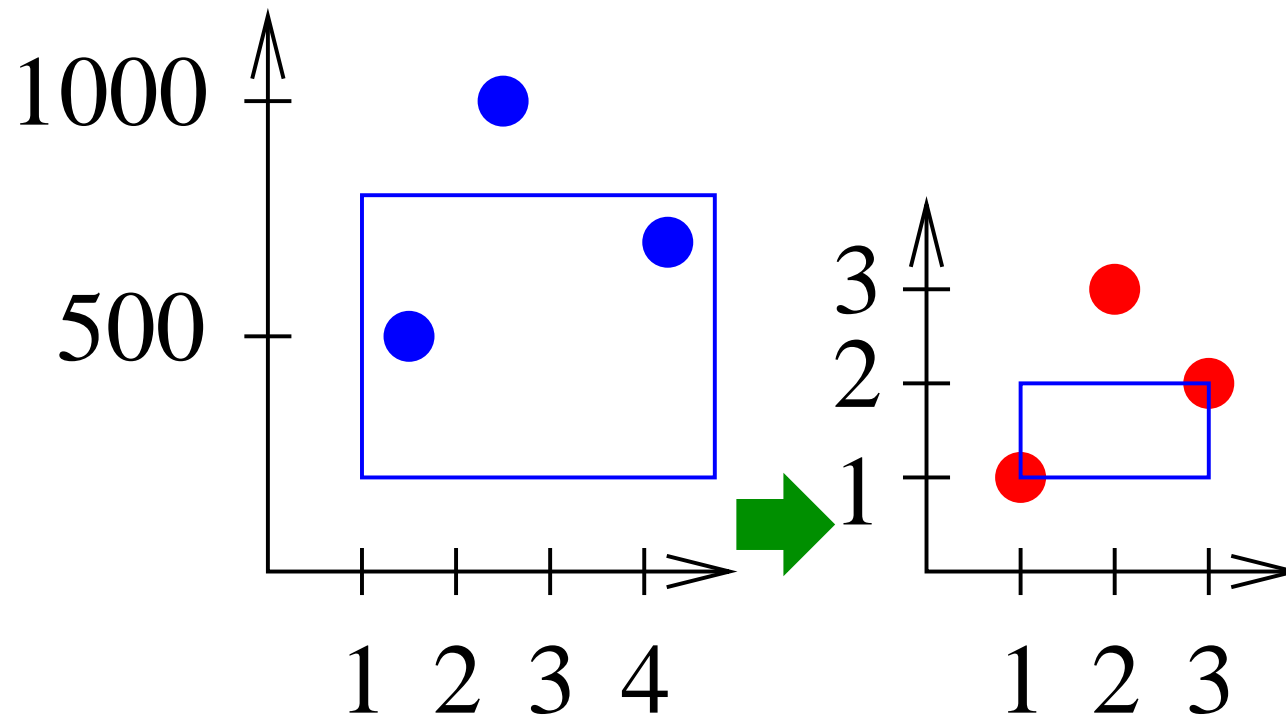
return $\{ (P_x[x], P_y[y]) : (x, y) \in R \}$

A Konstruktionszeit $O(n \log n)$, Anfragezeit

$O(\log n) + T_{\text{intRangeQuery}}(n)$

Beispiel

$$\{(2.5, 1000), (1.4, 500), (4.2, 700)\} \rightarrow \{(2, 3), (1, 1), (3, 2)\}$$



Wavelet Tree

[Chazelle 1988, Grossi/Gupta/Vitter 2003, Mäkinen/Navarro 2007]

Class WaveletTree($X = \langle x_1, \dots, x_n \rangle$) // represents $(x_1, 1), \dots, (x_n, n)$

// Constructor:

if $n < n_0$ **then** store X directly

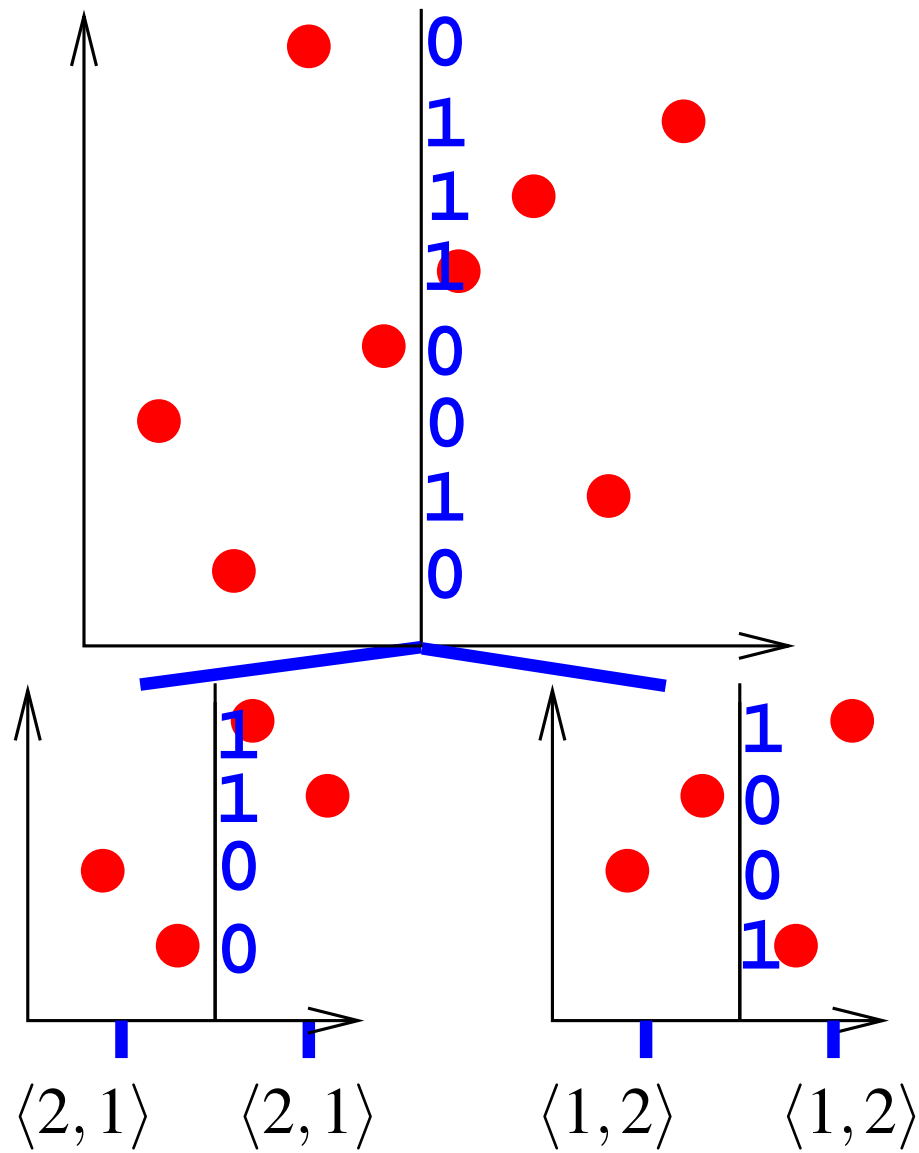
else

store bitvector b with $b[i] = 1$ iff $x_i > \lfloor n/2 \rfloor$

$\ell :=$ WaveletTree($\langle x_i : x_i \leq \lfloor n/2 \rfloor \rangle$)

$r :=$ WaveletTree($\langle x_i - \lfloor n/2 \rfloor : x_i > \lfloor n/2 \rfloor \rangle$)

Beispiel



Wavelet Tree Counting Query

Function `intRangeCount` ($[x, x'] \times [y, y']$)

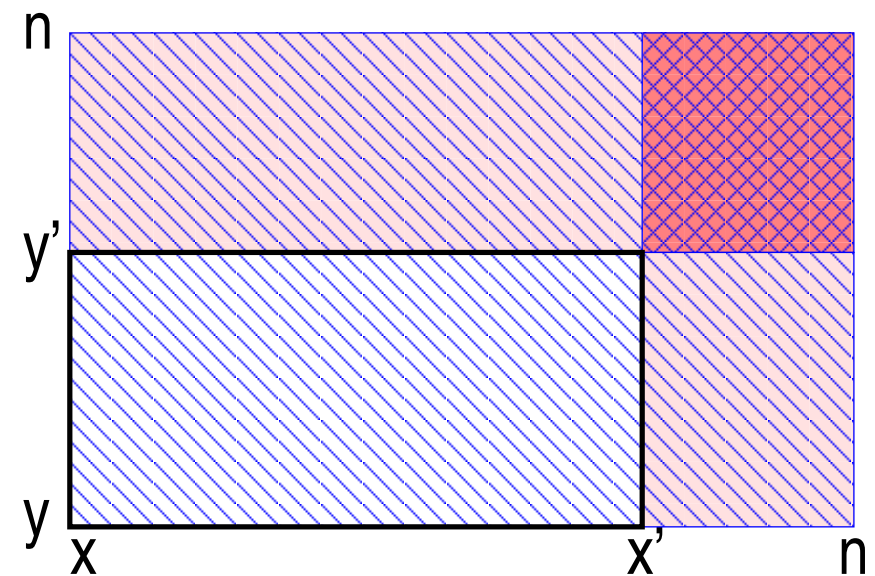
return

`intDominanceCount` (x, y) -

`intDominanceCount` (x', y) -

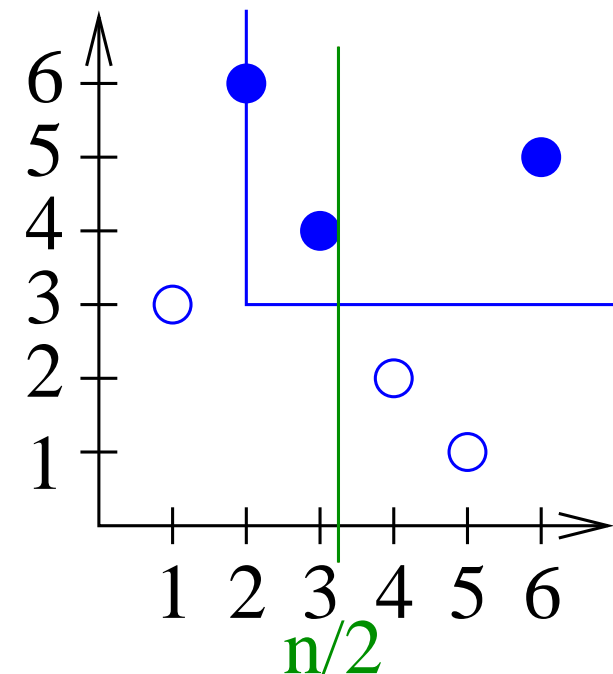
`intDominanceCount` (x, y') +

`intDominanceCount` (x', y')

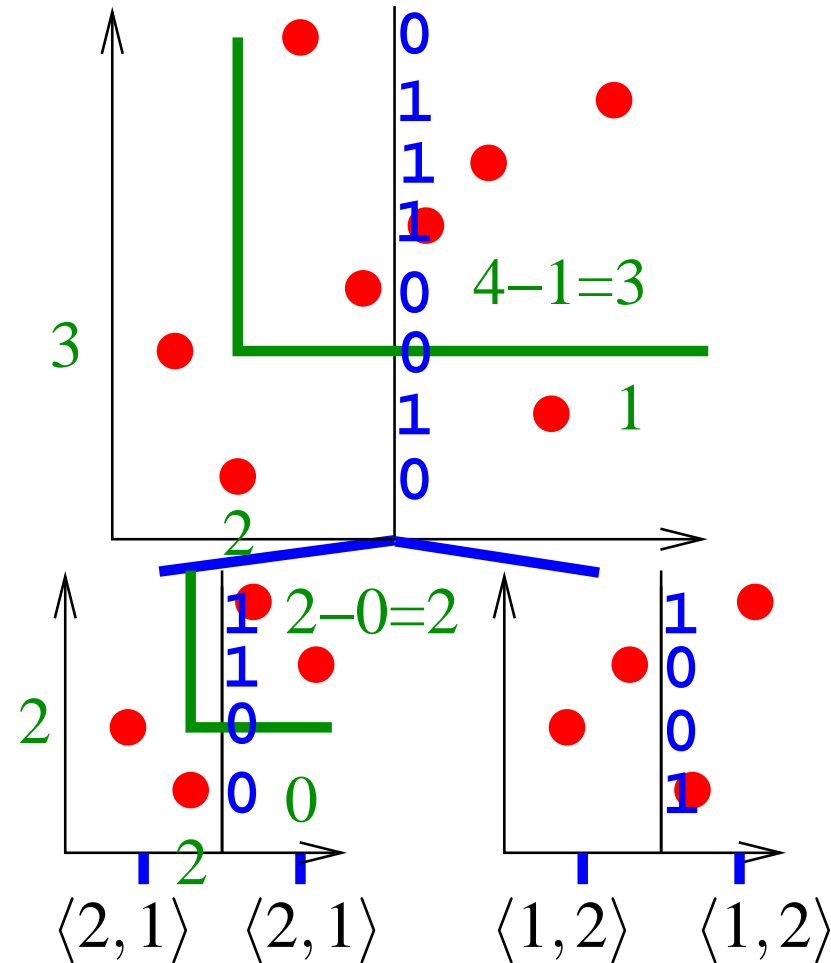


Wavelet Tree Dominance Counting Query

Function $\text{intDominanceCount}(x, y)$ // $|[x, n] \times [y, n] \cap P|$
if $n \leq n_0$ **then return** $|[x, n] \times [y, n] \cap P|$ // brute force
 $y_r := b.\text{rank}(y)$ // Number of els $\leq y$ in right half
if $x \leq \lfloor n/2 \rfloor$ **then**
 return $\ell.\text{intDominanceCount}(x, y - y_r) + \lfloor n/2 \rfloor - y_r$
else
 return $r.\text{intDominanceCount}(x - \lfloor n/2 \rfloor, y_r)$



Beispiel



Analyse

Nur ein rekursiver Aufruf.

Rekursionstiefe $O(\log n)$.

rank in konstanter Zeit (s.u.)

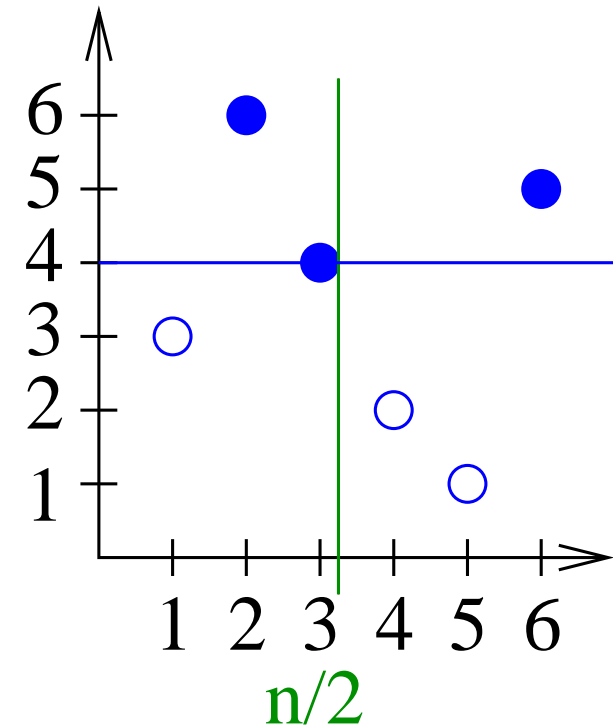
Zeit $O(\log n)$

Wavelet Tree Dominance Reporting Query

```

Function intDominanceReporting( $x, y$ )           //  $[x, n] \times [y, n] \cap P$ 
  if  $n \leq n_0$  then return  $[x, n] \times [y, n] \cap P$            // brute force
   $R := \emptyset$                                            // Result
   $y_r := b.\text{rank}(y)$                                      // Number of els  $\leq y$  in right half
  if  $x \leq \lfloor n/2 \rfloor$  then                           // Both halves interesting
    if  $y - y_r < \frac{n}{2}$  then  $R := R \cup \ell.\text{intDominanceReporting}(x, y - y_r)$ 
    if  $y_r < \frac{n}{2}$  then  $R := R \cup r.\text{oneSidedReporting}(y_r)$ 
  else if  $y_r < \frac{n}{2}$  then  $R := R \cup r.\text{intDominanceReporting}(x - \lfloor n/2 \rfloor, y_r)$ 
  return  $R$ 
    
```

Function oneSidedReporting(y) // $[1, n] \times [y, n] \cap P$
if $n \leq n_0$ **then return** $[1, n] \times [y, n] \cap P$ // brute force
 $y_r := b.\text{rank}(y)$ // Number of els $\leq y$ in right half
 $R := \emptyset$
if $y_r < \frac{n}{2}$ **then** $R := R \cup r.\text{oneSidedReporting}(y_r)$
if $y - y_r < \frac{n}{2}$ **then** $R := R \cup \ell.\text{oneSidedReporting}(y - y_r)$
return R



Analyse

Rekurrenz

$$T(n_0, 0) = O(1)$$

$$T(n, 0) = T(n/2, 0) + O(1) \implies T(n, 0) = O(\log n)$$

$$T(n, k) = T(n/2, k') + T(n/2, k - k') + O(1) \text{ also}$$

$$T(n, k) \leq ck' \log \frac{n}{2} + c(k - k') \log \frac{n}{2} + c \leq ck \log n$$

Zeit $O(k + \log n)$ braucht zusätzlichen Faktor $\log n$ Platz.

Z.B. komplette Listen auf allen Ebenen speichern

Übungsaufgabe?

Allgemeine Reporting Query

4-seitig

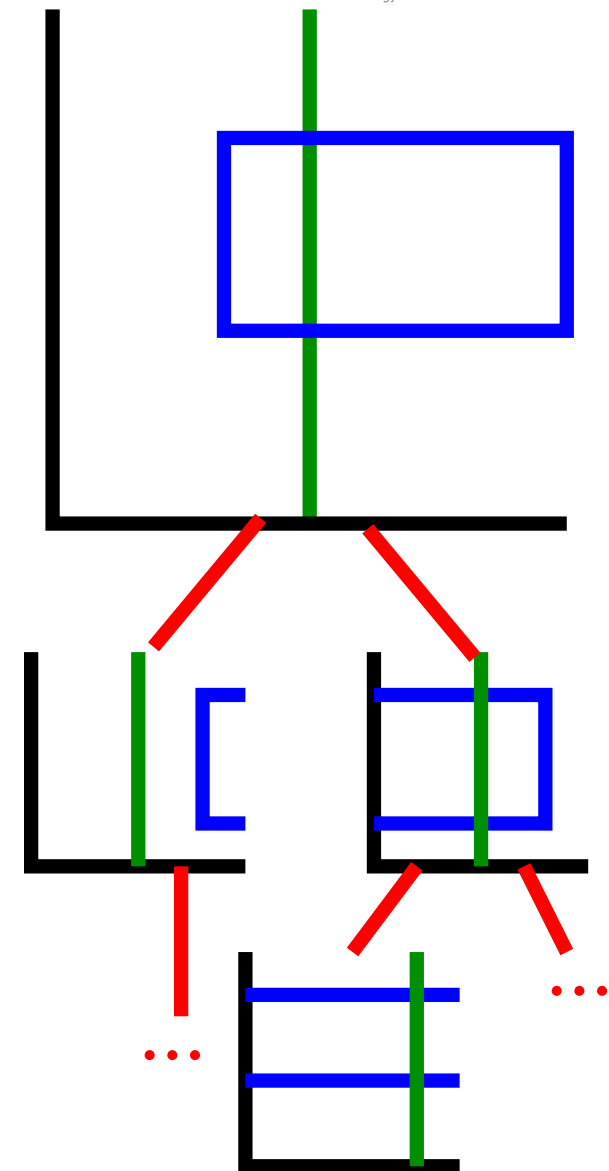


3-seitig (2 Varianten)



y-range

Analog oneSidedReporting (zwei Ranks statt einem)



Bitvektoren v mit rank in $O(1)$

Wähle $B = \Theta(\log n)$.

Vorberechnung $\text{bRank}[i] := v.\text{rank}(iB)$

Zeit $O(n)$, Platz $O(n)$ bits

Reduktion auf logarithmische Eingabegröße:

Function $\text{rank}(j)$ **return** $\text{bRank}[j \text{ div } B] + \text{rank}(v[B(j \text{ div } B)..j])$

Logarithmische Größe:

Maschinenbefehl (population count) oder Tabellenzugriff (z.B. Größe \sqrt{n} Zahlen)

0	4	8	11
10010011	10001110	00001110	10100010

↑ rank=8+2=10

Mehr zu Bitvektoren

- weitere wichtige Operation $b.select(i) :=$ Position des i -ten 1-bits.
Ebenfalls $O(1)$
- Informationstheoretisch asympt. optimaler Platz $n + o(n)$ bits
möglich.
- Grundlage für weitere **succinct data structures**
- Beispiel: **Baum** mit Platz $2n + o(n)$ bits und Navigation in
konstanter Zeit.

Geometry Summary

- Theoretical algorithms often make assumption like “**general position**” that need to be removed in practice
- Geometric predicates** like *leftTurn* or *inCircle* package the numerically complicated issues
- High-dimensional** problems particularly interesting/difficult
- Randomization** and **data structures** once more important

13 Onlinealgorithmen

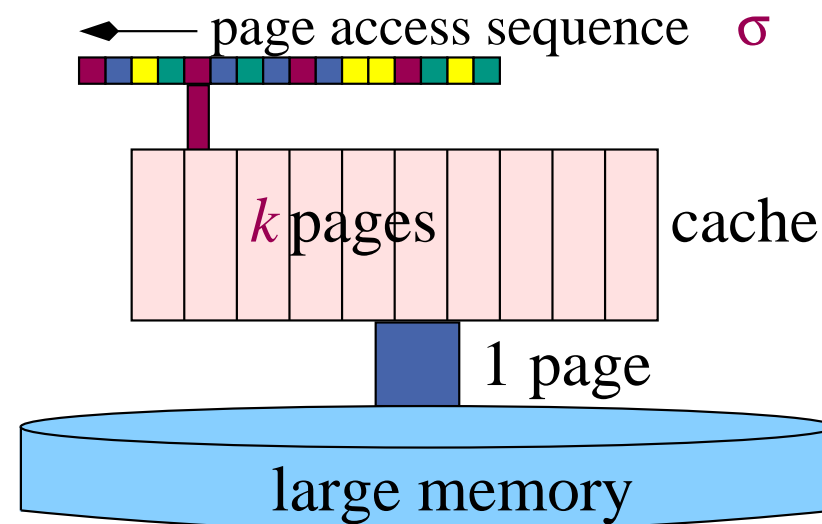
[z.T. von Rob van Stee]

- Information is revealed to the algorithm **in parts**
- Algorithm needs to process each part **before** receiving the next
- There is **no information** about the future
(in particular, no probabilistic assumptions!)
- How well can an algorithm do
compared to an algorithm that **knows everything**?
- Lack of **knowledge** vs. lack of **processing power**



Examples

- Renting Skis etc.
- Paging** in a virtual memory system
- Routing** in communication networks
- Scheduling** machines in a factory, where orders arrive over time
- Google **placing** advertisements



Competitive analysis

- Idea: compare online algorithm ALG to offline algorithm OPT
- Worst-case performance measure
- Definition:

$$C_{ALG} = \sup_{\sigma} \frac{ALG(\sigma)}{OPT(\sigma)}$$

(we look for the input that results in worst **relative** performance)

- Goal:
find ALG with **minimal** C_{ALG}

A typical online problem: ski rental

- Renting skis costs 50 euros, buying them costs 300 euros
- You do not know in advance how often you will go skiing
- Should you rent skis or buy them?



A typical online problem: ski rental

- Renting skis costs 50 euros, buying them costs 300 euros
- You do not know in advance how often you will go skiing
- Should you rent skis or buy them?
- Suggested algorithm: buy skis on the sixth trip
- Two questions:
 - How good is this algorithm?
 - Can you do better?



Upper bound for ski rental

- You plan to buy skis on the sixth trip
- If you make five trips or less, you pay **optimal** cost (50 euros per trip)
- If you make at least six trips, you pay 550 euros
- In this case OPT pays at least 300 euros
- Conclusion: algorithm is $\frac{11}{6}$ -competitive:
it never pays more than $\frac{11}{6}$ times the optimal cost

Lower bound for ski rental

- Suppose you buy skis **earlier**, say on trip $x < 6$.
You pay $300 + 50(x - 1)$, OPT pays only $50x$

$$\frac{250 + 50x}{50x} = \frac{5}{x} + 1 \geq 2.$$

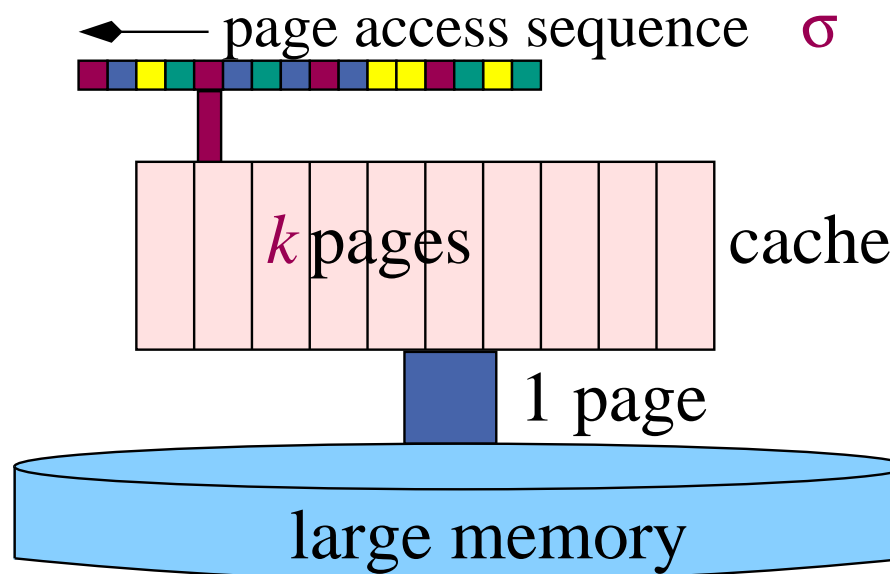
- Suppose you buy skis **later**, on trip $y > 6$.
You pay $300 + 50(y - 1)$, OPT pays only 300

$$\frac{250 + 50y}{300} = \frac{5 + y}{6} \geq 2.$$

- Idea: do not pay the large cost (buy skis) until you would have paid **the same amount** in small costs (rent)

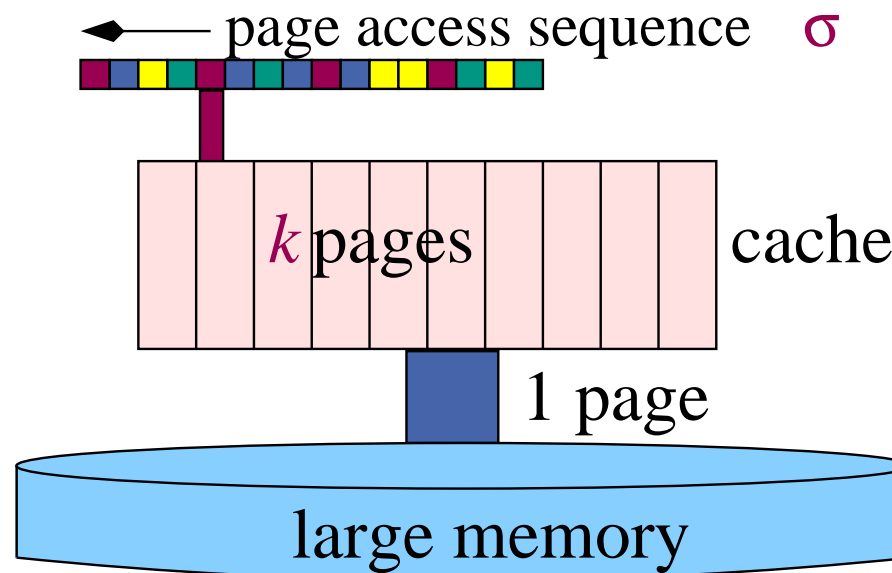
Paging

- Computers usually have a small amount of fast memory (cache)
- This can be used to store data (pages) that are often used
- Problem when the cache is full and a new page is requested
- Which page should be thrown out (evicted)?



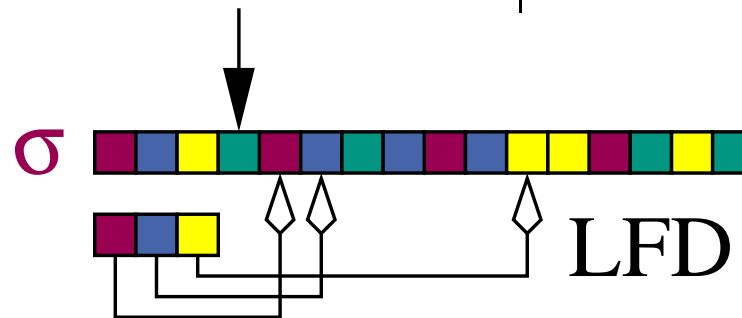
Definitions

- k = size of cache (number of pages)
- We assume that access to the cache is **free**, since accessing external memory costs much more
- Thus, a cache hit costs 0 and a miss (fault) costs 1
- The goal is to **minimize the number of page faults**



Paging algorithms

algorithm		which page to evict
LIFO	Last In First Out	newest
FIFO	First In First Out	oldest
LFU	Least Frequently used	requested least often
LRU	Least Recently Used	requested least recently
FWF	Flush When Full	all
LFD	Longest Forward Distance	(re)requested latest in the future

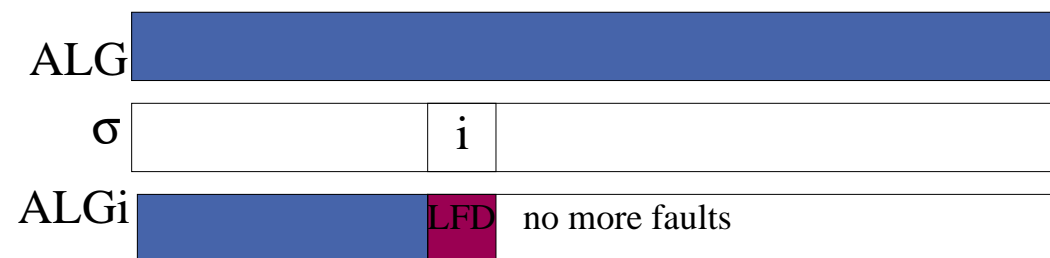


Longest Forward Distance is optimal

We show: any optimal offline algorithm can be changed to **act like LFD** without increasing the number of page faults.

Inductive claim: given an algorithm ALG, we can create ALG_i such that

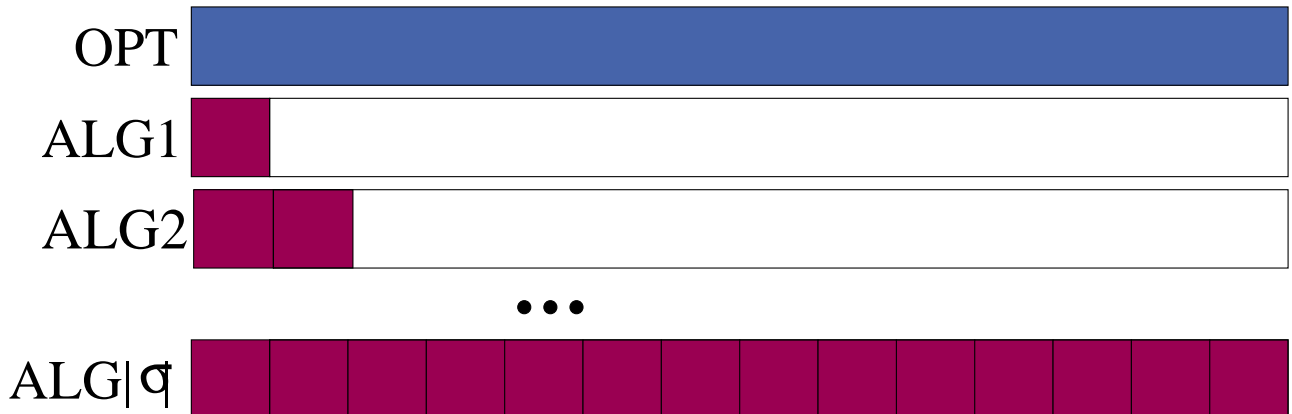
- ALG and ALG_i act **identically** on the first $i - 1$ requests
- If request i causes a fault (for **both** algorithms), ALG_i evicts page with **longest forward distance**
- $ALG_i(\sigma) \leq ALG(\sigma)$



Using the claim

- Start with a given request sequence σ and an **optimal offline algorithm ALG**
- Use the claim for $i = 1$ on ALG to get ALG_1 , which evicts the LFD page on the first request (if needed)
- Use the claim for $i = 2$ on ALG_1 to get ALG_2

- ...
- Final algorithm $ALG_{|\sigma|}$ is equal to OPT



Proof of the claim

not this time

Comparison of algorithms

- OPT is not online, since it looks forward
- Which is the best online algorithm?
- LIFO is **not** competitive: consider an input sequence

$$p_1, p_2, \dots, p_{k-1}, p_k, p_{k+1}, p_k, p_{k+1}, \dots$$

- LFU is also **not** competitive: consider

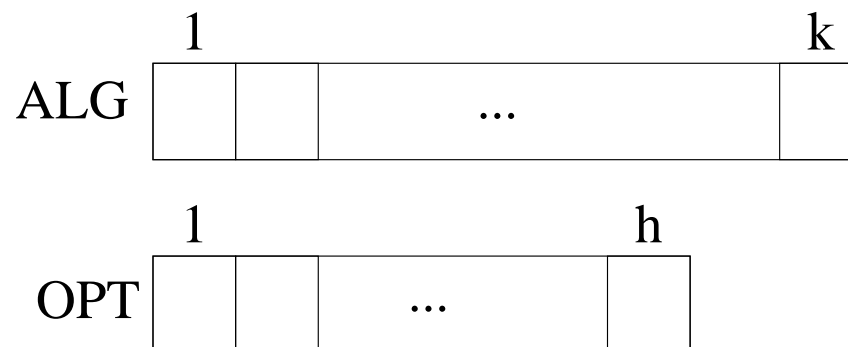
$$p_1^m, p_2^m, \dots, p_{k-1}^m, (p_k, p_{k+1})^{m-1}$$

A general lower bound

- To illustrate the problem, we show a lower bound for **any** online paging algorithm ALG
- There are $k + 1$ pages
- At all times, ALG has k pages in its cache
- There is always one page missing: request this page at each step
- OPT only faults **once every k steps**
⇒ **lower bound of k** on the competitive ratio

Resource augmentation

- We will compare an online algorithm ALG to an optimal offline algorithm **which has a smaller cache**
- We hope to get **more realistic** results in this way
- Size of offline cache = $h < k$
- This problem is known as (h, k) -paging



Conservative algorithms

- An algorithm is **conservative** if it has at most k page faults on any request sequence that contains at most k distinct pages
- The request sequence may be **arbitrarily long**
- LRU and FIFO are conservative
- LFU and LIFO are **not** conservative (recall that they are not competitive)

Competitive ratio

Theorem: Any conservative algorithm is $\frac{k}{k-h+1}$ -competitive

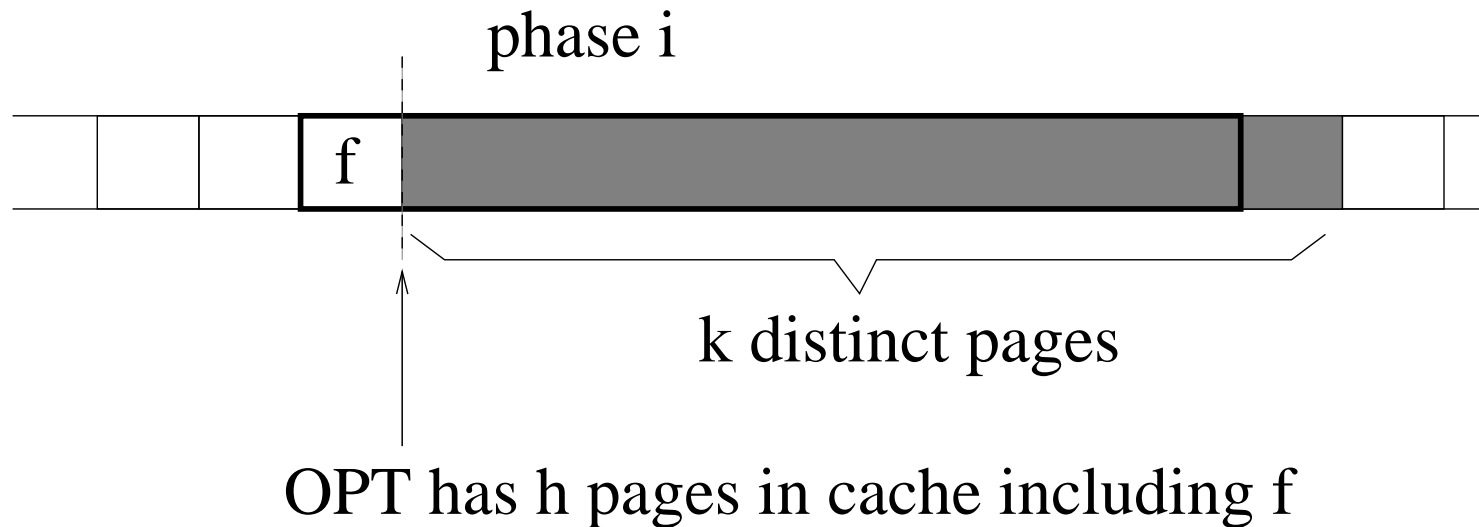
Proof: divide request sequence σ into **phases**.

- Phase 0 is the empty sequence
- Phase $i > 0$ is the maximal sequence following phase $i - 1$ that contains at most k distinct pages

Phase partitioning **does not depend on algorithm**. A conservative algorithm has at most k faults per phase.

Counting the faults of OPT

Consider some phase $i > 0$, denote its first request by f



Thus OPT has at least $k - (h - 1) = k - h + 1$ faults on the grey requests

Conclusion

- In each phase, a conservative algorithm has k faults
- To each phase except the last one, we can **assign** (charge) $k - h + 1$ faults of OPT
- Thus

$$\text{ALG}(\sigma) \leq \frac{k}{k - h + 1} \cdot \text{OPT}(\sigma) + r$$

where $r \leq k$ is the number of page faults of ALG in the **last phase**

- This proves the theorem

Notes

- For $h = k/2$, we find that conservative algorithms are 2-competitive
- The previous **lower bound construction** does not work for $h < k$
- In practice**, the “competitive ratio” of LRU is a small constant
- Resource augmentation can give better (more realistic) results than pure competitive analysis**

New results (Panagiotou & Souza, STOC 2006)

- Restrict the adversary to get more “natural” input sequences
- Locality of reference**: most consecutive requests to pages have short distance
- Typical memory access patterns**: consecutive requests have either short or long distance compared to the cache size

Randomized algorithms

- Another way to avoid the lower bound of k for paging is to use a **randomized** algorithm
- Such an algorithm is allowed to use random bits in its decision making
- Crucial is **what the adversary knows** about these random bits

Three types of adversaries

- Oblivious**: knows only the probability distribution that ALG uses, determines input in advance
- Adaptive online**: knows random choices made so far, bases input on these choices
- Adaptive offline**: knows random choices in advance (!)

Randomization **does not help** against adaptive offline adversary

We focus on the **oblivious** adversary

Marking Algorithm

- marks pages which are requested
- never evicts a marked page
- When all pages are marked and there is a fault, unmark everything
(but mark the page which caused the fault)
(new phase)

Marking Algorithms

Only difference is eviction strategy

- LRU
- FWF
- RMARK: Evict an unmarked page chosen **uniformly at random**

Competitive ratio of RMARK

Theorem: RMARK is $2H_k$ -competitive

where

$$H_k = 1 + \frac{1}{2} + \frac{1}{3} + \cdots + \frac{1}{k} \leq \ln k + 1$$

is the k -th harmonic number

Analysis of RMARK

Consider a phase with m new pages

(that are not cached in the beginning of the phase)

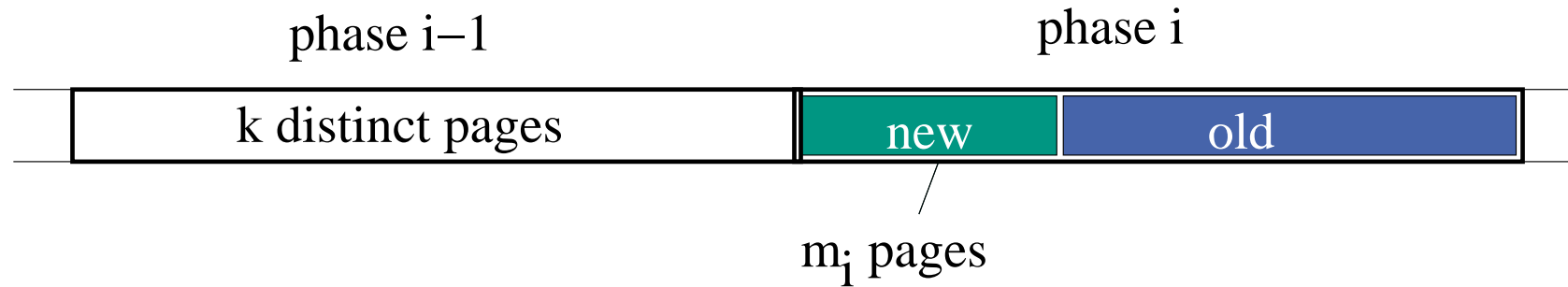
Miss probability when $j + 1$ st old page becomes marked

$$1 - \frac{\# \text{ old unmarked cached pages}}{\# \text{ old unmarked pages}} \leq 1 - \frac{k - m - j}{k - j} = \frac{m}{k - j}$$

Overall expected number of faults (including new pages):

$$m + \sum_{j=0}^{k-m-1} \frac{m}{k-j} = m + m \sum_{i=m+1}^k \frac{1}{i} = m(1 + H_k - H_m) \leq mH_k$$

Lower bound for OPT



- There are m_i new pages in phase i
- Thus, in phases $i - 1$ and i together, $k + m_i$ pages are requested
- OPT makes at least m_i faults in phases i and $i - 1$ for any i
- Total number of OPT faults is at least $\frac{1}{2} \sum_i m_i$

Upper bound for RMARK

- Expected number of faults in phase i is at most $m_i H_k$ for RMARK
- Total expected number of faults is at most $H_k \sum_i m_i$
- OPT has at least $\frac{1}{2} \sum_i m_i$ faults
- Conclusion: RMARK is $2H_k$ -competitive

Randomized lower bound

Theorem: No randomized can be better than H_k -competetive against an oblivious adversary.

Proof: not here

Discussion

- $H_k \ll k$
- The upper bound for RMARK holds against an oblivious adversary
(the input sequence is **fixed in advance**)
- No algorithm can be better than H_k -competitive
- Thus, RMARK is optimal apart from a factor of 2
- There is a (more complicated) algorithm that is H_k competitive

Why **competitive analysis**?

There are many models for “decision making in the absence of complete information”

- Competitive analysis leads to algorithms that would not otherwise be considered
- Probability distributions are rarely known precisely
- Assumptions about distributions must often be unrealistically crude to allow for mathematical tractability
- Competitive analysis gives a **guarantee** on the performance of an algorithm, which is essential in e.g. financial planning

Disadvantages of competitive analysis

- Results can be too pessimistic (adversary is too powerful)
 - Resource augmentation
 - Randomization
 - Restrictions on the input

- Unable to distinguish between some algorithms that perform differently in practice
 - Paging: LRU and FIFO
 - more refined models